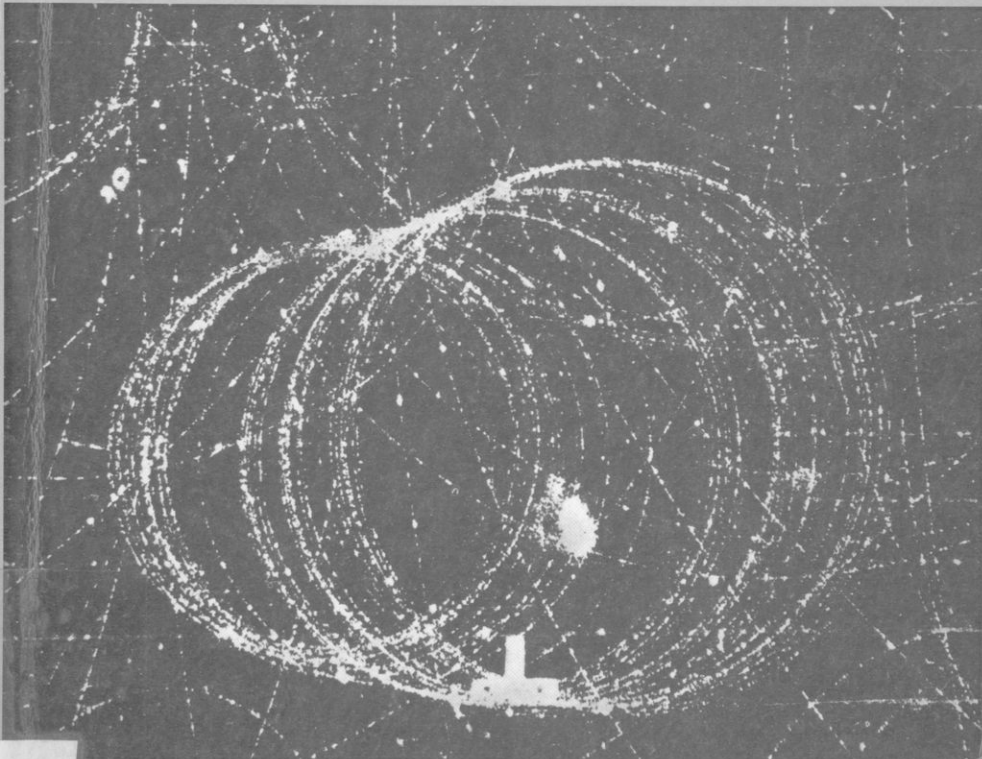


ΑΛΚΙΝΟΟΥ Ε. MAZH

ΦΥΣΙΚΗ

Γ' ΛΥΚΕΙΟΥ
ΥΛΗ ΕΠΙΛΟΓΗΣ
ΣΥΜΠΛΗΡΩΜΑ



ΟΡΓΑΝΙΣΜΟΣ ΕΚΔΟΣΕΩΣ ΔΙΔΑΚΤΙΚΩΝ ΒΙΒΛΙΩΝ ΑΘΗΝΑ 1981
Ψηφιοποιήθηκε από το Ινστιτούτο Εκπαιδευτικής Πολιτικής

1947

ΔΙΚΤΥΩΣ Ε. ΜΑΖΗ

ΣΤΑΤΥΡΟΠΟΥΛΟΣ

ΦΥΣΙΚΗ

ΦΥΣΙΚΗ

ΕΛΛΗΝΙΚΟ

ΓΛΩΣΣΟΥ

Μέ άπόφαση τῆς Ἑλληνικῆς Κυβερνήσεως τά διδακτικά βιβλία τοῦ Δημοτικοῦ, Γυμνασίου καὶ Λυκείου τυπώνονται ἀπό τὸν Ὀργανισμό Εκδόσεως Διδακτικῶν Βιβλίων καὶ μοιράζονται ΔΩΡΕΑΝ.

ΟΡΓΑΝΙΣΜΟΣ ΔΙΔΑΚΤΙΚΩΝ ΒΙΒΛΙΩΝ

ΣΩΜΑΤΙΟ ΕΛΛΑΣ

Η ΚΙΣΣΥΦ

τὸ τεσσάρηνδρον καὶ ἔγγυαντα τὸ ποσφόλιν τὸ
υοίσαντα τὸ δοκιτουργόν δοτὸν αὐλαῖς ὑπέτασσον
δικηρίῳ οὐ νότ δοθὲ ποτνονάκτινον αὐλαῖς
αὐλαῖς αὐλαῖς νωκτιασίδεασσονται·
ΑΔΕΡΒΑΝ ιωτ

ΑΛΚΙΝΟΟΥ Ε. ΜΑΖΗ

Τακανιάντος - Κριτική

Επιμέλεια της Κρίσης

Επίσημη έκδοση του Αλκινοού Ε. Μαζή, προφορικό στρατηγικό ομάδα της Κρίσης.

ΦΥΣΙΚΗ

Επίσημη έκδοση του Αλκινοού Ε. Μαζή, προφορικό στρατηγικό ομάδα της Κρίσης. Η φυσική είναι η απόλυτη στρατηγική ομάδα της Κρίσης. Η φυσική είναι η απόλυτη στρατηγική ομάδα της Κρίσης. Η φυσική είναι η απόλυτη στρατηγική ομάδα της Κρίσης. Η φυσική είναι η απόλυτη στρατηγική ομάδα της Κρίσης. Η φυσική είναι η απόλυτη στρατηγική ομάδα της Κρίσης. Η φυσική είναι η απόλυτη στρατηγική ομάδα της Κρίσης.

ΓΛΥΚΕΙΟΥ

Ο Αλκινόος Ε. Μαζής είναι ο μεγαλύτερος Έλληνας συγγραφέας της διεθνούς φωνής στην επιστημονική σφραγίδα της φυσικής. Το έργο του Αλκινοού Ε. Μαζής είναι η μεγαλύτερη σημασία της φυσικής στην Ελλάδα. Το έργο του Αλκινοού Ε. Μαζής είναι η μεγαλύτερη σημασία της φυσικής στην Ελλάδα. Το έργο του Αλκινοού Ε. Μαζής είναι η μεγαλύτερη σημασία της φυσικής στην Ελλάδα. Το έργο του Αλκινοού Ε. Μαζής είναι η μεγαλύτερη σημασία της φυσικής στην Ελλάδα.

Ε. Μαζής Β. Κριτική (2)

Φυσική θεού της αποτελεί διατάξιμη διεθνή σημασία. Η φυσική θεού της αποτελεί διατάξιμη διεθνή σημασία.

ΟΡΓΑΝΙΣΜΟΣ ΕΚΔΟΣΕΩΣ ΔΙΔΑΚΤΙΚΩΝ ΒΙΒΛΙΩΝ
της Κρίσης

ΑΘΗΝΑ 1981

ΑΝΩΝΥΜΗ Ε. ΜΑΣΗ

ΦΥΣΙΚΗ

Ε. ΑΝΩΝΥΜΗ

ΕΛΛΗΝΙΚΗΣ

ΕΠΙΧΕΙΡΗΣΗΣ ΣΤΗΝ ΕΛΛΑΣ ΚΑΙ ΤΗΝ ΕΓΓΥΟΤΗΡΙΑ

Ψηφιοποιήθηκε από το Ινστιτούτο Εκπαιδευτικής Πολιτικής

ΜΗΧΑΝΙΚΗ

Ταλαντώσεις – Κύματα

I. Φυσικό έκκρεμές

Όνομάζουμε φυσικό έκκρεμές ένα στερεό σώμα που μπορεί νά στρέφεται γύρω από δριζόντιο άξονα Ο που δέν περνάει από τό κέντρο βάρους Κ τού σώματος (σχ. 1).

α. "Η κίνηση τού φυσικοῦ έκκρεμοῦς." Όταν τό φυσικό έκκρεμές τό απομακρύνουμε από τή θέση τής ίσορροπίας του και ξεπειτα τό άφησουμε έλευθερο, τότε τό έκκρεμές έκτελει στροφική ταλάντωση γύρω από τόν δριζόντιο άξονα Ο (σχ. 1). Ή ροπή άδράνειας τού σώματος ώς πρός τόν άξονα Ο είναι Θ και ή απόσταση τού κέντρου βάρους Κ από τόν άξονα περιστροφῆς είναι $OK = \delta$. Πάνω στό σώμα ένεργει τό βάρος τού σώματος $B = m \cdot g$ και ή άντιδραση τού άξονα ($F_{\text{αξ}}$). Τό σώμα έκτελει στροφική(2) κίνηση και ισχύει ή θεμελιώδης έξισωση τής στροφικῆς κινήσεως :

$$M = \Theta \cdot a \quad (1)$$

όπου α είναι ή στιγμιαία γωνιακή έπιτάχυνση και M ή συνισταμένη τῶν ροπῶν τῶν δυνάμεων, που ένεργον στό σώμα, ώς πρός τόν άξονα περιστροφῆς. Ή ροπή τής άντιδρασεως τού άξονα ($F_{\text{αξ}}$) είναι ίση μέ μηδέν. "Ετσι πάνω στό σώμα ένεργει μόνο ή ροπή τού βάρους (M) τού σώματος, ή όποια είναι μιά ροπή έπαναφορᾶς, που σέ κάθε στιγμή τείνει νά έπαναφέρει τό σώμα στή θέση ίσορροπίας και κατ' απόλυτη τιμή έχει μέτρο :

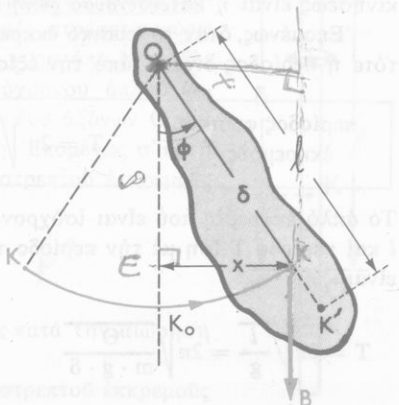
$$M = B \cdot x$$

$$\text{ή } M = m \cdot g \cdot \delta \cdot \eta \mu \varphi \quad (2)$$

Θεωρούμε δτι τό φυσικό έκκρεμές έκτελει αλωρήσεις μικροῦ πλάτους. Τότε κατά μεγάλη προσέγγιση τό ημ φ είναι ίσο μέ φ (rad) και έπομένως ή έξισωση (2) γράφεται :

$$M = m \cdot g \cdot \delta \cdot \varphi \quad (3)$$

"Η έξισωση (3) δείχνει δτι



Σχ. 1. Στροφική ταλάντωση τού φυσικοῦ έκκρεμοῦς.

* Η απόλυτη τιμή της ροπῆς έπαναφορᾶς M είναι άναλογη με τή γωνιακή απομάκρυνση φ .

* Επομένως, δταν τό πλάτος αιωρήσεως τοῦ φυσικοῦ έκκρεμοῦ είναι μικρό, ή κίνηση τοῦ φυσικοῦ έκκρεμοῦ κατά μεγάλη προσέγγιση είναι άρμονική στροφική ταλάντωση.

* Η έξισωση (3) γράφεται

$$M = D \cdot \varphi$$

(4)

δπου $D = m \cdot g \cdot \delta$. Τό μέγεθος D δονομάζεται κατευθύνουσα ροπή της στροφικῆς ταλαντώσεως.

* β. Περίοδος τοῦ φυσικοῦ έκκρεμοῦ. Στήν εύθυγραμμη άρμονική ταλάντωση ή δύναμη έπαναφορᾶς κατ' απόλυτη τιμή δίνεται από τήν έξισωση :

$$F = f \cdot x$$

δπου $f = F/x$ είναι μιά σταθερή της κινήσεως (κατευθύνουσα δύναμη) και x είναι ή γραμμική απομάκρυνση.

* Η περίοδος T τής άρμονικῆς ταλαντώσεως δίνεται από τήν έξισωση :

$$T = 2\pi \sqrt{\frac{m}{f}}$$

δπου m είναι ή μάζα τοῦ σώματος.

Στή στροφική κίνηση τοῦ στερεοῦ σώματος άντι γιά τή μάζα m έχουμε τή ροπή άρδανειας Θ τοῦ σώματος ως πρός τόν ξένονα περιστροφῆς.

Στή στροφική άρμονική ταλάντωση στερεοῦ σώματος ή σταθερή της κινήσεως είναι ή κατευθύνουσα ροπή $D = M/\varphi$.

* Επομένως, δταν τό φυσικό έκκρεμές έκτελει αιωρήσεις μικροῦ πλάτους τότε ή περίοδος δίνεται από τήν έξισωση :

περίοδος φυσικοῦ
έκκρεμοῦ

$$T = 2\pi \sqrt{\frac{\Theta}{D}} \quad \text{ή} \quad T = 2\pi \sqrt{\frac{\Theta}{m \cdot g \cdot \delta}} \quad \checkmark \quad (5)$$

Τό άπλο έκκρεμές πού είναι ίσοχρονο με τό φυσικό έκκρεμές έχει μῆκος l και περίοδο T ίση με τήν περίοδο τοῦ φυσικοῦ έκκρεμοῦ και έπομένως είναι :

$$T = 2\pi \sqrt{\frac{l}{g}} = 2\pi \sqrt{\frac{\Theta}{m \cdot g \cdot \delta}}$$

άρα

$$l = \frac{\Theta}{m \cdot \delta} \quad (6)$$

γ. Κέντρο αιωρήσεως. Η έξισωση (6) φανερώνει ότι μποροῦμε νά θεωρήσουμε ότι ή μάζα m τοῦ φυσικοῦ έκκρεμοῦ είναι συγκεντρωμένη σε

ένα σημείο K' , πού ή απόστασή του άπο τόν $\ddot{\text{ξ}}\text{ονα}$ περιστροφής Ο είναι

$$\text{ΐση μέ} \quad OK' = l = \frac{\Theta}{m \cdot \delta}$$

Τό σημείο K' δονομάζεται κέντρο αἰωρήσεως τοῦ φυσικοῦ ἐκκρεμοῦ.

Τό κέντρο αἰωρήσεως K' ἔχει τήν $\ddot{\text{ξ}}\text{ης}$ ίδιότητα : "Αν θεωρήσουμε δτι ή μάζα τοῦ φυσικοῦ ἐκκρεμοῦ είναι συγκεντρωμένη στό σημεῖο Ο καὶ τό φυσικό ἐκκρεμές αἰωρεῖται γύρω ἀπό δριζόντιο $\ddot{\text{ξ}}\text{ονα}$ Ο' πού περνάει ἀπό τό κέντρο αἰωρήσεως K' , τότε ή περίοδος Τ τοῦ φυσικοῦ ἐκκρεμοῦ διατηρεῖται ἀμετάβλητη καὶ τό σημεῖο Ο γίνεται τό νέο κέντρο αἰωρήσεως τοῦ φυσικοῦ ἐκκρεμοῦ. "Ωστε :

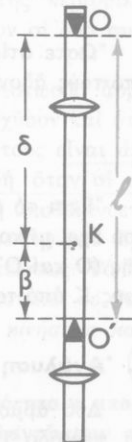
Στό φυσικό ἐκκρεμές τό σημεῖο (Ο) τῆς στηρίξεως τοῦ ἐκκρεμοῦ πάνω στόν $\ddot{\text{ξ}}\text{ονα}$ περιστροφής καὶ τό κέντρο αἰωρήσεως (K') τοῦ ἐκκρεμοῦ πυροῦν νά ἀνταλλάξουν τό ρόλο τους χωρίς νά μεταβληθεῖ ή περίοδος (Τ) τοῦ ἐκκρεμοῦ.

δ) 'Αντιστρεπτό ἐκκρεμές. 'Εφαρμογή τῆς παραπάνω ίδιότητας τοῦ φυσικοῦ ἐκκρεμοῦ είναι τό ἀντιστρεπτό ἐκκρεμές. Αὐτό είναι ένα φυσικό ἐκκρεμές πού μπορεῖ νά στρέφεται εἴτε γύρω ἀπό τό δριζόντιο $\ddot{\text{ξ}}\text{ονα}$ Ο, εἴτε γύρω ἀπό έναν ἄλλο δριζόντιο $\ddot{\text{ξ}}\text{ονα}$ Ο' (σχ. 2). Κατά μῆκος τῆς ράβδου τοῦ ἐκκρεμοῦ πυροῦμε νά μετακινοῦμε δρισμένες μάζες καὶ εἴτε μεταβάλλουμε τήν ἀπόσταση τοῦ κέντρου βάρους K ἀπό τόν $\ddot{\text{ξ}}\text{ονα}$ περιστροφής Ο. Μετακινώντας κατάλληλα αὐτές τίς μάζες πετυχαίνουμε, ώστε ή περίοδος Τ τοῦ ἐκκρεμοῦ νά είναι ή $\ddot{\text{ι}}$ δια καὶ δταν τό ἐκκρεμές στρέφεται γύρω ἀπό τόν $\ddot{\text{ξ}}\text{ονα}$ Ο καὶ δταν στρέφεται γύρω ἀπό έναν ἄλλο $\ddot{\text{ξ}}\text{ονα}$ Ο'. Τότε τό μῆκος l τοῦ ισχύρουν ἀπλοῦ ἐκκρεμοῦ είναι \dot{l} σο μέ τήν ἀπόσταση τῶν δύο $\ddot{\text{ξ}}\text{ονων}$ Ο καὶ Ο'. 'Η ἀπόσταση αὐτή είναι σταθερή. 'Επομένως σ' αὐτή τήν περίπτωση ή περίοδος τοῦ ἀντιστρεπτοῦ ἐκκρεμοῦ είναι :

$$T = 2\pi \sqrt{\frac{l}{g}}$$

δπο $l = OO'$ καὶ T ή κοινή περίοδος κατά τήν αἰωρηση γύρω ἀπό τούς $\ddot{\text{ξ}}\text{ονες}$ Ο καὶ Ο'.

'Η παραπάνω ίδιότητα τοῦ ἀντιστρεπτοῦ ἐκκρεμοῦ $\ddot{\text{ξ}}\text{ηγεῖται}$ ώς $\ddot{\text{ξ}}\text{ης}$: "Αν Θ_κ είναι ή ροπή ἀδράνειας τοῦ ἐκκρεμοῦ ώς πρός δριζόντιο $\ddot{\text{ξ}}\text{ονα}$ πού περνάει ἀπό τό



Σχ. 2. 'Αντιστρεπτό ἐκκρεμές.

κέντρο βάρους K, τότε ή ροπή άδράνειας ώς πρός τόν αξονα O είναι :

$$\Theta = \Theta_x + m\delta^2$$

Επομένως τό μήκος l του ίσοχρονου άπλου έκκρεμούς είναι :

$$l = \frac{\Theta}{m\delta} = \frac{\Theta_x + m\delta^2}{m\delta} \quad \text{καὶ} \quad l = \frac{\Theta_x}{m\delta} + \delta \quad (8)$$

Όταν τό έκκρεμές αιώρεται γύρω άπό τόν αξονα O', τότε ή άποσταση του κέντρου βάρους K άπό τόν καινούριο αξονα O' είναι :

$$\beta = O'K = l - \delta$$

Τό μήκος l' του καινούριου ίσοχρονου άπλου έκκρεμούς είναι :

$$l' = \frac{\Theta'}{m\beta} = \frac{\Theta_x + m\beta^2}{m\beta} = \frac{\Theta_x}{m\beta} + \beta$$

ή

$$l' = \frac{\Theta_x}{m(l-\delta)} + (l-\delta) \quad (9)$$

$$\text{Από τήν έξισωση (8) έχουμε : } l - \delta = \frac{\Theta_x}{m\delta} \quad (10)$$

Άν στήν έξισωση (9) βάλουμε τήν τιμή του (l - δ) άπό τήν έξισωση (10), βρίσκουμε :

$$l' = \frac{\Theta_x}{m\delta} + \delta \quad \text{ἄρα} \quad l' = l$$

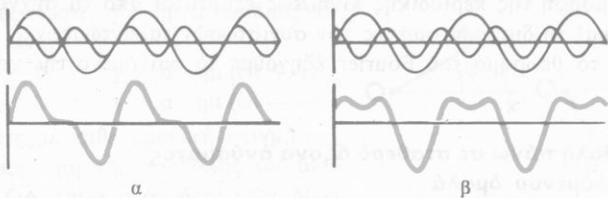
Ωστε στίς δύο περιπτώσεις αιωρήσεως του φυσικού έκκρεμούς (γύρω άπό τους αξονες O καὶ O') ή περίοδος είναι ή ίδια :

$$T = 2\pi \sqrt{\frac{l}{g}} = 2\pi \sqrt{\frac{l'}{g}}$$

Έτσι τό άντιστρεπτό έκκρεμές είναι ίσοχρονο μέ ένα άπλο έκκρεμές πού έχει μήκος l σο μέ τή σταθερή άποσταση τῶν δύο αξόνων περιστροφῆς (O καὶ O'). Στό άντιστρεπτό έκκρεμές οι άποστάσεις του κέντρου βάρους K άπό τους δύο αξονες O καὶ O' πρέπει νά είναι άγνισες.

2. Ανάλυση περιοδικής κινήσεως κατά Fourier

Δύο άρμονικές ταλαντώσεις μέ τήν ίδια διεύθυνση έχουν άντιστοιχα περίοδο T_1 καὶ $T_2 = T_1/2$ (σχ. 3). Τότε οι συχνότητες αὐτῶν τῶν δύο ταλαντώσεων είναι άντιστοιχα v_1 καὶ $v_2 = 2v_1$. Ή ταλάντωση μέ τή μικρότερη συχνότητα v_1 είναι ή θεμελιώδης η πρώτη άρμονική καὶ η τα-



Σχ. 3. Η συνισταμένη κίνηση τῶν δύο άρμονικῶν ταλαντώσεων εἶναι περιοδική μή ήμιτονοειδής κίνηση.

(Οἱ συχνότητες τῶν συνιστωσῶν ταλαντώσεων ἔχουν λόγο 1:2).

λάντωση μὲ τῇ διπλάσιᾳ συχνότητα v_2 εἶναι ή δεύτερη ἀρμονική. Αὐτές οἱ δύο ταλαντώσεις ἔχουν ἀντίστοιχα ἔξισώσεις :

$$y_1 = a_1 \cdot \eta \mu \omega_1 t \quad \text{καὶ} \quad y_2 = \beta \cdot \eta \mu \omega_2 t$$

✓ Η συνισταμένη κίνηση ἔχει σέ κάθε στιγμή ἀπομάκρυνση y ἵση μὲ τὸ ἀλγεβρικό ἄθροισμα τῶν ἀπομακρύνσεων y_1 καὶ y_2 τῶν δύο συνιστωσῶν ταλαντώσεων, δηλαδή εἶναι

$$\underline{y = y_1 + y_2}$$

"Αν γραφικά βροῦμε τὴ συνισταμένη κίνηση τῶν δύο άρμονικῶν ταλαντώσεων, παρατηροῦμε ὅτι η συνισταμένη κίνηση εἶναι περιοδική κίνηση (ταλάντωση) πού ἔχει περίοδο T_1 , ἀλλά δέν εἶναι ήμιτονοειδής κίνηση, δηλαδή δέν εἶναι ἀρμονική ταλάντωση. Η μορφή τῆς περιοδικῆς κινήσεως ἔξαρταται καὶ ἀπό τῇ διαφορά φάσεως πού ἔχουν οἱ δύο συνιστῶσες ταλαντώσεις. (σχ. 3β).

Στό παραπάνω παράδειγμα οἱ συχνότητες τῶν δύο συνιστωσῶν άρμονικῶν ταλαντώσεων ἔχουν λόγο $v_2/v_1 = 2$. Τά ἴδια δμως ἴσχυουν καὶ ὅταν ἔχουμε πολλές άρμονικές ταλαντώσεις πού οἱ συχνότητές τους εἶναι ἀκέραια πολλαπλάσια μιᾶς θεμελιώδους συχνότητας v , δηλαδή ὅταν οἱ συχνότητές τους εἶναι $v, 2v, 3v, \dots, kv$. Σ' αὐτή τήν περίπτωση ἀποδεικνύεται ὅτι η συνισταμένη κίνηση εἶναι περιοδική κίνηση (ταλάντωση) πού ἔχει συχνότητα v ἵση μὲ τῇ συχνότητα τῆς θεμελιώδους ταλαντώσεως. Τό παραπάνω συμπέρασμα ἀν τό διατυπώσουμε ἀντίστροφα, ἀποτελεῖ τό θεώρημα τοῦ Fourier πού δονομάζεται καὶ ἀνάλυση περιοδικῆς κινήσεως κατά Fourier :

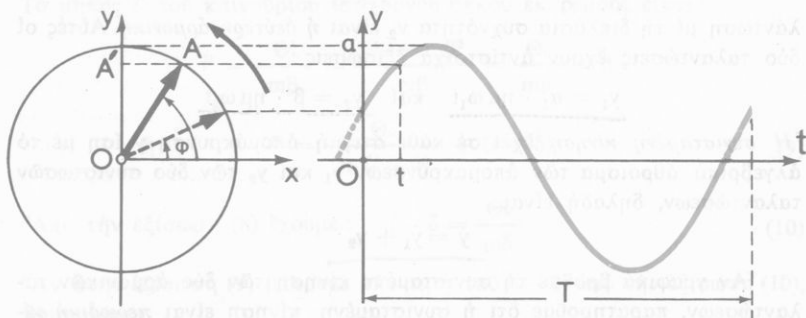
Μιά μή ήμιτονοειδής περιοδική κίνηση, πού ἔχει συχνότητα v , μπορεῖ νὰ θεωρηθεῖ ὡς συνισταμένη πολλῶν άρμονικῶν ταλαντώσεων πού οἱ συχνότητές τους εἶναι ἀκέραια πολλαπλάσια μιᾶς θεμελιώδους συχνότητας v .

Η μορφή της περιοδικής κινήσεως έξαρταται άπο τη συχνότητα, το πλάτος και τη διαφορά φάσεως των συνιστωσών ταλαντώσεων.

Μέ το θεώρημα του Fourier έξηγούμε τό φαινόμενο της χροιᾶς τοῦ ήχου.

3. Προβολή πάνω σέ σταθερό αξονα άνυσματος στρεφόμενου όμαλα

"Ενα άνυσμα \vec{OA} που έχει μέτρο a στρέφεται γύρω από τήν άρχη του Ο μέ σταθερή γωνιακή ταχύτητα ω πάνω στό έπιπεδο xOy (σχ. 4). Στήν άρχη



Σχ. 4. Η προβολή A' τοῦ σημείου A πάνω στόν αξονα Oy έκτελεί άρμονική ταλάντωση.

τῶν χρόνων ($t = 0$) τό άνυσμα \vec{OA} σχηματίζει μέ τόν αξονα τῶν χρόνων Ox μιά γωνία ϕ (άρχική φάση). Κατά τή χρονική στιγμή t η φάση τῆς κινήσεως τοῦ άνυσματος \vec{OA} είναι η γωνία $\omega t + \phi$ και η άλγεβρική τιμή τῆς προβολῆς OA' τοῦ άνυσματος \vec{OA} πάνω στόν αξονα Oy είναι:

$$y = a \cdot \eta \mu (\omega t + \phi)$$

"Όταν λοιπόν τό άνυσμα \vec{OA} στρέφεται όμαλά, η προβολή A' τῆς ακρης A τοῦ άνυσματος \vec{OA} πάνω στόν αξονα Oy έκτελεί άρμονική ταλάντωση, δηλαδή ήμιτονοειδή κίνηση που έχει πλάτος a , ίσο μέ τό μέτρο τοῦ άνυσματος \vec{OA} , και περίοδο $T = 2\pi/\omega$ ίση μέ τήν περίοδο τῆς κινήσεως τοῦ άνυσματος \vec{OA} .

Η άρχική φάση ϕ μπορεῖ νά είναι θετική ή άρνητική (σχ. 5.) και

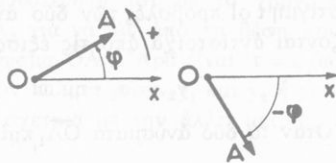
(*) Γιατί είναι $f = m \cdot \omega^2 = m \cdot \frac{4\pi^2}{T^2} = \sigma_{\text{αθ}}$.

τότε ή έξισωση της ήμιτονοειδούς κινήσεως είναι :

$$\text{γιά } \varphi > 0 \quad y = a \cdot \eta \mu (\omega t + \varphi)$$

$$\text{γιά } \varphi < 0 \quad y = a \cdot \eta \mu (\omega t - \varphi)$$

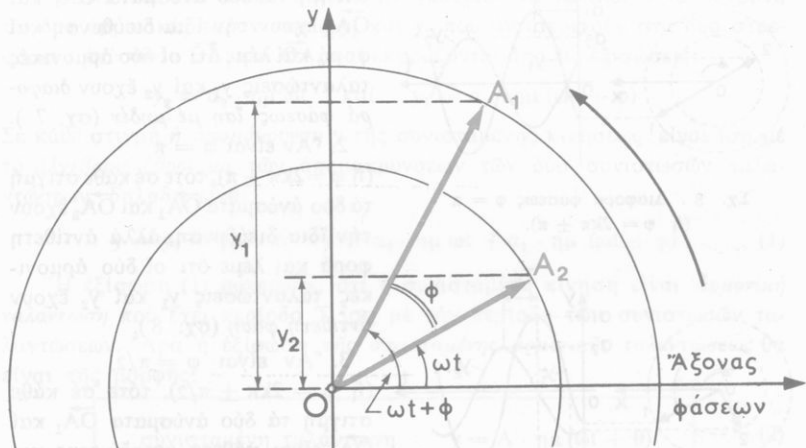
"Ωστε σέ κάθε χρονική στιγμή τ ή αλγεβρική τιμή της προβολής του άνυσματος \vec{OA} πάνω στόν ξενονα Ογ δίνει τήν τιμή της άπομακρύνσεως γ.



Σχ. 5. Η άρχικη φάση φ μπορεῖ νά είναι θετική ή άρνητική.

4. Διαφορά φάσεως και σύνθεση δύο άρμονικῶν ταλαντώσεων

Θεωροῦμε δύο άνυσματα \vec{OA}_1 και \vec{OA}_2 πού άντιστοιχα έχουν μέτρο a_1 και a_2 και στρέφονται πάνω στό ίδιο έπιπεδο γύρω από τήν κοινή άρχη τους Ο μέ σταθερή γωνιακή ταχύτητα ω , έπομένως έχουν και τήν ίδια περίοδο T (σχ. 6). Γιά άπλοτητα έποθέτουμε ότι τό άνυσμα \vec{OA}_2 κατά τήν άρχη τῶν χρόνων ($t = 0$) περνάει από τόν ξενονα τῶν



Σχ. 6. Η γωνία φ είναι η διαφορά φάσεως.

φάσεων Οχ. Τό άνυσμα \vec{OA}_1 προηγεῖται πάντοτε από τό άνυσμα \vec{OA}_2 κατά μιά σταθερή γωνία φ πού δονομάζεται διαφορά φάσεως μεταξύ τῶν κινήσεων τῶν δύο άνυσμάτων. Κατά μιά χρονική στιγμή τή θέση τῶν άνυσμάτων \vec{OA}_2 και \vec{OA}_1 σχετικά μέ τόν ξενονα τῶν φάσεων Οχ προσδιο-

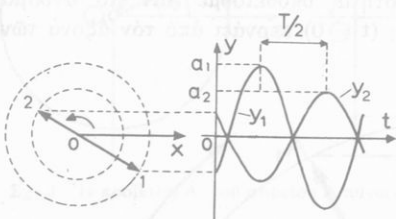
ρίζεται άντιστοιχα άπό τίς γωνίες ωτ και $\omega t + \varphi$. Κατά τήν ίδια χρονική στιγμή τ οι προβολές τῶν δύο άνυσμάτων πάνω στόν ξένονα Ου καθορίζονται άντιστοιχα άπό τίς έξισώσεις:

$$y_2 = a_2 \cdot \eta \mu \omega t \quad \text{καὶ} \quad y_1 = a_1 \cdot \eta \mu (\omega t + \varphi)$$

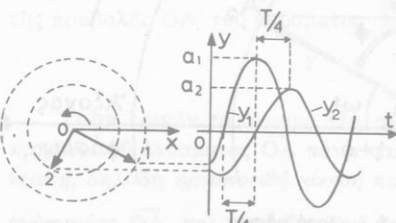
Όταν τά δύο άνυσματα \overrightarrow{OA}_1 και \overrightarrow{OA}_2 στρέφονται δημαρχός, τότε οι προβολές τῶν ξένων τους A_1 και A_2 πάνω στόν ξένονα Ου έκτελούν άρμονική ταλαντώση μέση περίοδο $T = 2\pi/\omega$.

Σ' αυτή τήν περίπτωση λέμε δτι οι δύο άρμονικές ταλαντώσεις έχουν μεταξύ τους διαφορά φάσεως φ (rad), η δποία είναι μέγεθος σταθερό για αυτές τίς δύο ταλαντώσεις.

Σχ. 7 Διαφορά φάσεως $\varphi=0$ (η $\varphi = 2k\pi$).



Σχ. 8 Διαφορά φάσεως $\varphi = \pi$
(η $\varphi = 2k\pi \pm \pi$).



Σχ. 9 Διαφορά φάσεως $\varphi = \pi/2$
(η $\varphi = 2k\pi \pm \pi/2$).

Διαφορά φάσεως και χρονική καθυ στέρηση. Στήν παράσταση τῶν στρεφόμενων άνυσμάτων \overrightarrow{OA}_1 και \overrightarrow{OA}_2 (σχ. 7) παρατηροῦμε δτι στή διαφο-

Μερικές περιπτώσεις 1. "Αν είναι $\varphi = 0$ (η $\varphi = 2k\pi$), τότε σέ κάθε στιγμή τά δύο άνυσματα \overrightarrow{OA}_1 και \overrightarrow{OA}_2 έχουν τήν ίδια διεύθυνση και φορά και λέμε δτι οι δύο άρμονικές ταλαντώσεις y_1 και y_2 έχουν διαφορά φάσεως φ ίση μέση μηδέν (σχ. 7).

2. "Αν είναι $\varphi = \pi$ (η $\varphi = 2k\pi \pm \pi$), τότε σέ κάθε στιγμή τά δύο άνυσματα \overrightarrow{OA}_1 και \overrightarrow{OA}_2 έχουν τήν ίδια διεύθυνση, άλλα άντιθετη φορά και λέμε δτι οι δύο άρμονικές ταλαντώσεις y_1 και y_2 έχουν άντιθετη φάση (σχ. 8).

3. "Αν είναι $\varphi = \pi/2$ (η $\varphi = 2k\pi \pm \pi/2$), τότε σέ κάθε στιγμή τά δύο άνυσματα \overrightarrow{OA}_1 και \overrightarrow{OA}_2 είναι κάθετα μεταξύ τους και λέμε δτι οι δύο άρμονικές ταλαντώσεις y_1 και y_2 έχουν διαφορά φάσεως φ ίση μέση $\pi/2$ (σχ. 9).

ρά φάσεως φ άντιστοιχεῖ μιά χρονική καθυστέρηση ίση μέ το χρόνο τ πού χρειάζεται το στρεφόμενο άνυσμα \vec{OA}_2 για νά πάει άπο τή θέση πού βρίσκεται στή θέση πού είναι τώρα το άνυσμα \vec{OA}_1 . "Αρα είναι $\tau = \phi/\omega$. Στή γραφική παράσταση τῶν δύο άρμονικῶν ταλαντώσεων y_1 καὶ y_2 ή χρονική καθυστέρηση τ τῆς μιᾶς ταλαντώσεως σχετικά μέ τήν άλλη μετριέται πάνω στόν ξένον τῶν χρόνων Ot (σχ. 8, 9).

α. Σύνθεση δύο άρμονικῶν ταλαντώσεων μέ τήν ίδια διεύθυνση καὶ τήν ίδια περίοδο. Οι δύο άρμονικές ταλαντώσεις y_1 καὶ y_2 πού άντιστοιχούν στά δύο στρεφόμενα άνυσματα \vec{OA}_1 καὶ \vec{OA}_2 έχουν τήν ίδια διεύθυνση, τήν ίδια περίοδο T , διαφορά φάσεως φ καὶ τά πλάτη τους a_1 καὶ a_2 είναι άντιστοιχα ίσα μέ το μέτρο τῶν άνυσμάτων \vec{OA}_1 καὶ \vec{OA}_2 (σχ. 6).

Σέ πολλές περιπτώσεις ἔνα ύλικό σημεῖο μέ τήν ἐπίδραση δύο ή περισσότερων αἰτίων ἀναγκάζεται νά ἐκτελέσει ταυτόχρονα δύο ή περισσότερες άρμονικές ταλαντώσεις. Τότε τό ύλικό σημεῖο ἐκτελεῖ μιά συνισταμένη κίνηση πού προκύπτει άπο τήν άρχη τῆς ἀνεξαρτησίας τῶν κινήσεων, ἄνθεωρήσουμε μικρές μετατοπίσεις τοῦ ύλικού σημείου.

"Εστω δτι ἔνα ύλικό σημεῖο ἀναγκάζεται νά ἐκτελέσει ταυτόχρονα τίς δύο άρμονικές ταλαντώσεις y_1 καὶ y_2 πού άντιστοιχούν στά δύο στρεφόμενα άνυσματα \vec{OA}_1 καὶ \vec{OA}_2 καὶ ἐκφράζονται άπο τίς ἔξισώσεις:

$$y_2 = a_2 \cdot \eta \mu \omega t \quad \text{καὶ} \quad y_1 = a_1 \cdot \eta \mu (\omega t + \phi)$$

Σέ κάθε στιγμή ή ἀπομάκρυνση γ τῆς συνισταμένης κινήσεως είναι ίση μέ τό ἀλγεβρικό ἀθροισμα τῶν ἀπομακρύνσεων τῶν δύο συνιστωσῶν ταλαντώσεων, δηλαδή είναι:

$$y = y_2 + y_1 \quad \text{ἢ} \quad y = a_2 \cdot \eta \mu \omega t + a_1 \cdot \eta \mu (\omega t + \phi) \quad (1)$$

• Η ἔξισωση (1) φανερώνει δτι ή συνισταμένη κίνηση είναι άρμονική ταλάντωση πού ἔχει περίοδο T ίση μέ τήν περίοδο τῶν συνιστωσῶν ταλαντώσεων. "Αρα ή ἔξισωση τῆς συνισταμένης άρμονικῆς ταλαντώσεως θύ είναι τῆς μορφῆς:

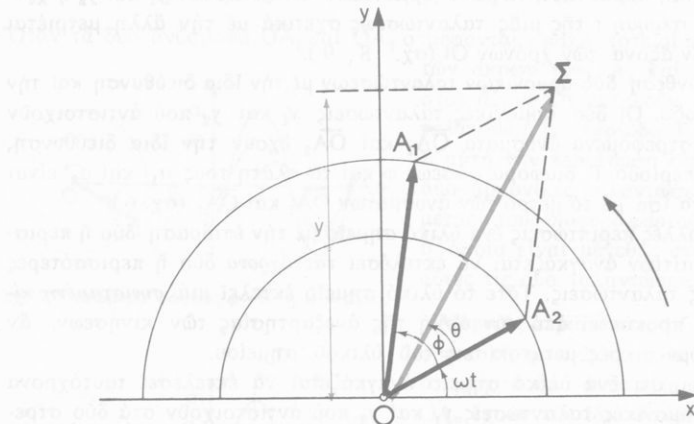
συνισταμένη ταλάντωση	$y = A \cdot \eta \mu (\omega t + \theta)$	(2)
-----------------------	--------------------------------------------	-----

ὅπου A είναι τό πλάτος τῆς συνισταμένης ταλαντώσεως καὶ θ είναι ή διαφορά φάσεως τῆς συνισταμένης ταλαντώσεως σχετικά μέ τή συνιστώσα ταλάντωση y_2 .

Σέ κάθε στιγμή τά δύο στρεφόμενα άνυσματα \vec{OA}_1 καὶ \vec{OA}_2 έχουν συνισταμένη τό γεωματρικό ἀθροισμα \vec{O} τῶν δύο άνυσμάτων (σχ. 10). Τό άνυσμα \vec{O} ἔχει σταθερό μέτρο A ίσο μέ τό πλάτος τῆς συνισταμένης ταλαντώσεως καὶ δίνεται άπο τή γνωστή ἔξισωση τῆς συνισταμένης δύο άνυσμάτων:

πλάτος συνισταμένης
ταλαντώσεως

$$A = \sqrt{a_1^2 + a_2^2 + 2a_1 a_2 \cdot \sin \varphi} \quad (3)$$



Σχ.10 Τά άνυσματα \vec{OA}_1 και \vec{OA}_2 έχουν συνισταμένη τό άνυσμα $\vec{O}\Sigma$.

*Αν έξισώσουμε τά δεύτερα μέλη τῶν έξισώσεων (1) και (2) έχουμε:

$$A \cdot \eta \mu (\omega t + \theta) = a_2 \cdot \eta \mu \omega t + a_1 \cdot \eta \mu (\omega t + \varphi) \quad (4)$$

Στήν έξισωση (4) βάζουμε διαδοχικά $t = 0$ και $\omega t = \pi/2$.

*Ετσι παίρνουμε άντιστοιχα τίς έξισώσεις:

$$A \cdot \eta \mu \theta = a_1 \cdot \eta \mu \varphi \quad (5)$$

$$A \cdot \sin \theta = a_2 + a_1 \cdot \sin \varphi \quad (6)$$

*Αν διαιρέσουμε κατά μέλη τίς έξισώσεις (5) και (6) βρίσκουμε ότι ή διαφορά φάσεως θ τῆς συνισταμένης άρμονικῆς ταλαντώσεως δίνεται ἀπό τήν έξισωση:

διαφορά φάσεως συνισταμένης ταλαντώσεως	$\text{εφ } \theta = \frac{a_1 \cdot \eta \mu \varphi}{a_2 + a_1 \cdot \sin \varphi}$	(7)
--------------------------------------------	---------------------------------------------------------------------------------------	-----

Δύο ένδιφέρουσες μερικές περιπτώσεις. *Από τήν έξισωση (3) συνάγεται δτι:

1. ἂν είναι $\varphi = 0$ (ἢ $\varphi = 2k\pi$), τότε είναι: $A = a_1 + a_2$
2. ἂν είναι $\varphi = \pi$ (ἢ $\varphi = 2k\pi \pm \pi$), τότε είναι: $A = a_1 - a_2$

Στό σχήμα 8α δείχνεται γραφικά ή σύνθεση δύο άρμονικών ταλαντώσεων μέτρια διαφορετικό πλάτος. "Αν τά πλάτη τῶν συνιστωσῶν ταλαντώσεων είναι ίσα ($a_1 = a_2 = a$), τότε γιά $\varphi = 0$ είναι $A = 2a$ και γιά $\varphi = \pi$ είναι $A = 0$. Στήν τελευταία περίπτωση ($\varphi = \pi$) τό άλικό σημείο μένει άκινητο.

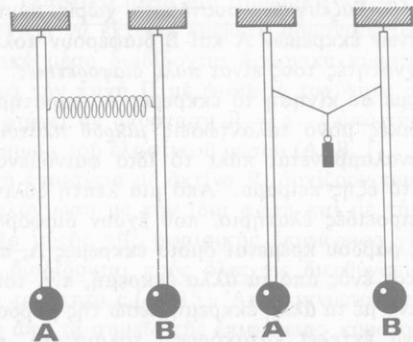
Γενικό συμπέρασμα. Από τά παραπάνω καταλήγουμε στό άκολουθο συμπέρασμα:

Η συνισταμένη κίνηση δύο άρμονικῶν ταλαντώσεων, πού έχουν τήν ίδια διεύθυνση και τήν ίδια περίοδο (T), είναι άρμονική ταλάντωση μέτρια περίοδο ίση με τήν περίοδο πού έχουν οι συνιστώσες ταλαντώσεις.

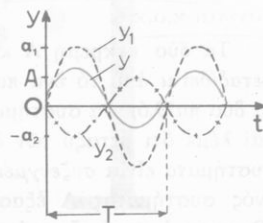
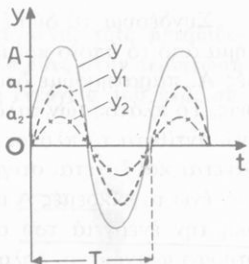
Σημείωση. Τά στρεφόμενα άνυσματα \vec{OA}_1 και \vec{OA}_2 πού θεωρήσαμε παραπάνω μπορεῖ νά άντιστιχούν σέ δύο ιδιοδήποτε φυσικό μέγεθος πού μεταβάλλεται ήμιτονοειδώς σέ συνάρτηση μέτρι τό χρόνο t . Σέ άλλα κεφάλαια θά γνωρίσουμε τέτοια φυσικά μεγέθη.

5. Σύζευξη ταλαντευόμενων συστημάτων

α. Συζευγμένα συστήματα σέ συντονισμό. Δύο έκκρεμή άποτελούνται από πολύ λεπτές ράβδους, έχουν τό ίδιο μῆκος και έπομένως έχουν και τήν ίδια ίδιο συχνότητα v_0 (σχ. 12). "Αρχικά τά δύο έκκρεμή είναι άσύνδετα μεταξύ τους. "Αν βάλλουμε σέ κίνηση τό ένα έκκρεμές παραμένει άκινητο.



Σχ.12. Σύζευξη δύο έκκρεμων μέτρι τό ίδιο μῆκος.



Σχ. 11. Σύνθεση δύο άρμονικῶν ταλαντώσεων y_1 και y_2 και η συνισταμένη ταλάντωση y ($\varphi = 0$, $\varphi = \pi$)

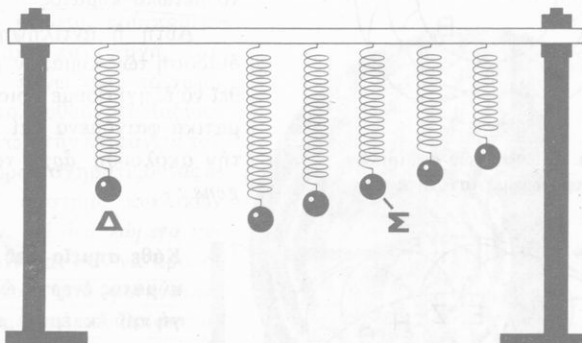
Συνδέουμε τά δύο έκκρεμή μέ ένα έλαφρό σπειροειδές έλατήριο ή μέ νήμα άπό τό δόποιο κρέμεται ένα βάρος. ⁷ Αν βάλουμε σέ κίνηση τό έκκρεμές Α, παρατηροῦμε ότι καί τό έκκρεμές Β άρχιζει νά έκτελει ταλαντώσεις. Τό πλάτος τῶν ταλαντώσεων τοῦ έκκρεμοῦς Α συνεχῶς έλαττώνεται, ένω άντιθετα τό πλάτος τῶν ταλαντώσεων τοῦ έκκρεμοῦς Β συνεχῶς αύξάνεται καί έρχεται στιγμή πού τό έκκρεμές Β κινεῖται μέ τό μέγιστο πλάτος, ένω τό έκκρεμές Α μένει άκινητο. Τότε τό έκκρεμές Α έχει μεταδώσει όλη τήν ένέργειά του στό έκκρεμές Β. ⁸ Επειτα παρατηροῦμε τό άντιστροφο φαινόμενο, δηλαδή τό έκκρεμές Β άρχιζει νά μεταδίδει τήν ένέργειά του στό έκκρεμές Α πού τό πλάτος τῆς αιώρησεώς του συνεχῶς αύξάνεται κ.ο.κ.

Τά δύο έκκρεμή Α καί Β βρίσκονται σέ συντονισμό καί ή ένέργεια μεταδίδεται άπό τό ένα παλλόμενο σύστημα στό άλλο. Καθένα άπό αύτά τά δύο παλλόμενα συστήματα γίνεται διαδοχικά διεγέρτης καί συντονιστής καί λέμε ότι μεταξύ τῶν δύο συστημάτων υπάρχει σύζευξη ή ότι τά δύο συστήματα είναι συζευγμένα. Σ' αύτή τήν περίπτωση κατά τήν κίνηση τοῦ ένός συστήματος Α έξασκονται πάνω στό άλλο σύστημα Β δυνάμεις. ⁹ Οσο πιο ίσχυρή είναι ή σύζευξη τῶν δύο συστημάτων τόσο ταχύτερα γίνεται ή μεταφορά τῆς ένέργειας άπό τό ένα σύστημα (διεγέρτης) στό άλλο (συντονιστής). ¹⁰ Από τά παραπάνω συνάγεται τό άκόλουθο συμπέρασμα :

"Οταν μεταξύ δύο παλλόμενων συστημάτων πού βρίσκονται σέ συντονισμό υπάρχει σύζευξη, τότε όλη ή ένέργεια τοῦ ένός συστήματος (τοῦ διεγέρτη) μεταδίδεται στό άλλο σύστημα (τοῦ συντονιστή).

β. Συζευγμένα συστήματα χωρίς συντονισμό. ¹¹ Αν τά μήκη δύο συζευγμένων έκκρεμῶν Α καί Β διαφέρουν πολύ μεταξύ τους, τότε καί οι ίδιοι συχνότητές τους είναι πολύ διαφορετικές. Σ' αύτή τήν περίπτωση, ¹² αν βάλουμε σέ κίνηση τό έκκρεμές Α, παρατηροῦμε ότι τό έκκρεμές Β έκτελει μερικές μόνο ταλαντώσεις μικρού πλάτους, ¹³ έπειτα ήρεμει γιά λίγο καί έπαναλαμβάνεται πάλι τό ίδιο φαινόμενο. Τά παραπάνω έπαλθεύονται μέ τό έξης πείραμα. ¹⁴ Από μιά λεπτή ξύλινη ράβδο κρέμονται έκκρεμή μέ σπειροειδές έλατήριο, πού έχουν διαφορετικά μήκη (σχ.13). Στήν ¹⁵ άκρη τῆς ράβδου κρέμεται δύμοιο έκκρεμές Δ, πού τό μήκος του είναι ίσο μέ τό μήκος ένός άπό τά άλλα έκκρεμή, π.χ. τοῦ Σ. Τό έκκρεμές Δ είναι συζευγμένο μέ τά άλλα έκκρεμή μέσω τῆς ράβδου. ¹⁶ Αν άναγκάσουμε τό έκκρεμές Δ νά έκτελει κατακόρυφη ταλάντωση, παρατηροῦμε ότι ή μεγαλύτερη ποσότητα ένέργειας μεταδίδεται σ' έκεινο τό έκκρεμές (δηλαδή στό έκκρεμές Σ) πού βρίσκεται σέ συντονισμό μέ τό διεγέρτη (Δ). ¹⁷ Από τά παραπάνω συνάγεται τό άκόλουθο συμπέρασμα :

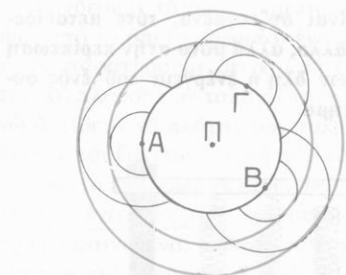
"Όταν δύο παλλόμενα συστήματα είναι συζευγμένα, τότε μεταδίδεται ένέργεια από τό ένα σύστημα στό άλλο, άλλα μόνο στήν περίπτωση τού συντονισμού τών δύο συστημάτων δήλη ή ένέργεια τού ένας συστήματος μεταδίδεται στό άλλο σύστημα.



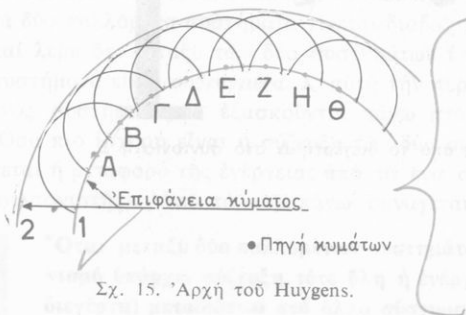
Σχ.13. Μετάδοση ένέργειας από τό διεγέρτη Δ στό συντονιστή Σ .

6. Αρχή τού Huygens

Σέ ενα διμογενές και ίσοτροπο έλαστικό μέσο μιά σημειακή πηγή P κατά τή χρονική στιγμή $t = 0$ άρχιζει νά έκτελει άμείωτη άρμονική ταλάντωση (σχ.14). Τότε στό έλαστικό μέσο διαδίδονται άρμονικά κύματα πρός δλες τίς διευθύνσεις γύρω από τήν πηγή P μέ σταθερή ταχύτητα c . Σέ μιά χρονική στιγμή t τό κύμα φτάνει σέ άπόσταση $R = c \cdot t$ από τήν πηγή P . Τή στιγμή αυτή δλα τά σημεία τού έλαστικού μέσου ($A, B, G\dots$) πού βρίσκονται πάνω στή σφαιρική έπιφάνεια μέ άκτινα R , άρχιζουν ταυτόχρονα νά έκτελον άρμονική ταλάντωση μέ τήν ίδια φάση και μέ τήν ίδια συχνότητα. Ετσι κάθε σημείο αυτής τής σφαιρικής έπιφάνειας γίνεται μιά νέα πηγή κυμάτων πού διαδίδονται πρός δλες τίς διευθύνσεις γύρω από κάθε σημείο μέ τήν ίδια ταχύτητα c (σχ.15). Αποδεικνύεται δτι τά στοιχειώδη κύματα πού φεύγουν από τά σημεία τής έπιφάνειας κύματος 1, δταν διαδίδονται πρός τό έσωτερικό αυτής τής έπιφάνειας κύματος, συμβάλλονται και άλληλοαναγούνται. Αντίθετα, τά στοιχειώδη κύματα διαδίδονται έλευθερα πρός τό έξωτερικό τής έπιφάνειας κύματος 1 και σέ



Σχ.14. Διάδοση τῶν σφαιρικῶν κυμάτων μέ ταχύτητα c.



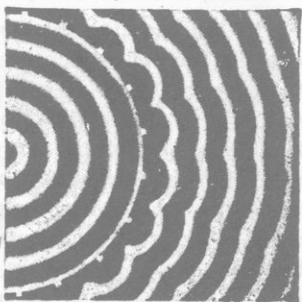
Σχ. 15. Ἀρχὴ τοῦ Huygens.

Κατὰ προσέγγιση μποροῦμε νά παρατηρήσουμε ἐφαρμογὴ τῆς ἀρχῆς τοῦ Huygens μέ τό ἔξῆς πείραμα. Μέ ἔνα διαπασῶν, πού ἐκτελεῖ ἀμείωτες ταλαντώσεις, δημιουργοῦμε πάνω στήν ἐλεύθερη ἐπιφάνεια νεροῦ κυκλικά κύματα (σχ.16). Γύρω ἀπό τήν πηγὴ τῶν κυμάτων τοποθετοῦμε μιά κυλινδρική πλάκα πού ἔχει τή μορφή χτενας (δηλαδή ἔχει κατακόρυφες λεπτές σχισμές). Ἡ ἀκτίνα καμπυλότητας τῆς κυλινδρικῆς πλάκας είναι τόση, ὥστε ἡ ἐπιφάνεια τῆς πλάκας νά συμπίπτει μέ ἔνα μέτωπο κύματος. Παρατηροῦμε δτὶ ἀπό τίς σχισμές τῆς πλάκας φεύγουν στοιχειώδη κύματα καί δτὶ σέ δρισμένη ἀπόσταση ἀπό τήν πλάκα αὐτά τά κύματα διαμορφώνουν ἔνα νέο κυλικό μέτωπο κύματος.

κάθε στιγμή οἱ σφαιρικές ἐπιφάνειες κύματος τῶν στοιχειώδῶν κυμάτων ἔχουν ὡς περιβάλλοντα ἐπιφάνεια μιά νέα σφαιρική ἐπιφάνεια 2 πού ἀποτελεῖ τό μέτωπο κύματος.

Αὐτή ἡ ἀντίληψη γιά τή διάδοση τῶν κυμάτων μᾶς βοηθεῖ νά ἔξηγήσουμε δρισμένα κυματικά φαινόμενα καί ἀποτελεῖ τήν ἀκόλουθη ἀρχή τοῦ Huygens :

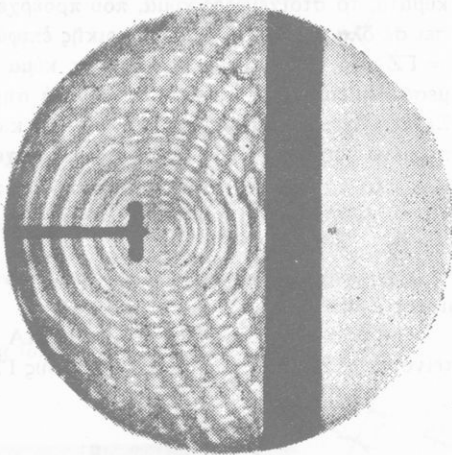
Κάθε σημεῖο τοῦ μετώπου κύματος ἐνεργεῖ ὡς νέα πηγὴ πού ἐκπέμπει στοιχειώδη κύματα. Σέ κάθε στιγμή τό μέτωπο κύματος είναι μιά μεγαλύτερη ἐπιφάνεια πού περιβάλλει τά στοιχειώδη μέτωπα κύματος.



Σχ.16 Πειραματική ἀπόδειξη τῆς ἀρχῆς τοῦ Huygens.

7. Ανάκλαση τῶν κυμάτων ἐλαστικότητας

Πάνω στήν ἐλεύθερη ἐπιφάνεια ύδραργύρου πού ἡρεμεῖ, δημιουργοῦμε κυκλικά κύματα μέ μιά πηγή πού ἔκτελεῖ ἀμείωτες ταλαντώσεις (π.χ. μέ ἓνα διαπασῶν πού διεγείρεται ἀπό ἡλεκτρομαγνήτη). Μέσα στό δοχεῖο ὑπάρχει ἕνα κατακόρυφο ἐπίπεδο τοίχωμα (σχ.17). Παρατηροῦμε δτι τά κυκλικά κύματα, πού προέρχονται ἀπό τήν πηγή, ἀνακλῶνται πάνω στό τοίχωμα καὶ ἔξακολουθοῦν νά διαδίδονται πάνω στήν ἐπιφάνεια τοῦ ύδραργύρου σχηματίζοντας ἕνα νέο σύστημα κυκλικῶν κυμάτων. Τά ἀνακλώμενα κύματα φαίνεται σάν νά προέρχονται ἀπό μιά φανταστική πηγή κυμάτων, πού βρίσκεται πίσω ἀπό τό τοίχωμα καὶ εἶναι συμμετρική τῆς πραγματικῆς πηγῆς ως πρός τό τοίχωμα. Αὐτή ἡ φανταστική πηγή δνομάζεται εἰδωλο τῆς πραγματικῆς πηγῆς τῶν κυμάτων.



Σχ.17. 'Ανάκλαση ἐπιφανειακῶν κυμάτων.

‘Η ἀνάκλαση τῶν κυμάτων ἐλαστικότητας εἶναι συνέπεια τῆς ἀρχῆς τοῦ Huygens καὶ ἀποδεικνύεται δτι γίνεται σύμφωνα μέ τούς γνωστούς νόμους τῆς ἀνακλάσεως τοῦ φωτός:

1. ‘Η ἀνακλώμενη ἀκτίνα βρίσκεται πάνω στό ἐπίπεδο προσπτώσεως πού δρᾶται ἀπό τήν προσπίπτουσα ἀκτίνα καὶ τήν κάθετο στό σημεῖο προσπτώσεως.
2. ‘Η γωνία ἀνακλάσεως α εἶναι ἵση μέ τή γωνία προσπτώσεως π (σχ. 18).

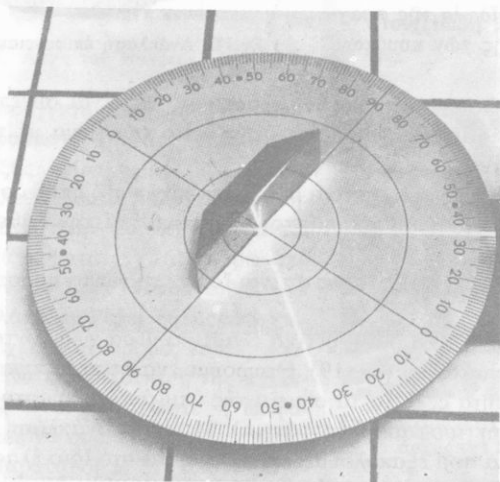
Απόδειξη. Δύο διαφορετικά ἐλαστικά μέσα χωρίζονται μεταξύ τους μέ ἐπίπεδην ἐπιφάνεια (σχ. 19). Θεωροῦμε ἔνα ἐπίπεδο κύμα πού διαδίδεται μέ ταχύτητα c. “Ολα τά σημεῖα τῆς ἐπιφάνειας κύματος κινοῦνται μέ τήν ̄δια φάση (ισοφασική ἐπιφάνεια). Μετά τήν ἀνάκλαση προκύπτει ἔνα ἐπίπεδο κύμα πού ἔξακολουθεῖ νά διαδίδεται στό ̄διο ἐλαστικό μέσο.

Οι ἀκτίνες x_1 , x_2 , x_3 εἶναι κάθετες στήν ἐπιφάνεια κύματος ΑΒΓ (σχ. 20). Κατά τή χρονική στιγμή t πρώτο τό σημεῖο Α τῆς ἐπιφάνειας MN γίνεται πηγή ἐκπομπῆς στοιχειωδῶν κυμάτων. Στή διάρκεια τοῦ χρό-

νου Δt τό κύμα διατρέχει τήν άπόσταση $\Gamma Z = c \cdot \Delta t$ και κατά τή χρονική στιγμή $t + \Delta t$ τό σημείο Z τής έπιφανειας MN γίνεται πηγή έκπομπής στοιχειωδών κυμάτων. Στή διάρκεια τού χρόνου Δt δλα τά σημεία τής έπιφανειας MN πού βρίσκονται άναμεσα στά σημεία A και Z γίνονται διαδοχικά τό ένα μετά τό άλλο πηγές έκπομπής στοιχειωδών κυμάτων. Κατά τή στιγμή $t + \Delta t$, πού τό σημείο Z άρχιζε νά έκπεμπει στοιχειώδη κύματα, τό στοιχειώδες κύμα, πού προέρχεται άπο τό σημείο A , έχει φτάσει σέ δλα τά σημεία μιᾶς σφαιρικής έπιφάνειας. Σα πού έχει άκτινα $AI = \Gamma Z = c \cdot \Delta t$ και τό στοιχειώδες κύμα πού προέρχεται άπο τό ένδιαμεσο σημείο Δ έχει φτάσει σέ δλα τά σημεία μιᾶς σφαιρικής έπιφανειας. Σα πού έχει άκτινα $\Delta\Theta = EZ = c \cdot \Delta t$ κ.ο.κ. "Αν φέρουμε τό κοινό έφαπτόμενο έπίπεδο $Z\Theta I$ αυτῶν τῶν στοιχειωδών σφαιρικῶν έπιφανειῶν, τότε δλα τά σημεία αύτούν τού έπιπεδου κατά τή χρονική στιγμή $t + \Delta t$ έχουν τήν ίδια φάση και άποτελοῦν τό νέο μέτωπο κύματος μετά τήν άνακλαση.

Οι άνακλώμενες άκτινες y_1 , y_2 , y_3 είναι κάθετες στήν έπιφανεια κύματος $Z\Theta I$.

Τά δρθογώνια τρίγωνα $A\Gamma Z$ και ZIA είναι ίσα, γιατί έχουν τήν ύποτενουσα AZ κοινή και τίς πλευρές τους ΓZ και AI ίσες ($\Gamma Z = AI$).



Σχ.18. Πειραματική, άπόδειξη τῶν νόμων τής άνακλσεως τῶν φωτεινῶν κυμάτων.

Άρα είναι: $\widehat{GAZ} = \widehat{IAZ}$

καὶ $\widehat{GZA} = \widehat{IAZ}$

Έπίσης βρίσκουμε:

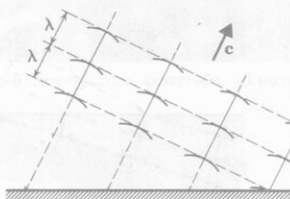
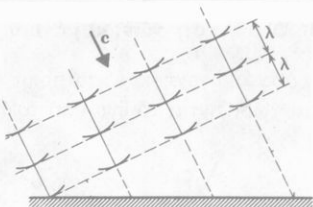
$$\widehat{GZA} = \phi \quad \text{ἄρα} \quad \widehat{IAZ} = \phi$$

$$\text{καὶ} \quad \pi = 90^\circ - \phi$$

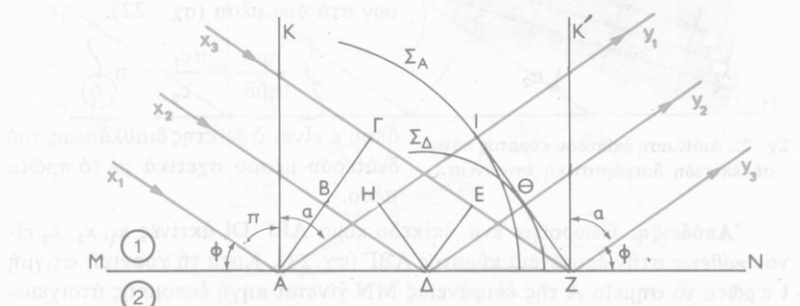
$$\widehat{KAI} = \alpha = 90^\circ - \widehat{IAZ} = 90^\circ - \phi$$

$$\text{καὶ} \quad \alpha = 90^\circ - \phi$$

Ωστε ή γωνία άνακλάσεως α είναι ίση μέ τή γωνία προσπτώσεως π.



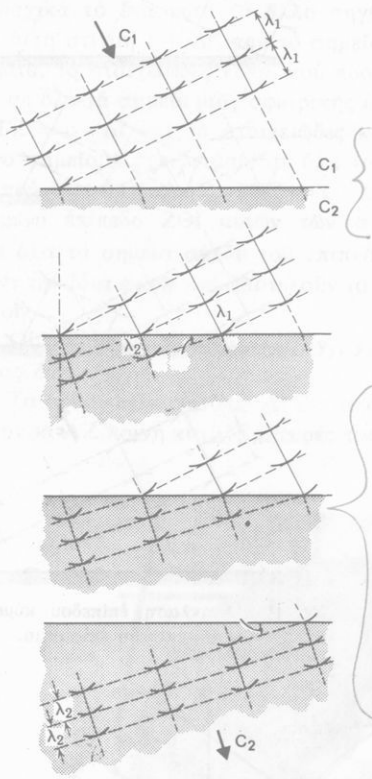
Σχ. 19. Άνακλαση έπιπεδου κύματος πάνω σε έπιπεδη έπιφάνεια.



Σχ. 20. Για την άποδειξη διτή ή γωνία προσπτώσεως (π) είναι ίση μέ τή γωνία άνακλάσεως (α).

8. Διάθλαση τῶν κυμάτων ἐλαστικότητας

Δυό διμογενή και ίσοτροπα ἐλαστικά μέσα 1 και 2 είναι διαφορετικά και χωρίζονται τό ἔνα ἀπό τό ἄλλο μέ επίπεδη ἐπιφάνεια MN. Η ταχύτητα



Σχ. 21. Διάθλαση ἐπίπεδου κύματος πάνω σε ἐπίπεδη διαχωριστική ἐπιφάνεια.

διαδόσεως τῶν κυμάτων στά δύο μέσα είναι ἀντίστοιχα c_1 και c_2 . Θεωροῦμε ἔνα ἐπίπεδο κύμα πού πέφτει πλάγια πάνω στή διαχωριστική ἐπιφάνεια (σχ. 21). Τό κύμα μπαίνοντας ἀπό τό πρῶτο μέσο στό δεύτερο ἀλλάζει ἀπότομα διεύθυνση διαδόσεως και λέμε δτι συμβαίνει διάθλαση τῶν κυμάτων.

Ἡ διάθλαση τῶν κυμάτων ἐλαστικότητας είναι συνέπεια τῆς ἀρχῆς τοῦ Huygens και ἀποδεικνύεται δτι γίνεται σύμφωνα μέ τούς γνωστούς νόμους τῆς διαθλάσεως τοῦ φωτός :

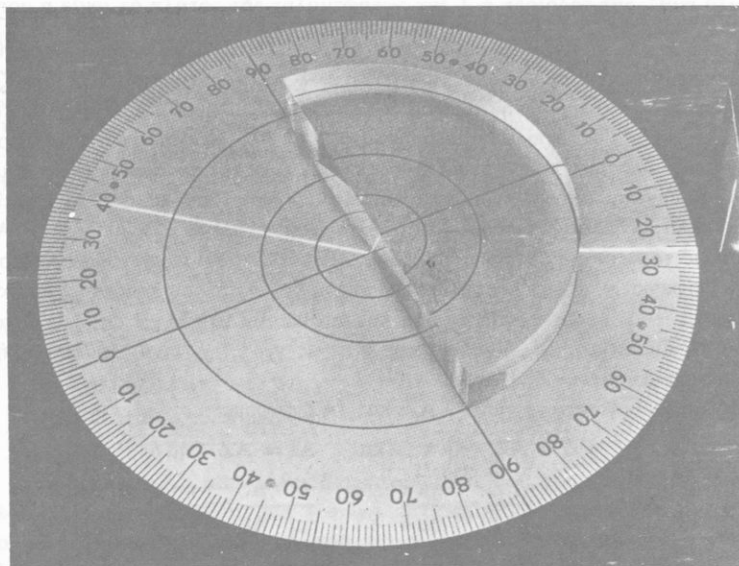
1. Ἡ διαθλώμενη ἀκτίνα βρίσκεται πάνω στό ἐπίπεδο προσπτώσεως πού δρίζεται ἀπό τήν προσπίπουσα ἀκτίνα και τήν κάθετο στό σημεῖο προσπτώσεως.

2. Ὁ λόγος τῶν ἡμιτόνων τῶν γωνιῶν προσπτώσεως π και διαθλάσεως δ είναι σταθερός και ἴσος μέ τό λόγο τῶν ταχυτήτων διαδόσεως τῶν κυμάτων στά δύο μέσα (σχ. 22).

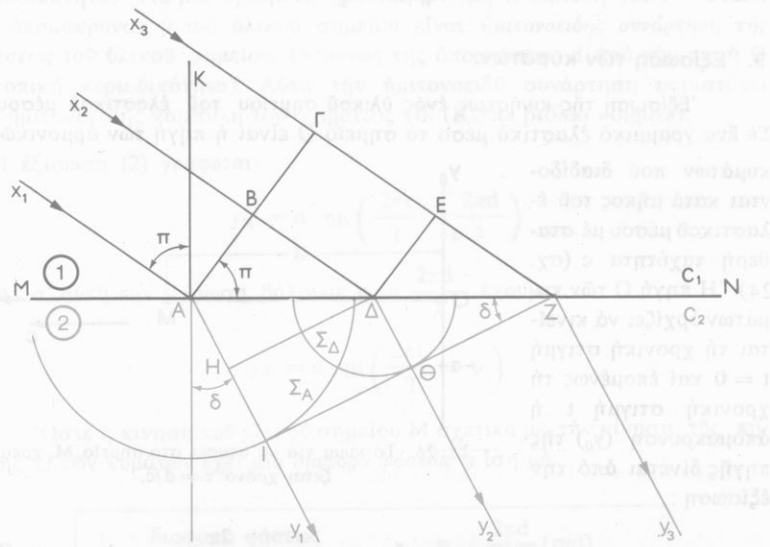
$$\left\{ \frac{\eta \mu \pi}{\eta \mu \delta} = \frac{c_1}{c_2} = n \right\}$$

ὅπου η είναι δείκτης διαθλάσεως τοῦ δεύτερου μέσου σχετικά μέ τό πρῶτο μέσο.

Ἀπόδειξη. Θεωροῦμε ἔνα ἐπίπεδο κύμα ABΓ. Οι ἀκτίνες x_1 , x_2 , x_3 είναι κάθετες στήν ἐπιφάνεια κύματος ABΓ (σχ. 23). Κατά τή χρονική στιγμή t πρῶτο τό σημεῖο A τῆς ἐπιφάνειας MN γίνεται πηγή ἐκπομπῆς στοιχειωδῶν κυμάτων. Στή διάρκεια τοῦ χρόνου Δt τό κύμα διατρέχει στό μέσο 1 τήν ἀπόσταση $\Gamma Z = c_1 \cdot \Delta t$ και κατά τή χρονική στιγμή $t + \Delta t$ τό σημεῖο Z γίνεται πηγή ἐκπομπῆς στοιχειωδῶν κυμάτων. Στή διάρκεια τοῦ



Σχ. 22. Πειραματική άπόδειξη των νόμων της διαθλάσεως των φωτεινῶν κυμάτων.



Σχ. 23. Για τήν άπόδειξη τής σχέσεως $\pi = \eta\mu \delta = c_1/c_2$.

χρόνου Δt δла τά σημεῖα τῆς ἐπιφάνειας MN πού βρίσκονται ἀνάμεσα στά σημεῖα A καὶ Z γίνονται διαδοχικά τό ἕνα μετά τό ἄλλο πηγές ἐκπομπῆς στοιχειωδῶν κυμάτων. Κατά τή στιγμή $t + \Delta t$, πού τό σημεῖο Z ἀρχίζει νά ἐκπέμπει στοιχειώδη κύματα, τό στοιχειώδες κύμα, πού προέρχεται ἀπό τό σημεῖο A, ἔχει φθάσει στό μέσο 2 σέ δла τά σημεῖα μιᾶς σφαιρικῆς ἐπιφάνειας ΣΑ πού ἔχει ἀκτίνα $AI = c_2 \cdot \Delta t$ καὶ τό στοιχειώδες κύμα πού προέρχεται ἀπό τό ἑνδιάμεσο σημεῖο Δ ἔχει φτάσει σέ δла τά σημεῖα μιᾶς σφαιρικῆς ἐπιφάνειας ΣΔ πού ἔχει ἀκτίνα $\Delta\Theta = c_2 \cdot \Delta t$ κ.ο.κ. Ἀν φέρουμε τό κοινό ἐφαπτόμενο ἐπίπεδο ΖΘΙ αὐτῶν τῶν στοιχειωδῶν σφαιρικῶν ἐπιφανειῶν, τότε δла τά σημεῖα αὐτοῦ τοῦ ἐπιπέδου κατά τή χρονική στιγμή $t + \Delta t$ ἔχουν τήν լδια φάση καὶ ἀποτελοῦν τό νέο μέτωπο κύματος μετά τή διάθλαση. Οι διαθλώμενες ἀκτίνες y_1, y_2, y_3 είναι κάθετες στήν ἐπιφάνεια κύματος ΖΘΙ.

Ἄπο τά δρθογώνια τρίγωνα ΓАЗ καὶ ΙАЗ ἔχουμε:

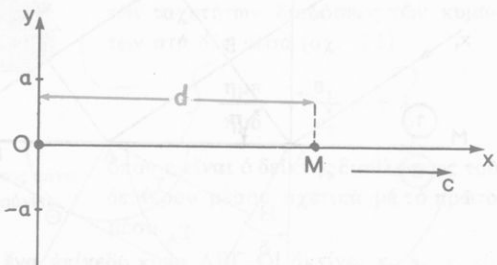
$$\Gamma Z = AZ \cdot \eta \mu \pi \quad \text{καὶ} \quad AI = AZ \cdot \eta \mu \delta$$

$$\text{ἄρα} \quad \frac{\Gamma Z}{AI} = \frac{\eta \mu \pi}{\eta \mu \delta} \quad \text{ἢ} \quad \frac{c_1 \cdot \Delta t}{c_2 \cdot \Delta t} = \frac{\eta \mu \pi}{\eta \mu \delta}$$

$$\text{καὶ} \quad \frac{\eta \mu \pi}{\eta \mu \delta} = \frac{c_1}{c_2} = \sigma_{\text{ταθ.}}$$

9. Ἐξίσωση τῶν κυμάτων.

Ἐξίσωση τῆς κινήσεως ἐνός ύλικοῦ σημείου τοῦ ἐλαστικοῦ μέσου. Σέ ἔνα γραμμικό ἐλαστικό μέσο τό σημεῖο O είναι ἡ πηγή τῶν ἀρμονικῶν κυμάτων πού διαδίδονται κατά μῆκος τοῦ ἐλαστικοῦ μέσου μέ σταθερή ταχύτητα c (σχ. 24). Ἡ πηγή O τῶν κυμάτων ἀρχίζει νά κινεῖται τή χρονική στιγμή $t = 0$ καὶ ἐπομένως τή χρονική στιγμή t ἡ ἀπομάκρυνση (y_0) τῆς πηγῆς δίνεται ἀπό τήν ἔξισωση :



Σχ. 24. Τό κύμα γιά νά φτάσει στό σημεῖο M, χρειάζεται χρόνο $\tau = d/c$.

$$y_0 = a \cdot \eta \mu \omega t \quad \text{ἢ} \quad y_0 = a \cdot \eta \mu \frac{2\pi}{T} t \quad (1)$$

ὅπου α είναι τό πλάτος τῆς ταλαντώσεως καὶ Τ ή περίοδός της. "Ενα ύλικό σημείο M τοῦ ἐλαστικοῦ μέσου βρίσκεται σέ απόσταση d ἀπό τήν πηγή O. Γιά νά φτάσει τό κύμα ἀπό τήν πηγή O τῶν κυμάτων στό σημείο M, χρειάζεται χρόνο τ = d/c. Τή χρονική στιγμή t ή κίνηση τοῦ σημείου M είναι ίδια μέ τήν κίνηση πού είχε ή πηγή O τῶν κυμάτων τή χρονική στιγμή t — τ. "Ωστε τή χρονική στιγμή t ή ἀπομάκρυνση (y_M) τοῦ σημείου M βρίσκεται, ἀν στήν εξίσωση (1) ἀντί τοῦ t βάλουμε t — τ. "Ετσι εχουμε:

$$y_M = a \cdot \eta \mu \frac{2\pi}{T} (t - \tau) \quad \text{ή} \quad y_M = a \cdot \eta \mu 2\pi \left(\frac{t}{T} - \frac{d}{cT} \right)$$

"Επειδή είναι λ = cT, βρίσκουμε δτι ή εξίσωση τῆς κινήσεως τοῦ ύλικοῦ σημείου M είναι:

$$\boxed{\text{εξίσωση τῆς κινήσεως } y_M = a \cdot \eta \mu 2\pi \left(\frac{t}{T} - \frac{d}{\lambda} \right)} \quad (2)$$

"Η εξίσωση (2) φανερώνει δτι κατά μῆκος τοῦ γραμμικοῦ ἐλαστικοῦ μέσου OX παρατηρεῖται μιά χρονική καὶ τοπική περιοδικότητα. Γιά ένα δοσμένο ύλικό σημείο M, δηλαδή γιά d = σταθ., ή ἀπομάκρυνση y τοῦ ύλικοῦ σημείου είναι ήμιτονοειδής συνάρτηση τοῦ χρόνου t (χρονική περιοδικότητα). Γιά μιά δρισμένη χρονική στιγμή t, δηλαδή γιά t = σταθ., ή ἀπομάκρυνση y τοῦ ύλικοῦ σημείου είναι ήμιτονοειδής συνάρτηση τῆς θέσεως τοῦ ύλικοῦ σημείου, ἐπομένως τῆς ἀποστάσεως d ἀπό τήν πηγή O (τοπική περιοδικότητα). Αὐτή τήν ήμιτονοειδή συνάρτηση παριστάνει ή ήμιτονοειδής καμπύλη τοῦ σχήματος 10. (Βλέπε βιβλίο κοδιοῦ).

"Η εξίσωση (2) γράφεται:

$$y_M = a \cdot \eta \mu \left(\frac{2\pi t}{T} - \frac{2\pi d}{\lambda} \right)$$

"Αν σ' αὐτή τήν εξίσωση βάλουμε φ = $\frac{2\pi d}{\lambda}$, εχουμε:

$$y_M = a \cdot \eta \mu \left(\frac{2\pi t}{T} - \varphi \right)$$

"Ωστε ή κίνηση τοῦ ύλικοῦ σημείου M σχετικά μέ τήν κίνηση τῆς πηγῆς O τῶν κυμάτων έχει μιά διαφορά φάσεως φ ίση μέ:

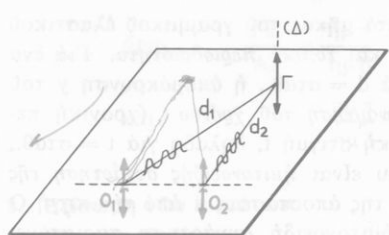
$$\boxed{\text{διαφορά φάσεως } \varphi = \frac{2\pi d}{\lambda} \text{ (rad)} \\ \text{σχετικά μέ τήν πηγή}}$$

*Αν είναι $\frac{2\pi d}{\lambda} = 2\kappa\pi$, τότε είναι $d = \kappa \cdot \lambda$ (συμφωνία φάσεως).

*Αν είναι $\frac{2\pi d}{\lambda} = (2\kappa + 1)\pi$, τότε είναι $d = (2\kappa + 1) \cdot \frac{\lambda}{2}$ (άντιθεση φάσεως).

10. Συμβολή τῶν κυμάτων ἐλαστικότητας

Θεωρούμε δύο σύγχρονες πηγές κυμάτων O_1 και O_2 (σχ. 25) που έκτελούν άμειώτες κατακόρυφες ταλαντώσεις μέτρη περίοδο T και πλάτος a . Ότις έλαστικό μέσο θεωρούμε (κατά προσέγγιση) τήν έλευθερη έπιφάνεια ύγρου. Έκλεγοντας κατάλληλα τήν άρχη τῶν χρόνων ($t = 0$) βρίσκουμε ότι η άπομάκρυνση για τῶν δύο σύγχρονων πηγῶν δίνεται σέ κάθε στιγμή από τήν έξισωση:



Σχ. 25. Συμβολή τῶν δύο κυμάτων στό σημείο Γ .

$$y = a \cdot \eta \mu \frac{2\pi}{T} t$$

Τά κύματα έλαστικότητας που παράγονται από τίς δύο πηγές φτάνουν σέ ένα σημείο Γ τού έλαστικού μέσου, που οι άποστάσεις του από τίς δύο πηγές O_1 και O_2 είναι αντίστοιχα d_1 και d_2 . Σε μιά στιγμή t η άπομάκρυνση τού σημείου Γ είναι:

- έξαιτίας τῶν κυμάτων που προέρχονται από τήν πηγή O_1

$$y_1 = a \cdot \eta \mu 2\pi \left(\frac{t}{T} - \frac{d_1}{\lambda} \right)$$

- έξαιτίας τῶν κυμάτων που προέρχονται από τήν πηγή O_2

$$y_2 = a \cdot \eta \mu 2\pi \left(\frac{t}{T} - \frac{d_2}{\lambda} \right)$$

Οι δύο άρμονικές ταλαντώσεις που άναγκαζεται νά έκτελέσει ταυτόχρονα τό σημείο Γ , παρουσιάζουν μιά διαφορά φάσεως φ ίση μέ:

$$\text{διαφορά φάσεως} \quad \varphi = \frac{2\pi}{\lambda} (d_1 - d_2)$$

(1)

Η άπομάκρυνση για τοῦ σημείου Γ κατά τή χρονική στιγμή t είναι λίστη μέ τό άλγεβρικό άθροισμα:

$$y_\Gamma = y_1 + y_2$$

Τό πλάτος A τῆς συνισταμένης ταλαντώσεως δίνεται άπο τήν έξίσωση:

$$A = \sqrt{a^2 + a^2 + 2a^2 \cdot \sin \varphi} \quad \text{ή} \quad A = a \sqrt{2(1 + \sin \varphi)} \quad (2)$$

Έπειδή είναι $(1 + \sin \varphi) = 2 \sin^2 \frac{\varphi}{2}$, ή έξίσωση (2) γράφεται:

$$A = 2a \cdot \sin \frac{\varphi}{2} \quad \text{άρα} \quad A = 2a \left[\sin \frac{\pi}{\lambda} (d_1 - d_2) \right] \quad (3)$$

Η έξίσωση (3) δείχνει ότι τό πλάτος A τῆς συνισταμένης ταλαντώσεως έξαρται άπο τή διαφορά τῶν άποστάσεων $d_1 - d_2$ τοῦ θεωρούμενου σημείου άπο τίς δύο πηγές τῶν κυμάτων.

a. Σημεῖα κινούμενα μέ μέγιστο πλάτος. Τό πλάτος A τῆς συνισταμένης ταλαντώσεως έχει τή μέγιστη άπόλυτη τιμή $A = 2a$, δταν είναι:

$$\sin \frac{\pi}{\lambda} (d_1 - d_2) = \pm 1 \quad \text{άρα} \quad \frac{\pi}{\lambda} (d_1 - d_2) = \kappa \pi$$

$$\text{δηλαδή δταν είναι : } d_1 - d_2 = \kappa \cdot \lambda \quad (4)$$

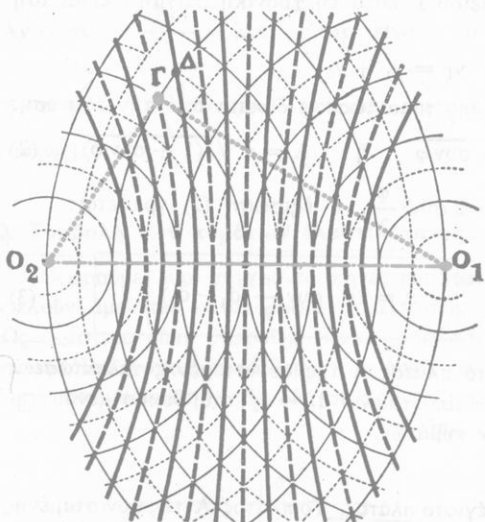
Γιά $\kappa = 0$ ή έξίσωση (4) άντιστοιχεῖ στά σημεῖα πού βρίσκονται πάνω στήν εδθεία πού είναι κάθετη στή μέση τῆς άποστάσεως $O_1 O_2$ (σχ. 26).

Γιά $\kappa = 1, 2, 3, \dots$ ή έξίσωση (4) άντιστοιχεῖ στά σημεῖα πού βρίσκονται πάνω σέ τόξα ύπερβολῶν, οι δποιες έχουν ώς έστίες τίς δύο σύγχρονες πηγές τῶν κυμάτων O_1 καὶ O_2 .

β. Σημεῖα πού μένουν άκινητα. Τό πλάτος A τῆς συνισταμένης ταλαντώσεως είναι λίστη μέ μηδέν, $A = 0$, δταν είναι

$$\sin \frac{\pi}{\lambda} (d_1 - d_2) = 0 \quad \text{άρα} \quad \frac{\pi}{\lambda} (d_1 - d_2) = (2\kappa + 1) \frac{\pi}{2}$$

$$\text{δηλαδή δταν είναι } d_1 - d_2 = (2\kappa + 1) \cdot \frac{\lambda}{2} \quad (5)$$



Σχ. 26. Έρμηνεία του σχηματισμού των κροσσών συμβολῆς.

μηδέν ή είναι ίση μέ ακέραιο άριθμό μηκῶν κύματος:

- είναι ίσο μέ μηδέν στά σημεία πού ή διαφορά των άποστάσεών τους άπο τίς δύο πηγές των κυμάτων είναι ίση μέ περιττό άριθμό ήμικυμάτων'
- τά σημεία πού κινοῦνται μέ μέγιστο πλάτος ή μένουν άκινητα βρίσκονται πάνω σέ τόξα ύπερβολῶν, τά όποια σχηματίζουν τούς κροσσούς συμβολῆς.

"Όλα τά άλλα ένδιαμεσα σημεία κινοῦνται μέ διαφορετικά πλάτη A πού είναι $0 < A < 2a$.

11. Περίθλαση των κυμάτων έλαστικότητας

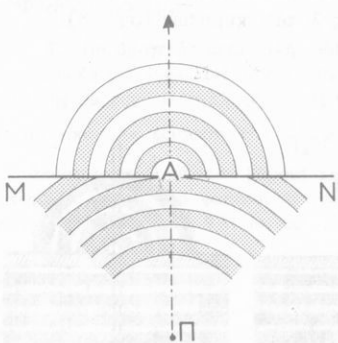
'Η άρχη τοῦ Huygens έρμηνεύει τό φαινόμενο τῆς περιθλάσεως τῶν κυμάτων, πού συμβαίνει όταν τά κύματα πέφτουν πάνω σέ μικρά άνοιγματα η ἀντικείμενα πού οἱ διαστάσεις τους είναι τῆς τάξεως τοῦ μήκους κύ-

Γιά $\kappa = 0, 1, 2, 3 \dots$
ή έξισωση (5) ἀντιστοιχεῖ σέ σημεῖα πού βρίσκονται πάνω σέ τόξα ύπερβολῶν, οἱ όποιες έχουν ώς έστιες τίς δύο σύγχρονες πηγές τῶν κυμάτων.

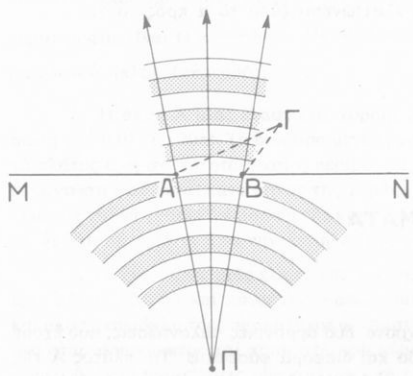
Από τίς έξισώσεις (4) καὶ (5) συνάγεται τό ἀκόλουθο γενικό συμπέρασμα :

Τό πλάτος τῆς συνισταμένης ταλαντώσεως :

- είναι μέγιστο στά σημεία πού ή διαφορά τῶν άποστάσεών τους άπο τίς δύο πηγές τῶν κυμάτων είναι ίση μέ



Σχ. 27. Τό στενό ανοιγμα Α προκαλεῖ περιθλαση τῶν σφαιρικῶν κυμάτων.



Σχ. 27a Τό μεγάλο ανοιγμα δέν προκαλεῖ περιθλαση τῶν κυμάτων.

ματος λ τῶν κυμάτων (σχ. 27).

Τότε τά σημεία τοῦ ἀνοίγματος ή τοῦ ἀντικειμένου γίνονται πηγές πού ἐκπέμπουν στοιχειώδη κύματα καὶ σέ κάθε στιγμή οἱ σφαιρικές ἐπιφάνειες κύματος τῶν στοιχειωδῶν κυμάτων ἔχουν ως περιβάλλοντα ἐπιφάνεια μιά σφαιρική ἐπιφάνεια πού ἀποτελεῖ τό νέο μέτωπο κύματος.

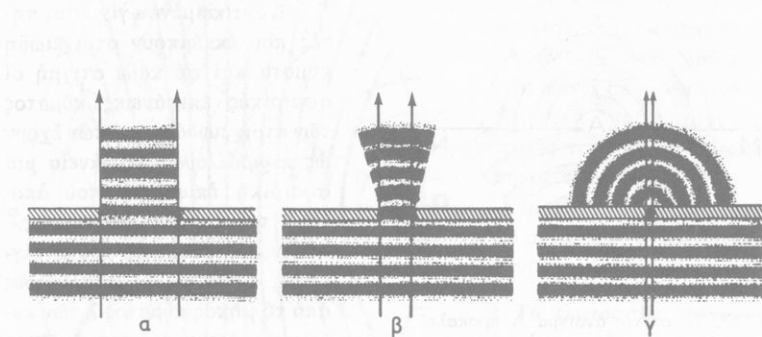
Αν οἱ διαστάσεις τοῦ ἀνοίγματος εἰναι πολύ μεγαλύτερες ἀπό τό μῆκος κύματος λ τῶν κυμάτων, τότε πάνω στό ανοιγμα πέφτει μιά ἀποκλίνουσα δέσμη ἀκτίνων ΑΠΒ (σχ. 27a). Τότε σέ ένα σημείο Γ, πού βρίσκεται ἔξω ἀπό τή δέσμη τῶν ἀκτίνων, φτάνουν στοιχειώδη κύματα πού προέρχονται ἀπό δλα τά σημεία πού ὑπάρχουν μεταξύ τῶν σημείων Α καὶ Β. Αὐτά τά στοιχειώδη κύματα διατρέχουν ἀνισους δρόμους καὶ ἐπομένως φτάνουν στό σημείο Γ μέ δλες τίς δυνατές φάσεις. Από τή συμβολή αὐτῶν τῶν κυμάτων προκύπτει σχεδόν τέλεια κατάργηση τής κινήσεως στό σημείο Γ.

Ἐτσι πίσω ἀπό τά τμήματα ΑΜ

καὶ BN τοῦ διαφράγματος δέν γίνεται διάδοση τῶν κυμάτων. Σ' αὐτή τήν περίπτωση πίσω ἀπό τό διάφραγμα τά κύματα διαδίδονται εὐθύγραμμα. Τό ίδιο φαινόμενο παρατηρεῖται καὶ ὅταν τά κύματα πέφτουν πάνω σέ ἀντικείμενα πού οἱ διαστάσεις τους εἰναι πολύ μεγαλύτερες ἀπό τό μῆκος κύματος λ τῶν κυμάτων.

"Ωστε ή ἀρχή τοῦ Huygens ἐρμηνεύει τήν περιθλαση τῶν κυμάτων πού συμβαίνει, ὅταν τά κύματα πέφτουν πάνω σέ μικρά ἀνοίγματα ἢ ἀντικείμενα, καθώς καὶ τήν εὐθύγραμμη διάδοση τῶν κυμάτων, ὅταν τά κύματα

πέφτουν πάνω σέ άνοιγματα ή άντικείμενα πού οι διαστάσεις τους είναι πολύ μεγαλύτερες από τό μήκος κύματος λ τών κυμάτων (σχ. 28).



Σχ. 28. Σχηματική παράσταση τού φαινομένου τής περιθλάσσεως έπιπεδων κυμάτων από σχισμή, όταν τό πλάτος της έλαττωνται (ἀπό τό α πρός τό γ).

ΠΡΟΒΛΗΜΑΤΑ

. Σύνθεση ταλαντώσεων

1. "Ενα ύλικο σημείο έκτελει ταυτόχρονα δύο άρμονικές ταλαντώσεις, πού έχουν τό ίδιο πλάτος $a = 10 \text{ cm}$, τήν ίδια περίοδο και διαφορά φάσεως ϕ . Τό πλάτος A τής συνισταμένης ταλαντώσεως δίνεται από τήν έξισωση $A = 2a \cdot \sin \frac{\phi}{2}$. 1) Νά βρεθούν οι τιμές πού παίρνει τό πλάτος A τής συνισταμένης ταλαντώσεως, όταν ή διαφορά φάσεως ϕ παίρνει τίς τιμές $0, \pi/2, 2\pi/3$ και π . 2) Γιά ποιά τιμή τού ϕ τό πλάτος A τής συνισταμένης ταλαντώσεως είναι ίσο μέ a $\sqrt{3}$;

2. Δύο άρμονικές ταλαντώσεις έχουν τήν ίδια περίοδο και άντιστοιχο πλάτος $a = 2 \text{ cm}$ και $\beta = 3 \text{ cm}$. Ή διαφορά φάσεως είναι $\phi = 60^\circ$. Πόσο είναι τό πλάτος A τής συνισταμένης ταλαντώσεως;

3. Δύο άρμονικές ταλαντώσεις έχουν τήν ίδια περίοδο και άντιστοιχο πλάτος $a = 3 \text{ cm}$ και $\beta = 5 \text{ cm}$. Ή συνισταμένη ταλάντωση έχει πλάτος $A = 6 \text{ cm}$. Πόση είναι ή διαφορά φάσεως μεταξύ τών δύο συνιστώσων κινήσεων;

4. "Ενα άπλό έκκρεμές έχει μήκος $l = 60 \text{ cm}$ και βρίσκεται σέ έναν τόπο, όπου είναι $g = 980 \text{ cm/sec}^2$. Πόση είναι ή συχνότητα πού διεγείρει τό έκκρεμές, ώστε νά υπάρχει συντονισμός;

Φυσικό έκκρεμές

5. Μιά όμοιανής μεταλλική ράβδος έχει μήκος $L = 90 \text{ cm}$ και αιωρεῖται ως φυσικό έκκρεμές γύρω από τὸν δριζόντιο ἄξονα πού ἀπέχει 15 cm από τὴν ἀνώτερη ἄκρη τῆς ράβδου. Ἡ ροπή ἀδράνειας Θ τῆς ράβδου ώς πρός τὸν ἄξονα περιστροφῆς δίνεται από τὴν ἔξισωση: $\Theta = \frac{1}{12} mL^2 + m\delta^2$, που m είναι ἡ μάζα τῆς ράβδου και

δ ἡ ἀπόσταση τοῦ κέντρου βάρους τῆς ἀπό τὸν ἄξονα περιστροφῆς. 1) Πόση είναι ἡ περίοδος αὐτοῦ τοῦ φυσικοῦ έκκρεμοῦς; 2) Πόσο είναι τὸ μῆκος τοῦ ἀπλοῦ ισόχρονου έκκρεμοῦς; $g = 9,81 \text{ m/sec}^2$.

6. Ἐνα φυσικό έκκρεμές ἀποτελεῖται ἀπό ισόπλευρο τρίγωνο ABC , πού ἔχει ἀσήμαντη μάζα και πλευρά 10 cm . Τὸ έκκρεμές αιωρεῖται γύρω από δριζόντιο ἄξονα πού περνάει από τὴν κορυφὴ A και είναι κάθετος στὸ ἐπίπεδο τοῦ τριγώνου. Σὲ καθεμιὰ ἀπό τὶς ἄλλες δύο κορυφές τοῦ τριγώνου είναι στερεωμένη μιὰ μάζα m . Πόση είναι ἡ περίοδος; Πόσο είναι τὸ μῆκος τοῦ ισόχρονου ἀπλοῦ έκκρεμοῦς;

7. Μιὰ σφαίρα ἔχει μάζα m , ἀκτίνα R και αιωρεῖται γύρω από δριζόντιο ἄξονα, πού είναι ἐφαπτόμενος τῆς σφαίρας. Ἡ ροπή ἀδράνειας Θ τῆς σφαίρας ώς πρός τὸν ἄξονα περιστροφῆς είναι $\Theta = \frac{7}{5} mR^2$. Πόση είναι ἡ περίοδος και πόσο είναι τὸ μῆκος τοῦ ισόχρονου ἀπλοῦ έκκρεμοῦς;

8. Ἡ ἄκρη A μιᾶς ἐλαστικῆς χορδῆς ἐκτελεῖ ἀρμονική ταλάντωση, πού ἔχει ἔξισωση $y = 0,04 \cdot \eta \mu 20\pi$. Τὰ διάφορα μεγέθη μετριοῦνται σὲ μονάδες MKS. 1) Νά βρεθοῦν τὸ πλάτος a , ἡ συχνότητα v και ἡ περίοδος T τῆς κινήσεως τῆς ἄκρης τῆς χορδῆς. 2) Ἡ ταλάντωση διαδίδεται κατά μῆκος τῆς χορδῆς μέ ταχύτητα 25 m/sec . Νά βρεθεῖ τὸ μῆκος κύματος και νά γραφεῖ ἡ ἔξισωση τῆς κινήσεως ἐνός σημείου M τῆς χορδῆς, πού βρίσκεται σὲ ἀπόσταση $6,25 \text{ m}$ ἀπό τὴν ἄκρη A τῆς χορδῆς.

9. Οἱ δύο ἄκρες μιᾶς ἐλαστικῆς χορδῆς AB είναι σταθερά στερεωμένες. Ἡ χορδὴ ἔχει μῆκος 120 cm και πάνω τῆς διαδίδονται κύματα πού ἔχουν μῆκος κύματος 40 cm και ἀπό τὴν συμβολὴ τοὺς σχηματίζονται στάσιμα ἐγκάρσια κύματα. 1) Πόσο είναι τὸ μῆκος τοῦ στάσιμου κύματος και πόσα στάσιμα κύματα σχηματίζονται πάνω στὴ χορδὴ; 2) Νά σημειωθοῦν οἱ ἀποστάσεις τῶν κοιλιῶν ἀπό τὴν ἄκρη A τῆς χορδῆς.

10. Ἡ ἄκρη A μιᾶς ἐλαστικῆς χορδῆς είναι σταθερά στερεωμένη, ἐνῷ ἡ ἄλλη ἄκρη τῆς B είναι ἐλεύθερη. Ἡ χορδὴ ἔχει μῆκος 90 cm και πάνω τῆς σχηματίζονται στάσιμα ἐγκάρσια κύματα. Τὸ μῆκος κύματος είναι 40 cm . 1) Πόσα στάσιμα κύματα σχηματίζονται; 2) Νά σημειωθοῦν οἱ ἀποστάσεις τῶν κοιλιῶν ἀπό τὴν ἄκρη A τῆς χορδῆς.

11. Ἐνα διαπασῶν ἐκτελεῖ ταλαντώσεις, πού ἔχουν συχνότητα $v = 120 \text{ Hz}$, και δημιουργεῖ στὴν ἐπιφάνεια ἐνός ύγροῦ δύο σύγχρονες πηγές O_1 και O_2 ἐγκάρσιων κυμάτων, πού διαδίδονται μέ ταχύτητα $c = 48 \text{ cm/sec}$. Τὸ πλάτος ταλαντώσεως τῶν μορίων τοῦ ύγροῦ είναι $a = 5 \text{ mm}$ και ὑποθέτουμε δτὶ δέν ὑπάρχουν ἀπώλειες ἐνέργειας. 1) Πόσο είναι τὸ πλάτος A τῆς ταλαντώσεως σὲ ἔνα σημείο B τῆς ἐπιφάνειας τοῦ ύγροῦ, πού οἱ ἀποστάσεις του ἀπό τὶς δύο πηγές τῶν κυμάτων είναι $O_1B = 8 \text{ cm}$ και $O_2B = 6 \text{ cm}$; 2) Πόσο είναι τὸ πλάτος A τῆς ταλαντώσεως σὲ ἔνα ἄλλο σημείο G , πού οἱ ἀποστάσεις του ἀπό τὶς δύο πηγές τῶν κυμάτων είναι $O_1G = 10 \text{ cm}$ και $O_2G = 7 \text{ cm}$;

12. Στις δύο ακρες ένος γραμμικού έλαστικου μέσου, που έχει μήκος 6 m, δύο πηγές O_1 και O_2 κατά τη χρονική στιγμή $t = 0$ άρχιζουν νά έκτελούν ταλαντώσεις μέ συχνότητα $v = 5$ Hz και πλάτος $a = 3$ mm. 1) Σέ ποιές χρονικές στιγμές t_1 και t_2 φτάνουν τά δύο έγκαρσια κύματα σέ ένα σημείο B, πού ή άπόστασή του άπό την πηγή O_1 είναι $O_1B = 80$ cm; 2) Πόσο είναι τό πλάτος της ταλαντώσεως στό σημείο B και πόσο σέ ένα άλλο σημείο Γ, πού ή άπόστασή του άπό την πηγή O_1 είναι $O_1\Gamma = 2,50$ m; Ή ταχύτητα διαδόσεως τῶν κυμάτων είναι $c = 2$ m/sec.

13. "Ενα εδύνηραμμο σύρμα έχει μήκος $L = 60$ cm και μάζα $m = 150$ gr. Τό σύρμα έκτελει αιωρήσεις γύρω άπό δριζόντιο ξένονα O πού περνάει άπό την πάνω άκρη τού σύρματος. Νά βρεθεί ή περίοδος T τού έκκρεμούς και ή άπόσταση l τού κέντρου αιωρήσεως άπό τόν ξένονα O. Ροπή άδρανειας ώς πρός τόν ξένονα O : $\Theta = \frac{1}{3} mL^2$. $g = 9,80$ m/sec².

14. Μιά όμογενής μεταλλική ράβδος έχει μήκος $L = 1$ m και έκτελει αιωρήσεις γύρω άπό δριζόντιο ξένονα O πού άπεχει 15 cm άπό την άνωτερη άκρη της ράβδου. Νά βρεθεί ή περίοδος T τού έκκρεμούς και νά προσδιοριστεί ή δεύτερος δριζόντιος ξένονας O', δταν ή ράβδος χρησιμοποιεῖται ώς άντιστρεπτό έκκρεμές. Ροπή άδρανειας της ράβδου ώς πρός δριζόντιο ξένονα πού περνάει άπό τό κέντρο βάρους : $\Theta = \frac{1}{12} mL^2$. $g = 9,80$ m/sec².

15. Μιά μεταλλική κυκλική στεφάνη έχει άκτινα $R = 10$ cm μάζα m, κέντρο K και κρέμεται άπό νήμα ΟΑΚΓ (όπου A και Γ είναι οι ακρες μιᾶς διαμέτρου και είναι $OK = \beta = 50$ cm). Ή στεφάνη αιωρεῖται πάνω στό κατακόρυφο έπιπεδο της Π γύρω άπό δριζόντιο ξένονα πού περνάει άπό την άκρη O τού νήματος και είναι κάθετος στό έπιπεδο Π. Η μάζα τού νήματος είναι άσημαντη. 1) Νά βρεθεί ή περίοδος T τού έκκρεμούς και νά δειχτεί ίτι μεταξύ τῶν σημείων K και Γ υπάρχει ένα σημείο O' τέτοιο, ώστε ή στεφάνη μπορεί νά έκτελει αιωρήσεις μέ την ίδια περίοδο, δταν αιωρεῖται γύρω άπό δριζόντιο ξένονα πού περνάει άπό τό σημείο O'. 2) Νά έκφραστε τό μήκος l τού ισόχρονου άπλού έκκρεμούς σέ συνάρτηση μέ τά μεγέθη $\beta = OK$ και $\beta' = O'K$. $g = 9,80$ m/sec².

16. Πάνω στήν έλευθερη έπιφάνεια ύγρος διαδίδονται κύματα μέ ταχύτητα $c = 100$ cm/sec. Τά κύματα θεωρούνται σάν κύματα έλαστικότητας και παράγονται άπό δύο σύγχρονες πηγές κυμάτων O_1 και O_2 πού ή άπόστασή τους είναι $O_1O_2 = 6$ cm και έκτελούν άμειώτες ταλαντώσεις μέ συχνότητα $v = 200$ Hz και πλάτος $a = 2$ mm. Νά βρεθεί τό πλάτος A της ταλαντώσεως σέ ένα σημείο Δ πού ή άπόστασή του άπό την πηγή O_1 είναι $O_1\Delta = d_1 = 10$ cm και ή άπόστασή του άπό την πηγή O_2 είναι $O_2\Delta = d_2$.

17. Δύο σύγχρονες πηγές κυμάτων παράγουν στήν έλευθερη έπιφάνεια ύγρον κύματα πού διαδίδονται μέ ταχύτητα $c = 52,8$ cm/sec. Ή συχνότητα τῶν ταλαντώσεων πού έκτελούν οι δύο πηγές είναι $v = 100$ Hz. "Ενα σημείο B βρίσκεται πάνω στήν εύθεια O_1O_2 και ή άπόστασή του άπό την πηγή O_1 είναι $O_1B = 3$ cm. "Ενα σημείο Γ βρίσκεται πάνω στήν εύθεια GB πού είναι κάθετη στήν άπόσταση O_1O_2 τῶν δύο πηγών και είναι $GB = 4$ cm. Δίνεται ίτι στό σημείο Γ τό πλάτος ταλαντώσεως είναι μέγιστο, γιατί είναι $O_1\Gamma - O_2\Gamma = \lambda$. Πόση είναι ή άπόσταση O_1O_2 τῶν δύο πηγών; $(4,472)^2 = 20$.

Επίσημη απάντηση στην ερώτηση: Η απάντηση στην ερώτηση από την εργασία της Επίκουρης Καθηγής Αντώνη Λαζαρίδη.

18. Δύο σύγχρονες πηγές O_1 και O_2 , που έκτελούν ταλαντώσεις συχνότητας $v = 100 \text{ Hz}$ και πλάτους $a = 1 \text{ mm}$, δημιουργούν πάνω στήν έπιφανεια ύγρου κύματα που διαδίδονται μέτρια ταχύτητας $c = 100 \text{ cm/sec}$. Η άπόσταση των δύο πηγών είναι $O_1O_2 = 5 \text{ cm}$. Νά βρεθεί τό πλάτος Α της ταλαντώσεως σε ένα σημείο Γ πού άπέχει $d_1 = 10 \text{ cm}$ από τήν πηγή O_1 και ή άπόσταση $d_2 = O_2\Gamma$ είναι κάθετη στήν άπόσταση O_1O_2 των δύο πηγών.

19. Δύο σύγχρονες πηγές κυμάτων O_1 και O_2 παράγουν στήν έπιφανεια ύγρου κύματα. Η συχνότητα των δύο πηγών είναι $v = 116 \text{ Hz}$. "Ενα σημείο Γ βρίσκεται πάνω σε έναν κροσσό Α και διατηρείται άκινητο. Οι άποστάσεις τούς Γ άπό τις πηγές O_1 και O_2 έχουν διαφορά $d_1 - d_2 = 1,07 \text{ cm}$. "Ενα άλλο σημείο Γ' πού διατηρείται και απότο άκινητο βρίσκεται πάνω σε έναν κροσσό Β πού είναι διαδέκτος κροσσών μετά τόν Α και πρός τήν ίδια πλευρά τούς συστήματος των κροσσών. Οι άποστάσεις τούς Γ' άπό τις πηγές O_1 και O_2 έχουν διαφορά $d'_1 - d'_2 = 2,03 \text{ cm}$. Νά βρεθούν τό μήκος κύματος λ και ή ταχύτητας c διαδόσεως των κυμάτων.

Τα τέλη των κύματων είναι αριστερά και δεξιά πλευράς της πηγής O_1 . Το πάνω κύμα διατηρείται ιστορίας t και το κάτω διατηρείται ιστορίας t' . Η διαδόσης της περιοχής AB από την πηγή O_2 είναι η αποτελεσματικότερη στο σημείο C , όπου $O_1C = 4 \text{ cm}$. Η περιοχή DC είναι 1 cm πλευρά της πηγής O_1 . Το κύμα που διατηρείται πάνω της πηγής O_1 έχει την περιοχή BC σα ορισμένη περιοχή γένος t , οπότε η περιοχή AC είναι παρόμοια περιοχή γένος t . Η περιοχή DC είναι παρόμοια περιοχή γένος t' , οπότε η περιοχή CD είναι παρόμοια περιοχή γένος t' . Στην περιοχή CB έχει χαρακτηριστεί ότι η πρώτη περιοχή CB είναι παρόμοια περιοχή γένος t και η δεύτερη περιοχή CB είναι παρόμοια περιοχή γένος t' . Τα τέλη των κύματων είναι αριστερά και δεξιά πλευράς της πηγής O_2 .

$$(d_1 + d'_1) = (t + t') + (t - t') = 2t + 2t' = 13 \quad 1 + 1 = 2$$

$$(d_2 + d'_2) = (t + t') + (t - t') = 2t + 2t' = 13 - 13 = 0$$

ΑΚΟΥΣΤΙΚΗ

Φαινόμενο Doppler – Μουσικές κλίμακες

12. Φαινόμενο Doppler

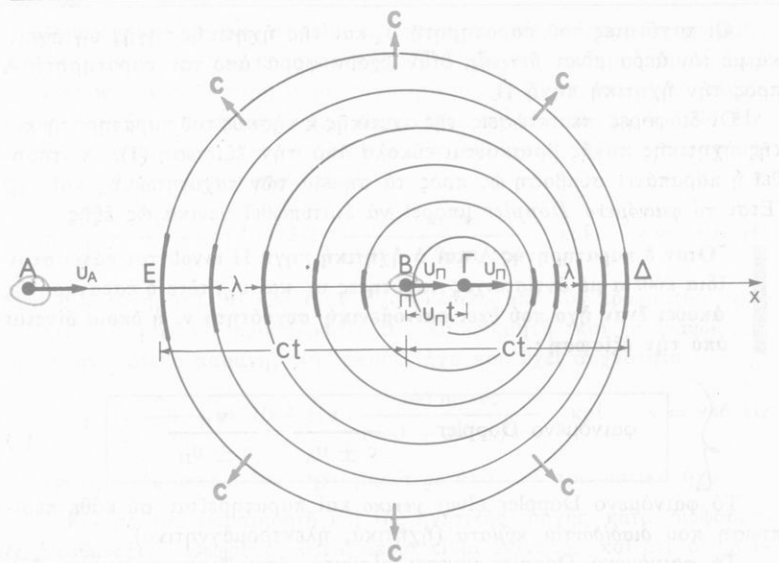
“Οταν ό παρατηρητής Α είναι άκινητος και ή ήχητική πηγή Π είναι και αυτή άκινητη, τότε ή άπόσταση μεταξύ του παρατηρητή και της ήχητικής πηγής διατηρεῖται σταθερή. Σ’ αυτή τήν περίπτωση ό παρατηρητής κατά δευτερόλεπτο δέχεται τόσα κύματα, δσα κύματα έκπεμπει κατά δευτερόλεπτο ή ήχητική πηγή. Έπομένως τά ήχητικά κύματα πού φθάνουν στόν παρατηρητή άναγκάζουν τό τύμπανο του αυτιού του νά έκτελει κατά δευτερόλεπτο τόσες ταλαντώσεις, δσες έκτελει κατά δευτερόλεπτο ή ήχητική πηγή. Ωστε, όταν ή άπόσταση μεταξύ του παρατηρητή και της ήχητικής πηγής διατηρεῖται σταθερή, ή συχνότητα (ν) του ήχου πού άκουει ό παρατηρητής διατηρεῖται σταθερή.

“Οταν όμως ή άπόσταση μεταξύ του παρατηρητή και της ήχητικής πηγής μεταβάλλεται, τότε μεταβάλλεται και ή συχνότητα του ήχου πού άκουει ό παρατηρητής. Αυτή ή μεταβολή της συχνότητας του ήχου⁸ άποτελει τό φαινόμενο Doppler.

Θά έξετάσουμε τή μερική περίπτωση πού ό παρατηρητής Α και ή ήχητική πηγή έχουν ενθύγραμμη δύμαλή κίνηση. Οι ταχύτητες του παρατηρητή Α και της ήχητικής πηγής Π (σχ. 29) σχετικά μέ τόν άέρα είναι άντιστοιχα υπ και είναι θετικές. Η ταχύτητα του ήχου στόν άέρα είναι c και είναι σταθερή, γιατί έξαρτάται μόνο άπό τίς ίδιοτητες του άέρα και είναι πάντοτε θετική. Ως άρχη τών χρόνων (t = 0) παίρνουμε τή χρονική στιγμή πού ή ήχητική πηγή βρίσκεται στή θέση Β. Τή χρονική στιγμή t ή ήχητική πηγή βρίσκεται στή θέση Γ και τά κύματα πού έψυγαν άπό τήν πηγή στήν άρχη τών χρόνων (t = 0) έχουν διαδοθεί σέ άπόσταση BE = BΔ = c · t. Ετσι στή χρονική στιγμή t τό μέτωπο κύματος είναι μιά σφαιρική έπιφάνεια πού έχει άκτινα c · t και ίσχύουν οι έξης έξισώσεις:

$$BΓ = v_{\Pi} \cdot t \quad EΓ = EB + BΓ = c \cdot t + v_{\Pi} \cdot t = (c + v_{\Pi})t$$

$$ΓΔ = BΔ - BΓ = c \cdot t - v_{\Pi} \cdot t = (c - v_{\Pi})t$$



Σχ. 29. Γιά τήν έρμηνεία τοῦ φαινομένου Doppler. 'Ο παρατηρητής Α καὶ ἡ ἡχητική πηγή Π κινοῦνται πάνω στήν ίδια εύθεια κατά τήν ίδια φορά.' Ο ἀέρας θεωρεῖται ἀκίνητος.

"Αν v_{Π} είναι ἡ συχνότητα τοῦ ἥχου πού ἐκπέμπει ἡ πηγή, τότε στή διάρκεια τοῦ χρόνου t ἡ πηγή ἔξεπεμψε ἀριθμό N κυμάτων, πού είναι ὅσος μέ $N = v_{\Pi} \cdot t$. Ἐμπρός ἀπό τήν πηγή τά N κύματα ἔχον συμπυκνωθεῖ μέσα στό διάστημα $\Gamma\Delta$, ἐνῶ πίσω ἀπό τήν πηγή τά N κύματα ἔχον ἀραιωθεῖ μέσα στό διάστημα $E\Gamma$. "Ετσι τό μῆκος κύματος : ἐμπρός ἀπό τήν πηγή είναι:

$$\lambda = \frac{\Gamma\Delta}{N} = \frac{(c - v_{\Pi})t}{v_{\Pi} \cdot t} \quad \text{καὶ} \quad \lambda = \frac{c - v_{\Pi}}{v_{\Pi}}$$

πίσω ἀπό τήν πηγή είναι:

$$\lambda' = \frac{E\Gamma}{N} = \frac{(c + v_{\Pi})t}{v_{\Pi} \cdot t} \quad \text{καὶ} \quad \lambda' = \frac{c + v_{\Pi}}{v_{\Pi}}$$

Τά κύματα, καθώς πλησιάζουν πρός τόν κινούμενο παρατηρητή, ἔχουν σχετικά μέ αὐτόν ταχύτητα $c + v_{\Pi}$. "Αρα ἡ συχνότητα v , μέ τήν δοπία ὁ παρατηρητής συναντᾷ τά ἡχητικά κύματα, είναι :

$$v = \frac{c + v_{\Pi}}{\lambda'} = \frac{c + v_{\Pi}}{(c + v_{\Pi})/v_{\Pi}} \quad \text{ἢ} \quad v = v_{\Pi} \cdot \frac{c + v_{\Pi}}{c + v_{\Pi}} \quad (1)$$

Οι ταχύτητες τού παρατηρητή v_A και τῆς ήχητικῆς πηγῆς v_Π σχετικά μέτρια τόν άέρα είναι θετικές, δηλαδή έχουν φορά άπο τόν παρατηρητή Α πρός τήν ήχητική πηγή Π.

Οι διάφορες περιπτώσεις τῆς σχετικῆς κινήσεως τού παρατηρητή και τῆς ήχητικῆς πηγῆς βρίσκονται εύκολα άπο τήν έξισωση (1), ἀν τηρηθεῖ ή παραπάνω σύμβαση ώς πρός τά σημεῖα τῶν ταχυτήτων v_A και v_Π . Ετοι τό φαινόμενο Doppler μπορεῖ νά διατυπωθεῖ γενικά ώς έξης :

"Όταν ο παρατηρητής Α και η ήχητική πηγή Π κινοῦνται πάνω στήν ίδια εύθεια μέτρια άντιστοιχες ταχύτητες v_A και v_Π , τότε ο παρατηρητής άκονει έναν ήχο πού έχει φαινομενική συχνότητα v , η όποια δίνεται άπο τήν έξισωση :

$$\left\{ \begin{array}{l} \text{φαινόμενο Doppler} \\ \frac{v}{c \pm v_A} = \frac{v_\Pi}{c \pm v_\Pi} \end{array} \right. \quad (2)$$

Τό φαινόμενο Doppler είναι γενικό και παρατηρεῖται σέ κάθε περίπτωση πού διαδίδονται κύματα (ήχητικά, ήλεκτρομαγνητικά).

Τό φαινόμενο Doppler γίνεται αισθητό, δηλαδή διασταυρώνονται δύο άντιθετα κινούμενα αύτοκίνητα και τό ένα άπο αύτά παράγει μέτό βομβητή του ήχο. Έπισης γίνεται αισθητό, δηλαδή πλησιάζει ή άπομακρύνεται άπο μᾶς μιά μηχανή σιδηροδρόμου πού σφυρίζει.

Μερική περίπτωση. "Όταν η ήχητική πηγή ή ο παρατηρητής είναι άκινητος ($v_\Pi = 0$ ή $v_A = 0$), άπο τήν έξισωση (2) βρίσκουμε τίς σχέσεις πού άναφέρονται στόν παρακάτω πίνακα.

Ήχητική πηγή	Παρατηρητής	Φαινομενική συχνότητα	
άκινητη, $v_\Pi = 0$	πλησιάζει	$v = v_\Pi \cdot \frac{c + v_A}{c}$	$v > v_\Pi$
άκινητη, $v_\Pi = 0$	άπομακρύνεται	$v = v_\Pi \cdot \frac{c - v_A}{c}$	$v < v_\Pi$
πλησιάζει	άκινητος, $v_A = 0$	$v = v_\Pi \cdot \frac{c}{c - v_\Pi}$	$v > v_\Pi$
άπομακρύνεται	άκινητος $v_A = 0$	$v = v_\Pi \cdot \frac{c}{c + v_\Pi}$	$v < v_\Pi$

Παράδειγμα. Σέ ενα σημείο εύθυγραμμής σιδηροδρομικής γραμμής βρίσκεται άκινητος ένας παρατηρητής. Μιά μηχανή σιδηροδρόμου πλησιάζει πρός τόν παρατηρητή μέτρη ταχύτητα $v_{\Pi} = 20 \text{ m/sec}$, ένδια ταυτόχρονα σφυρίζει. Ο παραγόμενος ήχος έχει συχνότητα $v_{\Pi} = 1044 \text{ Hz}$. Η ταχύτητα του ήχου στόν άέρα είναι $c = 340 \text{ m/sec}$. Τότε ο παρατηρητής άκούει ήχο πού έχει συχνότητα:

$$v = v_{\Pi} \cdot \frac{c}{c - v_{\Pi}} = 1044 \text{ Hz} \cdot \frac{340 \text{ m/sec}}{(340 - 20) \text{ m/sec}} \quad \text{και} \quad v = 1109 \text{ Hz}$$

Ωστε ο παρατηρητής άκούει έναν ήχο ψηλότερο από τόν πραγματικό ήχο.

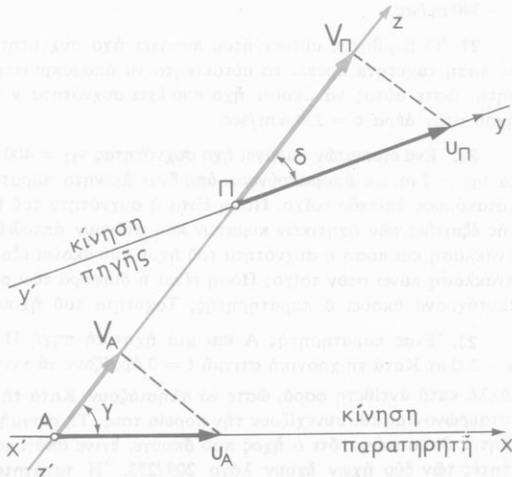
Όταν ή μηχανή προσπεράσει τόν παρατηρητή και άπομακρύνεται από αυτόν, τότε ο παρατηρητής άκούει ήχο πού έχει συχνότητα:

$$v = v_{\Pi} \cdot \frac{c}{c + v_{\Pi}} = 1044 \text{ Hz} \cdot \frac{340 \text{ m/sec}}{(340 + 20) \text{ m/sec}} \quad \text{και} \quad v = 986 \text{ Hz}$$

Ο παρατηρητής άκούει έναν ήχο βαρύτερο από τόν πραγματικό ήχο.

α. Κίνηση τού παρατηρητή και τής ήχητικής πηγής κατά διαφορετικές διευθύνσεις. Θεωροῦμε ότι ο άέρας είναι άκινητος και ότι οι διευθύνσεις x' και y' τής κινήσεως τού παρατηρητή Α και τής ήχητικής πηγής Π σχηματίζουν μεταξύ τους γωνία ($\sigmaχ. 30$). Σ' αυτή τήν περίπτωση άποδεικνύεται ότι ίσχυει πάλι ή έξισωση (2) μέτρη διαφορά ότι άντι γιά τίς ταχύτητες v_A και v_{Π} τού παρατηρητή Α και τής ήχητικής πηγής Π θά λάβουμε τίς άντιστοιχες προβολές V_A και V_{Π} πάνω τών δύο ταχυτήτων v_A και v_{Π} πάνω στή διεύθυνση $z'z$.

β. Έφαρμογές τού φαινομένου Doppler.
Στό φαινόμενο Doppler ή φαινομενική μεταβολή Δν τής συχνότητας



Σχ. 30. Οι διευθύνσεις τής κινήσεως τού παρατηρητή Α και τής ήχητικής πηγής Π σχηματίζουν γωνία. Ο άέρας θεωρείται άκινητος.

τῶν κυμάτων, πού ἐκπέμπει μιά κινούμενη πηγή κυμάτων, είναι ἀνάλογη μέ τήν ταχύτητα v_P τῆς πηγῆς. Σ' αὐτή τήν ἀρχή στηρίζεται ἡ λειτουργία διατάξεων μέ τίς ὅποιες μπορεῖ νά γίνει μέ ἀκρίβεια αὐτόματη μέτρηση τῆς στιγμαίας ταχύτητας τῶν αὐτοκινήτων καθώς καί ἡ αὐτόματη ρύθμιση τῆς κυκλοφορίας ὁχημάτων. Αὐτές οἱ διατάξεις είναι εἰδικά ραντάρ στά ὅποια χρησιμοποιοῦνται ἡλεκτρομαγνητικά κύματα πολὺ μεγάλης συχνότητας. Ἀνάλογες πολύ ἀνθεκτικές διατάξεις, πού βασίζονται στό φαινόμενο Doppler, χρησιμοποιοῦνται στή σιδηρουργική βιομηχανία γιά τόν ἔλεγχο τῶν μεταλλικῶν προϊόντων πού παράγονται. Ἡ Ἀστρονομία μέ βάση τό φαινόμενο Doppler ἔχετάξει τήν κίνηση δρισμένων ἀπλανῶν σχετικά μέ τή Γῇ.

ΠΡΟΒΛΗΜΑΤΑ

20. Μιά μηχανή σιδηροδρόμου κινεῖται μέ ταχύτητα $v_P = 72 \text{ km/h}$ καί ταυτόχρονα σφυριζει παράγοντας ἔναν ἥχο συχνότητας $v_P = 3000 \text{ Hz}$. Νά βρεθεὶ πόσος είναι ὁ λόγος τῶν συχνοτήτων τῶν δύο ἥχων πού ἀκούει ἔνας ἀκίνητος παρατηρήτης, δταν ἡ μηχανή πλησιάζει καί δταν ἀπομακρύνεται ἀπό τόν παρατηρητή. Ταχύτητα τοῦ ἥχου στόν ἀέρα $c = 340 \text{ m/sec}$.

21. Ὁ βομβητής αὐτοκινήτου παράγει ἥχο συχνότητας $v_P = 2096 \text{ Hz}$. Νά βρεθεὶ μέ πόση ταχύτητα πρέπει τό αὐτοκίνητο νά ἀπομακρύνεται ἀπό ἔναν ἀκίνητο παρατηρητή, ὥστε αὐτός νά ἀκούει ἥχο πού ἔχει συχνότητα $v = (15/16) \cdot v_P$. Ταχύτητα τοῦ ἥχου στόν ἀέρα $c = 330,6 \text{ m/sec}$.

22. Ἐνα διαπασῶν παράγει ἥχο συχνότητας $v_P = 400 \text{ Hz}$ καί κινούμενο μέ ταχύτητα $v_P = 2 \text{ m/sec}$ ἀπομακρύνεται ἀπό ἔναν ἀκίνητο παρατηρητή καί πλησιάζει σέ ἔναν κατακόρυφο ἐπίπεδο τοίχο. Πόση είναι ἡ συχνότητα τοῦ ἥχου πού ἀκούει ὁ παρατηρητής ἔξαιτίας τῶν ἡχητικῶν κυμάτων πού φτάνουν ἀπευθείας σ' αὐτόν χωρίς νά πάθουν ἀνάκλαση καί πόση ἡ συχνότητα τοῦ ἥχου πού ἀκούει ἔξαιτίας τῶν κυμάτων πού ἔπαθαν ἀνάκλαση πάνω στόν τοίχο; Πόση είναι ἡ διαφορά τῶν συχνοτήτων τῶν δύο ἥχων πού ταυτόχρονα ἀκούει ὁ παρατηρητής; Ταχύτητα τοῦ ἥχου στόν ἀέρα $c = 335 \text{ m/sec}$.

23. Ἐνας παρατηρητής Α καί μιά ἡχητική πηγή Π ἀρχικά ἀπέχουν μεταξύ τους $s = 200 \text{ m}$. Κατά τή χρονική στιγμή $t = 0$ ἀρχίζουν νά κινοῦνται εύθυγραμμα καί διμαλά, ἀλλά κατά ἀντίθετη φορά, ὥστε νά πλησιάζουν. Κατά τή χρονική στιγμή $t = 5 \text{ sec}$ διασταυρώνονται καί συνεχίζουν τήν πορεία τους. Τή στιγμή τῆς διασταυρώσεως ὁ παρατηρητής διαπιστώνει δτι ὁ ἥχος πού ἀκούγε, ἔγινε ἀπότομα βαρύτερος καί δτι οι συχνότητες τῶν δύο ἥχων ἔχουν λόγο $209/273$. Ἡ ταχύτητα τοῦ ἥχου στόν ἀέρα είναι $c = 300 \text{ m/sec}$. Νά βρεθοῦν οι ταχύτητες τοῦ παρατηρητή καί τῆς πηγῆς.

24. Ἐνας παρατηρητής βρίσκεται σέ ἀπόσταση $s = 1237,5 \text{ m}$ ἀπό μιά ἡχητική πηγή. Ὁ παρατηρητής κινεῖται πρός τήν ἀκίνητη πηγή καί διαπιστώνει δτι ἡ συχνότητα τοῦ ἥχου πού ἀκούει αὐξάνει ἀνάλογα μέ τό χρόνο καί δταν φτάσει στήν πηγή βρίσκει δτι

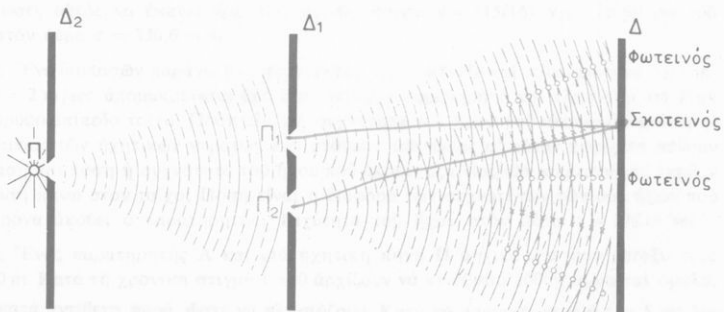
πρότυπης για την έκπτωση της φωτός από την περιοχή της σημείου πέμπτης ηλικίας. Από την πρώτη περιοχή μέχρι την τέταρτη περιοχή, οι φωτογραφίες δείχνουν ότι η φωτός έχει απορριμμένη την ισχύ της σε μεγάλη βαθούς. Στην πέμπτη περιοχή, η φωτός έχει απορριμμένη την ισχύ της σε μεγάλη βαθούς, αλλά δεν έχει απορριμμένη την ισχύ της σε μεγάλη βαθούς. Στην έκπτωση της φωτός, η φωτός έχει απορριμμένη την ισχύ της σε μεγάλη βαθούς, αλλά δεν έχει απορριμμένη την ισχύ της σε μεγάλη βαθούς.

ΟΠΤΙΚΗ

13. Συμβολή τοῦ φωτός

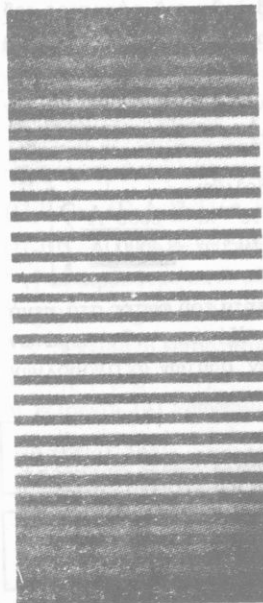
Τό φαινόμενο τῆς συμβολῆς τοῦ φωτός τό παρατηροῦμε μέ τή διάταξη πού δίχνει τό σχῆμα 31 (σχισμές τοῦ Young). Τό μονοχρωματικό φῶς μιᾶς ίσχυρῆς φωτεινῆς πηγῆς περνάει ἀπό μιά λεπτή σχισμή Π καὶ πέφτει πάνω σ' ἓνα διάφραγμα Δ_1 . Αὐτό ἔχει δύο πολύ λεπτές σχισμές Π_1 καὶ Π_2 πού είναι παράλληλες μέ τή σχισμή Π . Ἡ ἀπόσταση μεταξύ τῶν δύο σχισμῶν Π_1 καὶ Π_2 είναι πολύ μικρή. Τότε οἱ σχισμές Π_1 καὶ Π_2 είναι δύο σύγχρονες φωτεινές πηγές, δηλαδή είναι δύο σύγχρονα κέντρα παραγωγῆς φωτεινῶν κυμάτων. Τά δύο κύματα φτάνουν στό διάφραγμα Δ καὶ ἀπό τή συμβολή τους σχηματίζονται πάνω στό διάφραγμα Δ οσσοί συμβολῆς, δηλαδή διαδοχικές φωτεινές καὶ σκοτεινές ραβδώσεις (σχ.31α).

‘Ο σχηματισμός τῶν κροσσῶν συμβολῆς ἔξηγεῖται εὔκολα (σχ. 32).

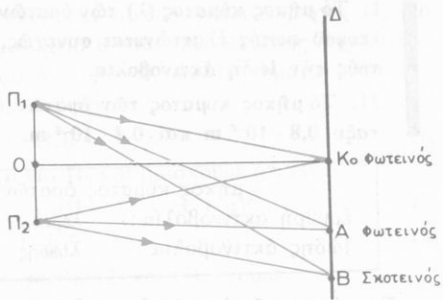


Σχ. 31. Διάταξη γιά τήν παραγωγή τοῦ φαινομένου τῆς συμβολῆς (σχισμές τοῦ Young).

(*) Συμπληρώνοντας τίς ἀντιλήψεις μας γιά τή φύση τοῦ φωτός ἀναφέρουμε ἐδώ καὶ τά φωτόνια, ὥστε νά είναι γνωστά κατά τήν ἔξέταση ἄλλων φαινομένων (ἀκτίνες Röntgen, φωτοηλεκτρικό φαινόμενο).



Σχ. 31a. Κροσσοί συμβολῆς.



Σχ. 32 'Ο σχηματισμός φωτεινού ή σκοτεινού κροσσού έξαρταται από τή διαφορά τῶν δρόμων τῶν δύο κυμάτων.

Σέ δσα σημεῖα τοῦ διαφράγματος (ὅπως π.χ. τό σημεῖο A) ή διαφορά δρόμου τῶν δύο κυμάτων ($d = \Pi_1 A - \Pi_2 A$) είναι ίση μὲν ἀκέραιο ἀριθμό κυμάτων, οἱ δύο ταλαντώσεις φτάνουν μὲ συμφωνίᾳ φάσεως καὶ ἐπομένως ή συνισταμένη ταλάντωση ἔχει μέγιστο πλάτος. "Αρα σ' αὐτά τά σημεῖα σχηματίζονται φωτεινοί κροσσοί.

"Αντίθετα σέ δσα σημεῖα τοῦ διαφράγματος (ὅπως π.χ. τό σημεῖο B) ή διαφορά δρόμου τῶν δύο κυμάτων ($d = \Pi_1 B - \Pi_2 B$) είναι ίση μὲν περιττό ἀριθμό νήμακυμάτων, οἱ δύο ταλαντώσεις φτάνουν μὲ ἀντίθετη φάση καὶ ἐπομένως ή συνισταμένη ταλάντωση ἔχει πλάτος ίσο μὲ μηδέν. "Αρα σ' αὐτά τά σημεῖα σχηματίζονται σκοτεινοί κροσσοί. "Ωστε σχηματίζονται :

φωτεινοί κροσσοί, δταν είναι

$$d = \kappa \cdot \lambda$$

σκοτεινοί κροσσοί, δταν είναι

$$d = (2\kappa + 1) \cdot \frac{\lambda}{2}$$

α. Μῆκος κύματος τῶν δρατῶν ἀκτινοβολιῶν. 'Από τό φαινόμενο τῆς συμβολῆς τοῦ φωτός μετρήσαμε τό μῆκος κύματος (λ) τῶν δρατῶν ἀκτινοβολιῶν καὶ καταλήξαμε στά ἐξῆς συμπεράσματα:

I. Τό μήκος κύματος (λ) τῶν όρατῶν ἀκτινοβολιῶν τοῦ φάσματος τοῦ λευκοῦ φωτός ἐλαττώνεται συνεχῶς, ὅσο προχωροῦμε ἀπό τὴν ἐρυθρή πρὸς τὴν ίώδη ἀκτινοβολία.

II. Τό μήκος κύματος τῶν όρατῶν ἀκτινοβολιῶν περιλαμβάνεται μεταξύ $0,8 \cdot 10^{-6}$ m καὶ $0,4 \cdot 10^{-6}$ m.

$$\begin{array}{l} \text{μήκος κύματος όρατῶν ἀκτινοβολιῶν} \\ \text{ἐρυθρή ἀκτινοβολία : } \lambda_{\text{ἐρυθρή}} = 0,8 \cdot 10^{-6} \text{ m} = 8000 \text{ Å} \\ \text{ἰώδης ἀκτινοβολία : } \lambda_{\text{ἰώδης}} = 0,4 \cdot 10^{-6} \text{ m} = 4000 \text{ Å} \end{array} \quad \boxed{\quad}$$

Συχνότητα τῶν όρατῶν ἀκτινοβολιῶν. Ἡ ταχύτητα τοῦ φωτός στό κενό ἡ στόν ἀέρα είναι $c = 3 \cdot 10^8$ m/sec. Ἀπό τὴν ἔξισωση τῶν κυμάτων $c = v \cdot \lambda$ βρίσκουμε ὅτι ἡ συχνότητα τῶν ἀκραίων όρατῶν ἀκτινοβολιῶν είναι:

$$v_{\text{ἐρυθρή}} = \frac{c}{\lambda} = \frac{3 \cdot 10^8 \text{ m/sec}}{0,8 \cdot 10^{-6} \text{ m}}$$

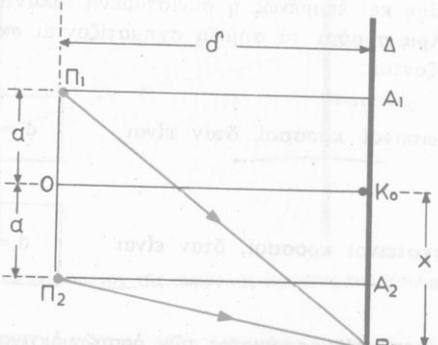
$$v_{\text{ἰώδης}} = \frac{c}{\lambda} = \frac{3 \cdot 10^8 \text{ m/sec}}{0,4 \cdot 10^{-6} \text{ m}}$$

$$\left. \begin{array}{l} \text{καὶ} \\ v_{\text{ἐρυθρή}} = 375 \cdot 10^{12} \text{ Hz} \end{array} \right. \quad \left. \begin{array}{l} \text{καὶ} \\ v_{\text{ἰώδης}} = 750 \cdot 10^{12} \text{ Hz} \end{array} \right.$$

“Ωστε ἡ συχνότητα τῶν όρατῶν ἀκτινοβολιῶν τοῦ φάσματος τοῦ λευκοῦ φωτός αὐξάνει συνεχῶς, ὅσο προχωροῦμε ἀπό τὴν ἐρυθρή πρὸς τὴν ίώδη ἀκτινοβολία.

β. **Υπολογισμός τοῦ μήκους κύματος.** Στήν προηγούμενη διάταξη πού χρησιμοποιήσαμε γιὰ τὴν παρατήρηση τῶν κροσσῶν συμβολῆς, ἡ ἀπόσταση μεταξύ τῶν δύο σχημάτων είναι $\Pi_1 \Pi_2 = 2a$ (σχ.

33) καὶ ἡ ἀπόσταση κάθε φωτεινῆς πηγῆς ἀπό τὸ διάφραγμα είναι δ ($\Pi_1 A_1 = \Pi_2 K_0 = OK_0 = \delta$). Στό σημεῖο K_0 σχηματίζεται ὁ κεντρικός φωτεινός κροσσός, γιατὶ οἱ δρόμοι $\Pi_1 K_0$ καὶ $\Pi_2 K_0$ τῶν δύο κυμάτων είναι ἵσοι καὶ ἐπομένων οἱ δύο ταλαντώσεις φτάνουν μὲν διαφορά φάσεως ἴση με μηδέν. Ἡ μο-



Σχ. 33. Γιὰ τὴ μέτρηση τοῦ μήκους κύματος λ μιᾶς ἀκτινοβολίας.

νοχρωματική άκτινοβολία πού ἐκπέμπουν οἱ δύο φωτεινές πηγές Π_1 καὶ Π_2 ἔχει μῆκος κύματος λ . Σέ ἔνα σημεῖο B τοῦ διαφράγματος σχηματίζεται φωτεινός κροσσός, γιατί ἡ διαφορά δρόμου d τῶν δύο κυμάτων εἶναι ἵση μέ άκεραιο ὀριθμό κ κυμάτων, δηλαδή εἶναι :

$$d = \Pi_1 B - \Pi_2 B = \kappa \cdot \lambda \quad (1)$$

Από τά δρθογώνια τρίγωνα $\Pi_1 A_1 B$ καὶ $\Pi_2 A_2 B$ βρίσκουμε δτι εἶναι:

$$(\Pi_1 B)^2 = (\Pi_1 A_1)^2 + (A_1 B)^2 \quad \text{ἢ} \quad (\Pi_1 B)^2 = \delta^2 + (x + a)^2 \quad (2)$$

$$(\Pi_2 B)^2 = (\Pi_2 A_2)^2 + (A_2 B)^2 \quad \text{ἢ} \quad (\Pi_2 B)^2 = \delta^2 + (x - a)^2 \quad (3)$$

Αν ἀφαιρέσουμε κατά μέλη τίς ἐξισώσεις (2) καὶ (3), ἔχουμε:

$$(\Pi_1 B)^2 - (\Pi_2 B)^2 = 4a \cdot x \quad \text{ἢ} \quad (\Pi_1 B + \Pi_2 B) \cdot (\Pi_1 B - \Pi_2 B) = 4a \cdot x \quad (4)$$

Ἐπειδή ἡ ἀπόσταση $OK_0 = \delta$ εἶναι πολὺ μεγάλη σχετικά μέ τήν ἀπόσταση $K_0 A_2 = a$, μποροῦμε νά λάβουμε $\Pi_1 B + \Pi_2 B = 2\delta$ καὶ ἐπομένως ἡ ἐξισώση (4) γράφεται:

$$2\delta \cdot d = 4a \cdot x \quad (5)$$

Από τίς ἐξισώσεις (1) καὶ (5) βρίσκουμε δτι τό μῆκος κύματος (λ) τῆς νοχρωματικῆς άκτινοβολίας εἶναι:

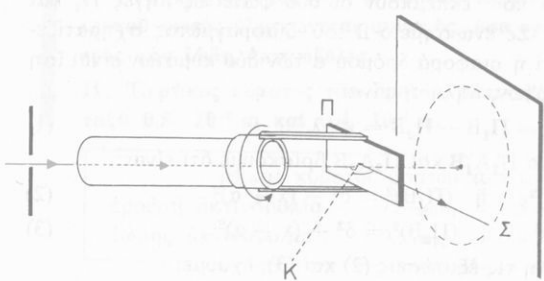
$$\text{μῆκος κύματος} \quad \lambda = \frac{2a \cdot x}{\kappa \cdot \delta} \quad (6)$$

Τδ κ φανερώνει τόν αὔξοντα ὀριθμό τοῦ φωτεινοῦ κροσσοῦ (στόν κεντρικό φωτεινό κροσσό ἀντιστοιχεῖ $\kappa = 0$) καὶ τό x φανερώνει τήν ἀπόσταση τοῦ κ τάξεως φωτεινοῦ κροσσοῦ ἀπό τόν κεντρικό φωτεινό κροσσό. "Ωστε τά μεγέθη πού εἶναι στό δεύτερο μέλος τῆς ἐξισώσεως (6) μποροῦν νά μετρηθοῦν μέ ἀκρίβεια καὶ ἔτσι μπροφοῦμε νά ὑπολογίσουμε τό μῆκος κύματος λ .

14. Πόλωση τοῦ φωτός

α. Συμμετρία ἀπό περιστροφή τοῦ φυσικοῦ φωτός. Τό φῶς, πού προέρχεται ἀπό μιά φωτεινή πηγή, δν δέν ἔχει πάθει ἀνάκλαση ἢ διάθλαση, δνομάζεται φυσικό φῶς. Μιά γνάλινη πλάκα P , πού η μιά ἐπιφάνειά της ἔχει σκεπαστεῖ μέ ἔνα στρῶμα καπνιᾶς (αιθάλης) χρησιμοποιεῖται ώς καθρέφτης⁽¹⁾. Αφήνουμε νά πέσει πλάγια πάνω στόν καθρέφτη P μιά ἀκτίνα

¹ Η δέσμη φωτός, πού πέφτει στήν πλάκα P δίνει μιά ἀνακλώμενη δέσμη καὶ μιά διαθλώμενη δέσμη πού ἀπορροφᾶται ἀπό τό στρῶμα τῆς καπνιᾶς.

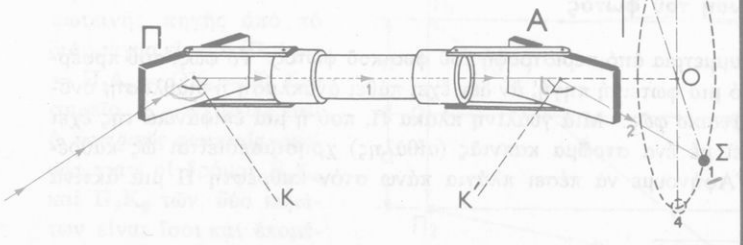


Σχ. 34. Ο φωτισμός της κηλίδας Σ δέ μεταβάλλεται.

διατηρώντας δύναμη σταθερή τή γωνία προσπτώσεως. Τότε και ή γωνία ανακλάσεως διατηρεῖται σταθερή. Η ανακλώμενη άκτινα διαγράφει ἐπιφάνεια κώνου και ή φωτεινή κηλίδα Σ διαγράφει ἐναν κύκλο πού έχει κέντρο τό σημείο Ο. Παρατηροῦμε δτι ο φωτισμός της κηλίδας Σ δέ μεταβάλλεται, όταν γίνεται αυτή ή περιστροφή. Από τό παραπάνω πείραμα βγάζουμε τό έξης συμπέρασμα:

Τό φυσικό φῶς έχει ἀπόλυτη συμμετρία ἀπό περιστροφή γύρω ἀπό τήν άκτινα ή ὅποια τό μεταφέρει.

Τό φυσικό φῶς έχει ἀπόλυτη συμμετρία ἀπό περιστροφή γύρω ἀπό τήν άκτινα ή ὅποια τό μεταφέρει. Τό φωτισμός της κηλίδας Σ δέ μεταβάλλεται, όταν γίνεται αυτή ή περιστροφή. Από τό παραπάνω πείραμα βγάζουμε τό έξης συμπέρασμα:



Σχ. 35. Ο φωτισμός της κηλίδας 1 περιοδικά μεταβάλλεται μεταξύ ἐνός μέγιστου και ἐνός ἐλάχιστου.

(δηλαδή μιά πολύ λεπτή δέσμη) φυσικοῦ φωτός (σχ. 34). Πάνω στό διάφραγμα σχηματίζεται μιά μικρή φωτεινή κηλίδα Σ. Περιστρέφουμε τόν καθρέφτη Π γύρω ἀπό τήν προσπίπουπτουσα άκτινα, πού τήν παίρνουμε ώς ἄξονα περιστροφῆς,

β) Πόλωση τοῦ φωτός ἀπό ἀνάκλαση. Ἀφήνουμε τώρα νά πέσει πάνω στὸν καθρέφτη Π ἡ ἀκτίνα φυσικοῦ φωτός μέ γωνία προσπτώσεως 57°. Ἡ ἀνακλώμενη ἀκτίνα 1 πέφτει μέ τὴν ἴδια γωνία προσπτώσεως 57° πάνω σέ ὅμοια πλάκα Α (σχ.35). Ἀρχικά οἱ δύο καθρέφτες Π καί Α εἰναι παράλληλοι καὶ τὰ δύο ἐπίπεδα προσπτώσεως συμπίπτονται. Περιστρέφουμε τὸν καθρέφτη Α γύρω ἀπό τὴν ἀκτίνα 1, πού τὴν παίρνουμε ώς ἔξονα, διατηρώντας δῆμος σταθερή τὴ γωνία προσπτώσεως. Ἡ ἀνακλώμενη ἀκτίνα 2 διαγράφει πάλι ἐπιφάνεια κώνου καὶ ἡ φωτεινή κηλίδα Σ διαγράφει μιὰ περιφέρεια πού ἔχει κέντρο τὸ σημεῖο Ο. Παρατηροῦμε δτὶ σ' αὐτῇ τὴν περίπτωση δ φωτισμός τῆς κηλίδας Σ δέ διατηρεῖται σταθερός. Ὁ φωτισμός τῆς κηλίδας Σ:

— εἰναι μέγιστος, ὅταν τὰ δύο ἐπίπεδα προσπτώσεως συμπίπτονται (θέσεις τῆς κηλίδας 1 καὶ 3).

— εἰναι ἴσος μέ γηδέν, ὅταν τὰ δύο ἐπίπεδα προσπτώσεως εἰναι κάθετα μεταξύ τους (θέσεις τῆς κηλίδας 2 καὶ 4).

Ἄπο τὸ πείραμα αὐτὸ συνάγεται δτὶ ἡ ἀκτίνα 1, πού προκύπτει ἀπό τὴν ἀνάκλαση τοῦ φυσικοῦ φωτός, δέν ἔχει τίς ἴδιες ἰδιότητες μέ τὴν ἀκτίνα τοῦ φυσικοῦ φωτός, γιατί ἡ ἀνακλώμενη ἀκτίνα 1 μπορεῖ νά καταργηθεῖ τελείως μέ μιὰ δεύτερη ἀνάκλαση. Τότε λέμε δτὶ ἡ ἀνακλώμενη ἀκτίνα 1 εἰναι ἀκτίνα πολωμένου φωτός. Ἡ δρισμένη γωνία (57°), μέ τὴν δοπία πρέπει νά πέσει ἡ ἀκτίνα τοῦ φυσικοῦ φωτός πάνω στὸν καθρέφτη Π, για νά πάθει πόλωση, δνομάζεται γωνία δλικῆς πολώσεως. Ὁ πρῶτος καθρέφτης Π πού προκαλεῖ τὴν πόλωση, δνομάζεται πολωτής, ἐνῶ δ δεύτερος καθρέφτης Α δνομάζεται ἀναλύτης.

Ἄν ἡ ἀκτίνα τοῦ φυσικοῦ φωτός πέσει πάνω στὸν πολωτή Π μέ γωνία διαφορετική ἀπό τὴ γωνία δλικῆς πολώσεως, τότε παρατηροῦμε δτὶ ἡ ἀνακλώμενη ἀκτίνα 1 δέν μπορεῖ νά καταργηθεῖ τελείως μέ μιὰ δεύτερη ἀνάκλαση τῆς πάνω στὸν ἀναλύτη Α. Κατά μιὰ δλόκληρη στροφή τοῦ ἀναλύτη Α δ φωτισμός τῆς κηλίδας Σ λαβαίνει δύο μέγιστες καὶ δύο ἐλάχιστες τιμές, ἀλλά ποτὲ δέν μηδενίζεται. Σ' αὐτῇ τὴν περίπτωση λέμε δτὶ ἡ ἀνακλώμενη ἀκτίνα 1 εἰναι μερικά πολωμένη. Ωστε:

I. "Οταν τὸ φυσικό φῶς ἀνακλᾶται, συμβαίνει δλική ἡ μερική πόλωση τοῦ φωτός.

II. Στὸ δλικά πολωμένο φῶς ἔχει καταργηθεῖ ἡ συμμετρία ἀπό περιστροφή γύρω ἀπό τὴν ἀκτίνα ἡ δοπία τὸ μεταφέρει.

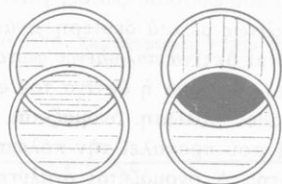
III. Τὸ δλικά πολωμένο φῶς μπορεῖ νά καταργηθεῖ τελείως μέ μιὰ δεύτερη ἀνάκλαση, ὅταν τὰ δύο ἐπίπεδα προσπτώσεως εἰναι κάθετα μεταξύ τους καὶ ἡ δεύτερη γωνία προσπτώσεως εἰναι ἴση μέ τὴ γωνία δλικῆς πολώσεως.

γ. Πόλωση τοῦ φωτός ἀπό διάθλαση. Πάνω σέ μιά γυάλινη πλάκα ἀφήνουμε νά πέσει μιά λεπτή δέσμη φυσικοῦ φωτός ὑπό γωνίᾳ προσπτώσεως ἵση μέ τῇ γωνίᾳ ὀλικῆς πολώσεως. Τότε ἔνα μέρος (τά 8%) τοῦ φωτός ἀνακλᾶται καὶ εἶναι ὀλικά πολωμένο. Τό ὑπόλοιπο μέρος (92%) τοῦ φωτός διαθλᾶται. Μέ ἔναν ἀναλύτη βρίσκουμε ὅτι τὸ διαθλώμενο φῶς εἶναι μερικά πολωμένο. "Ωστε μέ τὸ πείραμα βρίσκουμε ὅτι:

■ **Τό φυσικό φῶς κατά τὴ διάθλαση παθαίνει μόνο μερική πόλωση.**

Σημείωση. Μέ διάθλαση μποροῦμε νά πετύχουμε ὀλική πόλωση τοῦ φυσικοῦ φωτός, ἂν χρησιμοποιήσουμε μιά δέσμη ἀπό 10 ὥς 20 ἐπάλληλες πλάκες.

δ. Polaroid. Γιά τὴν εὔκολη παραγωγή πολωμένου φωτός χρησιμοποιοῦμε ἔνα τεχνητὰ παρασκευαζόμενο σῶμα πού ὁνομάζεται *polaroid* (*πολωτικό σῶμα*). Τό *polaroid* ἀποτελεῖται ἀπό ἔνα λεπτό διαφανές στρῶμα ζελατίνας πού πάνω του ὑπάρχουν πάρα πολλοί μικρότατοι κρύσταλλοι μιᾶς οὐσίας πού λέγεται ἐραπαθίτης (εἶναι ἔνωση τῆς κινίνης). Τό *polaroid* τοποθετεῖται ἀνάμεσα σέ δύο λεπτές γυάλινες πλάκες. Αὐτή ἡ διάταξη ἀποτελεῖ ἔναν πολωτή. Μιά ἄλλη ὅμοια διάταξη μπορεῖ νά χρησιμοποιηθεῖ ὡς ἀναλύτης (σχ. 36). Τά *polaroid* χρησιμοποιοῦνται σέ πολλές ἐφαρμογές (ὅταν θέλουμε νά μετριάσουμε τὴν ἔνταση τοῦ φωτός πού μπαίνει στό μάτι μας, σέ φωτογραφικά φίλτρα, σέ διπτικά δργανα, σέ *pare - brise* κ.ἄ.).



Σχ. 36 Δίσκοι polaroid.

ΠΡΟΒΛΗΜΑΤΑ

26 . Στό πείραμα τῆς συμβολῆς τοῦ φωτός μέ τίς σχισμές τοῦ Young βρίσκουμε ὅτι τὸ μῆκος κύματος λ τῆς ἀκτινοβολίας δίνεται ἀπό τὴν ἔξισσωση :

$$\lambda = \frac{2a \cdot x}{\kappa \cdot d}$$

ὅπου $2a$ είναι ἡ ἀπόσταση μεταξύ τῶν δύο φωτεινῶν πιγῶν (δηλαδή τῶν σχισμῶν), d ἡ ἀπόσταση τῶν φωτεινῶν πηγῶν ἀπό τὸ διάφαγμα, x ἡ ἀπόσταση τοῦ κ τάξεως φωτεινοῦ κροσσοῦ ἀπό τὸν κεντρικό φωτεινό κροσσό K . Σέ ἔνα τέτοιο πείραμα είναι $2a = 4$ mm καὶ $d = 60$ cm. 1) Ἡ ἐρυθρὴ ἀκτινοβολία πού χρησιμοποιοῦμε ἔχει μῆκος κύματος $\lambda_E = 4 \cdot 10^{-4}$ mm. Πόση είναι ἡ ἀπόσταση x τοῦ πρώτου φωτεινοῦ κροσσοῦ ἀπό τὸν κεντρικό φωτεινό κροσσό K ; 2) Πόση είναι ἡ ἀπόσταση x τοῦ πρώτου φωτεινοῦ κροσσοῦ, ἂν χρησιμοποιήσουμε ἴδιην ἀκτινοβολία, πού ἔχει μῆκος κύματος $\lambda_1 = 8 \cdot 10^{-4}$ mm;

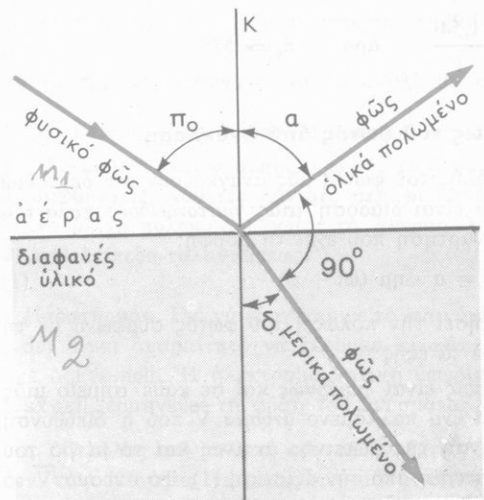
27 . Σέ ἔνα πείραμα μέ τίς σχισμές τοῦ Young είναι $2a = 2$ mm καὶ $d = 1$ m. Ἡ ἀπόσταση δύο διαδοχικῶν φωτεινῶν κροσσῶν είναι $\epsilon = 0,34$ mm. Πόσο είναι τὸ μῆκος κύματος λ τῆς ἀκτινοβολίας;

15. Όλικη πόλωση του φωτός. Νόμος του Brewster

Μέ τό πείραμα βρήκαμε ότι κατά τήν άνάκλαση του φυσικού φωτός πάνω σέ όλα τά σώματα και μέ όποιαδήποτε γωνία προσπτώσεως πάντοτε

συμβαίνει μερική πόλωση του φωτός.

Πειραματικά άποδειχτήκε ότι δίλική πόλωση του φωτός συμβαίνει, μόνο όταν τό φυσικό φῶς ανακλάται πάνω σέ διαφανή ύλικα και ή γωνία προσπτώσεως π_0 έχει τέτοια τιμή, ώστε ή άνακλώμενη και ή διαθλώμενη άκτινα νά είναι κάθετες μεταξύ τους (σχ. 37). Ή άνακλώμενη άκτινα είναι δίλικα πολωμένη, ένω ή διαθλώμενη άκτινα είναι μερικά πολωμένη. Σ' αυτή τήν περίπτωση ἀν ν είναι ο δείκτης διαθλάσεως τού διαφανούς ύλικου σχετικά μέ τόν άέρα, πότε ίσχυει ή σχέση:



Σχ. 37. Όλικη πόλωση του φωτός άπό άνάκλαση.

$$n = \frac{\eta \mu \pi_0}{\eta \mu \delta} \quad \text{ή} \quad n = \frac{\eta \mu \pi_0}{\eta \mu (90^\circ - \pi_0)} = \frac{\eta \mu \pi_0}{\sin \pi_0}$$

άρα

$$\text{εφ } \pi_0 = n$$

Γενικότερα γιά τήν δίλική πόλωση του φωτός άπό άνάκλαση ίσχυει ο άκολουθος νόμος του Brewster:

"Οταν τό φυσικό φῶς πού διαδίδεται σέ ένα μέσο μέ δείκτη διαθλάσεως n_2 , πάθει άνάκλαση πάνω σέ διαφανές ύλικο πού έχει δείκτη διαθλάσεως n_1 , τότε τό άγακλώμενο φῶς είναι δίλικα πολωμένο, ἀν γιά τή γωνία προσπτώσεως (π_0) ίσχυει ή έξισωση :

$$\text{νόμος του Brewster}$$

$$\text{εφ } \pi_0 = \frac{n_2}{n_1}$$

Η γωνία π_0 δονομάζεται γωνία δίλικης τῆς πολώσεως.

Μιά γυάλινη πλάκα, που έχει δείκτη διαθλάσεως $n_2 = 1,54$, βρίσκεται μέσα στόν άέρα ($n_1 = 1$). Πάνω στήν πλάκα πέφτει μιά άκτινα φυσικού φωτός. Σ' αυτή τήν περίπτωση γιά τη γωνία διακίνησης πολώσεως ισχύει ή σχέση:

$$\text{εφ } \pi_0 = \frac{1,54}{1} \quad \text{άρα} \quad \pi_0 \simeq 57^\circ$$

16. Έξηγηση τής πολώσεως τοῦ φωτός ἀπό άνακλαση

Τά φαινόμενα τῆς συμβολῆς τοῦ φωτός μᾶς ἀναγκάζουν νά δεχτοῦμε ότι μιά φωτεινή άκτινοβολία είναι διάδοση μιᾶς ήμιτονοειδοῦς ταλαντώσεως, πού ἐκφράζεται μέ συνάρτηση πού έχει τή μορφή:

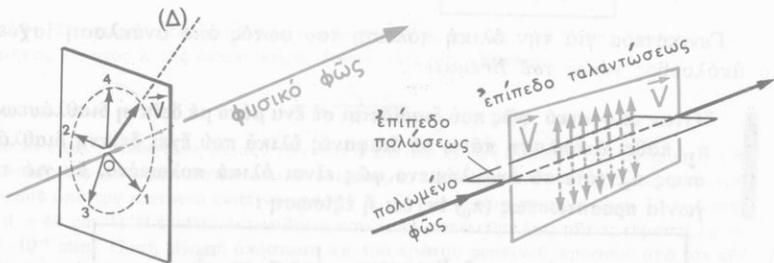
$$V = a \cdot \eta \mu (\omega t + \phi) \quad (1)$$

Ο Fresnel, γιά νά ἔξηγήσει τήν πόλωση τοῦ φωτός σύμφωνα μέ τή θεωρία τῶν κυμάτων, δέχτηκε τά ἔξης :

1. Οι φωτεινές ταλαντώσεις είναι ἔγκαρδιες και σέ κάθε σημεῖο μιᾶς φωτεινῆς άκτινας ἀντιστοιχεῖ ἔνα παλλόμενο ἄνυσμα \vec{V} πού ή διεύθυνσή του είναι κάθετη στή διεύθυνση τῆς φωτεινῆς άκτινας και τό μέτρο του V δίνεται σέ κάθε χρονική στιγμή ἀπό τήν ἔξισωση (1). Τό ἄνυσμα \vec{V} τό δονομάζουμε φωτεινό ἄνυσμα (vecteur lumineux, Lichtvektor).

2. Κατά μῆκος μιᾶς άκτινας φυσικοῦ φωτός ή διεύθυνση (Δ) τοῦ ἀνύσματος \vec{V} δέν είναι δρισμένη. Αύτό σημαίνει ότι σέ ἔνα σημεῖο Ο τῆς φωτεινῆς άκτινας (σχ. 38) ή διεύθυνση τοῦ ἀνύσματος \vec{V} μπορεῖ νά έχει δριοιδήποτε προσανατολισμό (1, 2, 3, 4,).

3. Κατά μῆκος μιᾶς άκτινας δικά πολωμένου φωτός τό ἄνυσμα \vec{V} βρίσκεται πάνω σέ ἔνα δρισμένο ἐπίπεδο πού δονομάζεται ἐπίπεδο ταλα-



Σχ. 38. Σέ μιά άκτινα φυσικοῦ φωτός τό ἄνυσμα \vec{V} έχει δριοιδήποτε προσανατολισμό.

Σχ. 39. Σέ μιά άκτινα δικά πολωμένου φωτός τό ἄνυσμα \vec{V} βρίσκεται πάντοτε πάνω στό ἐπίπεδο ταλαντώσεως.

ντώσεως (σχ. 39). Τό επίπεδο αυτό είναι κάθετο στό επίπεδο προσπτώσεως, που δονομάζεται επίπεδο πολώσεως.

Σέ μιά άκτινα όλικά πολωμένου φωτός τό ἄνυσμα \vec{V} είναι παράλληλο μέ μιά δρισμένη διεύθυνση που είναι κάθετη στή φωτεινή άκτινα και γι' αυτό λέμε δτι σ' αυτή τήν περίπτωση συμβαίνει γραμμική πόλωση τοῦ φωτός.

*Από τά παραπάνω συνάγονται τά άκολουθα συμπεράσματα:

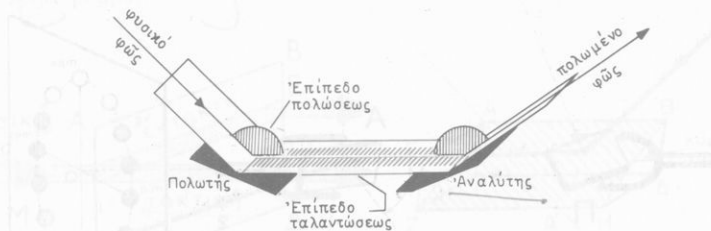
I. Τό φῶς είναι διάδοση ἐγκάρσιων κυμάτων.

II. Σέ μιά άκτινα φυσικοῦ φωτός τό ἄνυσμα \vec{V} έχει ὅλες τίς δυνατές διευθύνσεις, κάθετες πάντοτε στή φωτεινή άκτινα, ἐνῷ σέ μιά άκτινα όλικά πολωμένου φωτός τό ἄνυσμα \vec{V} βρίσκεται πάντοτε πάνω στό επίπεδο ταλαντώσεως.

Παρατήρηση. Γιά νά ἔξηγήσουμε τό φαινόμενο τῆς πολώσεως τοῦ φωτός δέν είναι ἀπαραίτητο νά ἔρουμε τή φύση τοῦ ἀνύσματος \vec{V} πού δέχτηκε δ Fresnell. Ἡ ήλεκτρομαγνητική θεωρία, πού ἀργότερα διατύπωσε δ Maxwell, ἔρμηνει τή φύση τοῦ ἀνύσματος \vec{V} .

a. *Ο ρόλος τοῦ πολωτῆ και τοῦ ἀναλύτη. *Ο πολωτής και δ ἀναλύτης ἔχουν τήν ίδιότητα νά ἀναλύνουν μιά φωτεινή ταλαντωση σέ δύο συνιστώσεις ταλαντώσεις που είναι παράλληλες μέ δύο σταθερές διευθύνσεις και ἐπιτρέπουν νά συνεχιστεῖ ή διάδοση μόνο τῆς μιᾶς ἀπό τίς συνιστώσεις ταλαντώσεις.

Κατά τήν πόλωση τοῦ φυσικοῦ φωτός ἀπό ἀνάκλαση ή ἐπιτρεπόμενη διεύθυνση ταλαντώσεως είναι μόνο ἐκείνη που είναι κάθετη στό επίπεδο



Σχ. 40. Τό επίπεδο ταλαντώσεως είναι κάθετο στό επίπεδο προσπτώσεως (επίπεδο πολώσεως).

προσπτώσεως (σχ. 40). *Ετσι, δταν τά επίπεδα προσπτώσεως τοῦ πολωτῆ και τοῦ ἀναλύτη συμπίπτουν, δ ἀναλύτης δίνει ἀνακλώμενη άκτινα τοῦ πολωμένου φωτός.

"Όταν πάνω στόν άναλυτη πέφτει δίλικά πολωμένο φῶς και ή διεύθυνση τῆς ταλαντώσεως είναι π.χ. ή Oz (σχ. 41), τότε δ' άναλύτης άγαλμάτινος τήν προσπίπτουσα ταλάντωση σέ δύο συνιστόδεσες ταλαντώσεις πού έχουν διεύθυνσεις τήν Oy και τήν Ox. Εστω δτι δ' άναλύτης έπιτρέπει νά συνεχιστεί ή διάδοση μόνο έκεινης τῆς ταλαντώσεως πού έχει διεύθυνση τήν Ox. Οι διεύθυνσεις Oz και Ox σχηματίζουν μεταξύ τους γωνία φ. Τό φῶς πού πέφτει πάνω στόν άναλυτη έχει ένταση I_0 και τό πλάτος τῆς φωτεινῆς ταλαντώσεως είναι a . Τότε έκεινη ή ταλάντωση, πού δ' άναλύτης έπιτρέπει νά συνεχιστεί ή διάδοσή της, έχει πλάτος:

$$\beta = a \cdot \sin \phi$$

Σχ. 41. Άναλυτη τῆς φωτεινῆς ταλαντώσεως σέ δύο κάθετες μεταξύ τους συνιστόδεσες ταλαντώσεις.

Είναι γνωστό δτι ή ένταση τῆς ταλαντώσεως είναι άναλογη μέ τό τειράγωνο τοῦ πλάτους τῆς ταλαντώσεως. Η ένταση τοῦ φωτός πού πέφτει πάνω στόν άναλυτη, δηλαδή ή ένταση τοῦ φωτός κατά τή διεύθυνση ταλαντώσεως Oz, είναι:

$$I_0 = k \cdot a^2$$

Η ένταση I τοῦ φωτός, πού έπιτρέπει δ' άναλύτης νά συνεχιστεί ή διάδοσή του, δηλαδή ή ένταση τοῦ φωτός κατά τή διεύθυνση ταλαντώσεως Oz, είναι:

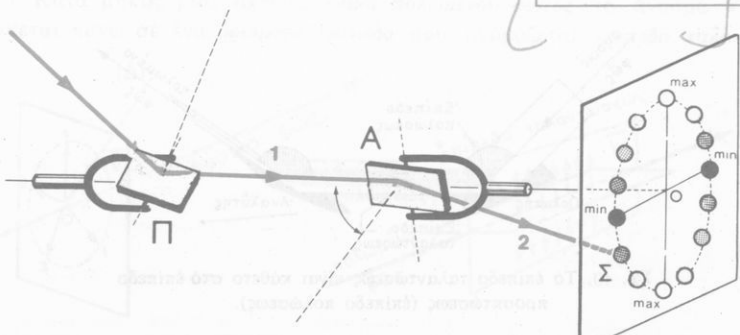
$$I = k \cdot \beta^2$$

"Αρα είναι:

$$I = k \cdot (a \cdot \sin \phi)^2 = k \cdot a^2 \cdot \sin^2 \phi$$

καὶ

$$I = I_0 \cdot \sin^2 \phi$$



Σχ. 42. Πειραματική άπόδειξη τοῦ νόμου τοῦ Malus.

Η τελευταία έξισωση έκφραζει τόν ἀκόλουθο νόμο του Malus:

Η ενταση (I) του πολωμένου φωτός πού προέρχεται ἀπό τόν ἀναλύτη είναι ἀνάλογη μέ τό τετράγωνο τοῦ συνημιτόνου τῆς γωνίας (ϕ) πού σχηματίζουν μεταξύ τους τά δύο ἐπίπεδα ταλαντώσεως (ἐπομένως και τά ἐπίπεδα προσπτώσεως).

Ο νόμος τοῦ Malus ἐπαλήθευται και πειραματικά, ἀν μέ τό φωτοκύτταρο παρακολουθήσουμε τή μεταβολή τοῦ φωτισμοῦ τῆς κηλίδας Σ κατά τήν περιστροφή τοῦ ἀναλύτη (σχ. 42).

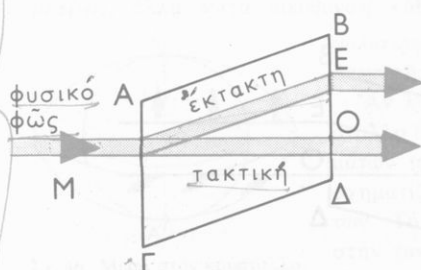
17. Ὁπτικῶς ισότροπα και ἀνισότροπα ύλικά

Γενικά δονομάζουμε ισότροπα τά ύλικά πού ἔχουν τίς ἴδιες φυσικές ίδιοτητες πρός δλες τίς διευθύνσεις. Η Κρυσταλλογραφία κατατάσσει δλους τούς κρυστάλλους σέ έφτα κρυσταλλικά συστήματα (κυβικό, τριγωνικό, τετραγωνικό, ἔξαγωνικό, ρομβικό, μονοκλινές, τρικλινές). Μέ τό πείραμα βρήκαμε δτι:

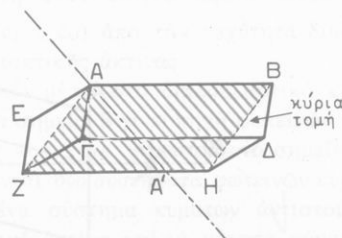
- I. "Όλα τά ἄμορφα ύλικά και οι κρύσταλλοι τοῦ κυβικοῦ συστήματος είναι ὀπτικῶς ισότροπα.
- II. Οι κρύσταλλοι δλων τῶν ἄλλων κρυσταλλικῶν συστημάτων (έκτος ἀπό τό κυβικό σύστημα) είναι ὀπτικῶς ἀνισότροπα ύλικά.

18. Διπλή διάθλαση τοῦ φωτός

Μια ποικιλία τοῦ ἀσβεστίτη, $CaCO_3$, είναι ὁ ἰσλανδικός κούσταλλος. Αύτός κρυσταλλώνεται κατά τό τριγωνικό σύστημα, είναι διαφανής και σχίζεται εύκολα δίνοντας ἓνα πλάγιο παραλληλεπίπεδο πού οι ἔξι ἔδρες του είναι ρόμβοι.



Σχ. 43. Διπλή διάθλαση τοῦ φωτός.
(Ο τακτική ἀκτίνα, Ε ἐκτακτή ἀκτίνα)



Σχ. 44. Ὁπτικός ἄξονας (AA') και κύρια τομή (ABHZ).

"Όταν πάνω στή μιά έδρα τοῦ κρυστάλλου πέσει κάθετα μιά άκτινα φυσικοῦ φωτός (στήν πραγματικότητα μιά πολὺ λεπτή δέσμη φωτεινῶν άκτινών), τότε άπό τήν άπεναντί έδρα τοῦ κρυστάλλου βγαίνουν δύο περαράλληλες φωτεινές άκτινες (σχ. 43), ή άκτινα Ο (τακτική άκτινα) κατά τήν προέκταση τῆς προσπίπτουσας και ή άκτινα Ε (έκτακτη άκτινα). Αὐτός ο διχασμός τῆς προσπίπτουσας άκτινας σέ δύο διαθλώμενες άκτινες δονούμαζεται διπλή διάθλαση τοῦ φωτός και ο ίσλανδικός κρύσταλλος λέμε διτό είναι ένα διπλοθλαστικό σῶμα. Ή διπλή διάθλαση συμβαίνει και όταν η προσπίπτουσα άκτινα δέν είναι κάθετη στήν έδρα τοῦ κρυστάλλου.

Έκτός άπό τόν ίσλανδικό κρύσταλλο άλλα συνηθισμένα διπλοθλαστικά σώματα είναι ο χαλαζίας, ο μαρμαρύγιας, τό τοπάζιο κ.α.

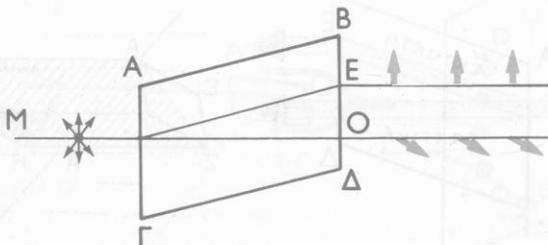
Σημείωση. Τά σύμβολα Ο και Ε προέρχονται άπό τίς λέξεις : Ordinary και Extraordinary.

Οπτικός ξένονας τοῦ κρυστάλλου καὶ κύρια τομή. Στόν κρύσταλλο τοῦ ίσλανδικού κρυστάλλου ύπάρχει μιά διεύθυνση AA' (ξένονας συμμετρίας τοῦ κρυστάλλου) πού δονούμαζεται διπτικός ξένονας (σχ.44). "Όταν η φωτεινή άκτινα, πού πέφτει πάνω στόν κρύσταλλο, έχει τή διεύθυνση τοῦ διπτικοῦ ξένονα, τότε η φωτεινή άκτινα βγαίνει άπό τόν κρύσταλλο χωρίς νά πάθει διπλή διάθλαση.

Κάθε έπιπεδο πού περνάει άπό τόν κύριο ξένονα ή είναι παράλληλο μέ αυτόν δονούμαζεται κύρια τομή τοῦ κρυστάλλου (ή γραμμοσκιασμένη έπιφάνεια ABHZ στό σχήμα).

Από τά παραπάνω καταλήγουμε στό άκολουθο συμπέρασμα:

Όταν μιά άκτινα φυσικοῦ φωτός πέσει πάνω στόν ίσλανδικό κρύσταλλο ξτσι, ώστε νά βρίσκεται πάνω σέ μιά κύρια τομή, άλλά νά μή είναι παράλληλη μέ τόν κύριο ξένονα, τότε προκύπτουν δύο διαθλώμενες άκτινες, ή τακτική καὶ ή έκτακτη άκτινα.



Σχ. 45. Στήν τακτική (Ο) και στήν έκτακτη (Ε) άκτινα τά έπιπεδα ταλαντώσεως είναι κάθετα μεταξύ τους.

α. Πόλωση τοῦ φωτός κατά τή διπλή διάθλαση. "Αν μέ ἔναν ἀναλύτη ἔχετασσομε τήν τακτική καὶ τήν ἕκτακτη ἀκτίνα, βρίσκουμε δτι καὶ οἱ δύο αὐτές ἀκτίνες εἰναι ὀλικά πολωμένες. Τά ἐπίπεδα ταλαντώσεως στήν τακτική καὶ τήν ἕκτακτη ἀκτίνα εἰναι κάθετα μεταξύ τους (σχ. 45). Ή διεύθυνση ταλαντώσεως:

- στήν τακτική ἀκτίνα Ο εἰναι κάθετη στό ἐπίπεδο τῆς κύριας τομῆς;
- στήν ἕκτακτη ἀκτίνα Ε εἰναι πάνω στό ἐπίπεδο τῆς κύριας τομῆς. "Ωστε:

|| 'Η τακτική καὶ ή ἕκτακτη ἀκτίνα εἰναι ὀλικά πολωμένες καὶ τά ἐπίπεδα ταλαντώσεως σ' αὐτές τίς ἀκτίνες εἰναι κάθετα μεταξύ τους.

β. Ἐξήγηση τῆς διπλῆς διαθλάσεως τοῦ φωτός. "Αν στόν ισλανδικό κρύσταλλο μετρήσουμε τούς δεῖκτες διαθλάσεως τῆς τακτικῆς καὶ τῆς ἕκτακτης ἀκτίνας βρίσκουμε δτι:

— δ δείκτης διαθλάσεως τῆς τακτικῆς ἀκτίνας (Ο) ἔχει σταθερή τιμή (πο = 1,658) ἀνεξάρτητα ἀπό τή γωνία προσπτώσεως σχετικά μέ τόν δπτικό ἄξονα·

— δ δείκτης διαθλάσεως τῆς ἕκτακτης ἀκτίνας (Ε) ἔχει μεταβλητή τιμή, πού κυμαίνεται μεταξύ μιᾶς μέγιστης τιμῆς (πο = 1,658) καὶ μιᾶς ἐλάχιστης τιμῆς (πε = 1,486) ἀνάλογα μέ τή γωνία προσπτώσεως σχετικά μέ τόν κύριο ἄξονα.

"Ωστε διπλανδικός κρύσταλλος εἰναι δπτικῶς ἀνισότροπο σῶμα.

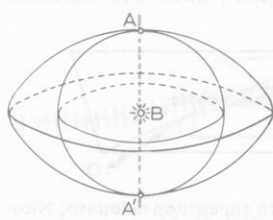
Από τή μέτρηση τῶν δεικτῶν διαθλάσεως τῆς τακτικῆς καὶ τῆς ἕκτακτης ἀκτίνας συνάγεται δτι μέσα στόν κρύσταλλο :

— ή ταχύτητα διαδόσεως (co) τῆς τακτικῆς ἀκτίνας εἰναι σταθερή πρός ὅλες τίς διεύθυνσεις·

— ή ταχύτητα διαδόσεως τῆς ἕκτακτης ἀκτίνας κατά τή διεύθυνση τοῦ δπτικοῦ ἄξονα εἰναι ἵση μέ τήν ταχύτητα διαδόσεως (co) τῆς τακτικῆς ἀκτίνας, ἀλλά κατά διεύθυνση κάθετη στόν δπτικό ἄξονα εἰναι με-

γαλύτερη (ce > co) ἀπό τήν ταχύτητα διαδόσεως τῆς τακτικῆς ἀκτίνας.

"Αν λοιπόν μέσα στό διπλοθλαστικό κρύσταλλο ἔνα σημεῖο Β γίνει πηγή φωτεινῶν κυμάτων (σχ. 46), τότε γύρω ἀπό τό σημεῖο Β σχηματίζονται δύο συστήματα φωτεινῶν κυμάτων. Τό ἔνα σύστημα κυμάτων ἀντιστοιχεῖ στήν τακτική ἀκτίνα καὶ τό μέτωπο κύματος εἰναι σφαιρική ἐπιφάνεια. Τό ἄλλο σύστημα κυμάτων ἀντιστοιχεῖ στήν ἕκτακτη ἀκτίνα καὶ τό μέτωπο κύματος εἰναι ἐλλειψοειδής ἐπιφάνεια



Σχ. 46. Μέσα στόν κρύσταλλο διαδίδονται δύο συστήματα φωτεινῶν κυμάτων.
Ούτοι νοῦτροι ράμποι φαίνονται στόν κρύσταλλο.

ἀπό περιστροφή. Έπειδή κατά τή διεύθυνση τοῦ κύριου ἄξονα ή ταχύτητα διαδόσεως τῆς τακτικῆς καὶ τῆς ἔκτακτης ἀκτίνας εἶναι ή ίδια (c_0), γι' αὐτό τά δύο μέτωπα κύματος ἐφάπτονται σέ δύο σημεῖα A καὶ A' μιᾶς εὐθείας, πού εἶναι παράλληλη μέ τόν ὀπτικό ἄξονα.

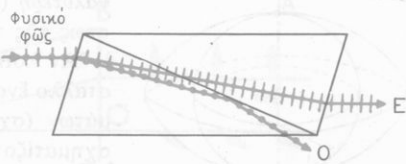
Γενικά γιά τό φαινόμενο τῆς διπλῆς διαθλάσεως τοῦ φωτός καταλήγουμε στά ἑξῆς συμπεράσματα :

- I. Η διπλή διάθλαση τοῦ φωτός εἶναι ἀποτέλεσμα τῆς ὀπτικῆς ἀνιστροπίας ὁρισμένων κρυσταλλικῶν ὄλικῶν (διπλοθλαστικά ὄλικα).
- II. Μέσα στό διπλοθλαστικό κρύσταλλο ή ταχύτητα διαδόσεως τῆς τακτικῆς ἀκτίνας εἶναι σταθερή, ἐνῷ ή ταχύτητα διαδόσεως τῆς ἔκτακτης ἀκτίνας ἀλλάζει ἀνάλογα μέ τή διεύθυνση διαδόσεως.
- III. Κατά τή διεύθυνση τοῦ ὀπτικοῦ ἄξονα ή τακτική καὶ ή ἔκτακτη ἀκτίνα ἔχουν τήν ίδια ταχύτητα διαδόσεως, ἀλλά κατά διεύθυνση κάθετη στόν ὀπτικό ἄξονα ή ἔκτακτη ἀκτίνα ἔχει μεγαλύτερη ταχύτητα διαδόσεως ἀπό τήν τακτική ἀκτίνα ($c_E > c_0$).

19*. Πολωτικές συσκευές

Έπειδή οἱ διπλοθλαστικοί κρύσταλλοι δίνουν δύο ὄλικά πολωμένες φωτεινές ἀκτίνες, γι' αὐτό οἱ κρύσταλλοι αὐτοί χρησιμοποιοῦνται ως πολωτικές συσκευές.

a. Πρίσμα Nicol. Τό πρίσμα Nicol ή καὶ ἀπλά nicol εἶναι ἔνα παραλληλεπίδο διπλοθλαστικού κρύσταλλου πού ἔχει κοπεῖ σέ δύο κομμάτια μέ τήν ἐπίπεδο κάθετο στήν κύρια τομή (σχ. 47). Τά δύο κομμάτια ἔχουν ἔπειτα συγκολληθεῖ μέ καναδικό βάλσαμο. "Οταν μιά ἀκτίνα φυσικοῦ φωτός πέφτει πάνω στόν κρύσταλλο παράλληλα μέ τίς μεγαλύτερες ἀκμές του, τότε ή τακτική ἀκτίνα (O) παθαίνει ὄλική ἀνάκλαση πάνω στό καναδικό βάλσαμο καὶ ἀπορροφᾶται ἀπό τά τοιχώματα τῆς συσκευῆς. Έτσι ἀπό τόν κρύσταλλο βγάζεται μόνο ή ἔκτακτη ἀκτίνα (E) πού εἶναι παράλληλη μέ τήν ἀκτίνα τοῦ φυσικοῦ φωτός. Η ἔκτακτη ἀκτίνα εἶναι ὄλικά πολωμένη καὶ τό ἐπίπεδο ταλαντώσεως συμπίπτει μέ τήν κύρια τομή.



Σχ. 47 Σχηματική παράσταση πρίσματος Nicol.

Παίρνουμε δύο πρίσματα Nicol καὶ τά τοποθετούμε ἔτσι, ώστε οἱ κατά μῆκος ἄξονές τους νά συμπίπτουν (σχ. 48). Τότε οἱ κύριες τομές τῶν δύο

πρισμάτων συμπίπτουν. Πάνω στό πρώτο πρίσμα (*πολωτής*) πέφτει μιά άκτινα (*λεπτή δέσμη*) μονοχρωματικὸν φυσικοῦ φωτός. Ἐπομένως πάνω στό δεύτερο πρίσμα (*ἀναλύτης*) πέφτει μιά δίλικά πολωμένη ἀκτίνα. Στρέφοντας τόν *ἀναλύτη* γύρω ἀπό τόν *ἄξονα* τοῦ συστήματος διαπιστώνουμε δτὶ ή ἄκτινα πού βγαίνει ἀπό τόν *ἀναλύτη* ἔχει:

— μέγιστη *ἔνταση*, δταν οἱ κύριες τομές τῶν δύο πρισμάτων εἰναι παράλληλες,

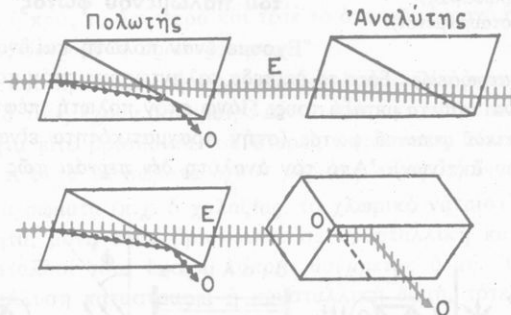
— ἐλάχιστη *ἔνταση*, δταν οἱ κύριες τομές τῶν δύο πρισμάτων εἰναι κάθετες μεταξύ τους.

Στήν πρώτη περίπτωση λέμε δτὶ τά πρίσματα Nicol εἰναι παράλληλα, ἐνδι στή δεύτερη περίπτωση τά πρίσματα Nicol εἰναι διασταυρωμένα.

Μέ το πείραμα βρίσκουμε δτὶ ή *ἔνταση* (I) τοῦ πολωμένου φωτός πού βγαίνει ἀπό τόν *ἀναλύτη* εἰναι ἀνάλογη μέ τό τετράγωνο τοῦ συνημιτόνου τῆς γωνίας (φ) πού σχηματίζουν μεταξύ τους οἱ κύριες τομές τῶν δύο πρισμάτων (ἐπομένως καί τά ἐπίπεδα ταλαντώσεως). "Ωστε εἰναι:

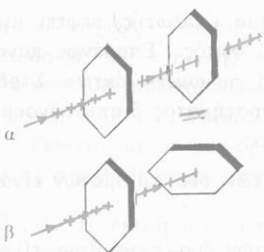
$$I = I_0 \cdot \sin^2 \varphi$$

Γιά $\varphi = 0^\circ$ (nicol παράλληλα) εἰναι $I = I_0$, δηλαδή ή *ἔνταση* τοῦ φωτός ἔχει τή μέγιστη τιμή.



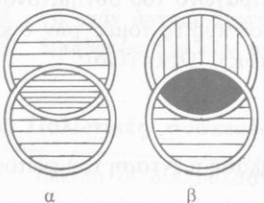
Σχ. 48. Δύο πρίσματα Nicol πού χρησιμοποιούνται τό *ένα* ως πολωτής καί τό *ἄλλο* ως *ἀναλύτης*.

β. Πολικούμενα. Το πολικούμενο φωτόν τον αποτελεῖ μια διπλή διάθλαση τοῦ φωτός πού προστίθεται στην πρώτη πολωμένη πλευρά του φωτόν τον. Επομένως μετεπειταί τον φωτόν τον να παραπομπής τον πολικούμενο φωτόν τον.



Σχ. 49. Πλακίδια τουρμαλίνη πού χρησιμοποιούνται τό ενα δύο πολωτής και τό άλλο ως άναλύτης.

(α πλακίδια παράλληλα, β πλακίδια διασταυρωμένα).



Σχ. 50. Σχηματική παράσταση δίσκων άπό Polaroid.

(α δίσκοι παράλληλοι, β δίσκοι διασταυρωμένοι).

Γιά $\phi = 90^\circ$ (nicol διασταυρωμένα) είναι $I = 0$, δηλαδή ό άναλύτης καταργεῖ τή φωτεινή άκτινα.

β. Πλακίδια τουρμαλίνη. Οι κρύσταλλοι του τουρμαλίνη έχουν κόκκινο ή πράσινο χρώμα και είναι διπλοθλαστικοί. "Ενα πλακίδιο τουρμαλίνη (πάχους 1 ως 2 mm), πού έχει κοπει κάθετα στόν διπλοθλαστικού, άπορροφά τελείως τήν τακτική άκτινα και άφηνε νά περάσει μόνο ή εκτακτη άκτινα πού είναι διλικά πολωμένη. "Ετσι αυτό τό πλακίδιο άποτελεῖ εναν πολωτή. "Ενα δεύτερο δμοιο πλακίδιο μπορεῖ νά χρησιμοποιηθεῖ ως άναλύτης (σχ. 49). "Οταν τά δύο πλακίδια είναι παράλληλα, άπό τόν άναλύτη βγαίνει ή πολωμένη άκτινα πού πέφτει πάνω του, ένω, δταν τά δύο πλακίδια είναι διασταυρωμένα, ό άναλύτης καταργεῖ τή φωτεινή άκτινα.

γ. Polaroid. Σέ πολλές περιπτώσεις ως πολωτική συσκευή (πολωτής άναλύτης) χρησιμοποιούμε δύο πλακίδια polaroid (σχ. 50).

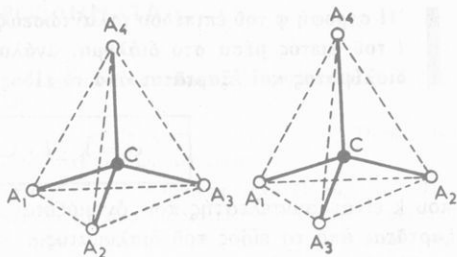
20. Στροφή τοῦ ἐπιπέδου ταλαντώσεως τοῦ πολωμένου φωτός

"Έχουμε εναν πολωτή και εναν άναλύτη στή θέση διασταυρώσεως. Τότε τά ἐπίπεδα ταλαντώσεως στόν πολωτή και στόν άναλύτη είναι κάθετα μεταξύ τους. Πάνω στόν πολωτή πέφτει μιά άκτινα μονοχρωματικοῦ φυσικοῦ φωτός (στήν πραγματικότητα είναι λεπτή δέσμη παράλληλων άκτινων). "Από τόν άναλύτη δέν περνάει φῶς (σχ. 51).



Σχ. 51. Τό διάλυμα προκαλεῖ στροφή τοῦ ἐπιπέδου ταλαντώσεως τοῦ πολωμένου φωτός κατά γωνία ϕ .

Μεταξύ τοῦ πολωτῆ καὶ τοῦ ἀναλύτη τοποθετοῦμε ἔνα γυάλινο δοχεῖο πού περιέχει διάλυμα ζάχαρης. Παρατηροῦμε δτὶ τώρα ἀπὸ τὸν ἀναλύτη περγάρει φῶς. Γιὰ νά καταργηθεῖ τὸ φῶς, πού περνάει ἀπὸ τὸν ἀναλύτη, πρέπει νά στρέφουμε τὸν ἀναλύτη γύρω ἀπὸ τὸν ἄξονα τοῦ συστήματος κατά μιὰ δρισμένη γωνία φ. Ἀρα τὸ διάλυμα τῆς ζάχαρης προκάλεσε στροφὴ τοῦ ἐπιπέδου ταλαντώσεως κατά γωνία φ.



Σχ. 52. Μόριο δργανικῆς ἑνώσεως μὲ ἀσύμμετρο ἄτομο ἄνθρακα.

α. Ὁπτικῶς ἐνεργά σώματα. Ἡ στροφὴ τοῦ ἐπιπέδου ταλαντώσεως προκαλεῖται ἀπὸ τὰ μόρια ζάχαρης πού ὑπάρχουν στὸ διάλυμα καὶ δχι ἀπὸ τὰ μόρια τοῦ νεροῦ. Λέμε δτὶ ἡ ζάχαρη ἔχει στροφικὴ ἰκανότητα. Τὰ σώματα πού ἔχουν στροφικὴ ἰκανότητα δονομάζονται δπτικῶς ἐνεργά.

Ἡ στροφικὴ ἰκανότητα πού ἔχουν τὰ μόρια δρισμένων δργανικῶν ἑνώσεων (ὅπως ἡ γλυκόζη, ἡ ζάχαρη, τὸ τρυγικό δξύ, κ.ἄ.) δφείλεται στὸ δτὶ στὸ μόριό τους ὑπάρχει ἀσύμμετρο ἄτομο ἄνθρακα, δηλαδή ἄτομο ἄνθρακα πού οἱ τέστερις μονάδες σθένους ἔχουν κορεστεῖ μὲ τέσσερα διαφορετικά ἄτομα ἡ ρίζες (σχ. 52).

Γιά τὸν παρατηρητή πού δέχεται στὸ μάτι του τὸ ἐξερχόμενο ἀπὸ τὸν ἀναλύτη φῶς, ἡ φορά τῆς στροφῆς τοῦ ἐπιπέδου ταλαντώσεως γίνεται πρός τὰ δεξιά ἡ πρός τὰ ἀριστερά καὶ τότε τὸ δπτικῶς ἐνεργό σῶμα λέγεται ἀντίστοιχα δεξιόστροφο ἡ ἀριστερόστροφο.

Μοριακή καὶ κρυσταλλική στροφικὴ ἰκανότητα. Οἱ δργανικές ἑνώσεις πού στὸ μόριό τους ἔχουν ἀσύμμετρο ἄτομο ἄνθρακα, παρουσιάζουν στροφικὴ ἰκανότητα εἰτε βρίσκονται σέ στερεή κατάσταση, εἰτε εἰναι διαλυμένα. Λέμε δτὶ αὐτά τὰ σώματα ἔχουν μοριακή στροφικὴ ἰκανότητα.

Ὀρισμένα σώματα (π.χ. ὁ χαλαζίας, τὸ χλωρικό νάτριο) ἔχουν στροφικὴ ἰκανότητα, μόνο δτὰν βρίσκονται σέ κρυσταλλική κατάσταση καὶ τότε οἱ κρύσταλλοι τους ἔχουν κάποια ἀσύμμετρη δομή. Ὁταν μὲ τὴν τήξη ἡ τῇ διάλυση καταστραφεῖ ἡ κρυσταλλική δομή, τότε ἡ στροφικὴ ἰκανότητά τους ἔξαφανίζεται. Λέμε δτὶ αὐτά τὰ σώματα ἔχουν κρυσταλλική στροφικὴ ἰκανότητα.

β. Πολωσίμετρα. "Οταν μεταξύ τοῦ πολωτῆ καὶ τοῦ ἀναλύτη τοποθετήσουμε διάλυμα ἐνός δπτικῶς ἐνεργοῦ σώματος, τότε βρίσκουμε δτὶ:

Η στροφή φ του έπιπεδου ταλαντώσεως είναι άνάλογη μέ τη διαδρομή l του φωτός μέσα στό διάλυμα, άνάλογη μέ τη συγκέντρωση C το διαλύματος καί έξαρταται από το είδος του διαλύματος.

$$\varphi = k \cdot l \cdot C$$

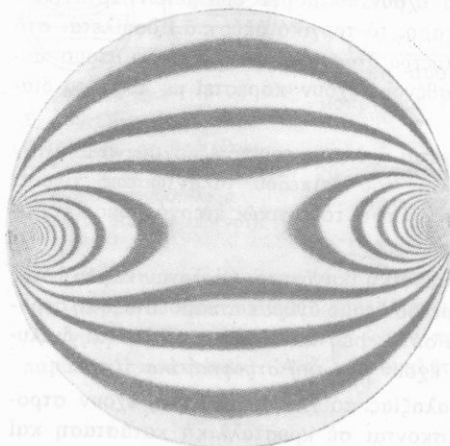
ὅπου k είναι συντελεστής πού δονομάζεται είδική στροφική ίκανότητα καί έξαρταται από το είδος του διαλύματος.

Σ' αύτη τήν άρχη στηρίζεται ή λειτουργία είδικῶν δργάνων πού λέγονται πολωσμέτρα καί χρησιμοποιούνται για τή γρήγορη μέτρηση τῆς συγκεντρώσεως C ένός διαλύματος. Συνήθως ή μέτρηση γίνεται μέ μιά άπλη άνάγνωση πάνω στήν κλίμακα του δργάνου.

21*: Διπλή διάθλαση σέ διπτικῶς ισότροπα ύλικά

Η διπλή διάθλαση δφείλεται σέ διπτική άνισοτροπία του ύλικού.

Η διπλή διάθλαση έμφανίζεται καί σέ διπτικῶς ισότροπα ύλικά, δταν διάφορα έξωτερικά αίτια καταστρέψουν τήν ισότροπη δομή του ύλικού. Έτσι μιά γνάλινη πλάκα γίνεται διπλοθλαστική μέ διάφορα μηχανικά αίτια, π.χ. μέ έλκυσμό, συμπίεση ή κάμψη. Τό φαινόμενο αύτό δονομάζεται φωτοελαστικότητα καί έφαρμόζεται στήν τεχνική για τή μελέτη τῶν έσωτερικῶν δυνάμεων πού άναπτύσσονται μέσα σέ ένα ύλικό, έξαιτιας έξωτερικῶν αίτιων. Γι' αύτό τό σκοπό κατασκευάζεται ένα μικρό διαφανές υπόδειγμα του σώματος καί έξετάζεται στό πολωμένο φᾶς (σχ. 53).



Σχ. 53. Εικόνα διπτικῶς ισότροπου δίσκου πού συμπιέζεται κάτα τή διεύθυνση μιᾶς διαμέτρου του.

Αθανάσιος Παπαδάνης θεωρείται ο πρώτος στον κόσμο που ανέπτυξε την τέχνη της διπτικής στην Ελλάδα. Ο Αθανάσιος Παπαδάνης γεννήθηκε στην Καρδίτσα το 1900 και έζησε μέχρι το 1980. Ήταν ένας πρωτοπόρος στην τέχνη της διπτικής στην Ελλάδα, με πολλές σημαντικές έργα στη διπτική στην Ελλάδα. Τα έργα του συνολικά ανέρχονται σε πάνω από 100 έργα, μερικά από τα οποία είναι έντονα διπτικά.

ΠΡΟΒΛΗΜΑΤΑ

28. Πόση είναι ή γωνία δλικής πολώσεως γιά την πυριτύαλο που έχει δείκτη διαθλάσεως σχετικά μέ τόν άέρα $n = 1,744$;

29. Για ένα διαφανές ύλικό ή γωνία δλικής πολώσεως είναι $\pi = 55^\circ$. Πόσος είναι ο δείκτης διαθλάσεως αύτού του ύλικου σχετικά μέ τόν άέρα;

30. Μιά πολωτική συσκευή άποτελείται από πρίσματα Nicol. Πάνω στόν πολωτή πέφτει φωτεινή δέσμη που έχει ένταση I_0 . Νά προσδιοριστεί ή ένταση I της φωτεινής δέσμης που βγαίνει από τή συσκευή, δταν οι κύριες τομές τών δύο πρισμάτων Nicol σχηματίζουν μεταξύ τους γωνία φ ίση μέ $30^\circ, 45^\circ$ και 60° .

31. Σέ μια πολωτική συσκευή μέ πρίσματα Nicol βρέθηκε ότι ο λόγος της έντασεως I_0 του φωτός που πέφτει στόν πολωτή πρός τήν ένταση I του φωτός που βγαίνει από τή συσκευή είναι $I_0/I = 2$. Πόση είναι ή γωνία φ που σχηματίζουν τότε μεταξύ τους οι κύριες τομές τών δύο πρισμάτων;

32. Για ένα διπλοθλαστικό κρύσταλλο και γιά δρισμένη άκτινοβολία μήκους κύματος $\lambda = 6000 \text{ \AA}$ ο δείκτης διαθλάσεως γιά τήν τακτική άκτινα είναι $n = 1,658$ και γιά τήν έκτακτη άκτινα είναι $n_\text{p} = 1,486$. Νά βρεθεί τό ελάχιστο πάχος ένός πλακιδίου από τό ύλικό του κρυστάλλου, δτε έξαιτιας τού πλακιδίου οι παραπάνω δύο άκτινες, δταν βγαίνουν από τό πλακίδιο, νά παρουσιάζουν διαφορά φάσεως $\phi = \pi/2$. Ταχύτητα του φωτός στό κενό $c = 3 \cdot 10^8 \text{ m/sec}$.

Νόμοι της άκτινοβολίας

22. Η έκπομπή άκτινοβολιῶν από θερμό στερεό σώμα

"Η πιό συνηθισμένη πηγή φωτός είναι τό διάπυρο σύρμα βολφραμίου που έχει δ λαμπτήρας πυρακτώσεως. "Αν παρακολουθήσουμε τή βαθμιαία θέρμανση ένός στερεού παρατηροῦμε τά έξης :

Σέ θερμοκρασία 300°C δλη ή ένέργεια που έκπεμπει τό σώμα μεταφέρεται από ήλεκτρομαγνητικά κύματα που έχουν μήκος κύματος λ μεγαλύτερο από τό μήκος κύματος τής δρατής έρυθρής άκτινοβολίας. Αντές τίς άκτινοβολίες που έκπεμπει τότε τό σώμα τίς λέμε άπεγνθρες άκτινοβολίες και τίς άντιλαμβανόμαστε, δταν φέρουμε τό χέρι μας κοντά σέ ένα θερμό ήλεκτρικό σίδερο σιδερώματος (διάδοση τής θερμότητας μέ άκτινοβολία). "Οταν τό σώμα άποκτήσει θερμοκρασία γύρω στούς 800°C , τότε τό σώμα έκπεμπει και ένέργεια μέ τή μορφή δρατῶν έρυθρῶν άκτινοβολῶν.

Σέ θερμοκρασία πάνω από 2000°C (δση περίπου είναι ή θερμοκρασία του σύρματος σέ ένα λαμπτήρα πυρακτώσεως) τό σώμα έκπεμπει δλες τίς

δρατές ἀκτινοβολίες και μαζί μὲ αὐτές ἐκπέμπει και ἀόρατες ἀκτινοβολίες πού ἔχουν μῆκος κύματος λ μικρότερο ἀπό τὸ μῆκος κύματος τῆς ὀρατῆς ίώδους ἀκτινοβολίας. Αὐτές τίς ἀόρατες ἀκτινοβολίες τίς λέμε ὑπεριώδεις ἀκτινοβολίες. "Ωστε:

Eva Θερμό στερεό σῶμα ἐκπέμπει ἔνα συνεχές φάσμα ἀκτινοβολιῶν πού ἡ ἔκτασή του πρός τὰ μικρότερα μῆκη κύματος ἐξαρτᾶται ἀπό τὴν θερμοκρασία τοῦ σώματος.

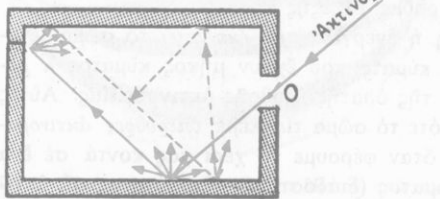
23. Ἀπόλυτα μαῦρο σῶμα

Θά θεωρήσουμε μόνο ἀδιαφανή σώματα. "Οταν πάνω σὲ ἔνα ἀδιαφανές σῶμα πέφτει μιά ἡλεκτρομαγνητική ἀκτινοβολία μὲ δόπιοδήποτε μῆκος κύματος, τότε ἔνα μέρος τῆς ἐνέργειας πού μεταφέρει ἡ ἀκτινοβολία ἀπορροφᾶται ἀπό τὸ σῶμα και τὸ υπόλοιπο μέρος τῆς ἐνέργειας ἀνακλᾶται και διαχέεται ἀπό τὴν ἐπιφάνεια τοῦ σώματος. Τό ποσοστό τῆς ἐνέργειας πού ἀπορροφᾶται ἀπό τὸ σῶμα ἐξαρτᾶται ἀπό τὸ εἰδος τῆς ἐπιφάνειας τοῦ σώματος.

Στή Φυσική γιά τή μελέτη τῶν ἀκτινοβολιῶν δεχόμαστε ὅτι ὑπάρχει μιά ἐπιφάνεια πού ἀπορροφᾶ δλες τίς ἀκτινοβολίες πού πέφτουν πάνω τῆς και οὔτε ἀνακλᾶ οὔτε διαχέει τίς ἀκτινοβολίες. Λέμε ὅτι αὐτή ἡ ἐπιφάνεια εἶναι μιά ἴδαινη μαύρη ἐπιφάνεια και τὸ σῶμα πού ἔχει τέτοια ἐπιφάνεια τὸ δονομάζουμε ἀπόλυτα μαῦρο σῶμα ἢ και ἀπλά μαῦρο σῶμα (*).

Πρακτικά μιά ἐπιφάνεια πού ἔχει σκεπαστεῖ μέ ἔνα στρῶμα καπνιδες (αιθάλης) συμπεριφέρεται σάν μαῦρο σῶμα.

Μιά κοιλότητα ἔχει μιά μικρή δπή (σχ. 54). Ἀπό τὰ τοιχώματα τῆς κοιλότητας δέν περνοῦν οἱ ἀκτινοβολίες. "Οταν μιά ἀκτινοβολία περάσει ἀπό τὴν δπή και μπεῖ μέσα στήν κοιλότητα, τότε ἡ ἀκτινοβολία παθαίνει μέσα στήν κοιλότητα πολλές ἀνακλάσεις και διαχύσεις και τελικά ἡ ἀκτινοβολία ἀπορροφᾶται δλοκληρωτικά ἀπό τὴν κοιλότητα, δόπιοδήποτε και ἄν εἶναι τὸ μῆκος κύματος τῆς ἀκτινοβολίας.



Σχ. 54. Ἡ δπή τῆς κοιλότητας συμπεριφέρεται σάν ἀπόλυτα μαῦρο σῶμα.

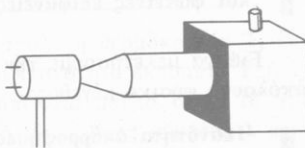
* Τό ἀδιαφανές σῶμα, πού ἡ ἐπιφάνεια του οὔτε ἀνακλᾶ οὔτε διαχέει τίς ἀκτινοβολίες, τό βλέπουμε μαῦρο.

"Ετσι ή δπή συμπεριφέρεται σάν άπόλυτα μαύρο σώμα, γιατί άπορροφᾶ δλες τίς άκτινοβολίες πού πέφτουν πάνω της.

Άντιστροφα, αν ή παραπάνω κοιλότητα άποκτήσει δρισμένη θερμοκρασία, τότε άπο τήν δπή βγαλνει άκτινοβολία πού δνομάζεται άκτινοβολία τοῦ άπόλυτα μαύρου σώματος. Αύτή ή άκτινοβολία έξαρτᾶται μόνο άπο τή θερμοκρασία τοῦ άπόλυτα μαύρου σώματος. Ή φύση τῶν τοιχωμάτων τῆς κοιλότητας δέν παιζει κανένα ρόλο.

24. Ικανότητα έκπομπής

"Έχουμε ένα χάλκινο κυβικό δοχείο πού οι τέσσερις κατακόρυφες έδρες του έχουν διαφορετική τήν έξωτερη έπιφάνειά τους, π.χ. ή πρώτη έδρα έχει σκεπαστεί μέ καπνιά, ή δεύτερη είναι γυαλιστερή, ή τρίτη είναι άνωμαλη και τραχιά και ή τέταρτη είναι λευκή (σχ. 55). Γεμίζουμε τό δοχείο μέ ζεστό νερό. Τότε οι έδρες τοῦ δοχείου έχουν τήν ίδια θερμοκρασία. Μέ ένα εύπαθές θερμομετρικό δργανο (π.χ. θερμοηλεκτρική στήλη) βρίσκουμε δτι οι τέσσερις έδρες άκτινοβολοῦν διαφορετικές ποσότητες ένεργειας. "Ετσι άπο τό πείραμα βρίσκουμε δτι:



Σχ. 55. Η έκπομπή άκτινοβολίας έξαρτᾶται άπο τή φύση τής έπιφανειας τοῦ σώματος.

Τήν ίδια θερμοκρασία οι σκοτεινές και τραχιές έπιφάνειες άκτινοβολοῦν έντονότερα άπο τίς γυαλιστερές και φωτεινές έπιφανειες.

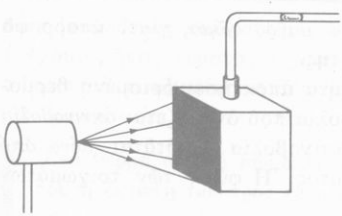
Γιά νά μελετήσουμε τήν έκπομπή τῶν άκτινοβολιῶν δρίζουμε τό άκολουθο φυσικό μέγεθος:

Ικανότητα έκπομπής (Ε_{λ,τ}) ένός σώματος, γιά δρισμένο μήκος κύματος λ και γιά δρισμένη άπόλυτη θερμοκρασία T, δνομάζεται ή ίσχυς τήν δποία άκτινοβολεῖ ή μονάδα τῆς έπιφανειας τοῦ σώματος.

Συνήθως ή ικανότητα έκπομπής Ε μετριέται σέ Watt/cm².

25. Ικανότητα άπορροφήσεως

"Έχουμε τό χάλκινο κυβικό δοχείο πού χρησιμοποιήσαμε γιά τή μελέτη τῆς έκπομπής τῶν άκτινοβολιῶν (σχ. 55). Τό δοχείο περιέχει τώρα άέρα και στήν πάνω έδρα του είναι στερεωμένος ένας λεπτός δριζόντιος σωλήνας μέ μιά μικρή σταγόνα άδραργύρου πού χρησιμεύει ώς δείκτης



Σχ. 56. Η απορρόφηση άκτινοβολίας έχει τάση από τη φύση της επιφάνειας του σώματος.

(σχ. 56). Αφήνουμε νά πέσει πάνω στη μιά έδρα τοῦ δοχείου άκτινοβολία, ώσπου νά άποκατασταθεῖ θερμική ισορροπία, δηλαδή ώσπου νά πάψει νά μετακινεῖται ή σταγόνα τοῦ ίδρυματος. "Αν έπαναλάβουμε τό πείραμα διαδοχικά μέ δλες τίς έδρες τοῦ δοχείου, βρίσκουμε ὅτι οἱ τέσσερις έδρες τοῦ δοχείου άπορροφοῦν διαφορετικές ποσότητες ένέργειας από τήν άκτινοβολία πού πέφτει πάνω τους." Ετσι άπό τό πείραμα βρίσκουμε ὅτι:

Ικανότητα απορροφήσεως (Αλ,τ) ένός σώματος, γιά ορισμένο μῆκος κύματος λ καὶ γιά ορισμένη άπόλυτη θερμοκρασία T, δύναται δ λόγος τής ίσχύος πού απορροφᾶ τό σώμα πρός τήν ίσχυν πού πέφτει πάνω του.

Γιά νά μελετήσουμε τήν άπορροφήση τῶν άκτινοβολιῶν ορίζουμε τό άκολουθο φυσικό μέγεθος:

Ικανότητα απορροφήσεως (Αλ,τ) ένός σώματος, γιά ορισμένο μῆκος κύματος λ καὶ γιά ορισμένη άπόλυτη θερμοκρασία T, δύναται δ λόγος τής ίσχύος πού απορροφᾶ τό σώμα πρός τήν ίσχυν πού πέφτει πάνω του.

$$\text{Ικανότητα απορροφήσεως (Αλ,τ)} = \frac{\text{άπορροφώμενη ίσχυς}}{\text{προσπίπτουσα ίσχυς}}$$

Η ίκανότητα απορροφήσεως είναι καθαρός άριθμός. Έπειδή τό άπόλυτα μαῦρο σῶμα απορροφᾷ όλοκληρωτικά τήν ένέργεια τής άκτινοβολίας πού πέφτει πάνω του, συμπεραίνουμε ὅτι:

Τό άπόλυτα μαῦρο σῶμα, γιά δλες τίς άκτινοβολίες, έχει ίκανότητα απορροφήσεως ίση μέ τή μονάδα.

$$\text{άπόλυτα μαῦρο σῶμα } \text{Αλ,τ} = 1$$

26. Νόμος του Kirchhoff

Η ίκανότητα έκπομπής ενός σώματος έξαρταται από τη θερμοκρασία του σώματος και τό είδος της έπιφανειάς του. Για δρισμένο μήκος κύματος λ και για δρισμένη άπόλυτη θερμοκρασία T ή ίκανότητα έκπομπής (E_{λ,T}) και ή ίκανότητα άπορροφήσεως (A_{λ,T}) συνδέονται μεταξύ τους μέση θεμελιώδη σχέση που τήν έκφραζει ο άκολουθος νόμος του Kirchhoff:

Για τό ίδιο μήκος κύματος λ και για τήν ίδια άπόλυτη θερμοκρασία T τό πηλίκο της ίκανότητας έκπομπής (E_{λ,T}) διά της ίκανότητας άπορροφήσεως (A_{λ,T}) είναι για δλα τά σώματα σταθερό.

$$\text{νόμος του Kirchhoff} \quad \frac{E_{\lambda,T}}{A_{\lambda,T}} = f_{\lambda,T}$$

"Ας θεωρήσουμε ένα σώμα Σ που έχει άπόλυτη θερμοκρασία T, έκπεμπει άκτινοβολία μέ μήκος κύματος λ, έχει ίκανότητα έκπομπής E_{Σ(λ,T)} και ίκανότητα άπορροφήσεως A_{Σ(λ,T)}. Τό άπόλυτα μαύρο σώμα M γιά τήν ίδια άπόλυτη θερμοκρασία T και γιά τό ίδιο μήκος κύματος λ έχει ίκανότητα έκπομπής E_{M(λ,T)} και ίκανότητα άπορροφήσεως A_{M(λ,T)}. Τότε σύμφωνα μέ τό νόμο του Kirchhoff ισχύει ή έξισωση:

$$\frac{E_{\Sigma(\lambda,T)}}{A_{\Sigma(\lambda,T)}} = \frac{E_M(\lambda,T)}{A_M(\lambda,T)} = \text{σταθ.} \quad (1)$$

Επειδή γιά τό άπόλυτα μαύρο σώμα είναι:

$$A_{M(\lambda,T)} = 1$$

από τήν έξισωση (1) βρίσκουμε:

$$\frac{E_{\Sigma(\lambda,T)}}{A_{\Sigma(\lambda,T)}} = E_{M(\lambda,T)} \quad (2)$$

Γιά κάθε άλλο σώμα, έκτος από τό άπόλυτα μαύρο σώμα, ή ίκανότητα άπορροφήσεως είναι μικρότερη από τή μονάδα, δηλαδή είναι A_{Σ(λ,T)} < 1. Από τήν έξισωση (2) βρίσκουμε:

$$E_{\Sigma(\lambda,T)} = A_{\Sigma(\lambda,T)} \cdot E_{M(\lambda,T)} \quad \text{άρα} \quad E_{\Sigma(\lambda,T)} < E_{M(\lambda,T)}$$

Η τελευταία σχέση φανερώνει δτι:

Η ίκανότητα έκπομπής του άπόλυτα μαύρου σώματος είναι μεγαλύτερη από τήν ίκανότητα έκπομπής δποιουδήποτε άλλου σώματος.

Η εξίσωση (2) φανερώνει ότι ίσχυει και ή ακόλουθη σχέση:

Τό πηλίκο της ίκανότητας έκπομπής πρός την ίκανότητα άπορροφήσεως ένός σώματος είναι ίσο μέ την ίκανότητα έκπομπής του άπόλυτα μαύρου σώματος.

$$\frac{\text{ίκανότητα έκπομπής σώματος}}{\text{ίκανότητα άπορροφήσεως σώματος}} = \frac{\text{ίκανότητα έκπομπής}}{\text{άπόλυτα μαύρου σώματος}}$$

27. Νόμος Stefan - Boltzmann

S.O.S.

Ένα θερμό σώμα έκπεμπει πολλές άκτινοβολίες πού έχουν διάφορα μήκη κύματος και μεταφέρουν ένέργεια. Ο Stefan πειραματικά και άργοτερα δ Boltzmann θεωρητικά βρήκαν τό νόμο που ίσχυει γιά τήν δλική ίσχυ τῶν άκτινοβολιῶν πού έκπεμπει τό άπόλυτα μαύρο σώμα. Ετσι γιά τή θερμική έκπομπή τῶν άκτινοβολιῶν ίσχυει ό ακόλουθος νόμος Stefan - Boltzman:

Η δλική ίσχυς (P_{o}) πού άκτινοβολεῖ τό άπόλυτα μαύρο σώμα, είναι άναλογη μέ τό έμβαδο (S) τῆς έπιφάνειας τοῦ σώματος και άναλογη μέ τήν τέταρτη δύναμη τῆς άπόλυτης θερμοκρασίας (T) τοῦ σώματος.

$$\text{νόμος Stefan - Boltzmann} \quad P_{\text{o}} = \sigma \cdot S \cdot T^4$$

ὅπου σ είναι ή σταθερή Stefan - Boltzmann και είναι ίση μέ:

σταθερή Stefan - Boltzmann

$$\sigma = 5,669 \cdot 10^{-8} \text{ W} \cdot \text{m}^{-2} \cdot \text{grad}^{-4}$$

a. Ένέργεια πού άποβάλλει ή παίρνει έγα σώμα. Κάθε σώμα, δοπιαδή-ποτε και ἄν είναι ή θερμοκρασία του, έκπεμπει θερμικές άκτινοβολίες και έπομένως άποβάλλει ένέργεια. Άλλα ταυτόχρονα πάνω σ αύτό τό σώμα πέφτουν συνεχῶς άκτινοβολίες πού έκπεμπονται άπό τό περιβάλλον τοῦ σώματος. Μερικές άπό αύτές τίς άκτινοβολίες άνακλωνται πάνω στήν έπιφάνεια τοῦ σώματος, άλλες δμως άκτινοβολίες άπορροφοῦνται άπό τό σώμα και ή ένέργεια τους μετατρέπεται σέ έσωτερη ένέργεια τοῦ σώματος.

Η διαφορά μεταξύ τῆς ένέργειας πού έκπεμπει τό σώμα και τῆς ένέργειας πού άπορροφᾶ τό σώμα είναι ή ένέργεια τήν δοπία η άποβάλλει τό σώμα στό περιβάλλον του ή παίρνει τό σώμα άπό τό περιβάλλον του.

Θεωροῦμε ένα σώμα πού έχει άπόλυτη θερμοκρασία T_s , ή έπιφανειά

του έχει έμβαδό S και δ συντελεστής ίσχύος σχετικά με τό άπόλυτα μαύρο σώμα είναι ϵ . Στή διάρκεια τοῦ χρόνου t :

$$\text{τό σώμα} \text{ έκπέμπει} \text{ ένέργεια} \quad W_{\Sigma} = \epsilon \cdot \sigma \cdot S \cdot T_{\Sigma}^4 \cdot t$$

"Αν τό περιβάλλον έχει άπόλυτη θερμοκρασία T_P , τότε στή διάρκεια τοῦ χρόνου t :

$$\text{τό σώμα} \text{ παίρνει} \text{ ένέργεια} \quad W_P = \epsilon \cdot \sigma \cdot S \cdot T_P^4 \cdot t$$

"Επομένως στή διάρκεια τοῦ χρόνου t τό σώμα άπορθάλλει ή παίρνει ένέργεια ίση μέ:

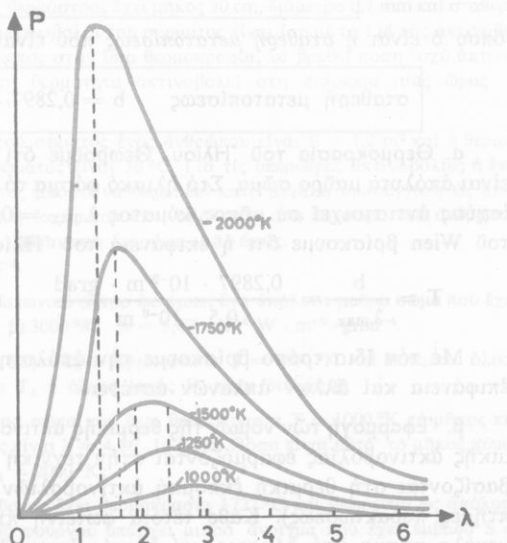
$$W = W_{\Sigma} - W_P \quad \text{ή}$$

$$W = \epsilon \cdot \sigma \cdot S \cdot (T_{\Sigma}^4 - T_P^4) \cdot t$$

28. Νόμος τοῦ Wien

"Η ίσχύς πού έκπέμπει ένα σώμα κατά μονάδα τής έπιφανειάς του έξαρτάται άπό τή φύση τής έπιφανειας τοῦ σώματος και άπό τή θερμοκρασία. "Ετσι π.χ. ένα συμπαγές κομμάτι χαλκού στή θερμοκρασία 373°K έκπέμπει περίπου $0,03 \text{ W/cm}^2$ και στή θερμοκρασία 1273°K έκπέμπει 4 W/cm^2 . Σέ καθεμία άπό αντές τίς θερμοκρασίες τό σώμα έκπέμπει ίσχύ ή δοπία μεταφέρεται άπό ένα μίγμα άκτινοβολιῶν πού έχουν διάφορα μήκη κύματος και άποτελούν ένα φάσμα.

"Αν γιά κάθε θερμοκρασία έξετάσουμε πᾶς κατανέμεται στό φάσμα τοῦ άπόλυτα μαύρου σώματος ή ίσχύς πού έκπέμπεται κατά μονάδα έπιφανειας τοῦ σώματος, τότε παίρνουμε μιά καμπύλη πού παρουσιάζει ένα μέγιστο έκπομπής



Σχ. 57. Κατανομή τῆς ίσχύος στό φάσμα τοῦ άπόλυτα μαύρου σώματος σε συνάρτηση με τό μήκος κύματος λ (τό λ σε μμ).

ίσχυος (σχ. 57). Αντό τό μέγιστο άντιστοιχεῖ σέ δρισμένο μῆκος κύματος πού δνομάζεται μῆκος κύματος τοῦ μέγιστου τῆς ίσχύος (λ_{\max}). Τό έμβαδό τῆς έπιφάνειας πού περιλαμβάνεται μεταξύ τῆς κάθε καμπύλης καὶ τοῦ δριζόντιου ἄξονα παριστάνει τήν δλική ίσχυ πού ἐκπέμπεται κατά μονάδα έπιφάνειας.

Μέ τό πείραμα βρίσκουμε δτι, δταν ανέξανται ή θερμοκρασία τοῦ ἀπόλυτα μαύρου σώματος, τό μῆκος κύματος τοῦ μέγιστου τῆς ίσχύος ἐλαττώνεται, δηλαδή ή αἰχμή τῆς καμπύλης μετατοπίζεται πρός τά μικρότερα μῆκη κύματος. Ἀπό τήν πειραματική καὶ τή θεωρητική μελέτη τῆς κατανομῆς τῆς ἐνέργειας στό φάσμα τῆς θερμικῆς ἐκπομπῆς ἀκτινοβολιῶν βρέθηκε ὁ ἀκόλουθος νόμος τοῦ Wien :

"Οταν ὑψώνεται ή ἀπόλυτη θερμοκρασία (T) τοῦ ἀπόλυτα μαύρου σώματος, τό μῆκος κύματος τοῦ μέγιστου τῆς ίσχύος (λ_{\max}) ἐλαττώνεται, ἀλλά τό γινόμενο τοῦ μήκους κύματος τοῦ μέγιστου τῆς ίσχύος ἐπί τήν ἀπόλυτη θερμοκρασία τοῦ σώματος διατηρεῖται σταθερό.

$$\text{νόμος τοῦ Wien} \quad \lambda_{\max} \cdot T = b$$

ὅπου b εἶναι η σταθερή μετατοπίσεως πού εἶναι ίση μέ:

$$\text{σταθερή μετατοπίσεως} \quad b = 0,2897 \cdot 10^{-2} \text{ m} \cdot \text{grad}$$

a. Θερμοκρασία τοῦ Ἡλίου. Θεωροῦμε δτι η έπιφάνεια τοῦ Ἡλίου εἶναι ἀπόλυτα μαύρο σῶμα. Στό ήλιακό φάσμα τό μέγιστο τῆς έκπεμπόμενης ίσχύος άντιστοιχεῖ σέ μῆκος κύματος $\lambda_{\max} = 0,5 \cdot 10^{-6} \text{ m}$. Ἀπό τό νόμο τοῦ Wien βρίσκουμε δτι η έπιφάνεια τοῦ Ἡλίου ἔχει θερμοκρασία:

$$T = \frac{b}{\lambda_{\max}} = \frac{0,2897 \cdot 10^{-2} \text{ m} \cdot \text{grad}}{0,5 \cdot 10^{-6} \text{ m}} \quad \text{καὶ} \quad T = 5794 \text{ K}$$

Μέ τόν ίδιο τρόπο βρίσκουμε τήν ἀπόλυτη θερμοκρασία πού ἔχει η έπιφάνεια καὶ ἄλλων ἀπλανῶν ἀστέρων.

β. Ἐφαρμογή τῶν νόμων τῆς θερμικῆς ἀκτινοβολίας. Οἱ νόμοι τῆς θερμικῆς ἀκτινοβολίας ἐφαρμόζονται στήν τεχνική τῶν φωτεινῶν πηγῶν πού βασίζονται στή θερμική ἐκπομπή ἀκτινοβολιῶν (π.χ. οἱ ήλεκτρικοί λαμπτήρες πυρακτώσεως). Κάθε τέτοια φωτεινή πηγή ἐκπέμπει ἔνα ἀρκετά μεγάλο φάσμα ἀπό ὀρατές καὶ ὀρατές ἀκτινοβολίες. Ἀλλά τό μάτι μας εἶναι εὐαίσθητο μόνο ἀπό τίς ὀρατές ἀκτινοβολίες πού ἀποτελοῦν μιά μικρή περιοχή ἀκτινοβολιῶν τοῦ φάσματος πού ἔχονται μήκη κύματος ἀπό $0,4 \cdot 10^{-6} \text{ m}$ ὥς $0,8 \cdot 10^{-6} \text{ m}$ περίπου. Στήν τεχνική τῶν φωτεινῶν πηγῶν φροντί-

Ζουμε τό μήκος κύματος τοῦ μέγιστου τῆς ίσχύος (λ_{\max}) νά βρίσκεται μέσα στήν περιοχή τῶν όρατῶν άκτινοβολιῶν καὶ δσο τό δυνατό πιο κοντά στό μήκος κύματος $\lambda = 0,55 \cdot 10^{-6}$ m, γιατί τό μάτι μας παρουσιάζει τή μεγαλύτερη εύαισθησία στήν άκτινοβολία πού ἔχει αὐτό τό μήκος κύματος.

ΠΡΟΒΛΗΜΑΤΑ

33. Μιά σφαίρα, πού ἔχει διάμετρο $2r = 2$ cm καὶ θεωρεῖται ώς ἀπόλυτα μαύρο σώμα, διατηρεῖται σέ σταθερή θερμοκρασία 600°C . Πόση ίσχύ έκπεμπει; $\sigma = 5,67 \cdot 10^{-8} \text{ W} \cdot \text{m}^{-2} \cdot \text{grad}^{-4}$.

34. Σέ έναν ήλεκτρικό λαμπτήρα πυρακτώσεως τό σύρμα ἔχει μήκος 20 cm, διάμετρο 0,01 mm, σταθερή θερμοκρασία 2500°K καὶ βρίσκεται μέσα σέ σφαιρικό γαύλινο ἀερόκενο σωλήνα. Ἡ διάδοση θερμότητας μέ άγωγή καὶ μέ ρευματα θεωρεῖται άσημάντη. Πόση ίσχυ άκτινοβολεῖ λαμπτήρας, ἂν ἡ άκτινοβολία τοῦ σύρματος είναι ίση μέ τά 30 % τῆς άκτινοβολίας τοῦ ἀπόλυτα μαύρου σώματος στήν ίδια θερμοκρασία; $\sigma = 5,67 \cdot 10^{-8} \text{ W} \cdot \text{m}^{-2} \cdot \text{grad}^{-4}$

35. Τό σύρμα ήλεκτρικής θερμάστρας ἔχει μήκος 80 cm, διάμετρο 0,1 mm καὶ σταθερή θερμοκρασία 1400°K . Ἐν ἡ άκτινοβολία τοῦ σύρματος είναι ίση μέ τό $1/4$ τῆς άκτινοβολίας τοῦ ἀπόλυτα μαύρου σώματος στήν ίδια θερμοκρασία, νά βρεθεῖ πόση ίσχυ άκτινοβολεῖ η θερμάστρα καὶ πόση θερμότητα άκτινοβολεῖ στή διάρκεια μιᾶς ώρας. $\sigma = 5,67 \cdot 10^{-8} \text{ W} \cdot \text{m}^{-2} \cdot \text{grad}^{-4}$.

36. Ἡ διλική έπιφάνεια τοῦ σώματος ἐνός ἀνθρώπου είναι $S = 1,2 \text{ m}^2$ καὶ η θερμοκρασία στήν έπιφάνεια τοῦ σώματος είναι 30°C . Γιά τίς υπέρυθρες άκτινοβολίες ἡ έπιφάνεια τοῦ ἀνθρώπινου σώματος μπορεῖ νά θεωρηθεῖ κατά μεγάλη προσέγγιση ώς ἀπόλυτα μαύρο σώμα. Νά βρεθεῖ ή ίσχύς πού άκτινοβολεῖται ἀπό τό σώμα τοῦ ἀνθρώπου καὶ η θερμότητα πού άκτινοβολεῖται στή διάρκεια μιᾶς ώρας. $\sigma = 5,67 \cdot 10^{-8} \text{ W} \cdot \text{m}^{-2} \cdot \text{grad}^{-4}$.

37. Πόση ίσχυ κατά τετραγωνικό μέτρο έκπεμπει Ἑνα ἀπόλυτα μαύρο σώμα πού ἔχει θερμοκρασία: a) 300°K καὶ b) 3000°K ; $\sigma = 5,67 \cdot 10^{-8} \text{ W} \cdot \text{m}^{-2} \cdot \text{grad}^{-4}$.

38. Ἐνας άπόλυτα μαύρο σώμα ἔχει θερμοκρασία $T = 1000^{\circ}\text{K}$ καὶ έκπεμπει διλική ίσχυ P . Σέ ποια θερμοκρασία T_1 ἡ διλική ίσχυς P_1 είναι διπλάσια;

39. Γιά ἑνα ἀπόλυτα μαύρο σώμα πού ἔχει θερμοκρασία $T = 1000^{\circ}\text{K}$ τό μήκος κύματος τοῦ μέγιστου τῆς ίσχύος είναι $\lambda = 4,86 \cdot 10^{-5}$ cm. Πόσο είναι αὐτό τό μήκος κύματος λ_1 στή θερμοκρασία $T_1 = 2000^{\circ}\text{K}$;

40. Ἐνας ήλεκτρικός φούρνος ἔχει θερμοκρασία 1727°C καὶ θεωρεῖται ώς ἀπόλυτα μαύρο σώμα. Στό τοίχωμα τοῦ φούρνου υπάρχει μικρό ἄνοιγμα πού ἔχει έμβαδο $S = 1 \text{ cm}^2$. Πόση ίσχυς βγαίνει ἀπό τό ἄνοιγμα;

ΗΛΕΚΤΡΙΣΜΟΣ

Έπαγωγή

29. Δημιουργία έπαγωγικής τάσεως

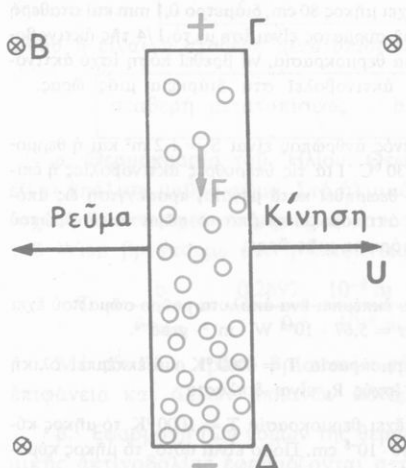
Ένας ευθύγραμμος άγωγός ΓΔ (σχ. 58) κινεῖται παράλληλα μέ τόν έαυτό του και μέ σταθερή ταχύτητα \vec{v} μέσα σέ δόμογενές μαγνητικό πεδίο πού έχει μαγνητική έπαγωγή \vec{B} . Ο άγωγός κινεῖται κάθετα στις δυναμικές γραμμές τοῦ μαγνητικοῦ πεδίου, πού έχουν φορά ἀπό τό έμπρος πρός τό πίσω μέρος τοῦ σχήματος. Κατά τήν κίνηση τοῦ άγωγοῦ μεταφέρονται καὶ τά έλευθερά ήλεκτρόνια πού υπάρχουν μέσα στόν άγωγό. Αύτή δώμας

ή μεταφορά κάθε έλευθερον ήλεκτρονίου ίσοδυναμεῖ μέ ήλεκτρικό

\otimes ρεύμα πού έχει συμβατική φορά ἀντίθετη μέ τή φορά τῆς ταχύτητας

\vec{v} . Σύμφωνα μέ τό νόμο τοῦ Laplace πάνω στό κινούμενο ήλεκτρόνιο ἀναπτύσσεται ήλεκτρομαγνητική δύναμη πού έχει μέτρο:

$$F = e \cdot v \cdot B \quad (1)$$



Σχ. 58. Γιά τήν έρμηνεία τοῦ φαινομένου τῆς έπαγωγῆς.

(Οι δυναμικές γραμμές τοῦ μαγνητικοῦ πεδίου είναι κάθετες στό έπιπεδο τοῦ σχήματος καὶ έχουν φορά ἀπό τό έμπρος πρός τό πίσω μέρος τοῦ σχήματος).

Αύτή η δύναμη \vec{F} κινεῖ τό ήλεκτρόνιο πρός τήν ἄκρη Δ τοῦ άγωγοῦ. Ετσι οί ήλεκτρομαγνητικές δυνάμεις, πού ἀναπτύσσονται πάνω στά έλευθερά ήλεκτρόνια τοῦ άγωγοῦ, προκαλοῦν συσσώρευση ήλεκτρονίων στήν ἄκρη Γ τοῦ άγωγοῦ. Έπομένως στίς δύο ἄκρες τοῦ άγωγοῦ ἐμφανίζονται έτερων μαγνητικά φερτία. Παρατηρούμε δτι η κίνηση τοῦ άγωγοῦ μέσα στό μαγνητικό πε-

διο προκαλεῖ τό ideo άποτέλεσμα πού θά τό είχαμε και ἀν αυτός δ ἀγωγός ήταν μέσα σέ ήλεκτρικό πεδίο πού ἔχει φορά ἀπό τήν ἄκρη Δ πρός τήν ἄκρη Γ και ή ἐντασή του E ἔχει μέτρο:

$$E = \frac{F}{e} \quad \text{ἄρα} \quad E = v \cdot B \quad (2)$$

Ἡ ἀφαίρεση δημος ἡλεκτρονίων ἀπό τήν ἄκρη Γ και ή συστάρευση ἡλεκτρονίων στήν ἄκρη Δ τοῦ ἀγωγοῦ δημιουργεῖ μέσα στόν ἀγωγό ἔνα δεύτερο ἡλεκτρικό πεδίο πού ἔχει φορά ἀπό τήν ἄκρη Γ πρός τήν ἄκρη Δ τοῦ ἀγωγοῦ. ባ ἐξαιτίας τῆς κινήσεως τοῦ ἀγωγοῦ μετακίνηση τῶν ἡλεκτρονίων πρός τήν ἄκρη Δ τοῦ ἀγωγοῦ συνεχίζεται, ὥσπου ή ἐντασή τοῦ δεύτερου ἡλεκτρικοῦ πεδίου γίνει ἵση και ἀντίθετη μέ τήν ἐντασή τοῦ πρώτου ἡλεκτρικοῦ πεδίου. Ἔτσι, δσο διαρκεῖ ή κίνηση τοῦ ἀγωγοῦ ΓΔ μέσα στό μαγνητικό πεδίο, στίς ἄκρες τοῦ ἀγωγοῦ δημιουργεῖται μιά τάση πού δνομάζεται ἐπαγωγική τάση. ባ δημιουργία τῆς ἐπαγωγικῆς τάσεως στίς ἄκρες τοῦ ἀγωγοῦ δνομάζεται ἐπαγωγή. Ὅστε :

"Οταν ἔνας εὐθύγραμμος ἀγωγός κινεῖται μέσα σέ μαγνητικό πεδίο, ὥστε νά τέμνει τίς δυναμικές γραμμές τοῦ μαγνητικοῦ πεδίου, τότε μέσα στόν ἀγωγό προκαλεῖται μετακίνηση τῶν ἐλεύθερων ἡλεκτρονίων του, ή όποια δημιουργεῖ στίς ἄκρες τοῦ ἀγωγοῦ ἐπαγωγική τάση. Αυτή διαρκεῖ, δσο διαρκεῖ και ή κίνηση τοῦ ἀγωγοῦ.

a. **"Υπολογισμός τῆς ἐπαγωγικῆς τάσεως.** Στίς ἄκρες τοῦ ἀγωγοῦ δημιουργεῖται ή ἐπαγωγική τάση $U_{\text{επαγ}}$. "Αν δ ἀγωγός ἔχει μῆκος l και τό ἡλεκτρικό πεδίο πού δημιουργεῖται μέσα στόν ἀγωγό ἔχει ἐντασή E , τότε ή ἐπαγωγική τάση πού δημιουργεῖται στίς ἄκρες τοῦ ἀγωγοῦ ΓΔ είναι ἵση μέ : $U_{\text{επαγ}} = E \cdot l$. "Ἄρα:

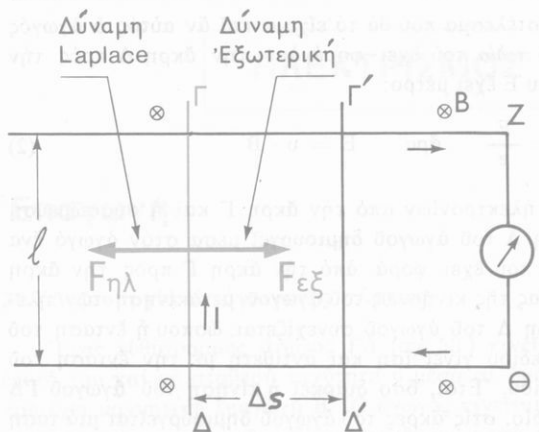
$$\boxed{\text{ἐπαγωγική τάση} \quad U_{\text{επαγ}} = v \cdot B \cdot l}$$

$$\left. \begin{array}{l} \text{υ σέ m/sec} \\ \text{B σέ T, } l \text{ σέ m} \\ \text{U σέ V} \end{array} \right\} \quad (3)$$

"Αν ή ταχύτητα v ή δ ἀγωγός ΓΔ σχηματίζει γωνία α μέ τίς δυναμικές γραμμές τοῦ μαγνητικοῦ πεδίου, τότε ή ἐξίσωση (3) γράφεται:

$$U_{\text{επαγ}} = v \cdot B \cdot l \cdot \eta \alpha$$

b. **"Ἐπαγωγικό ρεῦμα.** "Αν συνδέσουμε μέ σύρμα τίς δύο ἄκρες Γ και Δ τοῦ κινούμενου ἀγωγοῦ, τότε σχηματίζεται κλειστό κύκλωμα πού διαρρέεται ἀπό ἐπαγωγικό ρεῦμα. "Ωστε τό ἐπαγωγικό ρεῦμα είναι ἀποτέλεσμα τοῦ φαινομένου τῆς ἐπαγωγῆς.



Σχ. 59. Γιά τόν ύπολογισμό τής ηλεκτρεργερτικής δυνάμεως άπό έπαγωγή.

(Οι δυναμικές γραμμές τού μαγνητικού πεδίου είναι κάθετες στο έπιπεδο τού σχήματος και έχουν φορά άπό τό έμπρος πρός τό πίσω μέρος τού σχήματος).

νείται κάθετα στίς δυναμικές γραμμές τού δόμογενος μαγνητικού πεδίου και γλιστράει χωρίς τριβή πάνω σέ δριζόντιους παράλληλους άγωγους πού συνδέονται μέ άμπερόμετρο (σχ. 59). "Ετσι σχηματίζεται κλειστό κύκλωμα. Μέ τήν έπιδραση τής έξωτερης δυνάμεως $\vec{F}_{\text{εξ}}$ άγωγός στή διάρκεια τού χρόνου Δt μετακινείται δύναμα κατά διαστήματα Δs και τότε ή έξωτερική δύναμη παράγει έργο :

$$W = F_{\text{εξ}} \cdot \Delta s \quad (4)$$

Στή διάρκεια τού χρόνου Δt ο κινούμενος άγωγός Γ συμπεριφέρεται σάν γεννήτρια μέ έπαγωγική ηλεκτρογερτική δύναμη $E_{\text{επαγ}}$ και τό κύκλωμα διαρρέεται άπό έπαγωγικό ρεύμα έντάσεως I . Τότε πάνω στόν άγωγό Γ ένεργει ηλεκτρομαγνητική δύναμη $\vec{F}_{\eta\lambda}$ πού είναι ίση και αντίθετη μέ τήν έξωτερική δύναμη $\vec{F}_{\text{εξ}}$ και κατ' άπόλυτη τιμή έχει μέτρο :

$$F_{\eta\lambda} = B \cdot l \cdot I$$

"Επειδή είναι $F_{\text{εξ}} = F_{\eta\lambda}$, ή έξισωση (4) γράφεται:

$$W = B \cdot l \cdot I \cdot \Delta s \quad (5)$$

Στή διάρκεια τού χρόνου Δt ο άγωγός Γ διαγράφει μιά έπιφάνεια πού έχει έμβασδ $S = l \cdot \Delta s$. Επομένως τό γινόμενο $B \cdot l \cdot \Delta s = B \cdot S$

γ. Κλειστό κύκλωμα. "Όταν ού άγωγός Γ κινεῖται μέσα στό μαγνητικό πεδίο, τότε ού άγωγός Γ συμπεριφέρεται σάν γεννήτρια πού είναι σέ άνοιχτό κύκλωμα, γιατί στίς άκρες Γ και Δ τού άγωγού (πού ίσοδυναμούν μέ τούς πόλους τής γεννήτριας) άναπτύσσεται τάση ($E_{\text{επαγ}}$) ίση μέ τήν ηλεκτρογερτική δύναμη ($E_{\text{επαγ}}$) τής γεννήτριας.

"Ας θεωρήσουμε ούτι ού άγωγός Γ κι-

παριστάνει τή μεταβολή της μαγνητικής ροής $\Delta\Phi$ πού περνάει άπό τό πλαίσιο, δηλαδή είναι $\Delta\Phi = B \cdot S$

"Ωστε ή έξισωση (5) γράφεται:

$$W = \Delta\Phi \cdot I \quad (6)$$

"Επειδή δέν υπάρχει καμιά άπωλεια ένέργειας, δύο τό έργο της έξισωσης δυνάμεως \bar{F}_e μετατρέπεται σε ήλεκτρική ένέργεια, ή όποια έμφανίζεται στό κύκλωμα ώς θερμότητα. "Ωστε ή ήλεκτρική ένέργεια, πού άναπτύσσεται πάνω στό κύκλωμα, είναι:

$$W = E_{\text{επαγγ.}} \cdot I \cdot \Delta t \quad (7)$$

"Από τίς έξισώσεις (6) και (7) βρίσκουμε :

$$E_{\text{επαγγ.}} \cdot \Delta t = \Delta\Phi \quad \text{άρα} \quad |E_{\text{επαγγ.}}| = \frac{\Delta\Phi}{\Delta t} \quad (8)$$

"Αν λάβουμε υπόψη τό νόμο τοῦ Lenz, τότε ή έξισωση (8) γράφεται:

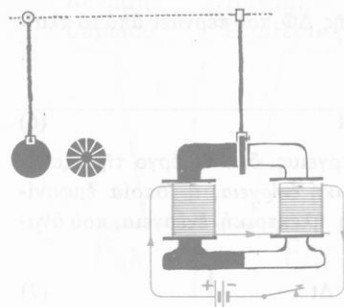
ήλεκτρεγερτική δύναμη άπό έπαγγελμα	$E_{\text{επαγγ.}} = -\frac{\Delta\Phi}{\Delta t}$
----------------------------------------	----------------------------------------------------

Φορά τον έπαγγελματικό ρεύματος. Σύμφωνα μέ τό νόμο τοῦ Lenz πρέπει στήν κίνηση τοῦ άγωγοῦ ΓΔ νά άντιδρά ή ήλεκτρομαγνητική δύναμη \bar{F}_e . "Επειδή στό θεωρούμενο κύκλωμα (σχ. 51) ο άγωγός ΓΔ μετακινεῖται πρός τά δεξιά, ή ήλεκτρομαγνητική δύναμη έχει φορά πρός τά άριστερά και έπομένως τό έπαγγελματικό ρεύμα διαρρέει τόν άγωγό ΓΔ μέ φορά άπό τό Δ πρός τό Γ.

30. Ρεύματα Foucault

Μεταξύ τῶν δύο πόλων ένός ισχυροῦ ήλεκτρομαγνήτη μπορεῖ νά αἰωρεῖται μεταλλικός δίσκος. "Οταν ο ήλεκτρομαγνήτης δέν διαρρέεται άπό ρεύμα, ο δίσκος αἰωρεῖται έλευθερα (σχ. 60). "Οταν δμως ο ήλεκτρομαγνήτης διαρρέεται άπό ρεύμα, ο δίσκος, καθώς κινεῖται, τέμνει τίς δυναμικές γραμμές τοῦ μαγνητικοῦ πεδίου πού υπάρχει μεταξύ τῶν πόλων τοῦ ήλεκτρομαγνήτη. Σ' αὐτή τήν περίπτωση παρατηρούμε δτι ή κίνηση τοῦ δίσκου καταργεῖται γρήγορα, σάν νά ένεργει πάνω του κάποιο φρένο. Ταυτόχρονα ο δίσκος θερμαίνεται.

Τό φαινόμενο αὐτό έχειγείται ώς έξης: Μέσα στή μάζα τοῦ μεταλλικοῦ δίσκου άναπτύσσονται έπαγγελματικά ρεύματα πού κυκλοφοροῦν μέσα στό μεταλλό. Αυτά τά ρεύματα, σύμφωνα μέ τό νόμο τοῦ Lenz, τείνουν νά καταργήσουν τήν κίνηση τοῦ δίσκου, ή όποια είναι τό αίτιο πού παράγει τά



Σχ. 60. Στό μεταλλικό δίσκο άναπτύσσονται ρεύματα Foucault.

νται μέσα σε μικρές περιοχές τοῦ δίσκου. "Ωστε:

"Οταν μεταλλική μάζα κινεῖται μέσα σε μαγνητικό πεδίο ή είναι άκινητη μέσα σε μεταβαλλόμενο μαγνητικό πεδίο, τότε μέσα στή μάζα τοῦ μετάλλου άναπτύσσονται ρεύματα Foucault.

a. Έφαρμογές τῶν ρευμάτων Foucault. Γενικά τά ρεύματα Foucault προκαλούν θέρμανση τῆς μάζας τοῦ μετάλλου έξαιτίας τοῦ φαινομένου Joule. Αὐτή τή θερμότητα τήν έκμεταλλεύμαστε σέ ειδικούς φούρνους (έπαγωγικοί φούρνοι), γιά νά πετύχουμε τή γρήγορη τήξη μετάλλων. Άλλα συνήθως ή θερμότητα πού άναπτύσσεται ἀπό τά ρεύματα Foucault, είναι μιά ἀπώλεια ἐνέργειας. Σέ διάφορες έφαρμογές (γεννήτριες, κινητήρες, μετασχηματιστές) έπιδιώκουμε νά περιορίσουμε τίς ἀπώλειες ἐνέργειας πού προκαλούνται ἀπό τά ρεύματα Foucault καὶ γι' αὐτό τό σκοπό οἱ πυρῆνες πού χρησιμοποιοῦμε δέν είναι συμπαγεῖς, ἀλλά ἀποτελοῦνται ἀπό φύλλα σιδήρου πού είναι μονωμένα μεταξύ τους.

Σέ μερικές περιπτώσεις έκμεταλλεύμαστε τά ρεύματα Foucault γιά τό ήλεκτρομαγνητικό φρενάρισμα μεταλλικῶν σωμάτων πού κινοῦνται (π.χ. γιά τή γρήγορη ἀπόσβεση τῶν ταλαντώσεων τοῦ κινητοῦ συστήματος σέ δργανα μετρήσεων).

31. Ένέργεια τοῦ μαγνητικοῦ πεδίου

"Ενα κλειστό κύκλωμα ἀποτελεῖται ἀπό γεννήτρια πού ἔχει ήλεκτρεγρητική δύναμη E , καὶ ἀπό πηνίο πού ἔχει συντελεστή αὐτεπαγγῆς L . "Η ολική ἀντίσταση τοῦ κυκλώματος είναι R . "Οταν κλείσουμε τό κύκλωμα, ή ἔνταση τοῦ ρεύματος λαβαίνει τήν τιμή I_0 πού καθορίζει δ νόμος τοῦ Ohm ($I_0 = E/R$), ἀφοῦ περάσει δρισμένος χρόνος Δt . Αὐτό συμβαίνει,

έπαγωγικά ρεύματα. "Ετσι τά έπαγωγικά ρεύματα πού ἀναπτύσσονται μέσα στή μάζα τοῦ δίσκου έπιβραδύνονται συνεχῶς τήν κίνησή του. Τά έπαγωγικά αὐτά ρεύματα δονομάζονται ρεύματα Foucault.

"Αν στό παραπάνω πείραμα ἀντικαταστήσουμε τό συμπαγή μεταλλικό δίσκο μέ ἄλλο δίσκο πού ἀκτινωτά ἔχει ἐντομές, παρατηροῦμε δτι ή κίνηση αὐτοῦ τοῦ δίσκου διαρκεῖ περιστέρετο χρόνο. Σ' αὐτή τήν περίπτωση τά ρεύματα Foucault περιορίζο-

γιατί στή διάρκεια τοῦ χρόνου Δt ἔνα μέρος ἀπό τήν ἐνέργεια πού παρέχει ή γεννήτρια στό κύκλωμα, μετατρέπεται σέ θερμότητα, ἐνῶ ή υπόλοιπη ἐνέργεια ἀποταμιεύεται στό μαγνητικό πεδίο τοῦ πηνίου μέ τή μορφή ἐνέργειας μαγνητικοῦ πεδίου. "Οταν ή ἔνταση τοῦ ρεύματος λάβει τή σταθερή τιμή της I_0 , τότε παύει ή ἀποταμίευση ἐνέργειας στό μαγνητικό πεδίο καὶ ή ἐνέργεια τοῦ μαγνητικοῦ πεδίου διατηρεῖται σταθερή. "Αν διακόψουμε τό ρεῦμα, ὅλη ή ἐνέργεια πού είναι ἀποταμιευμένη στό μαγνητικό πεδίο τοῦ πηνίου, μετατρέπεται σέ ηλεκτρική ἐνέργεια καὶ ἔτσι κατά τή διακοπή τοῦ ρεύματος δημιουργεῖται στό κύκλωμα τό ρεῦμα ἀπό αὐτεπαγωγή. 'Αποδεικνύεται δτι:

Η ἐνέργεια (W) πού ἀποταμιεύεται στό μαγνητικό πεδίο τοῦ πηνίου, είναι ἀνάλογη μέ τό συντελεστή αὐτεπαγωγῆς (L) τοῦ πηνίου καὶ ἀνάλογη μέ τό τετράγωνο τῆς ἐντάσεως (I_0) τοῦ ρεύματος πού διαρρέει τό πηνίο.

$$\text{ἐνέργεια μαγνητικοῦ πεδίου πηνίου} \quad W = \frac{1}{2} L \cdot I_0^2 \quad \left\{ \begin{array}{l} L \text{ σέ } H, I_0 \text{ σέ } A \\ W \text{ σέ Joule } \end{array} \right. \quad (1)$$

"Η ἑξίσωση (1) είναι ἀνάλογη μέ τήν ἑξίσωση πού δίνει τήν ἐνέργεια ή ὅποια είναι ἀποταμιευμένη στό ηλεκτρικό πεδίο πού ὑπάρχει μεταξύ τῶν δπλισμῶν ἐνός φορτισμένου πυκνωτῆ $(W = \frac{1}{2} C \cdot U^2)$. Τά φαινόμενα τῆς αὐτεπαγωγῆς είναι συνέπειες τῶν μετατροπῶν τῆς ηλεκτρικῆς ἐνέργειας σέ ἐνέργεια μαγνητικοῦ πεδίου καὶ ἀντίστροφα. Σ' αὐτές τίς μετατροπές ἐνέργειας ισχύει ή ἀρχή τῆς διατηρήσεως τῆς ἐνέργειας.

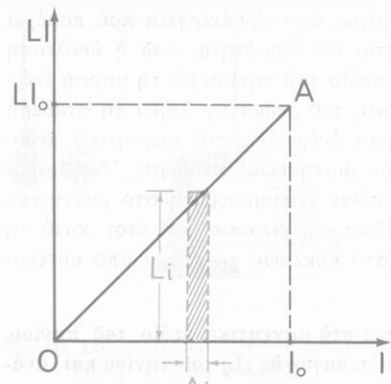
Απόδειξη. "Ας θεωρήσουμε δτι μεταξύ τῶν χρονικῶν στιγμῶν t καὶ $t + \Delta t$ τό πηνίο διαρρέεται ἀπό ρεῦμα ἐντάσεως i καὶ ή ταχύτητα μεταβολῆς τῆς ἐντάσεως τοῦ ρεύματος είναι $\Delta i / \Delta t$. Τότε ἀναπτύσσεται ΗΕΔ ἀπό αὐτεπαγωγή, ή ὅποια κατ' ἀπόλυτη τιμή είναι $E_{av} = L(\Delta i / \Delta t)$. 'Εξαιτίας τῆς αὐτεπαγωγῆς ξοδεύεται πάνω στό πηνίο ισχύς:

$$\Delta P = E_{av} \cdot i = Li \cdot \frac{\Delta i}{\Delta t} \quad \text{ἄρα} \quad \Delta P \cdot \Delta t = Li \cdot \Delta i$$

Στή διάρκεια τοῦ χρόνου Δt πάνω στό πηνίο ξοδεύεται ἐνέργεια :

$$\Delta W = \Delta P \cdot \Delta t \quad \text{ἄρα} \quad \Delta W = Li \cdot \Delta i$$

Τό μέγεθος Li είναι συνάρτηση τοῦ i . Παίρνουμε δύο δρθιογώνιους δξονες (σχ. 61). "Η μεταβολή τοῦ Li σέ συνάρτηση μέ τό i παριστάνεται μέ τήν εὐθεία ΟΑ. Θεωρούμε δτι σέ μιά στοιχειώδη αξέηση τῆς ἐντάσεως



Σχ. 61. Για τόν ύπολογισμό της ένέργειας τού μαγνητικού πεδίου.

τού ρεύματος κατά Δι, τό μέγεθος L_I διατηρεῖ σταθερή τιμή. Τότε ή ένέργεια ΔW , πού ἀντιστοιχεῖ στή μεταβολή τῆς έντασεως κατά Δι, ἀριθμητικά είναι ίση μέ τό ἐμβαδό ένός στοιχειώδους δρθογώνιου παραλληλόγραμμου (ή γραμμοσκασμένη ἐπιφάνεια). "Οταν ή ένταση τού ρεύματος αυξάνεται ἀπό 0 ὡς I_0 , ή δύλική ένέργεια W πού ἀποταμεύεται στό πηνίο ἀριθμητικά είναι ίση μέ τό ἐμβαδό ένός δρθογώνιου τριγώνου πού οί δύο κάθετες πλευρές του ἔχουν μέτρο ἀριθμητικά ίσο μέ L_I_0 καί I_0 . "Αρα ἔχουμε τήν ἔξισωση :

$$W = \frac{1}{2} L \cdot I_0^2$$

Παράδειγμα. "Ενα πηνίο ἔχει συντελεστή αὐτεπαγωγῆς $L = 0,4$ H καί διαρρέεται ἀπό ρεῦμα έντασεως $I = 20$ A. Στό μαγνητικό πεδίο αύτοῦ τού πηνίου είναι ἀποταμεύμένη ένέργεια:

$$W = \frac{1}{2} L \cdot I^2 = \frac{1}{2} \cdot 0,4 \text{ H} \cdot (20 \text{ A})^2 \quad \text{καί} \quad W = 80 \text{ Joule}$$

ΠΡΟΒΛΗΜΑΤΑ

41. "Ενα κατακόρυφο σύρμα μήκους $l = 10$ cm κινεῖται μέ ταχύτητα $v = 30$ m/sec μέσα σέ δύμογενές μαγνητικό πεδίο πού ἔχει μαγνητική ἐπαγωγή $B = 0,8$ T καί οι δυναμικές γραμμές του είναι δριζόντιες. Νά βρεθεῖ ή ἐπαγωγική τάση πού ἀναπτύσσεται στίς δύο ἄκρες τού σύρματος.

42. Μέσα σέ δύμογενές μαγνητικό πεδίο πού ή μαγνητική ἐπαγωγή του ἔχει μέτρο $B = 2,5 \cdot 10^{-2}$ T κινεῖται εὐθύγραμμος ἀγωγός AB, μήκους $l = 12$ cm, μέ ταχύτητα $v = 4$ m/sec καί ή διεύθυνση τῆς ταχύτητάς του είναι κάθετη στίς δυναμικές γραμμές. a) Πόση ΗΕΔ ἀπό ἐπαγωγή ἀναπτύσσεται στίς δύο ἄκρες τού ἀγωγού; b) Ό ἀγωγός AB ἔχει ἀντίσταση $R_1 = 0,1$ Ω καί οί δύο ἄκρες τού συνδέονται μέ ἀντίσταση $R_2 = 0,5$ Ω. Πόση είναι η ένταση τού ἐπαγωγικού ρεύματος πού διαρρέει τό κύκλωμα καί πόσο είναι τό μέτρο τῆς ηλεκτρομαγνητικῆς δυνάμεως πού ἀναπτύσσεται πάνω στόν ἀγωγό;

43. Ένας εύθυγραμμος άγωγός AB, μήκους $l = 20 \text{ cm}$, κινεῖται μέτα ταχύτητα $v = 5 \text{ m/sec}$ μέσα σε δύο μαγνητικά πεδία πού ή μαγνητική έπαγωγή του έχει μέτρο $B = 3,768 \cdot 10^{-2} \text{ T}$. Η διεύθυνση της ταχύτητας του άγωγού είναι κάθετη στις δυναμικές γραμμές. Ο άγωγός AB είναι τμήμα κυκλώματος πού έχει ολική άντισταση $R = 0,4 \Omega$. α) Πόση είναι η ένταση του ρεύματος πού διαρρέει τό κύκλωμα και πόση είναι η ηλεκτρική ένέργεια πού παράγεται στη διάρκεια του χρόνου $t = 0,5 \text{ sec}$; β) Πόσο είναι τό έργο πού ξοδεύεται στη διάρκεια του χρόνου $t = 0,5 \text{ sec}$ για την κίνηση του άγωγού AB μέσα στό μαγνητικό πεδίο;

44. Ένα σύρμα, μήκους $l = 1 \text{ m}$, κινεῖται μέτα ταχύτητα $v = 2 \text{ m/sec}$ κάθετα στις δυναμικές γραμμές μαγνητικού πεδίου πού ή μαγνητική έπαγωγή του έχει μέτρο $B = 0,5 \text{ T}$. α) Πόση έπαγωγική τάση άναπτυσσεται στις άκρες του σύρματος; β) Οι δύο άκρες του σύρματος συνδέονται μέτα κύκλωμα πού έχει ολική άντισταση $R = 6 \Omega$. Πόση ίσχυς πρέπει νά ξοδεύεται, για νά διατηρηθεί σταθερή η ταχύτητα της κινήσεως του σύρματος;

45. Ένας χάλκινος δίσκος έχει άκτινα $r = 10 \text{ cm}$ και στρέφεται γύρω από τόν άξονά του με συχνότητα $v = 20 \text{ Hz}$. Τό έπιπεδο τού δίσκου είναι κάθετο στις δυναμικές δύο μαγνητικού πεδίου πού ή μαγνητική έπαγωγή του έχει μέτρο $B = 0,6 \text{ T}$. Πόση είναι η έπαγωγική τάση πού άναπτυσσεται μεταξύ της περιφέρειας και του κέντρου του δίσκου;

46. Ένας άγωγός, μήκους $l = 1,2 \text{ m}$ κινεῖται μέτα ταχύτητα $v = 5 \text{ m/sec}$ μέσα σε δύο μαγνητικά πεδία πού ή μαγνητική έπαγωγή του έχει μέτρο $B = 0,8 \text{ T}$. Η διεύθυνση της ταχύτητας v σχηματίζει γωνία α με τις δυναμικές γραμμές του μαγνητικού πεδίου. Πόση είναι η έπαγωγική τάση πού άναπτυσσεται στις άκρες του άγωγού, δταν ή γωνία α είναι ίση με $30^\circ, 45^\circ, 60^\circ, 90^\circ$;

47. Ένα εύθυγραμμο χάλκινο σύρμα στρέφεται γύρω από άξονά της μια άκρη του σύρματος. Τό σύρμα έχει μήκος $l = 60 \text{ cm}$ και αλιωρείται μέτα την έπιδραση της βαρύτητας έχοντας πάντοτε την άλλη άκρη του βυθισμένη μέσα σε ύγρο άγωγό A. Ο άξονας Ο και ο ύγρος άγωγός A συνδέονται μέτα σύρμα και ή ολική άντισταση του κυκλώματος είναι $R = 3 \Omega$. Σε δλη τή διάρκεια της αιωρήσεως του σύρματος τό μισό κατώτερο μέρος του σύρματος κινεῖται μέσα σε δύο μαγνητικά πεδία πού ή μαγνητική έπαγωγή του έχει μέτρο $B = 0,048 \text{ T}$. Απομακρύνουμε τό σύρμα από την άρχικη κατακόρυφη θέση της ίσορροπίας του κατά γωνία $\alpha = 30^\circ$. Αυτή ή άπομάκρυνση γίνεται μέτα διμάλη κίνηση στη διάρκεια χρόνου $t = 0,1 \text{ sec}$. Νά υπολογιστεί η ένταση του ρεύματος πού διαρρέει τό κύκλωμα στη διάρκεια της μετατοπίσεως του σύρματος και τό έργο πού θά δαπανήσουμε γι' αυτή τή μετατόπιση.

48. Ένα πηνίο έχει άντισταση $R = 6 \Omega$, συντελεστή αύτεπαγωγής $L = 0,3 \text{ H}$ και στις άκρες του έφαρμόζεται τάση $U = 30 \text{ V}$. Πόση ένέργεια είναι άποταμιευμένη στό μαγνητικό πεδίο του πηνίου;

49. Ένα πηνίο έχει συντελεστή αύτεπαγωγής $L = 0,2 \text{ H}$, άντισταση $R = 5 \Omega$ και στις άκρες του έφαρμόζεται τάση $U = 25 \text{ V}$. α) Μέ ποιό ρυθμό άποταμιεύεται η ένέργεια στό μαγνητικό πεδίο του πηνίου, δταν ή ένταση του ρεύματος αύξανόμενη άπό 0 έως τήν τελική τιμή της I_0 φτάσει στήν ένδιαμεση τιμή $I = 3 \text{ A}$; β) Πόση ένέργεια είναι άποταμιευμένη στό μαγνητικό πεδίο του πηνίου, δταν ή ένταση του ρεύματος λάβει τήν τελική τιμή της I_0 ;

50. Ένα πηνίο μέ πυρήνα άπό μαλακό σίδηρο έχει άντίσταση $R = 3,2 \Omega$ και διαρρέεται από ρεύμα έντασης $I = 10 \text{ A}$. α) Πόση τάση U έφαρμόζεται στις άκρες του πηνίου και πόση είναι η ίσχυς P του ρεύματος πού διαρρέει τό πηνίο; β) Τό πηνίο αυτό έχει συντελεστή αυτεπαγωγής $L = 48 \text{ H}$. Τό ρεύμα διακόπτεται μέσα σέ χρονικό διάστημα $t = 1/20 \text{ sec}$. Πόση είναι η ίσχυς P_{av} του ρεύματος πού άναπτύσσεται από αυτεπαγωγή και πόσος είναι ο λόγος P_{av}/P ;

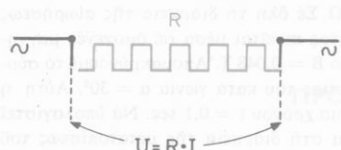
Έναλλασσόμενο ρεύμα

32. Κύκλωμα έναλλασσόμενου ρεύματος

Στήν παρακάτω στοιχειώδη μελέτη του έναλλασσόμενου ρεύματος θεωροῦμε ένα τμήμα κυκλώματος στό δύο ιδέα δέν υπάρχει διακλάδωση, γεννήτρια ή κινητήρας. Στίς άκρες αυτού του κυκλώματος έφαρμόζεται έναλλασσόμενη τάση. Ό νόμος του Ohm, πού ίσχυει στό συνεχές ρεύμα, ίσχυει και στό έναλλασσόμενο ρεύμα μέ τόν δρό δι πρέπει νά λάβουμε υπόψη τίς πολύ γρήγορες μεταβολές τής τάσεως και τής έντασεως του ρεύματος.

33. Κύκλωμα μέ καθαρή ώμική άντίσταση R

Ένα κύκλωμα άποτελείται μόνο από καθαρή ώμική άντίσταση R (σχ. 62) και στίς άκρες της έφαρμόζεται η έναλλασσόμενη τάση:



Σχ. 62. Καθαρή ώμική άντίσταση.
ση του ρεύματος είναι:

$$U = U_0 \cdot \eta \mu \omega \quad (1)$$

Στό έναλλασσόμενο ρεύμα χαμηλής συχνότητας ($\text{ως } 100 \text{ Hz}$) ή άντίσταση R συμπεριφέρεται άκριβδης, δπως και στό συνεχές ρεύμα, δηλαδή πάνω στήν άντισταση R ή ήλεκτρική ένέργεια μετατρέπεται σέ θερμότητα. Ή στιγμιαία έντα-

$$I = \frac{U}{R} \quad \text{ή} \quad I = \frac{U_0}{R} \cdot \eta \mu \omega \quad (2)$$

Άπο τήν έξισωση (2) συνάγεται δι τό πλάτος I_0 τής έντασεως του ρεύματος είναι:

$$I_0 = \frac{U_0}{R} \quad \text{άρα} \quad I = I_0 \cdot \eta \mu \omega \quad (3)$$

Οι έξισώσεις (1) και (3) φανερώνουν ότι :

Σέ κύκλωμα πού άποτελεῖται μόνο άπό καθαρή θύμική άντίσταση R , ή τάση και ή ένταση τοῦ ρεύματος έχουν πάντοτε τήν ίδια φάση (σχ. 63).

Ξέρουμε ότι είναι:

$$I_0 = I_{\text{εν}} \cdot \sqrt{2} \quad \text{καὶ} \quad U_0 = U_{\text{εν}} \cdot \sqrt{2}$$

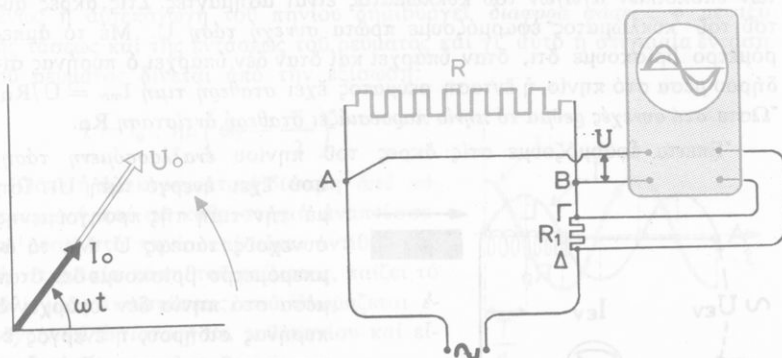
Όστε άπό τήν έξισωση $I_0 = U_0/R$ βρίσκουμε :

$$\text{νόμος τοῦ Ohm} \quad I_{\text{εν}} = \frac{U_{\text{εν}}}{R} \quad (4)$$

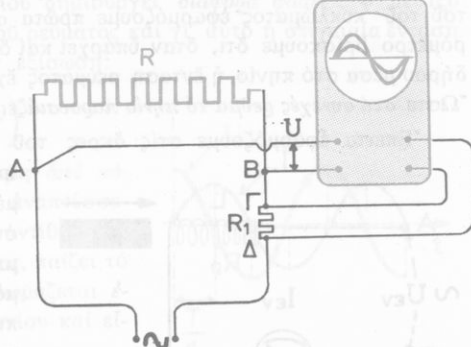
Σχ. 63. Η τάση U καὶ ή ένταση ρεύματος I έχουν πάντοτε τήν ίδια φάση.

α. Άνυσματικό διάγραμμα. Η τάση καὶ ή ένταση ρεύματος είναι δύο έναλλασσόμενα μεγέθη καὶ, δπως ξέρουμε, μποροῦμε νά τά παραστήσουμε μέ δύο στρεφόμενα άνύσματα πού τό μέτρο τους είναι άντίστοιχα U_0 καὶ I_0 (σχ. 64). Τά δύο αυτά άνύσματα θά τά λέμε δείκτες. Στό άνυσματικό διάγραμμα ό δείκτης τής τάσεως U_0 καὶ ό δείκτης τής έντάσεως ρεύματος I_0 έχουν πάντοτε τήν ίδια διεύθυνση καὶ τήν ίδια φορά καὶ στρέφονται μέ τήν ίδια γωνιακή ταχύτητα ω .

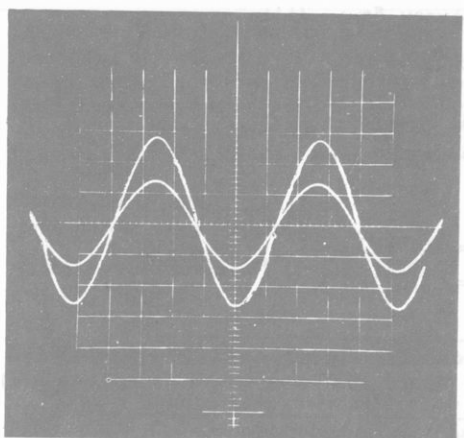
β. Πειραματική έπαλήθευση. Ένας ήλεκτρονικός παλμογράφος διπλής



Σχ. 64. Οι δείκτες τής τάσεως καὶ τής έντάσεως ρεύματος έχουν πάντοτε τήν ίδια φάση.



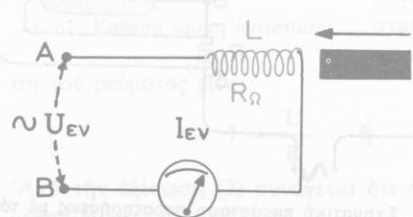
Σχ. 65. Σχηματική παράσταση παρατηρήσεως μέ τόν ήλεκτρονικό παλμογράφο.
(Η τάση καὶ ή ένταση ρεύματος έχουν τήν ίδια φάση).



Σχ. 66. Στήνη όθόνη τού παλμογράφου βλέπουμε τήν ήμιτονοειδή μεταβολή τῆς τάσεως (ή καμπύλη μέτο μικρότερο πλάτος) και τῆς ἐντάσεως ρεύματος. Οι δύο καμπύλες έχουν τήν ίδια φάση.

πού μπορεῖ νά μετρήσει τήν ἐνταση συνεχοῦς ρεύματος, και ἔνα πηνίο πού έχει ώμικη ἀντίσταση R_o και συντελεστή αὐτεπαγωγῆς L (σχ. 67). Μέσα στο πηνίο μπορεῖ νά είσαχθει πυρήνας μαλακοῦ σιδήρου. Ή ἀντίσταση και ή αὐτεπαγωγή τῶν ὑπόλοιπων ἀγωγῶν τοῦ κυκλώματος είναι ἀσήμαντες. Στίς ἄκρες αὐτοῦ τοῦ κυκλώματος ἐφωρμόζουμε πρῶτα συνεχή τάση U . Μέ τό ἀμπερόμετρο βρίσκουμε δτι, δταν ὑπάρχει και δταν δέν ὑπάρχει δ πυρήνας σιδήρου μέσα στο πηνίο, η ἐνταση ρεύματος έχει σταθερή τιμή $I_{uv} = U/R_o$. Ωστε στό συνεχές ρεῦμα τό πηνίο παρουσιάζει σταθερή ἀντίσταση R_o .

"Επειτα ἐφαρμόζουμε στίς ἄκρες τοῦ πηνίου ἐναλλασσόμενη τάση, πού έχει ἐνεργό τιμή U_{ev} ίση μέ τήν τιμή τῆς προηγούμενης συνεχοῦς τάσεως U . Μέ τό ἀμπερόμετρο βρίσκουμε δτι, δταν μέσα στο πηνίο δέν ὑπάρχει δ πυρήνας σιδήρου, η ἐνεργός ἐνταση τοῦ ρεύματος (I_{ev}) είναι μικρότερη ἀπό τήν ἐνταση τοῦ ἀντίστοιχου συνεχοῦς ρεύματος ($I_{uv} < I_{ev}$). Εισάγουμε μέσα στό



Σχ. 67. Σχηματική διάταξη γιά τήν πειραματική ἀπόδειξη τῆς ἐπαγωγικῆς ἀντίστασεως.

ἐνέργειας δείχνει ταυτόχρονα τήν ήμιτονοειδή μεταβολή τῆς τάσεως U πού ἐφαρμόζεται στίς ἄκρες μιᾶς ώμικῆς ἀντιστάσεως R και τήν ήμιτονοειδή μεταβολή τῆς ἐντάσεως ρεύματος I πού διαρρέει αὐτή τήν ἀντίσταση (σχ. 65). Παρατηροῦμε δτι οι δύο ήμιτονοειδεῖς καμπύλες έχουν τήν ίδια φάση (σχ. 66).

34. Πηνίο σέ κύκλωμα ἐναλλασσόμενου ρεύματος

a. Πειραματική ἀπόδειξη τῆς ἐπαγωγικῆς ἀντίστασεως. Σέ ἔνα κύκλωμα συνδέονται κατά σειρά ἔνα ἀμπερόμετρο ρεύματος και τήν ἐνεργό ἐνταση I_{uv} πού έχει ώμικη ἀντίσταση R_o και συντελεστή αὐτεπαγωγῆς L (σχ. 67). Μέσα στο πηνίο μπορεῖ νά είσαχθει πυρήνας μαλακοῦ σιδήρου. Ή ἀντίσταση και ή αὐτεπαγωγή τῶν ὑπόλοιπων ἀγωγῶν τοῦ κυκλώματος είναι ἀσήμαντες. Στίς ἄκρες αὐτοῦ τοῦ κυκλώματος ἐφωρμόζουμε πρῶτα συνεχή τάση U . Μέ τό ἀμπερόμετρο βρίσκουμε δτι, δταν μέσα στο πηνίο δέν ὑπάρχει δ πυρήνας σιδήρου, η ἐνεργός ἐνταση τοῦ ρεύματος (I_{ev}) είναι μικρότερη ἀπό τήν ἐνταση τοῦ ἀντίστοιχου συνεχοῦς ρεύματος ($I_{uv} < I_{ev}$). Εισάγουμε μέσα στό

πηνίο τόν πυρήνα μαλακοῦ σιδήρου. Τότε αὐξάνεται ὁ συντελεστής αὐτεπαγωγῆς τοῦ πηνίου. Βρίσκουμε ότι ή ένεργος ἔνταση τοῦ ρεύματος ἐλαττώνεται ἀκόμη περισσότερο. Τό πείραμα αὐτό δείχνει ότι στό έναλλασσόμενο ρεῦμα τό πηνίο παρουσιάζει, ἐκτός ἀπό τήν ωμική ἀντίσταση R_Ω , καὶ μιά ἀκόμη ἀντίσταση πού δοθεῖται στήν αὐτεπαγωγή τοῦ πηνίου καὶ δομάζεται ἐπαγωγική ἀντίσταση R_L τοῦ πηνίου.

β. Αλτία τῆς ἐπαγωγικῆς ἀντίστασεως R_L . Θεωροῦμε ἕνα ίδανικό πηνίο πού ἔχει συντελεστή αὐτεπαγωγῆς L καὶ ωμική ἀντίσταση ἵση μέ μηδέν ($R_\Omega = 0$). Στίς ἄκρες τοῦ πηνίου ἐφαρμόζεται ἡ στιγμαία τάση :

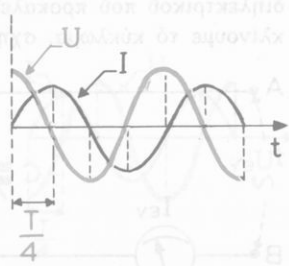
$$U = U_0 \cdot \eta \mu \omega t$$

Τό πηνίο διαρρέται ἀπό ρεῦμα πού ἡ ἔντασή του μεταβάλλεται ἡμιτονοειδῶς μέ συχνότητα v , ἵση μέ τή συχνότητα τῆς τάσεως. Ἀλλά οἱ γρήγορες μεταβολές τῆς ἔντασεως τοῦ ρεύματος δημιουργοῦν συνεχῶς μέσα στό πηνίο ἥλεκτρεγερτική δύναμη ἀπό αὐτεπαγωγή. Αὐτή, σύμφωνά μέ τό νόμο τοῦ Lenz, ἔχει φορά ἀντίθετη μέ τή φορά τῆς στιγμαίας τάσεως τοῦ ρεύματος. "Οταν λοιπόν ἡ τάση U λαβαίνει τήν τιμή μηδέν ($U = 0$), ἡ ἔνταση τοῦ ρεύματος δέν λαβαίνει τήν τιμή μηδέν ($I = 0$) ταυτόχρονα μέ τήν τάση, ἀλλά τείνοντας νά διατηρήσει τήν τιμή της σταθερή, ἀντλεῖ τήν ἀπαιτούμενη ἐνέργεια ἀπό τήν ἐνέργεια τοῦ μαγνητικοῦ πεδίου τοῦ πηνίου. "Ετσι ἡ ἔνταση τοῦ ρεύματος δέν μηδενίζεται τή στιγμή πού μηδενίζεται ἡ τάση, ἀλλά ἀφοῦ περάσει χρόνος ἵσος μέ ἓνα τέταρτο τῆς περιόδου ($T/4$). "Αρα ἡ φάση τῆς ἔντασεως τοῦ ρεύματος καθυστερεῖ κατά ἓνα τέταρτο τῆς περιόδου σχετικά μέ τή φάση τῆς τάσεως (σχ. 68). "Επομένως ἡ αὐτεπαγωγή τοῦ πηνίου δημιουργεῖ διαφορά φάσεως φ μεταξύ τῆς τάσεως καὶ τῆς ἔντασεως τοῦ ρεύματος καὶ γ' αὐτό ἡ στιγμαία ἔνταση τοῦ ρεύματος δίνεται ἀπό τήν ἔξισωση:

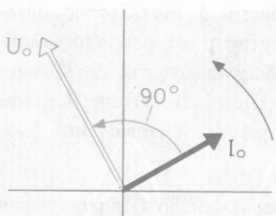
$$I = I_0 \cdot \eta \mu \left(\omega t - \frac{\pi}{2} \right)$$

"Ωστε ἡ ἥλεκτρεγερτική δύναμη ἀπό αὐτεπαγωγή, πού σέ κάθε στιγμή ἀναπτύνεται μέσα στό πηνίο καὶ εἰναι ἀντίθετη μέ τή στιγμαία τάση τοῦ ρεύματος, παίζει τό ρόλο μιᾶς ἀντιστάσεως, πού δομάζεται ἐπαγωγική ἀντίσταση R_L τοῦ πηνίου καὶ εἰναι ἵση μέ:

$$\text{ἐπαγωγική ἀντίσταση } R_L = L\omega \quad (1)$$



Σχ. 68. Ἡ φάση τῆς ἔντασεως ρεύματος (I) καθυστερεῖ σχετικά μέ τή φάση τῆς τάσεως (U) κατά $T/4$.



Σχ. 69. Ο δείκτης της έντασης ρεύματος καθυστερεῖ σχετικά μέτριο το δείκτη της τάσεως κατά γωνία $\phi = 90^\circ$.

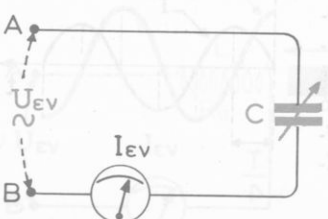
Από την έξισωση (1) συνάγεται διάτηση (RL) είναι άναλογη μέτριο το συντελεστή αύτεπαγωγής (L) του πηνίου και τή συχνότητα (v) του ρεύματος.

Άνυσματικό διάγραμμα. Για τό παραπάνω ίδιανικό πηνίο ($R_0 = 0$) στό άνυσματικό διάγραμμα δείκτης της τάσεως U_0 προηγείται διάτηση δείκτη της έντασεως ρεύματος I_0 κατά γωνία $\phi = \pi/2$ (σχ. 69). Οι δύο δημοσιεύσεις στρέφονται μέτριο την ίδια γωνιακή ταχύτητα ω. Από τά παραπάνω καταλήγουμε στό άκολουθο συμπέρασμα.

Στό κύκλωμα έναλλασσόμενου ρεύματος ή αύτεπαγωγή (L) τού ίδιανικού πηνίου δημιουργεί τήν έπαγωγική άντισταση $RL = L\omega$ και καθυστέρηση της φάσεως της έντασεως ρεύματος κατά $\phi = \pi/2$ σχετικά μέτριο τή φάση της τάσεως.

35. Πυκνωτής σέ κύκλωμα έναλλασσόμενου ρεύματος

a. Ο πυκνωτής στό συνεχές και στό έναλλασσόμενο ρεύμα. Σέ ένα κύκλωμα συνδέονται κατά σειρά άμπερόμετρο πού μπορεί νά μετρήσει τήν ένταση συνεχούς και τήν ένεργο ένταση έναλλασσόμενου ρεύματος, και πυκνωτής πού έχει χωρητικότητα C (σχ. 70). Η χωρητικότητα του πυκνωτή μπορεί νά μεταβάλλεται. Η άντισταση και η αύτεπαγωγή τών υπόλοιπων άγωγών του κυκλώματος είναι άσήμαντες. Στίς άκρες του κυκλώματος έφαρμόζουμε πρότα συνεχή τάση U. Τό κύκλωμα δέν διαρρέεται από ρεύμα, γιατί μεταξύ τών δύο δηλισμών του πυκνωτή ύπάρχει τό στρώμα του διηλεκτρικού πού προκαλεί διακοπή του ρεύματος. Μόνο τή στιγμή πού κλίνουμε τό κύκλωμα, σχηματίζεται στιγμιαίο ρεύμα, πού διαρκεί έλαχιστο χρόνο, ώσπου νά φορτιστούν οι δηλισμοί του πυκνωτή.



Σχ. 70. Κύκλωμα μέτριο καθαρή χωρητικότητα.

Επειτα έφαρμόζουμε στίς άκρες του κυκλώματος έναλλασσόμενη τάση πού έχει ένεργο τιμή $U_{εν}$. Ιση μέτριο της προηγούμενης συνεχούς τάσεως U. Τό κύκλωμα διαρρέεται από ρεύμα πού έχει δηλισμένη ένεργο ένταση $I_{εν}$. Άρα στό κύκλωμα του έναλλασσόμενου ρεύματος δημοσιεύσεις πυκνωτής δέν προκαλεί διακοπή του

ρεύματος. Αὐτή ή συμπεριφορά τοῦ πυκνωτῆ ἐρμηνεύεται ως ἔξης: Στούς δύο δπλισμούς τοῦ πυκνωτῆ ἐφαρμόζεται μιά ήμιτονοειδῶς μεταβαλλόμενη τάση, ή ὅποια προκαλεῖ διαδοχικές φορτίσεις καὶ ἐκφορτίσεις τοῦ πυκνωτῆ. Μέσα σὲ μιά περίοδο κάθε δπλισμού τοῦ πυκνωτῆ ἀποκτᾶ διαδοχικά θετικό φορτίο (ἔλλειψη ἡλεκτρονίων) καὶ ἀρνητικό φορτίο (πλεόνασμα ἡλεκτρονίων). Ἐπομένως μέσα στούς ἀγωγούς τοῦ κυκλώματος τά ἡλεκτρόνια ἐκτελοῦν ταλαντώσεις μέ κέντρο τή μέση θέση ἰσορροπίας τους. Τό κύκλωμα διαρρέεται ἀπό ἐναλλασσόμενο ρεῦμα, ἀλλά μεταξύ τῶν δύο δπλισμῶν τοῦ πυκνωτῆ δέ συμβαίνει καμιά μετακίνηση ἡλεκτρικῶν φορτίων. Σ' αὐτό τό χῶρο σχηματίζεται ἔνα ήμιτονοειδῶς μεταβαλλόμενο ἡλεκτρικό πεδίο μέ ἔνταση $E = E_0 \cdot \eta \mu \omega t$.

β. Χωρητική ἀντίσταση. Στίς ἄκρες τοῦ κυκλώματος ἐφαρμόζεται ἐνεργός τάση U_{ev} καὶ δι πυκνωτής ἔχει μεταβλητή χωρητικότητα (σχ. 70). Παρατηροῦμε δτι, δταν αὐξάνεται η χωρητικότητα C τοῦ πυκνωτῆ, ταυτόχρονα αὐξάνεται η ἐνεργός ἔνταση I_{ev} τοῦ ρεύματος. Ἀρα στό ἐναλλασσόμενο ρεῦμα δι πυκνωτής συμπεριφέρεται σάν ἀγωγός μέ δρισμένη ἀντίσταση, πού δονομάζεται χωρητική ἀντίσταση R_C τοῦ πυκνωτῆ καὶ είναι ἵση μέ:

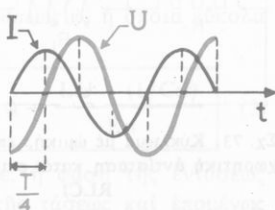
$$\text{χωρητική ἀντίσταση} \quad R_C = \frac{1}{C_{\omega}} \quad (1)$$

*Από τήν ἔξισωση (1) συνάγεται δτι η χωρητική ἀντίσταση (R_C) είναι ἀντιστρόφως ἀνάλογη μέ τή χωρητικότητα (C) τοῦ πυκνωτῆ καὶ τή συχνότητα (v) τοῦ ρεύματος.

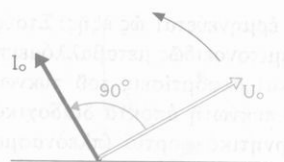
γ. Ἐπίδραση τής χωρητικότητας στή φάση τής ἐντάσεως ρεύματος. Στίς ἄκρες τοῦ κυκλώματος (σχ. 62) ἐφαρμόζεται η ήμιτονοειδής τάση

$$U = U_0 \cdot \eta \mu \omega t$$

Συνδέουμε τό κύκλωμα μέ ἡλεκτρονικό παλμογράφο διπλής ἐνέργειας. Παρατηροῦμε δτι στήν ἐφαρμοζόμενη ήμιτονοειδή τάση ἀντιστοιχεῖ ήμιτονοειδής ἔνταση ρεύματος τής ίδιας συχνότητας (σχ. 71). Ὁποιαδήποτε καὶ διν είναι η τιμή τής χωρητικότητας C τοῦ πυκνωτῆ η φάση τής ἐντάσεως ρεύματος I προηγεῖται ἀπό τή φάση τής τάσεως U κατά ἔνα τέταρτο τής περιόδου ($T/4$). Ὡστε η στιγματικά ἔνταση τοῦ



Σχ. 71. Η φάση τής ἐντάσεως ρεύματος (I) προηγεῖται ἀπό τή φάση τής τάσεως (U) κατά $T/4$.



Σχ. 72. Ο δείκτης της έντασεως ρεύματος προηγείται άπο τό δείκτη της τάσεως κατά γωνία $\phi = 90^\circ$.

ρεύματος δίνεται άπο τήν έξισωση:

$$I = I_0 \cdot \eta \mu \left(\omega t + \frac{\pi}{2} \right)$$

Ανυσματικό διάγραμμα. Στό άνυσματικό διάγραμμα ό δείκτης τής έντασεως ρεύματος I_0 προηγείται άπο τό δείκτη της τάσεως U_0 κατά γωνία $\phi = \pi/2$ (σχ. 72).

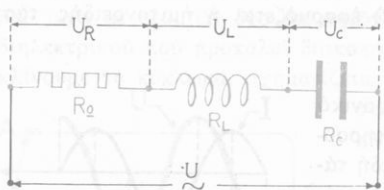
Από τά παραπάνω καταλήγουμε στό άκολουθο συμπέρασμα :

Στό κύκλωμα έναλλασσόμενου ρεύματος ή χωρητικότητα (C) τού πυκνωτή δημιουργεῖ τή χωρητική άντισταση $R_C = 1/C\omega$ και προχωρηση της φάσεως της έντασεως ρεύματος κατά $\phi = \pi/2$ σχετικά μέ τή φάση της τάσεως.

36. Νόμος τοῦ Ohm γιά κύκλωμα έναλλασσόμενου ρεύματος

Θά ξετάσουμε τή γενική περίπτωση ένός κυκλώματος στό δόποιο συνδέονται κατά σειρά καθαρή ώμική άντισταση R_Ω , πυκνωτής πού έχει συντελεστή αύτεπαγωγής L και άσημαντη ώμική άντισταση (σχ. 73). Τό κύκλωμα αυτό λέγεται γιά συντομία και κύκλωμα RLC. Στίς άκρες τού κυκλώματος έφαρμόζεται έναλλασσόμενη τάση πού ή στιγμιαία τιμή της δίνεται άπο τήν έξισωση:

στιγμιαία τάση	$U = U_0 \cdot \eta \mu \omega t$
----------------	-----------------------------------



Σχ. 73. Κύκλωμα μέ ώμική, έπαγωγική και χωρητική άντισταση κατά σειρά (κύκλωμα RLC)

a. Οι τρεῖς συνιστῶσες τάσεις U_R , U_L , U_C . Σέ κάθε στιγμή πάνω σέ καθεμιά άντισταση, δηλαδή τήν ώμική άντισταση R_Ω , τήν έπαγωγική άντισταση R_L και τή χωρητική άντισταση R_C , έφαρμόζεται μιά τάση, ή δοπία λαβαίνει τή μέγιστη τιμή της, δταν ή ένταση τού ρεύματος λαβαίνει άντιστοιχα πάνω σέ κάθε άντισταση τή μέγιστη τιμή I_0 . Ετσι πάνω στίς τρεῖς άντιστάσεις έφαρμόζονται άντιστοιχα οι τρεῖς συνιστῶσες τάσεις :

ή ώμική συνιστώσα τάση

$$U_R = I_0 \cdot R_\Omega$$

$$\begin{aligned} \text{η έπαγωγική συνιστώσα τάση} & \quad U_L = I_0 \cdot R_L \quad \text{ή} \quad U_L = I_0 \cdot L\omega \\ \text{η χωρητική συνιστώσα τάση} & \quad U_C = I_0 \cdot R_C \quad \text{ή} \quad U_C = \frac{I_0}{C\omega} \end{aligned}$$

β. Τό πλάτος τής τάσεως U_0 . Πάνω στήν ώμική άντίσταση R_Ω ή τάση και ή ένταση του ρεύματος έχουν πάντοτε τήρη ίδια φάση (σχ. 74). Πάνω στό πηνίο ή φάση τής έντασεως του ρεύματος καθυστερεῖ σχετικά μέ τή φάση τής τάσεως κατά γωνία $\pi/2$. Τέλος πάνω στόν πυκνωτή ή φάση τής έντασεως του ρεύματος προηγεῖται σχετικά μέ τή φάση τής τάσεως κατά γωνία $\pi/2$. Επομένως οι δείκτες τής έπαγωγικής συνιστώσας U_L και τής χωρητικής συνιστώσας U_C είναι κάθετοι στό δείκτη τής ώμικής συνιστώσας U_R , έχουν ίδια φάση και έχουν ίδια γωνιακή ταχύτητα ω . Η συνισταμένη τῶν τριῶν τάσεων U_R , U_L και U_C είναι τό πλάτος τής τάσεως U_0 , ή δοπία έφαρμόζεται στίς ακρες τού κυκλώματος πού έχουμε. Από τό σχήμα βρίσκουμε ότι τό πλάτος τής τάσεως U_0 έχει μέτρο:

πλάτος τής τάσεως

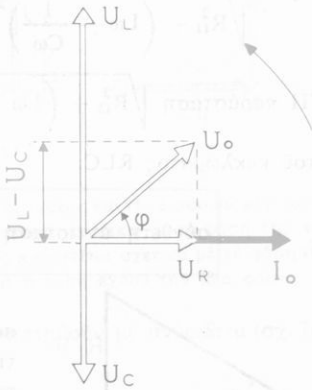
$$U_0 = \sqrt{U_R^2 + (U_L - U_C)^2} \quad \text{ή} \quad U_0 = I_0 \sqrt{R_\Omega^2 + \left(L\omega - \frac{1}{C\omega} \right)^2} \quad (1)$$

γ. Διαφορά φάσεως ϕ . Από τό σχήμα φαίνεται ότι μεταξύ τής έντασεως του ρεύματος και τής τάσεως ύπάρχει διαφορά φάσεως ϕ , ή δοπία εύκολα βρίσκουμε ότι προσδιορίζεται άπό τήν έξισωση:

$$\text{διαφορά φάσεως εφ } \phi = \frac{U_L - U_C}{U_R} \quad \text{ή} \quad \text{εφ } \phi = \frac{L\omega - (1/C\omega)}{R_\Omega} \quad (2)$$

Παρατηροῦμε ότι στό κύκλωμα πού πήραμε, ή φάση τής έντασεως του ρεύματος καθυστερεῖ σχετικά μέ τή φάση τής τάσεως και έπομένως ή στιγμιαία ένταση του ρεύματος δίνεται άπό τήν έξισωση:

στιγμιαία ένταση ρεύματος $I = I_0 \cdot \eta \mu (\omega t - \phi)$



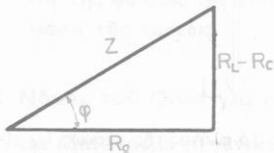
Σχ. 74. Τό πλάτος τής τάσεως U_0 είναι ή συνισταμένη τῶν τριῶν τάσεων U_R , U_L και U_C .

δ. Σύνθετη άντίσταση τοῦ κυκλώματος. Από τήν έξισωση (1) βρίσκουμε:

$$I_0 = \frac{U_0}{\sqrt{R_\Omega^2 + \left(L\omega - \frac{1}{C\omega}\right)^2}} \quad \text{καὶ} \quad I_{ev} = \frac{U_{ev}}{\sqrt{R_\Omega^2 + \left(L\omega - \frac{1}{C\omega}\right)^2}} \quad (3)$$

Η παράσταση $\sqrt{R_\Omega^2 + \left(L\omega - \frac{1}{C\omega}\right)^2}$ δονομάζεται σύνθετη άντίσταση Z τοῦ κυκλώματος RLC.

$$\text{σύνθετη άντίσταση} \quad Z = \sqrt{R_\Omega^2 + \left(L\omega - \frac{1}{C\omega}\right)^2} \quad (4)$$



Σχ. 75. Γραφική παράσταση τῆς σύνθετης άντιστάσεως Z .
τρίγωνο αὐτό είναι:

$$\text{εφ } \varphi = \frac{R_L - R_C}{R_\Omega} \quad \text{η} \quad \text{εφ } \varphi = \frac{L\omega - (1/C\omega)}{R_\Omega}$$

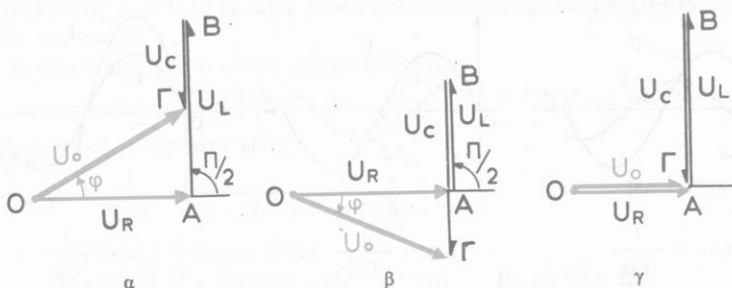
Παρατηροῦμε ότι ή διαφορά φάσεως φ προσδιορίζεται καὶ ἀπό τήν έξισωση:

$$\text{διαφορά φάσεως} \quad \text{συν } \varphi = \frac{R_\Omega}{Z}$$

ε. Νόμος τοῦ Ohm γιά κύκλωμα ἐναλλασσόμενου ρεύματος. Από τήν έξισωση (3) συνάγεται ότι γιά κύκλωμα RLC ισχύει ὁ ἀκόλουθος νόμος τοῦ Ohm :

$$\text{νόμος τοῦ Ohm} \quad I_{ev} = \frac{U_{ev}}{Z} \quad \text{η} \quad I_{ev} = \frac{U_{ev}}{\sqrt{R_\Omega^2 + \left(L\omega - \frac{1}{C\omega}\right)^2}} \quad (5)$$

στ. Διερεύνηση τῆς έξισώσεως εφ $\varphi = \frac{L\omega - (1/C\omega)}{R_\Omega}$. Οἱ τέσσερις



Σχ. 76. Ανυπολογισμός των πλάτους U_0 της τάσεως και της διαφοράς φάσεως φ. α. $\varphi > 0$, ή φάση της έντασεως του ρεύματος καθυστερεί σχετικά μέ τη φάση της τάσεως. β. $\varphi < 0$, ή φάση της έντασεως του ρεύματος προηγεῖται σχετικά μέ τη φάση της τάσεως. γ. $\varphi = 0$, ή ένταση του ρεύματος και ή τάση έχουν τήν ίδια φάση.

τάσεις U_R , U_L , U_C και U_0 μπορούν νά παρασταθούν μέ άνυσμα (σχ. 76) πού το καθένα έχει μέτρο:

ή ώμική συνιστώσα U_R

$$OA = R\omega \cdot I_0$$

ή έπαγωγική συνιστώσα U_L

$$AB = RL \cdot I_0 \quad \text{ή} \quad AB = L I_0 \omega$$

ή χωρητική συνιστώσα U_C

$$BG = RC \cdot I_0 \quad \text{ή} \quad BG = \frac{I_0}{C\omega}$$

ή συνισταμένη τάση U_0

$$OG = U_0$$

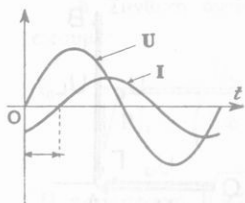
Η διαφορά φάσεως μεταξύ της έντασεως του ρεύματος και της τάσεως προσδιορίζεται άπό τήν δέξισωση:

$$\text{εφ } \varphi = \frac{L\omega - (1/C\omega)}{R\omega}$$

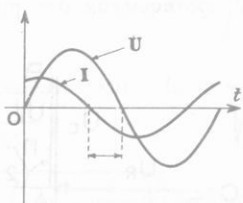
Από τήν παραπάνω δέξισωση συνάγεται ότι είναι δυνατές οι έξις τρεις περιπτώσεις:

1. "Αν είναι $L\omega > \frac{1}{C\omega}$, τότε έπικρατέστερο είναι τό άποτέλεσμα της έπαγωγικής άντιστάσεως (RL) και ή γωνία φ είναι θετική (σχ. 76α). Ή φάση της έντασεως του ρεύματος καθυστερεῖ σχετικά μέ τη φάση της τάσεως.

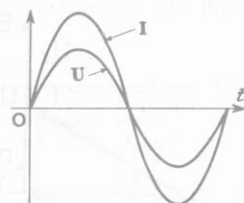
2. "Αν είναι $L\omega < \frac{1}{C\omega}$, τότε έπικρατέστερο είναι τό άποτέλεσμα της χωρητικής άντιστάσεως (RC) και ή γωνία φ είναι άρρητική (σχ. 76β). Ή φάση της έντασεως του ρεύματος προηγεῖται σχετικά μέ τη φάση της τάσεως.



$$L\omega > \frac{1}{C\omega}$$



$$L\omega < \frac{1}{C\omega}$$



$$L\omega = \frac{1}{C\omega}$$

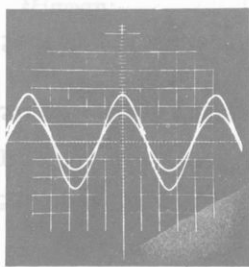
Σχ. 77. Γραφική παράσταση για τίς καμπύλες πού παρατηρούμε στήν δθόνη τού παλμογράφου.

3. Αν είναι $L\omega = \frac{1}{C\omega}$, τά άποτελέσματα τής έπαγωγικής και τής χωρητικής άντιστασεώς άλληλοαναιρούνται και ή γωνία φ είναι ίση μέ μηδέν (σχ. 76γ). Ή ένταση τού ρεύματος και ή τάση έχουν τήν ίδια φάση.

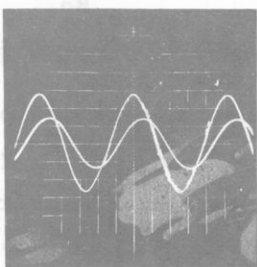
Στό σχήμα 69 δείχνονται σχηματικά οι παρατηρούμενες στόν ηλεκτρονικό παλμογράφο καμπύλες τής τάσεως και τής έντασεως τού ρεύματος στίς παραπάνω τρεῖς περιπτώσεις.

Στό σχήμα 78 φαίνονται οί καμπύλες πού βλέπουμε στήν δθόνη τού παλμογράφου.

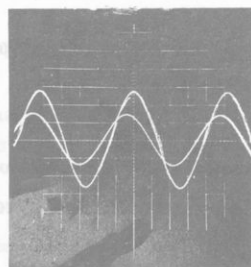
Παράδειγμα. Σέ κύκλωμα έναλλασσόμενο ρεύματος, συχνότητας $v = 50 \text{ Hz}$, συνδέονται κατά σειρά πυκνωτής πού έχει χωρητικότητα $C = 4 \mu\text{F}$ και πηνίο πού έχει ώμική άντισταση $R_o = 500 \Omega$ και συντελεστή



$$L\omega > \frac{1}{C\omega}$$



$$L\omega < \frac{1}{C\omega}$$



$$L\omega = \frac{1}{C\omega}$$

Σχ. 78. Καμπύλες τής τάσεως και τής έντασεως ρεύματος παρατηρούμενες στήν δθόνη τού παλμογράφου.

αύτεπαγωγής $L = 0,25 \text{ H}$. Στίς ακρες του κυκλώματος έφαρμόζεται ένεργος τάση $U_{\text{ev}} = 120 \text{ V}$.

* Η κυκλική συχνότητα ω του ρεύματος είναι

$$\omega = 2\pi\nu = 2\pi \text{ rad} \cdot 50 \text{ sec}^{-1} \quad \text{και} \quad \omega = 314 \text{ rad} \cdot \text{sec}^{-1}$$

* Η χωρητική άντισταση είναι

$$R_C = \frac{1}{C\omega} = \frac{1}{4 \cdot 10^{-6} F \cdot 314 \text{ rad} \cdot \text{sec}^{-1}} \quad \text{και} \quad R_C = 796 \Omega$$

* Η έπαγωγική άντισταση είναι

$$R_L = L\omega = 0,25 \text{ H} \cdot 314 \text{ rad} \cdot \text{sec}^{-1} \quad \text{και} \quad R_L = 78,5 \Omega$$

* Η σύνθετη άντισταση Z του κυκλώματος είναι

$$Z = \sqrt{R_\Omega^2 + \left(L\omega - \frac{1}{C\omega} \right)^2} = \sqrt{500^2 \Omega^2 + (78,5 - 796)^2 \Omega^2}$$

$$\text{και} \quad Z = 875 \Omega$$

* Η ένεργος ένταση I_{ev} του ρεύματος είναι:

$$I_{\text{ev}} = \frac{U_{\text{ev}}}{Z} = \frac{120 \text{ V}}{875 \Omega} \quad \text{και} \quad I_{\text{ev}} \approx 0,137 \text{ A}$$

* Η διαφορά φάσεως ϕ είναι

$$\text{συν } \phi = \frac{R_\Omega}{Z} = \frac{500 \Omega}{875 \Omega} = 0,57 \quad \text{ἄρα } \phi = 55^\circ 15'$$

* Επειδή είναι $L\omega < \frac{1}{C\omega}$ ή φάση τής έντασεως του ρεύματος προηγεῖται σχετικά μέ τή φάση τής τάσεως (άρα $\phi < 0$).

Στίς ακρες τής χωρητικής άντιστασεως R_C έφαρμόζεται ένεργος τάση

$$U_{\text{πυκνωτή}} = R_C \cdot I_{\text{ev}} = 796 \Omega \cdot 0,137 \text{ A} \quad \text{και} \quad U_{\text{πυκνωτή}} \approx 109 \text{ V}$$

* Η τάση πού έφαρμόζεται στίς ακρες του πηνίου είναι συνισταμένη τῶν δύο ένεργων τάσεων $R_\Omega \cdot I_{\text{ev}}$ και $R_L \cdot I_{\text{ev}}$.

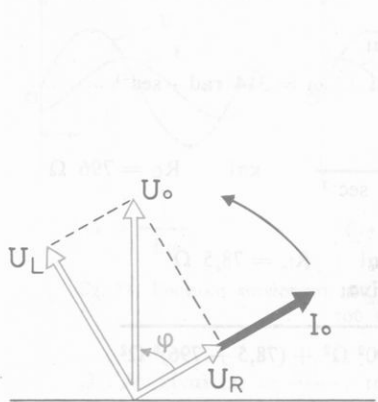
* Αρα στίς ακρες του πηνίου έφαρμόζεται ένεργος τάση

$$U_{\text{πηνίου}} = \sqrt{(R_\Omega I_{\text{ev}})^2 + (R_L I_{\text{ev}})^2} = I_{\text{ev}} \sqrt{R_\Omega^2 + R_L^2}$$

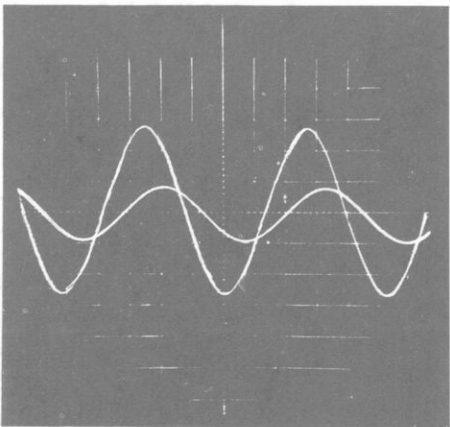
$$\text{ή} \quad U_{\text{πηνίου}} = 0,137 \text{ A} \cdot \sqrt{(500^2 + 78,5^2) \Omega^2} \quad \text{και} \quad U_{\text{πηνίου}} \approx 69 \text{ V}$$

η. Μερικές περιπτώσεις κυκλωμάτων έναλλασσόμενου ρεύματος.

1. Κύκλωμα μέ διμική άντισταση R_Ω και αύτεπαγωγή L κατά σειρά. Σ' αυτή τήν περίπτωση είναι $C = 0$ και έπομένως άπό τίς παραπάνω γενικές έξισώσεις βρίσκουμε:



Σχ. 79. Στό κύκλωμα RL ή φάση τής έντασεως ρεύματος καθυστερεῖ σχετικά μέτρια φάση τής τάσεως κατά γωνία φ .



Σχ. 80. Παρατήρηση μέτρια φάση τής έντασεως ρεύματος καθυστερεῖ σχετικά μέτρια φάση τής τάσεως.

$$\text{διαφορά φάσεως} \quad \text{εφ } \varphi = \frac{L\omega}{R_\Omega}$$

$$\text{σύνθετη άντισταση} \quad Z = \sqrt{R_\Omega^2 + (L\omega)^2}$$

$$\text{ένεργος ένταση τοῦ ρεύματος} \quad I_{ev} = \frac{U_{ev}}{Z} = \frac{U_{ev}}{\sqrt{R_\Omega^2 + (L\omega)^2}}$$

Η φάση τής έντασεως τοῦ ρεύματος καθυστερεῖ σχετικά μέτρια τή φάση τής τάσεως κατά γωνία φ (σχ. 79) και έπομένως ή στιγμαία τάση και ή στιγμαία ένταση τοῦ ρεύματος δίνονται άπό τίς έξισώσεις:

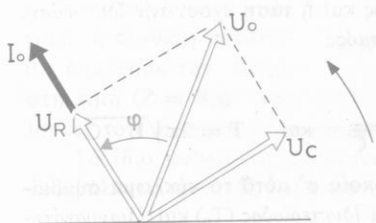
$$U = U_0 \cdot \eta \omega t \quad \text{καὶ} \quad I = I_0 \cdot \eta \mu (\omega t - \varphi)$$

Στό σχήμα 80 φαίνονται οι καμπύλες που παρατηροῦμε στήν δθόνη τοῦ παλμογράφου γιά κύκλωμα RL .

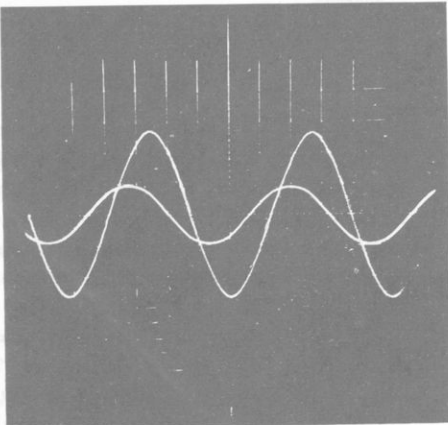
2. Κύκλωμα μέτρια φάση άντισταση R_Ω καὶ χωρητικότητα C κατά σειρά.
Σ' αυτή τήν περίπτωση είναι $L = 0$ καὶ έπομένως άπό τίς γενικές έξισώσεις βρίσκουμε:

$$\text{διαφορά φάσεως} \quad \text{εφ } \varphi = \frac{1/C\omega}{R_\Omega} = \frac{1}{R_\Omega \cdot C\omega}$$

$$\text{σύνθετη άντισταση} \quad Z = \sqrt{R_\Omega^2 + (1/C\omega)^2}$$



Σχ. 81. Στό κύκλωμα RC ή φάση τής έντασεως ρεύματος προηγείται άπό τήν φάση τής τάσεως κατά γωνία ϕ .



Σχ. 82. Παρατήρηση μέ τόν παλμογράφο σέ κύκλωμα RC. Ή φάση τής έντασεως ρεύματος προηγείται άπό τή φάση τής τάσεως.

ένεργος ένταση τοῦ ρεύματος

$$I_{\text{ev}} = \frac{U_{\text{ev}}}{Z} = \frac{U_{\text{ev}}}{\sqrt{R_{\Omega}^2 + (1/C\omega)^2}}$$

Η φάση τής έντασεως τοῦ ρεύματος προηγείται σχετικά μέ τή φάση τής τάσεως κατά γωνία ϕ (σχ. 81) και ἐπομένως ή στιγμιαία τάση και ή στιγμιαία ένταση τοῦ ρεύματος δίνονται άπό τίς έξισώσεις:

$$U = U_0 \cdot \eta \mu \omega t \quad \text{καὶ} \quad I = I_0 \cdot \eta \mu (\omega t + \phi)$$

Στό σχῆμα 82 φαίνονται οἱ καμπύλες πού παρατηροῦμε στήν δθόνη τοῦ παλμογράφου γιά κύκλωμα RC.

37. Συντονισμός

Σέ ἔνα κύκλωμα συνδέονται κατά σειρά ώμική άντισταση R_{Ω} , αὐτεπαγγή L καὶ χωρητικότητα C (κύκλωμα RLC). Ή σύνθετη άντισταση τοῦ κυκλώματος είναι:

$$Z = \sqrt{R_{\Omega}^2 + \left(L\omega - \frac{1}{C\omega} \right)^2} \quad (1)$$

Η έξισωση (1) δείχνει δτι ή σύνθετη άντισταση Z τοῦ κυκλώματος είναι πάντοτε μεγαλύτερη άπό τήν ώμική άντισταση R_{Ω} . Η σύνθετη άντισταση

λαβαίνει τή μικρότερη τιμή της $Z = R_\Omega$, δταν είναι:

$$L\omega - \frac{1}{C\omega} = 0 \quad \text{άρα} \quad L\omega = \frac{1}{C\omega} \quad (2)$$

Σ' αυτή τήν περίπτωση ή ένεργος ένταση τού ρεύματος λαβαίνει τή μέγιστη τιμή της $I_{ev} = U_{ev}/R_\Omega$ και ή διαφορά φάσεως φ μεταξύ τής έντάσεως τού ρεύματος και τής τάσεως είναι ίση μέ μηδέν ($\phi = 0$, γιατί είναι εφ φ = 0), δηλαδή ή ένταση τού ρεύματος και ή τάση έχουν τήν ίδια φάση. Αύτό τό φαινόμενο δονομάζεται συντονισμός.

Από τήν έξισωση (2) βρίσκουμε:

$$\omega = \frac{1}{\sqrt{L \cdot C}} \quad \text{ή} \quad \frac{2\pi}{T} = \frac{1}{\sqrt{L \cdot C}} \quad \text{και} \quad T = 2\pi \sqrt{L \cdot C}$$

Η περίοδος και ή συχνότητα, για τήν δοπία σ' αύτό τό κύκλωμα συμβαίνει συντονισμός, δονομάζονται άντιστοιχα ίδιοπερίοδος (T_0) και ίδιοχυστότητα (v_0) τού κυκλώματος.

Από τά παραπάνω καταλήγουμε στά έξης συμπεράσματα:

I. Σέ ένα κύκλωμα πού συνδέονται κατά σειρά ώμική, έπαγωγική και χωρητική άντισταση, ή ένεργος ένταση τού ρεύματος λαβαίνει τή μέγιστη τιμή, δταν ύπάρχει συντονισμός, δηλαδή δταν ή συχνότητα τής τάσεως πού έφαρμόζεται στό κύκλωμα είναι ίση μέ τήν ίδιοσυχνότητα (v_0) τού κυκλώματος.

$$\boxed{\text{μέγιστη ένεργος ένταση} \quad I_{ev} = \frac{U_{ev}}{R_\Omega}}$$

II. Κατά τό συντονισμό ή ίδιοπερίοδος (T_0) τού κυκλώματος σέ συνάρτηση μέ τήν αύτεπαγωγή (L) και τή χωρητικότητα (C) τού κυκλώματος δίνεται άπό τήν έξισωση Thomson :

$$\boxed{\text{έξισωση Thomson} \quad T_0 = 2\pi \sqrt{L \cdot C}}$$

a. Πειραματική άπόδειξη τού συντονισμού. Μέ τή διάταξη πού δείχνει τό σχήμα 83 μπορούμε νά άποδείξουμε πειραματικά τήν έξάρτηση τής ένεργού έντάσεως τού ρεύματος άπό τήν τιμή πού έχει τό διώνυμο $L\omega - (1/C\omega)$. Ή κυκλική συχνότητα ω τού ρεύματος, ή ώμική άντισταση R_Ω και ή χωρητικότητα C διατηρούν σταθερές τιμές. Εισάγουμε άργα μέσα στό πηνίο έναν πυρήνα μαλακού σιδήρου. Τότε μεταβάλλεται ο συντελεστής αύτεπαγωγής L τού πηνίου και συνεπδής μεταβάλλεται ή τιμή τού διωνύμου

$L\omega = (1/C\omega)$. "Όταν ό πυρήνας βρεθεί σε δρισμένη θέση, παρατηρούμε τή μέγιστη φωτοβολία τοῦ λαμπτήρα. Αύτό σημαίνει ότι γιά μιά δρισμένη τιμή τοῦ L ή ένταση τοῦ ρεύματος λαβαίνει τή μέγιστη τιμή, γιατί ή σύνθετη άντισταση άποκτησε τήν έλαχιστη τιμή ($Z = R_\Omega$). "Αρα ισχύει τότε ή συνθήκη συντονισμοῦ $L\omega = 1/C\omega$.

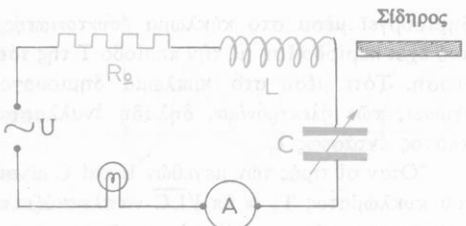
Τό ίδιο φαινόμενο παρατηρούμε, όταν τό L διατηρεῖται σταθερό, και μεταβάλλεται συνεχῶς καί κατά τήν ίδια φορά ή χωρητικότητα C .

β. 'Αναλογία μέ τό μηχανικό φαινόμενο τοῦ συντονισμοῦ. Στό παράπονο κύκλωμα έφαρμόζουμε σταθερή τάση $U_{\text{εν}}$. "Όταν στό κύκλωμα υπάρχει συντονισμός, τότε ισχύει ή έξισωση:

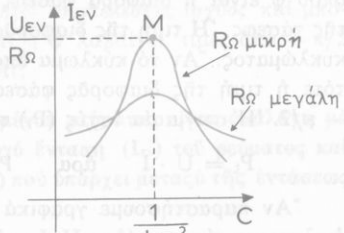
$$L\omega = \frac{1}{C\omega} \quad \text{ἄρα} \quad C = \frac{1}{L\omega^2}$$

"Αν παρακολουθήσουμε τίς μεταβολές τής ένεργος έντασεως $I_{\text{εν}}$ σε συνάρτηση μέ τίς μεταβολές τής χωρητικότητας C , παίρνουμε τήν καμπύλη πού δείχνει τό σχήμα 84. Αύτή ή καμπύλη μοιάζει μέ τήν καμπύλη πού έχουμε γιά τό μηχανικό φαινόμενο τοῦ συντονισμοῦ. Τό πείραμα καί ή θεωρία βρίσκουν ότι τό μέγιστο (M) τής ένεργου έντασεως τοῦ ρεύματος είναι τόσο πιό καθαρό, δηλαδή ή καμπύλη παρουσιάζει δξείσια αιχμή (δξές συντονισμός) δσο πιό μικρή είναι ή ώμική άντισταση R_Ω τοῦ κυκλώματος. Τότε ή ίδιοπερίοδος T_0 τοῦ κυκλώματος είναι ίση μέ τήν περίοδο T τής τάσεως πού έφαρμόζεται στό κύκλωμα. Αύτή ή τάση παίζει τό ρόλο τοῦ διεγέρτη καί τό κύκλωμα παίζει τότε τό ρόλο τοῦ συντονιστή. Ή ώμικη άντισταση R_Ω καθορίζει τή μικρή ή μεγάλη άποσβεση, δπως οι τριβές στά μηχανικά φαινόμενα.

"Όταν οι τιμές τῶν μεγεθῶν L καί C είναι τυχαῖες, τότε ή έναλλασσόμενη τάση (διεγέρτης) πού έφαρμόζεται στίς άκρες τοῦ κυκλώματος RLC ,



Σχ. 83. Σχηματική διάταξη γιά τήν πειραματική άποδειξη τοῦ συντονισμοῦ σέ κύκλωμα RLC .



Σχ. 84. Ο συντονισμός είναι δξές, δταν ή R_Ω είναι μικρή.

δημιουργεῖ μέσα στό κύκλωμα (συντονιστής) ένα έναλλασσόμενο ρεῦμα που έχει περίοδο ίση με τήν περίοδο Τ της τάσεως ή δύοια προκαλεῖ τή διέγερση. Τότε μέσα στό κύκλωμα δημιουργούνται έξαναγκασμένες ταλαντώσεις των ήλεκτρονών, δηλαδή έναλλασσόμενο ρεῦμα που έχει μικρό πλάτος έντασεως I_0 .

"Όταν οι τιμές τῶν μεγεθῶν L καὶ C είναι τέτοιες, ώστε η ίδιοπερίοδος τοῦ κυκλώματος $T_0 = 2\pi \sqrt{LC}$ νά πλησιάζει πρός τήν περίοδο Τ της έναλλασσόμενης τάσεως, τότε έμφανίζεται συντονισμός που είναι τόσο δξύτερος, δο μικρότερη είναι η άμική άντισταση Rα τοῦ κυκλώματος. Καὶ διώς στήν περίπτωση τοῦ μηχανικοῦ συντονισμοῦ, ἔτσι καὶ κατά τὸ συντονισμό τοῦ κυκλώματος τό πλάτος τῆς έντασεως I_0 λαβαίνει τή μέγιστη τιμή, γιατί είναι:

$$I_{ev} = \frac{U_{ev}}{R_\Omega} \quad \text{ή} \quad I_0\sqrt{2} = \frac{U_0\sqrt{2}}{R_\Omega} \quad \text{καὶ} \quad I_0 = \frac{U_0}{R_\Omega}$$

38. Μέση ισχύς καὶ συντελεστής ισχύος

Στό συνεχές ρεῦμα, δταν στίς ἄκρες τοῦ κυκλώματος έφαρμόζεται τάση U καὶ η ένταση τοῦ ρεύματος είναι I, τότε η παρεχόμενη στό κύκλωμα ισχύς P είναι $P = U \cdot I$. Τά μεγέθη U καὶ I είναι σταθερά καὶ έπομένως η ισχύς P τοῦ συνεχοῦς ρεύματος είναι σταθερή.

Στό έναλλασσόμενο ρεῦμα τά μεγέθη U καὶ I συνεχῶς μεταβάλλονται. "Αν στίς ἄκρες τοῦ κυκλώματος έφαρμόζεται η έναλλασσόμενη τάση:

$$U = U_0 \cdot \eta \omega t \quad (1)$$

τότε η στιγμαία ένταση τοῦ ρεύματος είναι:

$$I = I_0 \cdot \eta \omega (\omega t - \varphi) \quad (2)$$

δπου φ είναι η διαφορά φάσεως μεταξύ τῆς έντασεως τοῦ ρεύματος καὶ τῆς τάσεως. Ή τιμή τῆς διαφορᾶς φάσεως έξαρταται ἀπό τίς ίδιότητες τοῦ κυκλώματος. "Αν τό κύκλωμα ἀποτελεῖται ἀπό διάφορα εἰδή άντιστάσεων, τότε η τιμή τῆς διαφορᾶς φάσεως φ. φ περιλαμβάνεται μεταξύ $+ \pi/2$ καὶ $- \pi/2$. Ή στιγμαία ισχύς (P_t) τοῦ ρεύματος είναι:

$$P_t = U \cdot I \quad \text{ἄρα} \quad P_t = U_0 I_0 \cdot \eta \omega t \cdot \eta \omega (\omega t - \varphi) \quad (3)$$

"Αν παραστήσουμε γραφικά τίς έξισώσεις (1), (2) καὶ (3) παίρνουμε άντιστοιχα τίς καμπύλες U, I καὶ P_t (σχ. 85α). Ή καμπύλη P_t παριστάνει σέ κάθε στιγμή τήν τιμή τῆς στιγμαίας ισχύος $P_t = U \cdot I$ τοῦ ρεύματος. Παρατηροῦμε δτι η καμπύλη αὐτή ἀποτελεῖται ἀπό τόξα θετικά καὶ τόξα

άρνητικά (σχ. 85β). Ή στιγμαία ισχύς $U \cdot I$ είναι θετική κατά τίς χρονικές στιγμές που οι τιμές των μεγεθών U και I είναι δόμσημες. Τότε τό κύκλωμα παίρνει ένέργεια από τη γεννήτρια. Άντιθετα ή στιγμαία ισχύς $U \cdot I$ είναι άρνητική κατά τίς χρονικές στιγμές που οι τιμές των μεγεθών U και I είναι έτερόσημες. Τότε τό κύκλωμα δίνει ένέργεια προέρχεται από τήν ένέργεια που είναι άποταμευμένη στά ηλεκτρικά και τά μαγνητικά πεδία που σχηματίζονται στούς πυκνωτές και τά πηνία τοῦ κυκλώματος.

Στή διάρκεια μιᾶς περιόδου T τό κύκλωμα παίρνει από τή γεννήτρια ένέργεια W_T . Όνομάζεται μέση ισχύς (P_M) τοῦ έναλλασσόμενου ρεύματος τό πηλίκο τής ένέργειας (W_T) που παίρνει τό κύκλωμα στή διάρκεια μιᾶς περιόδου διά τής περιόδου (T).

$$\text{μέση ισχύς} \quad P_M = \frac{W_T}{T}$$

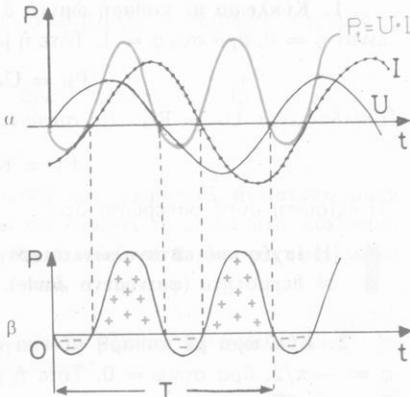
Αποδεικνύεται δτι η μέση ισχύς δίνεται από τήν έξισωση:

$$\boxed{\text{μέση ισχύς} \quad P_M = U_{\text{εν}} \cdot I_{\text{εν}} \cdot \sin \varphi} \quad \left\{ \begin{array}{l} \text{U σέ V, I σέ A} \\ \text{P σέ W} \end{array} \right. \quad (4)$$

δπου φ είναι η διαφορά φάσεως μεταξύ τής έντάσεως τοῦ ρεύματος και τής τάσεως. Ο παράγοντας $\sin \varphi$ δονομάζεται συντελεστής ισχύος και μπορει νά λάβει τιμές από -1 ώς $+1$ (γιατί η φ λαβαίνει τιμές από $-\pi/2$ ώς $+\pi/2$). Ή έξισωση (4) φανερώνει δτι:

Η μέση ισχύς (P_M) τοῦ έναλλασσόμενου ρεύματος είναι άναλογη μέ τήν ένεργο τάση ($U_{\text{εν}}$) και τήν ένεργο ένταση ($I_{\text{εν}}$) τοῦ ρεύματος και έξαρται από τή διαφορά φάσεως (φ) που διάρχει μεταξύ τής έντάσεως τοῦ ρεύματος και τής τάσεως.

α. Διερεύνηση τής έξισώσεως τής μέσης ισχύος. Θά έξετάσουμε πῶς ισχύει η έξισωση (4) σέ διάφορες περιπτώσεις.



Σχ. 85. Γραφική παράσταση τῶν έξισώσεων τῆς τάσεως U , τῆς έντάσεως ρεύματος I και τῆς ισχύος P τοῦ έναλλασσόμενου ρεύματος.

1. Κύκλωμα μέ καθαρή ώμικη άντίσταση R_Ω . Σ' αυτή τήν περίπτωση είναι $\phi = 0$, ορα συν $\phi = 1$. Τότε ή μέση ίσχυς έχει τή μέγιστη τιμή:

$$P_M = U_{ev} \cdot I_{ev}$$

Έπειδή είναι $U_{ev} = R_\Omega \cdot I_{ev}$, συνάγεται ότι είναι:

$$P_M = R_\Omega \cdot I_{ev}^2$$

Η έξισωση αυτή φανερώνει ότι:

Η ίσχυς πού καταναλώνεται πάνω σέ ώμικη άντίσταση μετατρέπεται σε θερμότητα (φαινόμενο Joule).

2. Κύκλωμα μέ καθαρή αύτεπαγωγή L . Σ' αυτή τήν περίπτωση είναι $\phi = -\pi/2$, ορα συν $\phi = 0$. Τότε ή μέση ίσχυς είναι ίση μέ μηδέν, $P_M = 0$. "Ωστε:

Πάνω σέ ένα ιδανικό πηνίο δέν καταναλώνεται ίσχυς.

"Οταν ή ένταση τοῦ ρεύματος αυξάνεται άπό 0 ως I_0 , τό πηνίο έξαιτίας τῆς αύτεπαγωγῆς του άποταμεύει ένέργεια ίση μέ $\frac{1}{2} L I_0^2$. Αύτή τήν ένέργεια τό πηνίο τήν άποδίδει άμεσως ξεπειτα στό κύκλωμα, δταν ή ένταση τοῦ ρεύματος μεταβάλλεται άπό I_0 σέ 0.

3. Κύκλωμα μέ καθαρή χωρητικότητα C . Σ' αυτή τήν περίπτωση είναι $\phi = +\pi/2$, ορα συν $\phi = 0$. Τότε ή μέση ίσχυς είναι ίση μέ μηδέν, $P_M = 0$. "Ωστε:

Πάνω σέ μιά καθαρή χωρητική άντίσταση δέν καταναλώνεται ίσχυς.

"Οπως τό ιδανικό πηνίο, έτσι και ό πυκνωτής, δταν ή τάση αυξάνεται άπό 0 ως U_0 , ό πυκνωτής άποταμεύει ένέργεια ίση μέ $\frac{1}{2} C U_0^2$. Αύτή τήν ένέργεια ό πυκνωτής τήν άποδίδει άμεσως, δταν ή τάση έλαττώνεται άπό U_0 σέ 0.

4. Κύκλωμα μέ ώμικη, έπαγωγική και χωρητική άντίσταση. Σέ ένα κύκλωμα RLC είναι $-\pi/2 < \phi < +\pi/2$. Τό κύκλωμα έχει σύνθετη άντίσταση Z και ή διαφορά φάσεως ϕ δίνεται άπό τήν έξισωση:

$$\text{συν } \phi = \frac{R_0}{Z}$$

Τό ρεύμα παρέχει στό κύκλωμα μέση ίσχυ:

$$P_M = U_{ev} \cdot I_{ev} \cdot \text{συν } \phi$$

'Επειδή είναι $U_{\text{εν}} = Z \cdot I_{\text{εν}}$ και συν $\varphi = R_\Omega/Z$, ή έξισωση τής μέσης ισχύος γράφεται:

$$P_M = Z \cdot I_{\text{εν}}^2 \cdot \frac{R_\Omega}{Z} \quad \text{ἄρα} \quad P_M = R_\Omega \cdot I_{\text{εν}}^2$$

Η τελευταία έξισωση φανερώνει ότι:

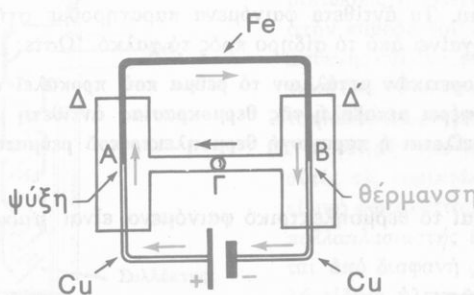
Σε κύκλωμα μέδική, έπαγωγική και χωρητική άντισταση κατά σειρά δηλαδή μέση ισχύς, τήν όποια παρέχει τό ρεύμα στό κύκλωμα, μετατρέπεται πάνω στήν ψημένη άντισταση σε θερμότητα (φαινόμενο Joule).

Στήν πραγματικότητα ένα πηνίο έχει πάντοτε ψημένη άντισταση και γι' αύτό παρατηρούμε ότι τό πηνίο θερμαίνεται.

Μερικά ένδιαφέροντα φαινόμενα

39*. Φαινόμενο Peltier

Σχηματίζουμε ένα κύκλωμα άπό δύο ράβδους χαλκού, πού μεταξύ τους παρεμβάλλεται μιά ράβδος σιδήρου (σχ. 86). Οι δύο έπαφές A και B τού



Σχ. 86. Φαινόμενο Peltier.

θερμοηλεκτρικού ζεύγους σιδήρους - χαλκού βρίσκονται μέσα σέ γυάλινα δοχεία, πού περιέχουν άερα και συγκοινωνούν μέτρια σειριακή συνέδεση. Μέσα στό σωλήνα μπορεῖ νά μετακινεῖται μιά μικρή σταγόνα λαδιού πού χρησιμεύει ως δείκτης.

"Όταν τό ρεύμα πηγαίνει άπό τό χαλκό πρός τό σιδήρο, ή έπαφή A ψύχε-

ται, ένδιαφέροντα φαινόμενα. Η πίεση τού άερα μέσα στό δοχείο Δ' αυξάνεται και ή σταγόνα τού λαδιού μετακινεῖται πρός τό δοχείο Δ'.

"Αν άντιστραφεί ή φορά τού ρεύματος, τότε ή μετακίνηση τής σταγό-

νας τοῦ λαδιοῦ δείχνει ότι ή έπαφή A θερμαίνεται, ένω ή έπαφή B ψύχεται. Τό φαινόμενο πού παρατηρήσαμε είναι γενικό και ονομάζεται φαινόμενο Peltier.

"Όταν τό ήλεκτρικό ρεύμα περνάει από τήν έπαφη δύο διαφορετικών μετάλλων, τότε άναλογα μέ τή φορά τοῦ ρεύματος συμβαίνει ψύξη ή θέρμανση τής έπαφής (φαινόμενο Peltier).

"Η θερμότητα Q πού έμφανίζεται ή άπορροφᾶται στήν έπαφή τῶν δύο μετάλλων στή διάρκεια χρόνου t είναι άναλογη μέ τήν ένταση I τοῦ ρεύματος και ξεπράται από τή φύση τῶν δύο μετάλλων.

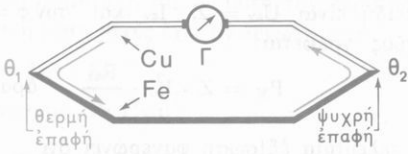
α. Φαινόμενο Peltier και θερμοηλεκτρικό φαινόμενο. "Ας θεωρήσουμε τό θερμοηλεκτρικό ζεῦγος σίδηρος - χαλκός. "Όταν αὐτό τό ζεῦγος άποτελεῖ θερμοηλεκτρικό στοιχεῖο (σχ. 87), τότε στή θερμή έπαφή τό θερμοηλεκτρικό ρεύμα πηγαίνει από τό χαλκό πρός τό σίδηρο. "Αν στό θερμοηλεκτρικό στοιχεῖο διαβιβάσουμε ρεύμα πού έχει τήν ίδια φορά μέ τό θερμοηλεκτρικό ρεύμα (δηλαδή πηγαίνει από τό χαλκό πρός τό σίδηρο), τότε ή έπαφή A ψύχεται (σχ.87α). Τά άντιθετα φαινόμενα παρατηρούμε στήν έπαφή B, όπου τό ρεύμα πηγαίνει από τό σίδηρο πρός τό χαλκό. "Ωστε:

Στήν έπαφή δύο διαφορετικών μετάλλων τό ρεύμα πού προκαλεῖ τό φαινόμενο Peltier, έπιφέρει μεταβολή τής θερμοκρασίας άντιθετη μέ εκείνη, στήν όποια δοφείλεται ή παραγωγή θερμοηλεκτρικού ρεύματος μέ τήν ίδια φορά.

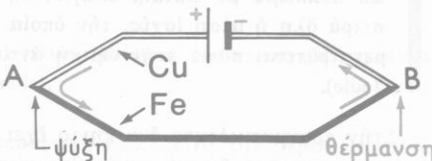
Τό φαινόμενο Perlier και τό θερμοηλεκτρικό φαινόμενο είναι φαινόμενα άντιστροφα.

40*. Φωτοπολλασιαστής

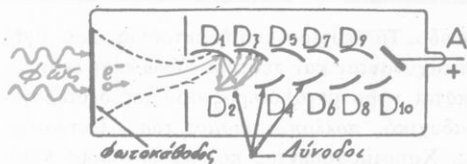
α. Δευτερογενής έκπομπή ήλεκτρονίων. Στό θερμοηλεκτρικό φαινόμενο τά ήλεκτρόνια βγαίνουν από τή διάπυρη κάθοδο, έπειδή αυτή έχει θερμανθεῖ πολύ. Στό φωτοηλεκτρικό φαινόμενο τά ήλεκτρόνια βγαίνουν από τήν κάθοδο, γιατί παίρνουν ένέργεια από τά φωτόνια πού πέφτουν πάνω στήν κάθοδο. Τά ήλεκτρόνια μπορούν νά άποσπαστούν από ένα μέταλ-



Σχ. 87. Θερμοηλεκτρικό φαινόμενο.

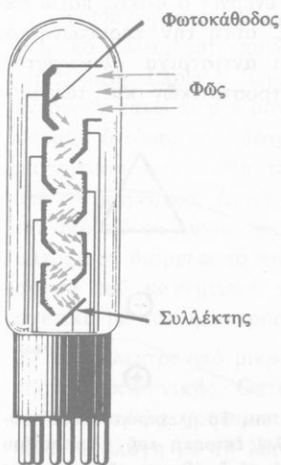


Σχ. 87α Τό φαινόμενο Peltier είναι τό άντιστροφο τού θερμοηλεκτρικού φαινομένου.



Σχ. 88. Σχηματική παράσταση φωτοπολλαπλασιαστή.
'Από κάθε δύνοδο (D) άποσπάνται πολλά δευτερο-
γενή ήλεκτρόνια.

ήλεκτρόνια αυτά δονομάζονται δευτερογενή ήλεκτρόνια και γιά τήν άποσπαστή τους άπό το μέταλλο παίρνουν τήν άπαιτούμενη ένέργεια από τά πρωτογενή ήλεκτρόνια. Στό φωτοηλεκτρικό φαινόμενο κάθε φωτόνιο προκαλεῖ τήν έξοδο μόνο ένός φωτοηλεκτρονίου. Αντίθετα στή δευτερογενή έκπομπή ήλεκτρονών ένα πρωτογενές ήλεκτρόνιο μπορεῖ νά προκαλέσει τήν έξοδο πολλών δευτερογενών ήλεκτρονίων άπό τό μέταλλο. Ο λόγος τοῦ ἀριθμοῦ τῶν δευτερογενών ήλεκτρονίων πρός τόν ἀριθμό τῶν πρωτογενών ήλεκτρονίων ἔξαρται άπό τή φύση τοῦ μετάλλου και άπό τήν ένέργεια τῶν πρωτογενών ήλεκτρονίων. Η ἐλάχιστη ένέργεια πού πρέπει νά έχει ένα πρωτογενές ήλεκτρόνιο, γιά νά προκαλέσει τήν έκπομπή ένός δευτερογενούς ήλεκτρονίου, είναι περίπου $10 \text{ eV} (= 1,6 \cdot 10^{-18} \text{ Joule})$. Η δευτερογενής έκπομπή ήλεκτρονίων έχει ἐφαρμογή στίς ηλεκτρονικές λυχνίες και στόν φωτοπολλαπλασιαστή.



Σχ. 89. Φωτοπολλαπλασιαστής.

Επίσημη μετάφραση από το αρχικό
εγχειρίδιο της Εθνικής Έρευνας στην
επιμελητεία της Κεντρικής Βιβλιοθήκης της
Εθνικής Λαϊκής Δημοκρατίας της Ελλάδος

λο και μέ έναν άλλο τρόπο. Τά ηλεκτρόνια πού προέρχονται άπό μιά πηγή, και τά δοποία δονομάζουμε πρωτογενή ήλεκτρόνια, δταν πέφτουν πάνω σέ ένα μέταλλο, προκαλούν τήν έξοδο ήλεκτρονών άπό τό μέταλλο. Τά

β. Φωτοπολλαπλασιαστής. Σέ πολλές περιπτώσεις ή φωτεινή ροή πού πέφτει πάνω στήν κάθοδο τοῦ φωτοκύτταρου είναι πολύ άσθενής και έπομένως άπό τήν κάθοδο βγαίνουν έλάχιστα φωτοηλεκτρόνια. Τότε τό φωτοηλεκτρικό ρεύμα είναι τόσο άσθενές, ώστε ή μέτρησή του είναι σχεδόν άδύνατη. Σ' αυτές τίς περιπτώσεις χρησιμοποιούμε ένα ειδικό φωτοκύτταρο πού δονομάζεται φωτοπολλαπλασιαστής (σχ. 88). Αντός άποτελείται άπό διαφανή φωτοκάθοδο και άπό πολλά ειδικά ήλεκτρόδια πού δονομάζονται δύνοδοι. Τά φωτοηλεκτρόνια πού άποσπάνται άπό τήν κάθοδο, έχαιτίας τής τάσεως πού έφαρμόζεται, πέφτουν πάνω στήν πρώτη δύνοδο. Αντά τά πρωτογενή ήλεκτρόνια προκαλούν τήν έξοδο πολλών δευτερογενών ήλεκτρονών στην δεύτερη δύνοδο.

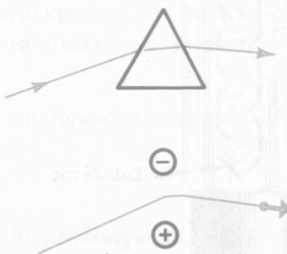
λεκτρονίων άπό τήν πρώτη δύνοδο. Τά δευτερογενή ήλεκτρόνια, που βγῆκαν άπό τήν πρώτη δύνοδο, έπιταχύνονται και πέφτουν πάνω στή δεύτερη δύνοδο, άπό τήν διοία άποσπάται τώρα μεγαλύτερος άριθμός δευτερογενών ήλεκτρονίων. Αυτός διαδοχικός πολλαπλασιασμός τῶν ήλεκτρονίων έπαναλαμβάνεται πολλές φορές. Χρησιμοποιώντας πολλές δυνόδους πετυχαίνουμε ώστε στό καθένα άπό τά άρχικά φωτοηλεκτρόνια νά αντιστοιχεῖ μεγάλος άριθμός ήλεκτρονίων (10^6 ως 10^8 ήλεκτρόνια). Στό τέλος τά ήλεκτρόνια πέφτουν πάνω στήν άνοδο (συλλέκτης) και δημιουργοῦν ρευματική θίθηση πάνω άπό ένα έκατομμύριο φορές μεγαλύτερη άπό τήν άρχική ρευματική θίθηση (σχ. 89). Οι φωτοπολλαπλασιαστές διαγείρονται άπό άσθενείς άκτινοβολίες, δχι μόνο τίς δρατές, άλλα και άπό τίς ύπερυθρες και τίς υπεριώδεις. Χρησιμοποιούνται σέ διάφορες έφαρμογές και ίδαιτερα γιά τή μελέτη τῶν πυρηνικῶν άκτινοβολιῶν.

41*: Ηλεκτρονική Όπτικη

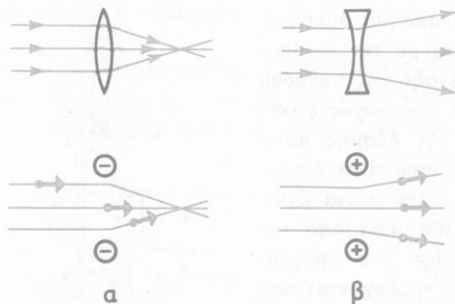
Ξέρουμε δτι δι διπτικός φακός μεταβάλλει μιά δέσμη παράλληλων φωτεινῶν άκτινων σέ συγκλίνουσα ή άποκλίνουσα δέσμη και άκόμη δτι δ φακός συγκεντρώνει σέ ένα σημείο (ειδωλο) δλες τίς φωτεινές άκτινες πού προέρχονται άπό μιά σημειακή φωτεινή πηγή. Ή πειραματική και ή θεωρητική ξρευνα άπεδειξαν δτι δρισμένες μορφές ήλεκτροιῶν και μαγνητικῶν πεδίων ένεργοιν πάνω σέ μιά δέσμη ήλεκτρονίων, πού κινούνται μέ τήν ίδια ταχύτητα (μονοκινητική δέσμη), άκριβως δπως ένεργει δ φακός πάνω σέ μιά μονοχρωματική δέσμη φωτεινῶν άκτινων. Σ' αυτή τήν περίπτωτη τό ήλεκτρικό ή τό μαγνητικό πεδίο δνομάζονται άντιστοιχα ήλεκτροστατικός ή μαγνητικός φακός. Ή μελέτη τῶν ήλεκτροστατικῶν και τῶν μαγνητικῶν φακῶν άποτελεί τήν Ηλεκτρονική Όπτικη.

a. Ήλεκτροστατικός φακός. "Ενα ήλεκτρόνιο κινεῖται εύθυγραμμα μέ μεγάλη ταχύτητα και περνάει άνάμεσα άπό δύο σφαιρίδια πού είναι έτερώνυμα φορτισμένα (σχ. 90). Τότε τό ήλεκτρόνιο, μέ τήν έπιδραση τοῦ ήλεκτρικοῦ πεδίου, έκτρέπεται άπό τήν άρχική διεύθυνση τής κινήσεώς του, δπως άκριβως έκτρέπεται και μιά φωτεινή άκτινα πού περνάει μέσα άπό πρίσμα.

Μιά λεπτή δέσμη ήλεκτρονίων, πού κινούνται μέ τήν ίδια ταχύτητα, περνάει μέσα άπό μεταλλικό δακτύλιο. "Αν δι δακτύλιος



Σχ. 90. Τό ήλεκτρικό πεδίο προκαλεί έκτροπή τοῦ ήλεκτρονίου άπό τή διεύθυνση τής κινήσεώς του, δπως τό πρίσμα προκαλεί έκτροπή σέ μιά φωτεινή άκτινα.



Σχ. 91. Ή δέσμη ήλεκτρονίων πού περνάει μέσα από τό φορτισμένο δακτύλιο μεταβάλλεται σέ συγκλίνουσα ή άποκλίνουσα, όπως μιά δέσμη φωτεινών άκτινων πού περνάει μέσα από φακό.

σάν φακοί και προκαλούν έστίαση τής δέσμης τῶν ήλεκτρονίων. Ή εστιακή άπόσταση τοῦ ήλεκτροστατικοῦ φακοῦ έξαρτᾶται από τήν ταχύτητα (v) τῶν ήλεκτρονίων τῆς δέσμης και από τήν ένταση (E) τοῦ ήλεκτρικοῦ πεδίου. Μεταβάλλοντας τήν τάση (U), στήν όποια διφείλεται τό ήλεκτρικό πεδίο, ρυθμίζουμε δσο θέλουμε τήν έστιακή άπόσταση τοῦ ήλεκτροστατικοῦ φακοῦ, άντίθετα μέ τόν διπτικό φακό, πού ή έστιακή άπόστασή του είναι σταθερή.

β. Μαγνητικός φακός. "Οταν ένα ηλεκτρόνιο κινεῖται μέσα σέ μεγνητικό πεδίο, τότε πάνω στό ηλεκτρόνιο άναπτύσσεται ηλεκτομαγνητική δύναμη Laplace. Όρισμένες μορφές μή δύογενῶν μαγνητικῶν πεδίων ένεργοι σάν πάνω σέ μιά μονοκινητική δέσμη ήλεκτρονίων σάν φακοί και προκαλούν έστίαση τής δέσμης τῶν ήλεκτρονίων. Ή εστιακή άπόσταση τοῦ μαγνητικοῦ φακοῦ έξαρτᾶται από τήν ταχύτητα (v) τῶν ήλεκτρονίων και από τή μαγνητική έπαγωγή (B) τοῦ μαγνητικοῦ πεδίου. Αυτό δημιουργεῖται από ειδικά πηνία. Μεταβάλλοντας μέ ένα ροοστάτη τήν ένταση τοῦ ρεύματος πού διαρρέει τό πηνίο ρυθμίζουμε δσο θέλουμε τήν έστιακή άπόσταση τοῦ μαγνητικοῦ φακοῦ. Γενικά δ μαγνητικός φακός πλεονεκτεῖ σχετικά μέ τόν ηλεκτροστατικό φακό.

γ. Ήλεκτρονικό μικροσκόπιο. Μιά από τίς σπουδαιότερες έφαρμογές τής Ήλεκτρονικής Οπτικής είναι τό ήλεκτρονικό μικροσκόπιο, στό διπολού συνήθως χρησιμοποιούνται μαγνητικοί φακοί. Ή λειτουργία του είναι άναλογη μέ τή λειτουργία τής διατάξεως πού χρησιμοποιούμε στή μικροφωτογραφία γιά νά φωτογραφίζουμε τά είδωλα μικροσκοπικῶν άντικειμένων.

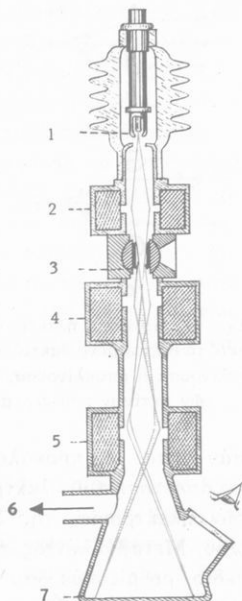
έχει άρνητικό φορτίο, τότε ή δέσμη τῶν ήλεκτρονίων γίνεται συγκλίνουσα (σχ. 91α), ένδι αν δ δακτύλιος έχει θετικό φορτίο, ή δέσμη τῶν ήλεκτρονίων γίνεται άποκλίνουσα (σχ. 91β). Σ' αυτή τήν περίπτωση δ φορτισμένος μεταλλικός δακτύλιος ένεργει πάνω στή δέσμη τῶν ήλεκτρονίων σάν ένας φακός.

"Ωστε δρισμένες μορφές μή δύογενῶν ήλεκτρικῶν πεδίων ένεργοι πάνω σέ μιά μονοκινητική δέσμη ήλεκτρονίων

Τά ήλεκτρόνια έκπεμπονται από μιά διαπυρωμένη κάθοδο και έπιταχύνονται μέ τήν έπιδραση τής τάσεως πού υπάρχει μεταξύ τής καθόδου και τής άνόδου (σχ. 92). Ο συναγωγός φακός συγκεντρώνει τά ήλεκτρόνια τής δέσμης πάνω στό μικροσκοπικό άντικείμενο, πού είναι διαφανές γιά τά ήλεκτρόνια. Όσα ήλεκτρόνια βγαίνουν από τό άντικείμενο, περνοῦν μέσα από τόν άντικειμενικό φακό πού σχηματίζει ένα πραγματικό είδωλο. Τά ήλεκτρόνια πού προέρχονται από τά διάφορα σημεῖα τού είδώλου περνοῦν μέσα από τό φακό προβολῆς και πέφτουν πάνω σέ διάφραγμα πού φθορίζει ή πάνω σέ φωτογραφική πλάκα, δην σχηματίζεται τό τελικό πραγματικό είδωλο. Όλη ή συσκευή βρίσκεται μέσα σέ άεροκενο σωλήνα, πού στά πλάγια έχει θυρίδες γιά νά παρατηροῦμε μέσα στό σωλήνα.

Η μεγέθυνση πού πετυχαίνουμε μέ τό ήλεκτρονικό μικροσπόπιο, μπορεῖ νά φτάσει ώς 500 000. Η τελική είκόνα μπορεῖ νά μεγεθυνθεῖ μέ διπλική διάταξη κατά 5 ώς 10 φορές. Τό ήλεκτρονικό μικροσκόπιο διακρίνεται γιά τή μεγάλη διαχωριστική ίκανότητά τον, πού είναι πολλές χιλιάδες φορές μεγαλύτερη από τή διαχωριστική ίκανότητα τού διπτικού μικροσκοπίου. "Ετσι μπορούμε νά μελετήσουμε άντικείμενα πού είναι πολλές έκατοντάδες φορές μικρότερα από έκείνα τά άντικείμενα πού μελετᾶμε μέ τά καλύτερα διπλικά μικροσκόπια. Τό ήλεκτρονικό μικροσκόπιο ανοιξε νέους ορίζοντες στή μελέτη τού μικρόκοσμου και ίδιαίτερα βοήθησε τή βιολογική έρευνα, ή δοπία μέ τό ήλεκτρονικό μικροσκόπιο παρατηρεῖ λεπτομέρειες πάνω στά χρωματοσώματα, τήν κατασκευή τῶν βακτηρίων, τούς ιούς. Μέ τό ήλεκτρονικό μικροσκόπιο μποροῦμε άκομη νά μελετᾶμε τά μεγάλα μόρια τής ψληγούς.

Παρατήρηση. Η Ήλεκτρονική Όπτική βασίζεται στίς κυματικές ίδιστητες τού ήλεκτρονίου, πού θά τίς έξετάσουμε σέ άλλο κεφάλαιο.



Σχ. 92. Τομή ήλεκτρονικού μικροσκοπίου μέ μαγνητικούς φακούς.

(1 διάπυρη κάθοδος. 2 συναγωγός φακός. 3 άντικείμενο. 4 άντικειμενικός φακός. 5 φακός προβολῆς. 6 πρός άεραντλία. 7 φθορίζον διάφραγμα).

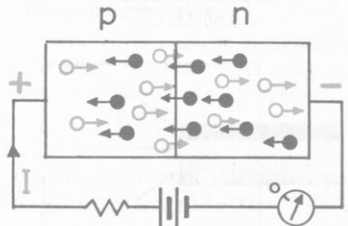
42. Ξηροί άνορθωτές

α. Κρυσταλλοδίοδος. Είναι γνωστό ότι σέ εναν ήμιαγωγό ρ υπάρχουν ευκίνητες δύες και σέ εναν ήμιαγωγό π υπάρχουν ευκίνητα ήλεκτρόνια. Φέρνουμε σέ στενή έπαφή εναν ήμιαγωγό ρ μέ εναν ήμιαγωγό π. Αύτο

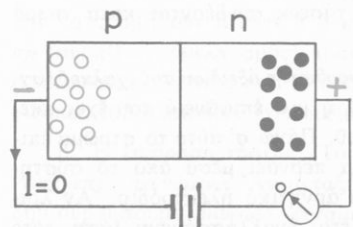
τό σύστημα δονομάζεται κρυσταλλοδίοδος (ή και δίοδος ρ — π).

*Αρχικά οι δύο ήμιαγωγοί ήταν ουδέτεροι. Στις δύο ακρες του συστήματος των δύο ήμιαγωγών υπάρχουν δύο ήλεκτρόδια.

I. *Ο θετικός πόλος μιᾶς ήλεκτρικής πηγής συνδέεται μέ τόν ήμιαγωγό ρ και διάρητικός πόλος τῆς πηγῆς συνδέεται μέ τόν ήμιαγωγό π (σχ. 93). Μέ τήν έπιδραση του ήλεκτρικού πεδίου τά ήλεκτρόνια κινούνται πρός τό θετικό πόλο τῆς πηγῆς, ένω οι δύες κινούνται πρός τόν άρνητικό πόλο τῆς πηγῆς. Έπομένως ή δίοδος διαρρέεται από ρεῦμα πού έχει φορά (συμβατική) από τόν ήμιαγωγό ρ πρός τόν ήμιαγωγό π. Στόν ήμιαγωγό π τά ήλεκτρόνια του άναπληρώνονται από νέα ήλεκτρόνια πού έρχονται από τόν άρνητικό πόλο τῆς πηγῆς. Και στόν ήμιαγωγό π οι δύες του άναπληρώνονται μέ νέες δύες πού δημιουργούνται, γιατί ήλεκτρόνια έγκαταλείπουν τόν ήμιαγωγό ρ για νά πάνε στό θετικό πόλο τῆς πηγῆς.



Σχ. 93. *Από τή δίοδο περνάει ρεῦμα.
(Άγωγιμη φορά ρ → n).



Σχ. 94. *Από τή δίοδο δέν περνάει ρεῦμα.
(Άνασταλτική φορά n → p).

νται μέ νέες δύες πού δημιουργούνται, γιατί ήλεκτρόνια έγκαταλείπουν τόν ήμιαγωγό ρ για νά πάνε στό θετικό πόλο τῆς πηγῆς.

II. *Αντιστρέφουμε τή σύνδεση τῆς κρυσταλλοδίοδου μέ τούς πόλους τῆς πηγῆς. *Ο διάρητικός πόλος συνδέεται μέ τόν ήμιαγωγό ρ και διάρητικός πόλος τῆς πηγῆς συνδέεται μέ τόν ήμιαγωγό π (σχ. 94). Τότε τά ήλεκτρόνια και οι δύες συγκεντρώνονται στις δύο ακρες τῆς κρυσταλλοδίοδου και στό μέσο της «έργημάνεται» από ήλεκτρικούς φορεῖς. Έπομένως ή κρυσταλλοδίοδος δέν διαρρέεται από ρεῦμα. Ωστε:

Η κρυσταλλοδίοδος παρουσιάζει ήλεκτρική άγωγιμότητα μόνο κατά τή μιά φορά (άγωγιμη φορά ρ → n), ένω κατά τήν αντίθετη φορά η άγωγιμότητα έξαφανίζεται (άνασταλτική φορά n → p).

β. Ξηροί άνορθωτές. Έπειδή ή κρυσταλλοδιόδος παρουσιάζει ήλεκτρική άγωγιμότητα μόνο κατά τή μιά φορά, γι' αυτό χρησιμοποιείται ως άνορθωτής. Γενικά οι ξηροί άνορθωτές είναι σύστημα άπό δύο διαφορετικούς ήμιαγωγούς που βρίσκονται σέ στενή έπαφή. Τότε τό σύστημα αυτό παρουσιάζει ήλεκτρική άγωγιμότητα μόνο γιά μιά δρισμένη φορά του ρεύματος. Τό ίδιο φαινόμενο παρατηρείται και όταν μιά μεταλλική άκιδα βρίσκεται σέ έπαφή με κρύσταλλο άπό δρισμένο ήμιαγωγό ώλικό. Στό σχήμα 95 δείχνεται η συμβολική παράσταση ξηρού άνορθωτή (κρυσταλλοδιόδου).

Κάθε άνορθωτής άντεχει ως μιά ώριμηνη τάση. Γιά τήν άνόρθωση μεγάλης τάσεως συνδέονται κατά σειρά πολλοί άνορθωτές.

Συνηθισμένοι ξηροί άνορθωτές. Ο άνορθωτής δέξιειδίου του χαλκού (σχ. 96) άποτελείται άπό πλάκα χαλκοῦ, που ή μιά έπιφανειά του έχει σκεπαστεῖ μέστρωμα άπό δέξιειδιο του χαλκού. Πάνω σ' αυτό τό στρώμα έπικαθεται μιά πλάκα άπό μόλυβδο. Τό ρεῦμα περνάει μέσα άπό τό σύστημα, μόνο όταν ή πλάκα του χαλκοῦ είναι άρνητικό ήλεκτροδίο. "Αν λοιπόν στίς άκρες του συστήματος έφαρμόζεται έναλλασσόμενη τάση, τότε άπό τό σύστημα περνάει ρεῦμα μόνο κατά τή μιά ήμιπερίοδο του έναλλασσόμενου ρεύματος.

"Υπάρχουν ξηροί άνορθωτές άπό σελήνιο, γερμάνιο ή πυρίτιο (στοιχεία που είναι ήμιαγωγοί).

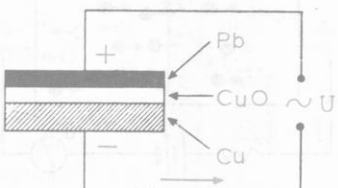
43. Πιεζοηλεκτρισμός

a. Η μηχανική έπιδραση. Μερικοί κρύσταλλοι και ίδιαίτερα του χαλαζία, όταν υποβάλλονται σέ συμπίεση ή έφελκυσμό κατά δρισμένες διευθύνσεις, τότε στίς δύο άπεναντι έπιφανειές τους άναπτυσσονται έτερονυμα ήλεκτρικά φορτία που κατ' άπόλυτη τιμή είναι ίσα. Αυτό τό φαινόμενο ονομάζεται πιεζοηλεκτρισμός. Η έπιφανειακή πυκνότητα τών ήλεκτρικών φορτίων είναι άναλογη με τή μηχανική έπιδραση που έχει σκείται πάνω στόν κρύσταλλο.

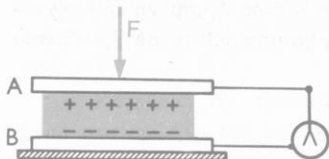
Τό φαινόμενο του πιεζοηλεκτρισμού άποδεικνύεται μέ τήν άκόλουθη



Σχ. 95. Συμβολική παράσταση κρυσταλλοδιόδου.



Σχ. 96. Ξηρός άνορθωτής δέξιειδίου του χαλκού.



Σχ. 97. Η συμπίεση ή έφελκυσμός του πλακιδίου δημιουργεί διαφορά δυναμικού μεταξύ των δύο άπεναντι έπιφανειών του.

σέ ίσα έτερώνυμα ήλεκτρικά φορτία που έμφανιζονται στις δύο άπεναντι έπιφανειες του πλακιδίου. Έπισης, όταν τό πλακίδιο χαλαζία ήπιαζεται σε έφελκυσμό, τότε πάνω στις δύο έπιφανειες του πλακιδίου άναπτυσσονται πάλι ίσα έτερώνυμα ήλεκτρικά φορτία, άλλα τώρα διατάσσονται άντιστροφα πάνω στις δύο έπιφανειες του πλακιδίου.

Τό φαινόμενο τού πιεζοηλεκτρισμού έρμηνευται, αν λάβουμε υπόψη τήν κατανομή των ιόντων στό κρυσταλλικό πλέγμα. Η μηχανική έπιδραση (συμπίεση, έφελκυσμός) προκαλεί προσωρινή παραμόρφωση του κρυσταλλικού πλέγματος και τότε έρχονται πιο κοντά στις δύο άπεναντι έπιφανειες του πλακιδίου έτερώνυμα ίόντα του κρυσταλλικού πλέγματος.

β. Η έπιδραση τάσεως. Τό φαινόμενο τού πιεζοηλεκτρισμού είναι άντιστρεπτό φαινόμενο. Αν μεταξύ των δύο ήλεκτροδίων Α και Β (σχ. 106) δημιουργήσουμε διαφορά δυναμικού, τότε τό πάχος του πλακιδίου χαλαζία ανέξανεται ή έλαττωνεται, άναλογα με τό είδος του ήλεκτρικού φορτίου που έχει τό κάθε ήλεκτρόδιο. Αν στά δύο ήλεκτρόδια έφαρμόσουμε έναλλασσόμενη τάση, τότε τό πλακίδιο χαλαζία συστέλλεται και διαστέλλεται περιοδικά, δηλαδή έκτελει έξαναγκασμένη μηχανική ταλάντωση. Τό πλάτος τής ταλαντώσεως γίνεται μέγιστο, όταν ή συχνότητα ν τής έναλλασσόμενης τάσεως είναι ίση με τήν ίδιοσυχνότητα ν₀ των έλαστικῶν ταλαντώσεων του πλακιδίου, δηλαδή όταν ουπάρχει συντονισμός μεταξύ τής τάσεως και του πλακιδίου. Η ίδιοσυχνότητα του πλακιδίου έξαρται άπο τίς διαστάσεις του πλακιδίου (πιεζοηλεκτρικός χαλαζίας).

γ. Εφαρμογές τού πιεζοηλεκτρισμού. Ο πιεζοηλεκτρισμός έχει σήμερα διάφορες εφαρμογές, π.χ. εφαρμόζεται γιά τήν παραγωγή υπερήχων, γιατί οι ταχύτατες έλαστικές ταλαντώσεις του πλακιδίου χαλαζία, που προκαλούνται άπο μιά έναλλασσόμενη τάση, δημιουργούν στό περιβάλλον ηχητικά κύματα που άντιστοιχούν σε υπερήχους.

Στούς πομπούς ήλεκτρομαγνητικῶν κυμάτων ή συχνότητα του φέροντος κύματος διατηρείται σταθερή με τή βοήθεια του σταθερωτή συχνό-

διάταξη. Μεταξύ δύο μεταλλικῶν πλακίδων (ήλεκτρόδια) τοποθετούμε ένα πλακίδιο χαλαζία που έχει κοπεῖ άπο τόν κρύσταλλο χαλαζία κατά δρισμένες διευθύνσεις σχετικά με τούς άξονες τού κρυστάλλου (σχ. 97). Τά δύο ήλεκτρόδια συνδέονται με ήλεκτρόμετρο. "Όταν τό πλακίδιο χαλαζία συμπιέζεται, τότε μεταξύ των δύο ήλεκτροδίων άναπτυσσεται διαφορά δυναμικοῦ. Αύτή θερείται

τητας, πού είναι ένας πιεζοηλεκτρικός χαλαζίας μέ δρισμένη ίδιοσυχνότητα. Έπισης πιεζοηλεκτρικός χαλαζίας χρησιμοποιείται σέ χρονόμετρα μεγάλης άκριβειας.

'Αγωγιμότητα τῶν ἀερίων

44. Μορφές τῆς ἀγωγιμότητας τῶν ἀερίων

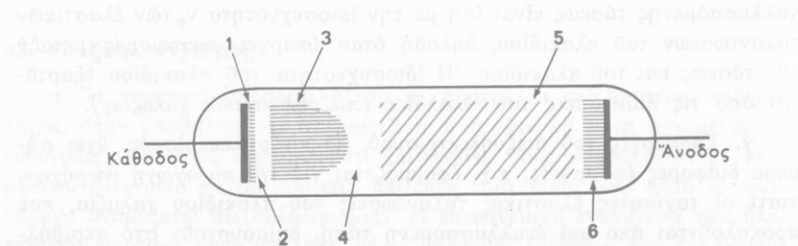
Ξέρουμε δτι ή ἀγωγιμότητα τῶν ἀερίων διακρίνεται σέ αὐτοτελή καὶ μή αὐτοτελή ἀγωγιμότητα. Περισσότερο ἐνδιαφέρουσα είναι ή αὐτοτελής ἀγωγιμότητα, ή δποία ἐμφανίζεται κυρίως ως ἐκκένωση τόξου καὶ ώς ἐκκένωση αἰγλης.

Ἡ ἐκκένωση τόξου παρατηρεῖται καὶ μέσα σέ ἀέρια μέ τή συνηθισμένη πίεση. Παράδειγμα τέτοιας ἐκκενώσεως είναι ὁ ἡλεκτρικός σπινθήρας.

Ἡ ἐκκένωση αἰγλης συμβαίνει πάντοτε μέσα σέ ἀέρια μέ μικρή πίεση καὶ τότε στά δύο ἡλεκτρόδια τοῦ σωλήνα Geissler ἐφαρμόζεται ἀρκετά μεγάλη τάση.

α. Μελέτη τῆς ἐκκενώσεως αἰγλης. Είναι γνωστό δτι ή ἐκκένωση αἰγλης δφείλεται σέ λονσμό τοῦ ἀερίου, δποίος προκαλεῖται ἀπό τίς συνεχεῖς συγκρούσεις ἡλεκτρονίων μέ τά ἄτομα (ἢ μόρια) τοῦ ἀερίου.

Τό ἀέριο πού φωτοβολεῖ σχηματίζει τή θετική στήλη ή δποία ἐκτείνεται στό μεγαλύτερο τμῆμα τοῦ σωλήνα, ἀλλά δέν φτάνει ώς τήν κάθοδο (σχ. 98). Μέσα στό σωλήνα ἐμφανίζονται δύο σκοτεινές περιοχές, δ σκοτεινός χῶρος τοῦ Crookes καὶ ὁ σκοτεινός χῶρος τοῦ Faraday, δπως φαί-



Σχ. 98. Σχηματική παράσταση τῆς ἐκκενώσεως αἰγλης.

1 καθοδική ἐπιδερμίδα. 2 σκοτεινός χῶρος Crookes. 3 ἀρνητική αἰγλη. 4 σκοτεινός χῶρος Faraday. 5 θετική στήλη. 6 ἀνοδική ἐπιδερμίδα.

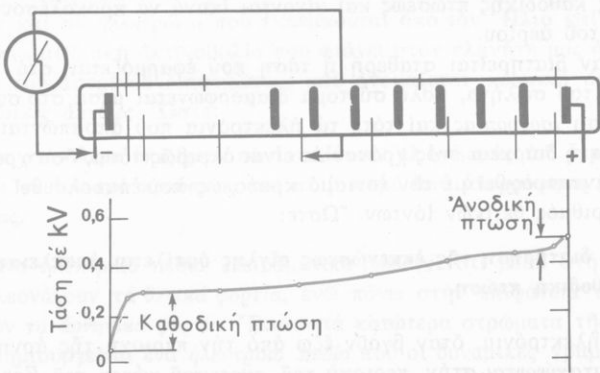
νεται στό σχῆμα. 'Ανάμεσα σ' αὐτές τίς δύο σκοτεινές περιοχές υπάρχει ένα φωτεινό στρώμα (μέ κυανό χρῶμα γιά τὸν ἀέρα) πού δονομάζεται ἀρνητική αἴγλη.

β. Κατανομή τῆς τάσεως μεταξύ τῆς ἀνόδου καὶ τῆς καθόδου. "Αν μέσα στό σωλήνα δέν ύπηρχε ἀέριο, τότε μεταξύ τῆς ἀνόδου καὶ τῆς καθόδου θά σχηματιζόταν ὁμογενές ἡλεκτρικό πεδίο. Κατά τὴν ἐκκένωση αἰγλης μέσα στό σωλήνα δημιουργοῦνται φορεῖς ἡλεκτρικῶν φορτίων (ἡλεκτρόνια, ιόντα), δηλαδή δημιουργοῦνται φορτία χώρου. "Αν οἱ ἡλεκτρικοί φορεῖς πού διάρχουν μέσα στό στοιχειώδη δγκο ΔV ἔχουν φορτίο ΔQ , τότε ή πυκνότητα (ρ) τῶν φορτίων χώρου εἶναι $\rho = \Delta Q / \Delta V$. 'Η παρουσία τῶν φορτίων χώρου μέσα στό σωλήνα τροποποιεῖ σημαντικά τό ἡλεκτρικό πεδίο.

Γιά νά βροῦμε πᾶς κατανέμεται ή τάση μεταξύ τῶν δύο ἡλεκτροδίων τοῦ σωλήνα, υπάρχουν στερεωμένα πάνω στό σωλήνα μικρά ἡλεκτρόδια. Μέ ένα ἡλεκτρόμετρο βρίσκουμε τὴν τιμή τοῦ δυναμικοῦ στά διάφορα σημεῖα τοῦ ἡλεκτρικοῦ πεδίου. 'Από τίς μετρήσεις παίρνουμε τὴν καμπύλη τοῦ σχήματος 99 ή όποια δείχνει δτι ἐμπρός ἀπό τὴν κάθοδο παρατηρεῖται μιά ἀπότομη πτώση τῆς τάσεως πού δονομάζεται καθοδική πτώση. Στὴν περιοχή τῆς καθοδικῆς πτώσεως ή ἔνταση Ε τοῦ ἡλεκτρικοῦ πεδίου λαβαίνει μεγάλες τιμές, σύμφωνα μέ τὴν ἐξίσωση $E = \Delta U / \Delta l$.

'Επίσης ἐμπρός ἀπό τὴν ἄνοδο παρατηρεῖται καὶ μιά ἄλλη ἀπότομη πτώση τῆς τάσεως, ή όποια δονομάζεται ἀνοδική πτώση καὶ εἶναι ἀσθενέστερη ἀπό τὴν καθοδική πτώση. Καὶ στὴν περιοχὴ τῆς ἀνοδικῆς πτώσεως ή ἔνταση Ε τοῦ ἡλεκτρικοῦ πεδίου εἶναι αὐξημένη.

'Η κατανομὴ τοῦ δυναμικοῦ, ή όποια βρήκαμε δτι ἐπικρατεῖ κατά μῆ-



Σχ. 99 Μεταβολή τῆς τάσεως κατά μῆκος τοῦ σωλήνα Geissler.

κος τοῦ σωλήνα, φανερώνει ότι κατά τήν ἐκκένωση αἰγλης παραμορφώνεται τὸ ἡλεκτρικό πεδίο πού δημιουργεῖται μεταξύ τῶν δύο ἡλεκτροδίων καὶ ἔτσι τὸ ἡλεκτρικό πεδίο παύει νά είναι όμογενές.

γ. Ἐρμηνεία τῆς κατανομῆς τῆς τάσεως κατά τήν ἐκκένωση αἰγλης. Τά ἡλεκτρόνια πού βγαίνουν ἀπό τήν κάθοδο ἐπιταχύνονται κυρίως μέσα στό σκοτεινό χῶρο τοῦ Crookes (περιοχή 2 στό σχῆμα 98) καὶ ὅταν βγαίνουν ἀπό αὐτό τὸ χῶρο ἔχουν ἀποκτήσει τόσο μεγάλη ταχύτητα, ώστε κατά τήν σύγκρουσή τους μέ τά μόρια τοῦ ἀερίου στήν περιοχή τῆς ἀρνητικῆς αἰγλης (περιοχή 3 στό σχῆμα 98) προκαλοῦν τά ἔξης φαινόμενα:

- διέγερση πολλῶν μορίων, τά δποια ἀναγκάζονται νά ἐκπέμπουν φωτεινή ἀκτινοβολία·
- ἴονισμό πολλῶν μορίων καὶ τότε σχηματίζονται ἡλεκτρόνια καὶ θετικά ίόντα.

Τά ἡλεκτρόνια πού παράγονται, ἐπειδή ἔχουν μικρότερη μάζα, ἀποχωροῦν γρήγορα ἀπό τήν περιοχή πού σχηματίστηκαν καὶ ἔτσι στήν περιοχή τῆς ἀρνητικῆς αἰγλης δημιουργεῖται μιά συγκέντρωση θετικῶν ἰόντων. Σ' αὐτή τήν αἵτια ὀφείλεται ή παρατηρούμενη γρήγορη αὔξηση τῆς τάσεως πού ὑπάρχει μεταξύ τῆς καθόδου καὶ τῆς ἀρνητικῆς αἰγλης καὶ ἐπομένως ή δημιουργία τῆς καθοδικῆς πτώσεως.

Ἡ καθοδική πτώση συντελεῖ στή διατήρηση τῆς ἐκκενώσεως κατά δύο τρόπους:

α) ἡ καθοδική πτώση ἐπιταχύνει τά θετικά ίόντα πού πέφτουν πάνω στήν κάθοδο καὶ τά κάνει ίκανά νά προκαλέσουν τήν ἔξοδο ἡλεκτρονίων ἀπό τήν κάθοδο·

β) τά ἡλεκτρόνια πού ζεφεύγουν ἀπό τήν κάθοδο ἐπιταχύνονται ἔξαιτίας τῆς καθοδικῆς πτώσεως καὶ γίνονται ίκανά νά προκαλέσουν ἴονισμό μορίων τοῦ ἀερίου.

“Οταν διατηρεῖται σταθερή ἡ τάση πού ἐφαρμόζεται στά δύο ἡλεκτρόδια τοῦ σωλήνα, πολὺ σύντομα διαμορφώνεται μέσα στό σωλήνα μιά κατάσταση ἴσορροπίας καὶ τότε τά ἡλεκτρόνια πού ἀποσπόνται ἀπό τήν κάθοδο στή διάρκεια ἐνός χρόνου Δτ είναι ἀκριβῶς τόσα, ὅσα χρειάζονται, γιά νά ἀναπαραχθεῖ μέ τόν ἴονισμό κρούσεως πού ἐπακολουθεῖ, ὁ ἀπαραίτητος ἀριθμός θετικῶν ίόντων. “Ωστε:

Ἡ διατήρηση τῆς ἐκκενώσεως αἰγλης ὀφείλεται ἀποκλειστικά στήν καθοδική πτώση.

Τά ἡλεκτρόνια, ὅταν βγοῦν ἔξω ἀπό τήν περιοχή τῆς ἀρνητικῆς αἰγλης, ἐπιταχύνονται στήν περιοχή τοῦ σκοτεινοῦ χώρου τοῦ Faraday (περιοχή 4 στό σχῆμα 98), ἀλλά ἐκεῖ ἐπικρατεῖ ἀσθενές ἡλεκτρικό πεδίο.

Στήν περιοχή τῆς θετικῆς στήλης (περιοχή 5 στό σχῆμα 98) κινοῦνται μέ σχετικά μικρές ταχύτητες θετικά λόντα πού κατευθύνονται πρός τήν κάθοδο και ἀρνητικά λόντα και ἡλεκτρόνια πού κατευθύνονται πρός τήν ἄνοδο. Τά σωματίδια πού κινοῦνται μέσα σ' αὐτή τήν περιοχή συγκρούονται μέ μόρια τοῦ ἀερίου και προκαλοῦν τή διέγερσή τους. "Ετσι δημιουργεῖται ή θετική στήλη πού φωτοβολεῖ.

Στό χώρο ἐμπρός ἀπό τήν ἄνοδο ἐπικρατοῦν τά ἡλεκτρόνια πού κινοῦνται πρός τήν ἄνοδο. Σ' αὐτή τήν αἰτία δφείλεται ή παρατηρούμενη ἀνοδική πτώση ἐμπρός ἀπό τήν ἄνοδο.

Τά ἡλεκτρόνια πού κινοῦνται πρός τήν ἄνοδο προκαλοῦν διέγερση τῶν μορίων τοῦ ἀερίου, τά όποια βρίσκονται κοντά στήν ἄνοδο, και ἔτσι ἐμπρός ἀπό τήν ἄνοδο σχηματίζεται ἔνα λεπτό φωτεινό στρόμα, ή ἀνοδική ἐπιδερμίδα (σχ. 98).

45^ο: Γήινο ἡλεκτρικό πεδίο

α. 'Ιονισμός τοῦ ἀέρα. Μέσα στόν ἀέρα ὑπάρχουν πάντοτε λόντα. Αὐτό φαίνεται ἀπό τό γεγονός δτι, ἂν μέσα στόν ἀέρα ἀφήσουμε ἔνα φορτισμένο και μονωμένο ἡλεκτροσκόπιο, αὐτό ἔπειτα ἀπό λίγο χρόνο χάνει τό θετικό ή ἀρνητικό φορτίο του. 'Ο ιονισμός τοῦ ἀέρα δφείλεται σέ συγκρούσεις τῶν μορίων του μέ σωματίδια κινούμενα μέ μεγάλη ταχύτητα ή σέ ἀπορρόφηση ἀκτινοβολίας ἀπό τά μόρια του.

'Ο ἀριθμός τῶν λόντων πού ὑπάρχουν μέσα στόν ἀέρα μεταβάλλεται μέ τό ὑψος πάνω ἀπό τήν ἐπιφάνεια τῆς Γῆς. Σέ ὑψος πάνω ἀπό 100 km ὑπάρχει ἔνα στρόμα τῆς ἀτμόσφαιρας πού παρουσιάζει ίσχυρό ιονισμό και δονομάζεται ιονόσφαιρα. Αὐτός δ ιονισμός δφείλεται στίς ὑπεριώδεις ἀκτινοβολίες και σέ ἡλεκτρόνια πού ἐκπέμπονται ἀπό τόν "Ηλιο και σέ μιά ίδιαίτερη σωματιδιακή ἀκτινοβολία πού φτάνει στόν πλανήτη μας ἀπό δόλα τά σημεῖα τοῦ ἀστρικοῦ διαστήματος και δονομάζεται κοσμική ἀκτινοβολία ή κοσμικές ἀκτίνες. "Ωστε:

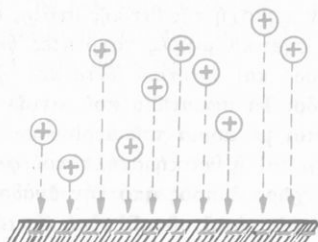
Μέσα στόν ἀέρα ὑπάρχουν πάντοτε λόντα. 'Ο ιονισμός τοῦ ἀέρα δφείλεται σέ ιονισμό κρούσεως και σέ ιονισμό ἀπό ἀπορρόφηση ἀκτινοβολίας.

β. Γήινο ἡλεκτρικό πεδίο. Πειραματικά βρέθηκε δτι μέσα στήν ἀτμόσφαιρα πλεονάζουν τά θετικά φορτία, ἐνῶ πάνω στήν ἐπιφάνεια τῆς Γῆς πλεονάζουν τά ἀρνητικά φορτία. "Ετσι στά κατώτερα στρώματα τῆς ἀτμόσφαιρας δημιουργεῖται ἔνα ἡλεκτρικό πεδίο πού οἱ δυναμικές γραμμές του είναι κάθετες στήν ἐπιφάνεια τῆς Γῆς και ἔχουν φορά ἀπό πάνω πρός τά κάτω (σχ. 100). Στήν ἐπιφάνεια τῆς θάλασσας ή ἔνταση τοῦ ἡλεκτρικοῦ

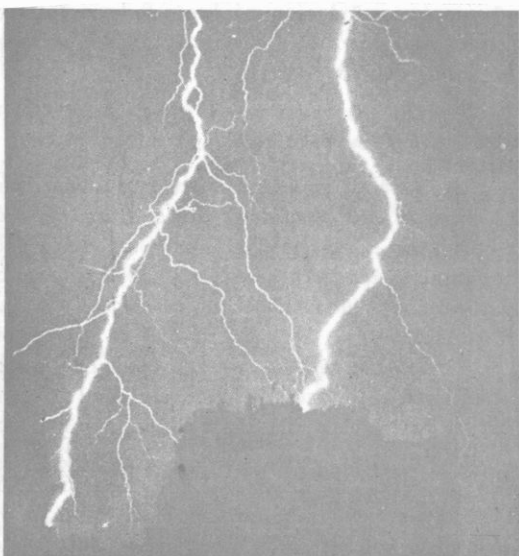
πεδίου είναι περίπου 1ση μέ 130 V/m. Η ένταση τοῦ ήλεκτρικοῦ πεδίου ἐλαττώνεται μέ τό ὄψος πάνω ἀπό τὴν ἐπιφάνεια τῆς Γῆς.

Μέ τὴν ἐπίδραση τοῦ γήινου ήλεκτρικοῦ πεδίου τὰ θετικά ίόντα πού οὐπάρχουν στήν ἀτμόσφαιρα κινοῦνται πρὸς τὴν ἐπιφάνεια τῆς Γῆς. Αλλά τὰ θετικά φορτία πού οὐπάρχουν στήν ἀτμόσφαιρα καὶ τὰ ἀρνητικά φορτία πού οὐπάρχουν στήν ἐπιφάνεια τῆς Γῆς δέν ἔξαφανίζονται, γιατί συνεχῶς ἀναπληρώνονται ἀπό νέα ήλεκτρικά φορτία. Δέν ἔρομε ἀκόμη τελείως μὲ ποιό μηχανισμό γίνεται συνεχῶς ἡ ἀναπλήρωση τῶν ήλεκτρικῶν φορτίων πού δημιουργοῦν τὸ γήινο ήλεκτρικό πεδίο. Σάν μιά σημαντική αἰτία συνεχοῦς παραγωγῆς θετικῶν φορτίων στήν ἀτμόσφαιρα, καὶ

ἀρνητικῶν φορτίων στήν ἐπιφάνεια τῆς Γῆς μποροῦμε νά θεωρήσουμε τοὺς κεραυνούς. Υπολογίζεται ὅτι κάθε δευτερόλεπτο πέφτουν στήν ἐπιφάνεια τῆς Γῆς 100 κεραυνοί, πού είναι ρεύματα μέ 1σην την πολλῶν χιλιάδων ἀμπέρ (σχ. 101). Οἱ κεραυνοί μεταφέρουν στήν ἐπιφάνεια τῆς γῆς ηλεκτρόνια καὶ ἔτσι ἀπομένουν μέσα στήν ἀτμόσφαιρα θετικά φορτία. “Ωστε :



Σχ. 100. Τὸ γήινο ήλεκτρικό πεδίο.



Σχ. 101. Οἱ κεραυνοί μεταφέρουν στό 1σδαφος ἀρνητικά ήλεκτρικά φορτία.

I. Τό γήινο ήλεκτρικό πεδίο δφείλεται στά θετικά φορτία πού υπάρχουν μέσα στήν άτμοσφαιρα και στά άρνητικά φορτία πού υπάρχουν στήν έπιφάνεια τῆς Γῆς.

II. Διάφορα αίτια συντελούν στή διατήρηση τοῦ γήινου ήλεκτρικοῦ πεδίου.

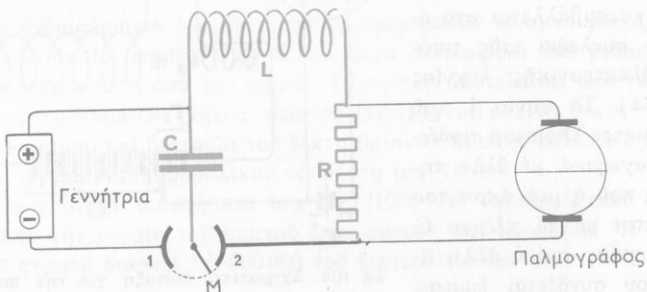
· Αμείωτες ήλεκτρικές ταλαντώσεις

46. · Αμείωτες ήλεκτρικές ταλαντώσεις

"Ενα κύκλωμα ταλαντώσεων (κύκλωμα Thomson) άποτελεῖται από πυκνωτή μέχι χωρητικότητα C και από πηνίο μέ συντελεστή αύτεπαγωγῆς L (σχ. 102). Κατά σειρά μέ τόν πυκνωτή και τό πηνίο συνδέεται μιά μεταβλητή ώμική άντισταση R . Τό κύκλωμα συνδέεται μέ ήλεκτρονικό παλμογράφο και μέ αύτόν παρακολουθούμε τίς μεταβολές τῆς έντασεως τοῦ ρεύματος σέ συνάρτηση μέ τό χρόνο μέσα στό κύκλωμα RLC .

"Οταν δι μεταγωγός M έρχεται σέ έπαφή μέ τόν άκροδέκτη 1, δι πυκνωτής φορτίζεται. "Οταν φέρουμε τό μεταγωγό M σέ έπαφή μέ τόν άκροδέκτη 2, δι πυκνωτής έκφορτίζεται και τότε τό πηνίο και ή άντισταση R διαρρέονται από ρεῦμα.

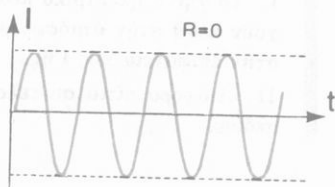
"Ελαττώνοντας συνεχῶς τήν ώμική άντισταση R παρατηροῦμε δι, οταν ή άντισταση R γίνει πολύ μικρή ώστε νά θεωρείται άσημαντη ($R \approx 0$),



Σχ. 102. Σχηματική διάταξη γιά τή μελέτη τῆς έκφορτίσεως τοῦ πυκνωτῆ μέσα στό κύκλωμα RLC .

στό κύκλωμα ταλαντώσεων κυκλοφορεῖ ἐναλλασσόμενο ρεῦμα πού τό πλάτος του I_0 διατηρεῖται σταθερό (σχ. 103). "Ωστε:

"Οταν ή ώμικη ἀντίσταση (R) τοῦ κυκλώματος ταλαντώσεων είναι ίση με μηδέν, τότε στό κύκλωμα παράγεται ἀμείωτη ηλεκτρική ταλάντωση.

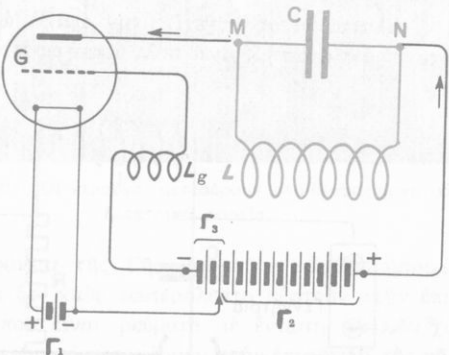


Σχ. 103. Μέσα στό κύκλωμα RLC δημιουργεῖται ἀμείωτη ηλεκτρική ταλάντωση.

47. Παραγωγή ἀμείωτων ηλεκτρικῶν ταλαντώσεων

Στίς ἑφαρμογές χρησιμοποιοῦμε τίς ἀμείωτες ηλεκτρικές ταλαντώσεις. Σέ εἶνα ιδανικό κύκλωμα ταλαντώσεων ($R \approx 0$) δέν ὑπάρχουν ἀπώλειες ἐνέργειας καὶ διαδοχικά ή ἐνέργεια τοῦ ηλεκτρικοῦ πεδίου $\frac{1}{2} CU^2$ μετατρέπεται σέ ἐνέργεια τοῦ μαγνητικοῦ πεδίου $\frac{1}{2} LI^2$ καὶ ἀντίστροφα.

Στήν πραγματικότητα σέ κάθε κύκλωμα ταλαντώσεων συμβαίνουν ἀπώλειες ἐνέργειας (κυρίως ἔξαιτίας τοῦ φαινομένου Joule). Ἐπομένως, γιά νά παραχθοῦν μέσα σέ ἔνα κύκλωμα ταλαντώσεων ἀμείωτες ηλεκτρικές ταλαντώσεις, πρέπει μέσα σέ κάθε περίοδο καὶ σέ μιά δρισμένη χρονική στιγμή νά προσφέρεται ἀπέξω στό κύκλωμα τόση ἀκριβῶς ἐνέργεια, δση ἀπορρόφησαν οἱ διάφορες ἀπώλειες κατά τήν ἀμέσως προηγούμενη περίοδο. Αὐτό τό πετυχαίνουμε μέ τόν ἔξῆς τρόπο: Τό κύκλωμα ταλαντώσεων παρεμβάλλεται στό ἀνοδικό κύκλωμα μιᾶς τριόδου ηλεκτρονικῆς λυχνίας (σχ. 104). Τό πηνίο L τοῦ κυκλώματος Thomson συνδέεται ἐπαγωγικά μέ ἄλλο πηνίο Lg πού ή μιά ἄκρη του συνδέεται μέ τό πλέγμα G τής λυχνίας καὶ ή ἄλλη ἄκρη του συνδέεται ἔμμεσα μέ τήν κάθοδο K . Τό πηνίο Lg δονομάζεται πηνίο ἀναδρά-



Σχ. 104. Σχηματική διάταξη γιά τήν παραγωγή ἀμείωτων ηλεκτρικῶν ταλαντώσεων. Τό πηνίο ἀναδράσεως Lg δημιουργεῖ ρυθμικά ρευματικές ὀθόνσεις στό κύκλωμα RLC.

σεως. "Οταν κλείσει τό άνοδικό κύκλωμα, δι πυκνωτής φορτίζεται καὶ μέσα στό κύκλωμα Thomson παράγεται ήλεκτρική ταλαντώση πού ἔχει συχνότητα v_0 μέ τήν ίδιοσυχνότητα v_0 τοῦ κυκλώματος. Τότε στίς ἄκρες τοῦ πηγίου άναδράσεως Lg άναπτύσσεται ἀπό ἐπαγωγή ἐναλλασσόμενη τάση πού ἔχει συχνότητα v_0 μέ τήν συχνότητα v_0 τῆς ήλεκτρικῆς ταλαντώσεως. Αὐτές οἱ ἐναλλαγές τῆς τάσεως ἐπηρεάζουν μέ τόν ίδιο ρυθμό τήν τάση Ug πού υπάρχει μεταξύ τοῦ πλέγματος καὶ τῆς καθόδου (τάση πλέγματος) καὶ, ἐπομένως, τό άνοδικό ρεῦμα δέχεται ρυθμικά ἐνισχύσεις. "Ετσι ρυθμικά ἀναπληρώνονται οἱ ἀπώλειες ἐνέργειας πού συμβαίνουν στό κύκλωμα Thomson στή διάρκεια κάθε περιόδου (ὅπως σέ ἔνα ἐκκρεμές ρολογιοῦ οἱ ρυθμικές ώθήσεις ἀναπληρώνουν τήν ἀπώλεια ἐνέργειας μέσα σέ κάθε περίοδο).

Μέ τό σύστημα άναδράσεως παράγονται ἀμείωτες ήλεκτρικές ταλαντώσεις πού ή συχνότητά τους μπορεῖ νά φτάσει ὡς 10^8 Hz (ὅπλαδή 100 MHz). Οι ἀμείωτες ήλεκτρικές ταλαντώσεις είναι ήμιτονοειδή ρεύματα πού ή συχνότητά τους v_0 είναι ίση μέ τήν ίδιοσυχνότητα τοῦ κυκλώματος ταλαντώσεων καὶ ἐπομένως είναι:

$$v_0 = \frac{1}{2\pi/\sqrt{LC}}$$

Στή ραδιοφωνία, τήν τηλεόραση καὶ τό ραντάρ χρησιμοποιούνται ἀμείωτες ήλεκτρικές ταλαντώσεις πού ἔχουν συχνότητες ἀπό 10^8 ὡς 10^{10} Hz. Γι' αὐτές τίς πολὺ ψηλές συχνότητες χρησιμοποιούμε εἰδικές διατάξεις πού ταυτόχρονα παίζουν τό ρόλο τοῦ κυκλώματος ταλαντώσεων καὶ τοῦ συστήματος άναδράσεως.

48*: Ραντάρ

Μιά ἐνδιαφέρουσα ἐφαρμογή τῶν μικροκυμάτων είναι τό ραντάρ (radar*) μέ τό δόποιο μποροῦμε νά ἐντοπίσουμε ἀντικείμενα πού βρίσκονται σέ μεγάλη ἀπόσταση ἀπό τόν πομπό. Τό ραντάρ ἀποτελεῖται ἀπό τόν πομπό τῶν μικροκυμάτων (μῆκος κύματος 0,5 ὡς 133 cm) καὶ τό δέκτη. Ή κεραία τοῦ πομποῦ καὶ ή κεραία τοῦ δέκτη βρίσκονται στήν έστια ἐνός ἀντίστοιχου μεταλλικοῦ παραβολικοῦ καθρέφτη (σχ. 105).

Κατά χρονικά διαστήματα ίσα μέ 1/1000 τοῦ δευτερολέπτου ἐκπέμπεται ἀπό τήν κεραία τοῦ πομποῦ ἔνας συρμός μικροκυμάτων. Ή ἐκπομπή τοῦ συρμοῦ διαρκεῖ 1/1 000 000 τοῦ δευτερολέπτου.

* Διεθνής δρος ἀπό τά ἀρχικά γράμματα τῶν λέξεων: RAdio Detection And Ranging.

Τά μικροκύματα διαδίδονται εύθυγραμμα και δταν πέσουν πάνω σέ ένα άντικείμενο, άνακλωνται και έπιστρέφουν στό δέκτη. Αυτός άποτελείται από κατάλληλο ένισχυτή και από ένα σωλήνα Braun.

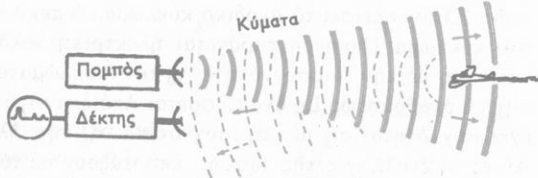
"Οταν δο πομπός δέν έκπεμπει μικροκύματα, τό φωτεινό σημείο διαγράφει πολύ γρήγορα πάνω στήν δόθόνη τοῦ δέκτη μιά δριζόντια γραμμή. Τή στιγμή πού φεύγουν τά μικροκύματα από τόν πομπό καθώς και τή στιγμή πού τά μικροκύματα φτάνουν στό δέκτη τό φωτεινό σημείο έκτρεπεται απότομα πρός τά πάνω και έτσι έμφανίζονται δύο αίχμες. Ή πρώτη άντιστοιχεῖ στήν έκπομπή και ή δεύτερη στήν αφιξή τῶν μικροκυμάτων. Ή απόσταση μεταξύ τῶν δύο αίχμῶν είναι άνάλογη μέ τό χρόνο πού μεσολάβει μεταξύ τῆς έκπομπῆς και τῆς λήψεως τῶν μικροκυμάτων. Ο χρόνος αυτός είναι άνάλογος μέ τήν απόσταση τοῦ πομποῦ από τό στόχο πού προκαλεῖ τήν άνάκλαση τῶν μικροκυμάτων. Έτσι ή απόσταση μεταξύ τῶν δύο αίχμῶν πάνω σέ μιά κλίμακα δίνει άμεσως τήν απόσταση τοῦ στόχου από τόν πομπό.

"Η διεύθυνση τοῦ στόχου καθορίζεται εύκολα, γιατί ή κατευθυνόμενη δέσμη τῶν μικροκυμάτων μπορεῖ νά κατευθύνεται πρός διάφορες διευθύνσεις μέ περιστρεφόμενς κεραίες.

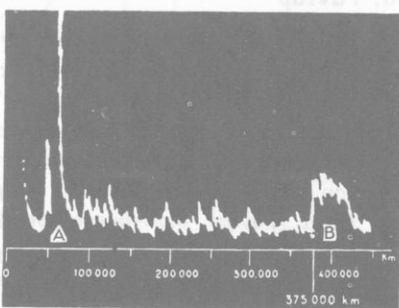
Τά μικροκύματα περνοῦν μέσα από τά σύννεφα, και τήν διμίχλη Μέ έναν εἰδικό τύπο ραντάρ μποροῦμε νά λάβουμε πάνω στήν δόθόνη τήν εἰκόνα μιᾶς περιοχῆς (π.χ. λιμανιοῦ, άεροδρομίου).

Τά ραντάρ έχουν σήμερα πολλές έφαρμογές. Τά χρησιμοποιοῦμε γιά νά έπιστημαίνουμε πλοϊα ή άεροπλάνα, γιά νά βοηθήσουμε τά άεροπλάνα κατά τήν προσγείωσή τους ή τά πλοϊα κατά τήν είσοδό τους στό λιμάνι σέ καιρό διμίχλης κ.λ. Μεγάλες ίπτηρεσίες προσφέρει τό ραντάρ στίς ένοπλες δυνάμεις.

Παρατήρηση. Ή πρώτη έπα-



Σχ.105. Σχηματική παράσταση τῆς λειτουργίας τοῦ ραντάρ.



Σχ.105 Ή πρώτη έπαφή μας μέ τή Σελήνη. (Α άναχώρηση τοῦ σήματος, Β αφιξή τοῦ σήματος στό δέκτη).

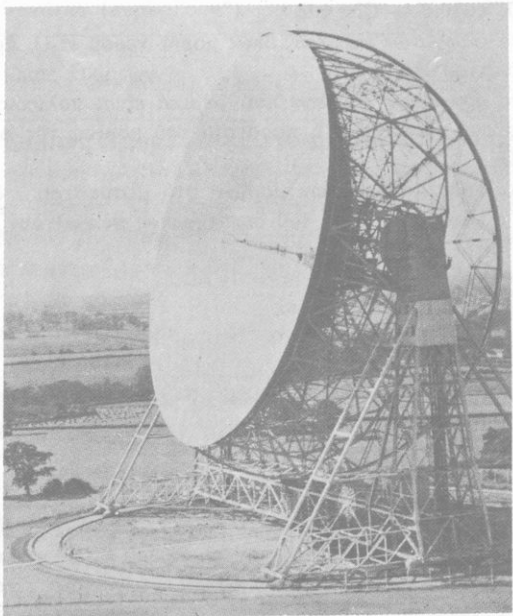
φή μας μέ τήν Σελήνην έγινε μέ μικροκύματα (1947), τά όποια πάνω στήν έπιφανειά της έπαθαν άνακλαση και ξαναγύρισαν στό δέκτη (σχ. 105α).

49*. Ραδιοαστρονομία

Μιά έφαρμογή τῶν έρτζιανῶν κυμάτων είναι δι κλάδος τῆς Ἀστροφυσικῆς πού δονομάζεται *Ραδιοαστρονομία*. Αὐτή χρησιμοποιεῖ τά *ραδιοτηλεσκόπια* πού είναι μεγάλοι παραβολικοί καθρέφτες, οι δόποιοι στήν έστια τους έχουν μιά κεραία δέκτη έρτζιανῶν κυμάτων.

Tά κοσμικά ραδιοκύματα πού περνοῦν μέσα ἀπό τήν άτμοσφαιρα, ἀποτελοῦν δένα μεγάλο φάσμα ήλεκτρομαγνητικῶν ἀκτινοβολιῶν πού έχουν μήκη κύματος ἀπό 1 cm ώς 100 m, ἐνῶ οἱ δρατες ἀκτινοβολίες στίς δόποις εἰς βασίζεται η διπτική ἔρευνα τοῦ οὐρανοῦ, σχηματίζουν δένα πολύ μικρό φάσμα ἀκτινοβολιῶν μέ μήκη κύματος ἀπό 0,8 μμ ώς 0,4 μμ.

Ορισμένα κοσμικά ραδιοκύματα προέρχονται ἀπό τόν "Ηλιο, ἀλλά τά περισσότερα προέρχονται ἀπό ραδιοπομπούς πού βρίσκονται σέ διάφορα σημεῖα τοῦ Γαλαξία και δονομάζονται *ραδιοαστέρες*.



Σχ. 106 Τό ραδιοτηλεσκόπιο στό Jodrell Bank ('Αγγλία).

Πολλοί από τους γνωστούς ραδιοπομπούς είναι έξωγαλαξιακοί και ή ένταση τής άκτινοβολίας τους είναι πολύ μεγάλη. Αυτοί οι ραδιοπομποί δύναμάζονται ραδιογαλαξίες και είναι ιδιόμορφοι νεφελοειδεῖς (σχ. 107).

a. Η ψλη στό μεσοαστρικό διάστημα. Μέσα στό χώρο πού υπάρχει μεταξύ τῶν άστερων τοῦ Γαλαξία υπάρχουν τεράστια σκοτεινά σύννεφα κοσμικῆς ψλης πού άποτελούνται από άερια. Αυτά, ἐπειδή ἔχουν πολύ χαμηλή θερμοκρασία, δέν ἐκπέμπουν δρατές άκτινοβολίες, ἐκπέμπουν δμως δρισμένα ραδιοκύματα. Ἐτσι ἀνακαλύψαμε δτι στά σύννεφα κοσμικῆς ψλης υπάρχουν:

1. ἄτομα υδρογόνου, ἄνθρακα, δξυγόνου, ἀζώτου.
2. ἐλεύθερες ρίζες, δπως υδροξύλιο — OH, μονοξείδιο τοῦ ἄνθρακα > CO, κυάνιο — CN κ.ἄ.
3. Μόρια ἀνόργανων ἐνώσεων, δπως μόρια νεροῦ H₂O, ἀμμωνίας NH₃, υδροκυάνιου HCN κ.ἄ.
4. Μόρια δργανικῶν ἐνώσεων πού μερικά είναι πολύπλοκα: Ιδιαίτερο ἐνδιαφέρον προυσιάζει ή παρουσία τοῦ μορίου τῆς φορμαλδεΰδης, HCHO.

Ἡ ἀνακάλυψη πολύπλοκων μορίων στό μεσοαστρικό διάστημα φανερώνει δτι σ' αὐτό τό χώρο τοῦ διαστήματος συμβαίνουν χημικές ἀντιδράσεις.



Σχ. 107. Ὁ ραδιογαλαξίας M 87 είναι ἀπό τους ισχυρότερους ραδιοπομπούς τοῦ ουρανοῦ.

ΑΤΟΜΙΚΗ ΚΑΙ ΠΥΡΗΝΙΚΗ ΦΥΣΙΚΗ

ΑΤΟΜΙΚΗ ΦΥΣΙΚΗ

Τά ήλεκτρόνια γύρω από τόν πυρήνα

50. Φάσμα έκπομπής τοῦ άτομου ύδρογόνου

Τό δρατό φάσμα έκπομπής τοῦ ύδρογόνου άποτελεῖται μόνο άπό τέσσερις άκτινοβολίες πού άντιστοιχούν σέ δρισμένα μήκη κύματος. Στή φασματοσκοπία, γιά τόν καθορισμό μιᾶς άκτινοβολίας πού έχει μῆκος κύματος λ καί συχνότητα ν, χρησιμοποιούμε τό μέγεθος $1/\lambda$ πού δνομάζεται άριθμός κυμάτων (σύμβολο v^*).

$$\text{άριθμός κυμάτων} \quad v^* = \frac{1}{\lambda} \quad \text{ή} \quad v^* = \frac{c}{v}$$

Από τήν έξισωση δρισμοῦ $v^* = 1/\lambda$ βρίσκουμε ότι μονάδα άριθμοῦ κυμάτων είναι τό 1 m⁻¹.

α. 'Η σειρά Balmer. 'Ο Balmer πειραματικά βρήκε ότι ή θέση τῶν δρατῶν γραμμῶν τοῦ φάσματος τοῦ ύδρογόνου (σειρά Balmer) σέ συνάρτηση μέ τόν άριθμό κυμάτων δίνεται άπό τόν άκόλουθο τύπο τοῦ Balmer :

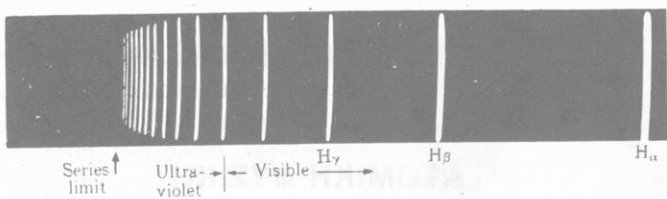
$$\text{τύπος τοῦ Balmer} \quad v^* = R_H \cdot \left(\frac{1}{2^2} - \frac{1}{n^2} \right)$$

δπου n είναι άκέραιος άριθμός μεγαλύτεος άπό 2 ($n > 2$) καί R_H είναι η σταθερή Rydberg πού έχει τήν τιμή :

$$\text{σταθερή Rydberg} \quad R_H = 10\,974 \cdot 10^3 \text{ m}^{-1}$$

Ό άριθμός π δείχνει τήν τάξη τῆς φασματικῆς γραμμῆς. "Όταν ο άριθμός n τείνει πρός τό ἄπειρο ($n \rightarrow \infty$) τότε ο άριθμός κυμάτων τείνει πρός τήν δριακή τιμή :

$$\text{δριακή φασματική} \quad v^* = \frac{R_N}{4} \\ \text{γραμμή}$$



Σχ. 108. Φωτογραφία τῶν δρατῶν γραμμῶν τοῦ φάσματος ἐκπομπῆς τοῦ ὑδρογόνου (σειρά Balmer).

Μέ αυτή τήν δριακή γραμμή κλείνει ἡ σειρά Balmer (σχ. 108). "Ωστε:

Ἡ σειρά Balmer ἀρχίζει ἀπό μιά δρισμένη φασματική γραμμή ($n = 3$) καὶ κλείνει μὲ μιά φασματική γραμμή, στήν δοπία ἀντιστοιχεῖ ἀριθμός κυμάτων $v^* = R_H/4$.

β. Οἱ πέντε σειρές τῶν φασματικῶν γραμμῶν τοῦ ὑδρογόνου. Ἡ πειραματικὴ ἔρευνα ἀνακάλυψε δτι τὸ ἄτομο ὑδρογόνου, ἐκτός ἀπό τή σειρά τῶν δρατῶν γραμμῶν, ἐκπέμπει καὶ ἄλλες τέσσερις σειρές φασματικῶν γραμμῶν, ἀπό τίς δοπίες ἡ μιά βρίσκεται στό ὑπεριώδες τμῆμα τοῦ φάσματος καὶ οἱ ἄλλες τρεῖς ἐμφανίζονται διαδοχικά στό ὑπέρθυρο τμῆμα τοῦ φάσματος τοῦ ὑδρογόνου. Σέ καθεμιά ἀπό αὐτές τίς τέσσερις φασματικές γραμμές ἀντιστοιχεῖ ἔνας τύπος ἀνάλογος μέ τόν τύπο τοῦ Balmer (βλ. πίνακα).

Οἱ πέντε σειρές τῶν φασματικῶν γραμμῶν τοῦ ὑδρογόνου

Τμῆμα τοῦ φάσματος	Όνομα τῆς σειρᾶς	Τύπος τῆς σειρᾶς.
Ὑπεριώδες	Lyman	$v^* = R_H \cdot \left(\frac{1}{1^2} - \frac{1}{n^2} \right)$ δπου $n = 2,3,4\dots$
Ὀρατό	Balmer	$v^* = R_H \cdot \left(\frac{1}{2^2} - \frac{1}{n^2} \right)$ δπου $n = 3,4,5\dots$
	Paschen	$v^* = R_H \cdot \left(\frac{1}{3^2} - \frac{1}{n^2} \right)$ δπου $n = 4,5,6\dots$
Ὑπέρθυρο	Brackett	$v^* = R_H \cdot \left(\frac{1}{4^2} - \frac{1}{n^2} \right)$ δπου $n = 5,6,7\dots$
	Pfund	$v^* = R_H \cdot \left(\frac{1}{5^2} - \frac{1}{n^2} \right)$ δπου $n = 6,7,8\dots$

γ. Γενική έξισωση τῶν φασματικῶν γραμμῶν τοῦ ὑδρογόνου. Ἀπό τήν πειραματική έρευνα καταλήξαμε στὸ ἀκόλουθο γενικό συμπέρασμα:

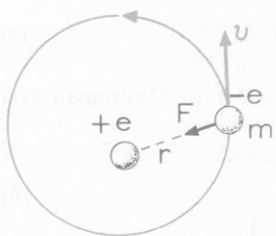
Τό ἄτομο ὑδρογόνου μπορεῖ νά ἐκπέμψει πέντε σειρές ἀκτινοβολιῶν, πού καθορίζονται ἀπό τή γενική έξισωση :

$$\text{ἀκτινοβολίες τοῦ} \quad v^* = R_H \cdot \left(\frac{1}{a^2} - \frac{1}{\beta^2} \right) \\ \text{ὑδρογόνου ἀτόμου}$$

ὅπου R_H εἶναι ἡ σταθερή Rydberg καὶ a καὶ β εἶναι ἀκέραιοι ἀριθμοί. Ἀπό τήν παραπάνω γενική έξισωση εύκολα προκύπτει ἡ έξισωση πού ἀντιστοιχεῖ σέ κάθε σειρά φασματικῶν γραμμῶν.

51. Κίνηση τοῦ ήλεκτρονίου τοῦ ἀτόμου ὑδρογόνου γύρω ἀπό τόν πυρήνα

α. Δυναμική ἐνέργεια τοῦ ήλεκτρονίου. Ὁ πυρήνας τοῦ ἀτόμου τοῦ ὑδρογόνου ἔχει θετικό φορτίο $Q = +e$ καὶ τό ήλεκτρόνιο διαγράφει γύρω ἀπό τόν πυρήνα κυκλική τροχιά πού ἔχει ἀκτίνα r (σχ. 109). Σέ ἀπόσταση r ἀπό τόν πυρήνα τό δυναμικό τοῦ ήλεκτρικοῦ πεδίου, πού δημιουργεῖ δύναμη, εἶναι ἵσο μέ:



$$U_r = \frac{1}{4\pi\epsilon_0} \cdot \frac{Q}{r} \quad \text{ἢ} \quad U_r = \frac{1}{4\pi\epsilon_0} \cdot \frac{e}{r}$$

"Οταν λοιπόν τό ήλεκτρόνιο, πού ἔχει φορτίο $-e$, περιφέρεται σέ ἀπόσταση r ἀπό τόν πυρήνα, τότε τό ήλεκτρόνιο ἔχει δυναμική ἐνέργεια :

$$E_{\delta uv} = U_r \cdot (-e) \quad \text{ἄρα}$$

$$E_{\delta uv} = - \frac{1}{4\pi\epsilon_0} \cdot \frac{e^2}{r} \quad (1)$$

"Η δυναμική ἐνέργεια τοῦ ήλεκτρονίου εἶναι ἵση μέ μηδέν μόνο σέ ἀπόσταση ἄπειρη ἀπό τόν πυρήνα ($r = \infty$). Μέσα στό ἄτομο ἡ δυναμική ἐνέργεια τοῦ ήλεκτρονίου ἔχει πάντοτε τιμή ἀρνητική.

β. Κινητική ἐνέργεια τοῦ ήλεκτρονίου. Πάνω στήν κύκλική τροχιά, ἀκτίνας r , τό ήλεκτρόνιο κινεῖται μέ ταχύτητα πού τό μέτρο τῆς v εἶναι

σταθερό και έπομένως τό ήλεκτρόνιο έχει κινητική ένέργεια:

$$E_{\delta v} = \frac{1}{2} m_e \cdot v^2 \quad (2)$$

δύναται να είναι η μάζα του ήλεκτρονίου. Τό φορτίο του πυρήνα έξασκει πάνω στό φορτίο του ήλεκτρονίου μια ξλεξη \vec{F} , πού τό μέτρο της, σύμφωνα μέ τό νόμο του Coulomb, είναι:

$$F = \frac{1}{4\pi\epsilon_0} \cdot \frac{(+e) \cdot (-e)}{r^2} \quad \text{άρα} \quad F = -\frac{1}{4\pi\epsilon_0} \cdot \frac{e^2}{r^2} \quad (3)$$

Αντή η δύναμη \vec{F} ένεργει πάνω στό ήλεκτρόνιο ως κεντρομόλος δύναμη πού τό μέτρο της είναι ίσο μέ:

$$F = -\frac{m_e \cdot v^2}{r} \quad (4)$$

Τό άρνητικό σημείο φανερώνει δτι η κεντρομόλος έπιτάχυνση έχει φορά πρός τό κέντρο του κύκλου (κεντρική κίνηση). Άπο τίς έξισώσεις (3) και (4) βρίσκουμε :

$$m_e \cdot v^2 = \frac{1}{4\pi\epsilon_0} \cdot \frac{e^2}{r} \quad (5)$$

Και άπο τίς έξισώσεις (2) και (5) βρίσκουμε δτι τό ήλεκτρόνιο έχει κινητική ένέργεια :

$$E_{kv} = \frac{1}{4\pi\epsilon_0} \cdot \frac{e^2}{2r} \quad (6)$$

γ. Ολική ένέργεια του ήλεκτρονίου. Τό ήλεκτρόνιο, κινούμενο πάνω στήν τροχιά του, έχει ολική ένέργεια :

$$E_{ol} = E_{\delta v} + E_{kv} \quad \text{άρα} \quad E_{ol} = -\frac{1}{4\pi\epsilon_0} \cdot \frac{e^2}{2r} \quad (7)$$

Τό άρνητικό σημείο δφείλεται στό δτι η δυναμική ένέργεια του ήλεκτρονίου (έξις. 1) είναι κατ' απόλυτη τιμή μεγαλύτερη από τήν κινητική ένέργεια του. Άπο τίς έξισώσεις (1) και (6) βρίσκουμε δτι κατ' απόλυτη τιμή είναι $E_{\delta v}/E_{kv} = 2$.

δ. Τροχιακή στροφορμή του ήλεκτρονίου. Τό ήλεκτρόνιο κινεῖται πάνω στήν κυκλική τροχιά του μέ σταθερή γωνιακή ταχύτητα ω και ταχύτητα $v = \omega \cdot r$. Τό ήλεκτρόνιο θεωρεῖται ως άλικό σημείο πού έχει μάζα m_e

καί ροπή άδρανείας $\Theta = m_e \cdot r^2$. Άρα τό ήλεκτρόνιο έχει στροφορμή που δονομάζεται *τροχιακή στροφορμή* καί έχει μέτρο (l) ίσο μέ:

$$l = \Theta \cdot \omega = m_e \cdot r^2 \cdot \omega \quad \text{άρα} \quad l = m_e \cdot v \cdot r \quad (8)$$

ε. Οι μεταβολές της όλικης ένέργειας τοῦ ήλεκτρονίου. Ή έξισωση (7) δείχνει ότι η όλική ένέργεια τοῦ ήλεκτρονίου μπορεῖ νά μεταβληθεῖ μόνο όταν μεταβάλλεται η άκτινα γ της κυκλικής τροχιας του. Οι μεταβολές της όλικης ένέργειας συμβαίνουν, όταν τό ήλεκτρόνιο *παίρνει* ένέργεια άποξω ή *ἀποθάλλει* ένέργεια μέ τή μορφή φωτονίου. Σ' αυτή τήν περίπτωση ισχύουν οι επόμενες δύο κβαντικές συνθήκες τοῦ Bohr.

I. Πρώτη συνθήκη τοῦ Bohr

Στό ατομού δρογόνου τό ήλεκτρόνιο μπορεῖ νά κινεῖται γύρω από τόν πυρήνα μόνο πάνω σέ όρισμένες *επιτρεπόμενες τροχιές* (κβαντικές τροχιές), στίς οποίες *άντιστοιχει* τροχιακή στροφορμή τοῦ ήλεκτρονίου *ΐση* μέ *άκεραιο πολλαπλάσιο* τοῦ $h/2\pi$.

πρώτη συνθήκη τοῦ Bohr	$m_e \cdot v \cdot r = n : \frac{h}{2\pi}$	(9)
---------------------------	--------------------------------------------	-----

δπου h είναι η *σταθερή* τοῦ Planck καί η *άκεραιος* *άριθμός* που δονομάζεται *κύριος κβαντικός άριθμός* καί μπορεῖ νά λάβει τίς τιμές από ένα ώς *ἄπειρο*.

κύριος κβαντικός άριθμός	$n = 1, 2, 3, 4 \dots \infty$
--------------------------	-------------------------------

Η κβαντική τροχιά, στήν δποία *άντιστοιχεῖ* $n = 1$, έχει τή μικρότερη δυνατή άκτινα καί δονομάζεται *θεμελιώδης τροχιά*.

Όταν τό ήλεκτρόνιο τοῦ άτομου δρογόνου περιφέρεται πάνω στή θεμελιώδη τροχιά, τότε τό ατομού δρογόνου βρίσκεται σέ *κατάσταση ισορροπίας* καί λέμε δτι τό ατομού βρίσκεται στήν *κανονική κατάσταση*.

Άπο τήν πρώτη συνθήκη τοῦ Bohr συνάγονται τά *άκολουθα συμπεράσματα*:

1. Πάνω στή θεμελιώδη τροχιά τό ήλεκτρόνιο έχει τή μικρότερη δυνατή όλική ένέργεια (*κανονική κατάσταση*).
2. "Όταν τό ήλεκτρόνιο πηδάει από μιά κβαντική τροχιά σέ *ἄλλη*, η όλική ένέργεια τοῦ ήλεκτρονίου μεταβάλλεται *άποτομα*.

II. Δεύτερη συνθήκη του Bohr

Τό ατομού υδρογόνου έκπεμπει ή άπορροφα τήν ηλεκτρομαγνητική άκτινοβολία (δηλαδή φωτόνια) σύμφωνα μέτρην έπομενη δεύτερη συνθήκη του Bohr :

Τό ηλεκτρόνιο τού άτομου υδρογόνου, άπορροφώντας τήν ένέργεια $h\nu$ ένός φωτονίου, πηδάει άπο μιά έσωτερη κβαντική τροχιά μεγαλύτερης ένέργειας, 'Αντίστροφα, πηδώντας άπο μιά έξωτερη κβαντική τροχιά μικρότερης ένέργειας έκπεμπει τήν ένέργεια $h\nu$ ένός φωτονίου. 'Η ένέργεια $h\nu$ του φωτονίου πού άπορροφάται ή έκπεμπεται, είναι ίση μέτρη διαφορά τῶν ένεργειῶν του ηλεκτρονίου πάνω στίς δύο κβαντικές τροχιές.

δεύτερη συνθήκη

του Bohr

$$E_{\text{αρχ}} - E_{\text{τελ}} = h\nu$$

ὅπου $E_{\text{αρχ}}$ είναι ή ένέργεια του ηλεκτρονίου πάνω σέ τροχιά μεγαλύτερης ένέργειας (έξωτερη) και $E_{\text{τελ}}$ ή ένέργεια πάνω σέ τροχιά μικρότερης ένέργειας (έσωτερη).

στ. 'Άκτινες τῶν κβαντικῶν τροχιῶν. 'Αν ύψωσουμε στό τετράγωνο τήν έξισωση (9) βρίσκουμε :

$$m_e^2 \cdot v^2 \cdot r^2 = n^2 \cdot \frac{h^2}{4\pi^2} \quad (10)$$

Τό ηλεκτρόνιο κινεῖται πάνω σέ κβαντική τροχιά άκτινας r . 'Η έλξη πού έχασκει ό πυρήνας πάνω στό ηλεκτρόνιο, ένεργειή ως κεντρομόλος δύναμη. 'Αρα ίσχυει ή έξισωση:

$$\frac{1}{4\pi\varepsilon_0} \cdot \frac{e^2}{r^2} = \frac{m_e \cdot v^2}{r} \quad \text{ἄρα} \quad m_e \cdot v^2 \cdot r = \frac{e^2}{4\pi\varepsilon_0} \quad (11)$$

'Αν διαιρέσουμε κατά μέλη τίς έξισώσεις (10) και (11) βρίσκουμε δτι ή άκτινα r τῆς κβαντικῆς τροχιᾶς είναι:

άκτινα κβαντικῆς τροχιᾶς	$r = 4\pi\varepsilon_0 \cdot \frac{n^2 \cdot h^2}{4\pi^2 \cdot m_e \cdot e^2}$	(12)
-----------------------------	--------------------------------------------------------------------------------	------

Γιά $n = 1$ βρίσκουμε δτι ή άκτινα r_1 τῆς θεμελιώδους τροχιᾶς είναι:

άκτινα θεμελιώδους τροχιᾶς	$r_1 = 0,529 \cdot 10^{-10} \text{ m}$	ή	$r_1 \approx 0,5 \text{ Å}$
-------------------------------	----------------------------------------	---	-----------------------------

*Επομένως ή έξισωση (12) γράφεται:

$$\text{άκτινα κβαντικής} \quad r_n = n^2 \cdot r_1 \\ \text{τροχιᾶς}$$

Η άκτινα r_n μιᾶς κβαντικής τροχιᾶς είναι άναλογη μέ τό τετράγωνο τοῦ άντιστοιχου κύριου κβαντικοῦ άριθμοῦ n .

ζ. Ταχύτητα τοῦ ήλεκτρονίου πάνω στήν κβαντική τροχιά. Από τίς έξισώσεις (9) καὶ (11) βρίσκουμε δτι η ταχύτητα υ τοῦ ήλεκτρονίου πάνω στήν κβαντική τροχιά έχει μέτρο ἵσο μέ:

$$\text{ταχύτητα ήλεκτρονίου} \quad v = \frac{1}{4\pi\epsilon_0} \cdot \frac{2\pi \cdot e^2}{n \cdot h} \\ \text{πάνω σέ κβαντική τροχιά} \quad (13)$$

Γιά $n = 1$ βρίσκουμε δτι η ταχύτητα v_1 τοῦ ήλεκτρονίου πάνω στή θεμελιώδη τροχιά είναι :

$$\text{ταχύτητα πάνω} \quad v_1 \approx 22 \cdot 10^5 \text{ m/sec} \\ \text{στή θεμελιώδη τροχιά}$$

*Επομένως η έξισωση (13) γράφεται:

$$\text{ταχύτητα πάνω} \quad v_n = \frac{v_1}{n} \\ \text{σέ κβαντική τροχιά}$$

Η ταχύτητα v_n τοῦ ήλεκτρονίου πάνω σέ μιά κβαντική τροχιά είναι άντιστρόφως άγάλογη μέ τόν άντιστοιχο κύριο κβαντικό άριθμό n .

η. Ολική ένέργεια τοῦ ήλεκτρονίου πάνω σέ κβαντική τροχιά. Αν στήν έξισωση (7) άντικαταστήσουμε τήν τιμή τῆς άκτινας r ἀπό τήν έξισωση (12) βρίσκουμε δτι η ολική ένέργεια τοῦ ήλεκτρονίου είναι :

$$\text{ολική ένέργεια} \quad E_{el} = - \frac{1}{(4\pi\epsilon_0)^2} \cdot \frac{2\pi^2 \cdot m_e \cdot e^4}{n^2 \cdot h^2} \\ \text{ήλεκτρονίου} \quad (14)$$

Γιά $n = 1$ βρίσκουμε δτι η ολική ένέργεια E_1 τοῦ ήλεκτρονίου πάνω στή θεμελιώδη τροχιά είναι :

$$\text{ολική ένέργεια πάνω} \quad E_1 \approx - 2,179 \cdot 10^{-18} \text{ Joule} \\ \text{στή θεμελιώδη τροχιά} \quad ή \quad E_1 \approx - 13,53 \text{ eV}$$

*Επομένως ή έξισωση (14) γράφεται:

$$\frac{\text{όλική ένέργεια}}{\text{πάνω σέ κβαντική τροχιά}} = \frac{E_1}{n^2} \quad \text{ή} \quad E_n = -\frac{13,53}{n^2} \text{ eV} \quad (15)$$

Στάθμες ένέργειας του ήλεκτρονίου
στό άτομο ύδρογόνου

Κύριος κβαντικός άριθμός n	Ένέργεια ήλεκτρονίου (σέ eV)
$n = 1$	$E_1 = -13,53$
$n = 2$	$E_2 = -3,38$
$n = 3$	$E_3 = -1,50$
$n = 4$	$E_4 = -0,85$
.....
.....
$n \rightarrow \infty$	0

θ. Στάθμες ένέργειας στό
άτομο ύδρογόνου. "Οταν τό^η ήλεκτρόνιο κινεῖται πάνω στή^η θεμελιώδη τροχιά ($n = 1$), έ^{χει} τή^η μικρότερη δυνατή ένέργεια E_1 . Πάνω σέ κάθε κβαντική τροχιά τό^η ήλεκτρόνιο έχει δριμένη άλική ένέργεια, οπως φαίνεται στό διπλανό πίνακα. Οι διάφορες έπιτρεπόμενες ένεργειακές καταστάσεις τού^η ήλεκτρονίου δυναμίζονται στάθμες ένέργειας.

52. Έρμηνεία τής έκπομπής του φάσματος του ύδρογόνου

Θεωρούμε ότι άρχικά τό^η ήλεκτρόνιο τού^η άτομου ύδρογόνου βρίσκεται πάνω σέ μιά έξιωτερική τροχιά πού έχει κύριο κβαντικό άριθμό $n_{\alpha\rho}$. Πάνω σ' αυτή τήν τροχιά τό^η ήλεκτρόνιο έχει άλική ένέργεια:

$$E_{\alpha\rho} = -\frac{1}{(4\pi\epsilon_0)^2} \cdot \frac{2\pi^2 \cdot m_e \cdot e^4}{n_{\alpha\rho}^2 \cdot h^2}$$

Τό^η άτομο ύδρογόνου βρίσκεται σέ κατάσταση διεγέρσεως και τείνει νά^η ξαναγυρίσει στήν κανονική κατάσταση. Τότε τό^η ήλεκτρόνιο πηδάει πάνω σέ μιά κβαντική τροχιά πού είναι πιό κοντά στόν πυρήνα και έχει κύριο κβαντικό άριθμό $n_{\tau\epsilon\lambda}$ (άρα είναι $n_{\alpha\rho} > n_{\tau\epsilon\lambda}$). Πάνω στή νέα τροχιά τό^η ήλεκτρόνιο έχει άλική ένέργεια:

$$E_{\tau\epsilon\lambda} = -\frac{1}{(4\pi\epsilon_0)^2} \cdot \frac{2\pi^2 \cdot m_e \cdot e^4}{n_{\tau\epsilon\lambda}^2 \cdot h^2}$$

Αύτό τό^η πήδημα τού^η ήλεκτρονίου προκαλεῖ άπότομη έλλαττωση τής άλικης ένέργειας κατά $\Delta E = E_{\alpha\rho} - E_{\tau\epsilon\lambda}$. "Ετσι τό^η ήλεκτρόνιο άποβάλλει

τήν ένέργεια ΔΕ μέ τή μορφή ένός φωτονίου hv και ισχύει ή έξισωση:

$$\text{h} \cdot v = E_{\alpha\gamma} - E_{\tau\lambda} \quad \text{ἄρα} \quad v = \frac{E_{\alpha\gamma} - E_{\tau\lambda}}{h}$$

$$\text{καὶ} \quad v = \frac{1}{(4\pi\varepsilon_0)^2} \cdot \frac{2\pi^2 \cdot m_e \cdot e^4}{h^3} \cdot \left(\frac{1}{n_{\tau\lambda}^2} - \frac{1}{n_{\alpha\gamma}^2} \right) \quad (1)$$

Ο άριθμός κυμάτων v^* τῆς άκτινοβολίας συχνότητας ν είναι $v^* = v/c$. Ωστε ἀπό τήν έξισωση (1) βρίσκουμε:

$$v^* = \frac{1}{(4\pi\varepsilon_0)^2} \cdot \frac{2\pi^2 \cdot m_e \cdot e^4}{c \cdot h^3} \cdot \left(\frac{1}{n_{\tau\lambda}^2} - \frac{1}{n_{\alpha\gamma}^2} \right) \quad (2)$$

$$\text{"Αν ύπολογίσουμε τό σταθερό παράγοντα } \frac{2\pi^2 \cdot m_e \cdot e^4}{(4\pi\varepsilon_0)^2 \cdot c \cdot h^3}$$

βρίσκουμε δτι έχει τήν τιμή τῆς σταθερῆς Rydberg Rh. Άρα είναι:

$$\boxed{\text{σταθερή Rydberg} \quad R_H = \frac{2\pi^2 \cdot m_e \cdot e^4}{(4\pi\varepsilon_0)^2 \cdot c \cdot h^3}}$$

Ωστε ή έξισωση (2) γράφεται:

$$\boxed{\text{άριθμός κυμάτων} \quad v^* = R_H \cdot \left(\frac{1}{n_{\tau\lambda}^2} - \frac{1}{n_{\alpha\gamma}^2} \right)} \quad (3)$$

Η έξισωση (3) είναι ή γενική έξισωση πού πειραματικά βρήκαμε γιά τίς άκτινοβολίες πού έκπεμπει τό ἄτομο ύδρογόνου (§ 57, έξισ. 1).

Στήν παραπάνω γενική έξισωση (3) τό $n_{\tau\lambda}$ είναι ό κύριος κβαντικός άριθμός τῆς τροχιᾶς πού πάνω σ' αὐτή πέφτει τελικά τό ήλεκτρόνιο καὶ τό $n_{\alpha\gamma}$ είναι ό κύριος κβαντικός άριθμός τῆς τροχιᾶς ἀπό τήν οποία πηδάει τό ήλεκτρόνιο. Δίνοντας στό $n_{\tau\lambda}$ τίς τιμές 1, 2, 3, 4, 5 βρίσκουμε τίς πέντε σειρές τῶν φασματικῶν γραμμῶν τοῦ ύδρογόνου, δπως φαίνεται στό τύνακα τῆς σελίδας 122, δπου είναι $\alpha = n_{\tau\lambda}$ καὶ $\beta = n_{\alpha\gamma}$ καὶ στό σχῆμα 110.

a. Απορρόφηση άκτινοβολιῶν ἀπό τό ἄτομο ύδρογόνου. "Ενα ἄτομο ύδρογόνου πού βρίσκεται σέ κανονική κατάσταση, ἀποκτᾶ τήν κατάσταση διεγέρσεως, ἂν ἀπορροφήσει τόση ένέργεια, δση χρειάζεται γιά νά πηδήσει τό ήλεκτρόνιο ἀπό τή θεμελιώδη τροχιά ($n = 1$) σέ μιά πιό έξωτερική

τροχιά. "Ωστε ή άπορροφηση άκτινοβολιῶν άπό τό ατόμο ύδρογόνου έκφραζεται μέ τήν έξισωση:

ένέργεια φωτονίου
πού άπορροφᾶται

$$h\nu = E_{\text{τελ}} - E_{\alpha\rho\chi} \quad (4)$$

"Η έξισωση (4) φανερώνει δτι:

Τό ατόμο ύδρογόνου άπορροφᾶ μόνο έκεινες τίς άκτινοβολίες, πού μπορεῖ τό ατόμο νά έκπεμψει.

"Επομένως γιά τό ύδρογόνο τό φάσμα άπορροφήσεως είναι δμοιο μέ τό φάσμα έκπομπῆς. "Ετσι έρμηνεύεται δ γνωστός νόμος τής άντιστροφῆς τών γραμμῶν τοῦ φάσματος άερίου.

Στά σχήματα 111 και 112 δείχνεται σχηματικά ή διέγερση και ή έκπομπή άκτινοβολίας άπό τό ατόμο ύδρογόνου.

Σχ. 111.

Διέγερση

άτομου

ύδρογόνου

πού θα

πάρει

ένέργεια

φωτονίου

πού θα

πάρει

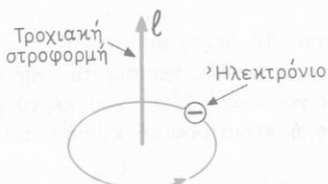
53. Οι δύο κινήσεις τοῦ ήλεκτρονίου στό ἄτομο ύδρογόνου

α. Περιφορά τοῦ ήλεκτρονίου γύρω από τόν πυρήνα. Ἡ κίνηση τοῦ ήλεκτρονίου γύρω από τόν πυρήνα τοῦ ἀτόμου ἔχει δρισμένες συνέπειες.

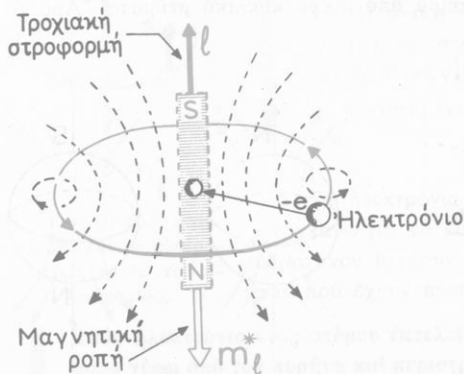
1. Τροχιακή στροφορμή τοῦ ήλεκτρονίου. "Οταν τό ἄτομο ύδρογόνου βρίσκεται στήν κανονική κατάσταση, τό ήλεκτρόνιο διαγράφει κυκλική τροχιά μέ δάκτινα r (σχ. 109). Τό ήλεκτρόνιο κινεῖται μέ ταχύτητα πού ἔχει μέτρου σταθερό καί ἔχει τότε τροχιακή στροφορμή πού ἔχει μέτρο:

$$\text{τροχιακή στροφορμή ήλεκτρονίου} \quad l = m_e \cdot v \cdot r$$

Τό ἄνυσμα \vec{l} τῆς τροχιακῆς στροφορμῆς ἔχει τή διεύθυνση καί τή φορά τῆς γωνιακῆς ταχύτητας \vec{v} , δηλαδή είναι κάθετο στό ἐπίπεδο τῆς κυκλικῆς τροχιᾶς τοῦ ήλεκτρονίου (σχ. 113).



Σχ. 113. Τό περιφερόμενο ήλεκτρόνιο ἔχει τροχιακή στροφορμή (l).



Σχ. 114. Ἡ περιφορά τοῦ ήλεκτρονίου ισοδυναμεῖ μέ κυκλικό ρεῦμα πού συμπεριφέρεται ως μαγνητικό δίπολο.

2. Μαγνητική διπολική ροπή τοῦ ήλεκτρονίου. Ἡ κυκλική κίνηση τοῦ ήλεκτρονίου γύρω από τόν πυρήνα ισοδυναμεῖ μέ στοιχειώδες κυκλικό ρεῦμα πού ἀποτελεῖ ἔνα στοιχειώδες μαγνητικό δίπολο μέ δρισμένη μαγνητική ροπή. "Αν ν είναι ἡ συχνότητα τῆς κινήσεως τοῦ ήλεκτρονίου, τότε ἡ μέση ἑνταση I τοῦ ρεύματος είναι ἵση μέ τό φορτίο πού κατά δευτερόλεπτο περνάει ἀπό. Ἐνα σημεῖο τῆς τροχιᾶς, δηλαδή είναι

$I = v \cdot e$. Ἡ ἐπιφάνεια τοῦ στοιχειώδους κυκλικού ρεύματος ἔχει ἔμβαδό $S = \pi \cdot r^2$. Ἡ συμβατική φορά τοῦ ρεύματος μέ τό δόποιο ισοδυναμεῖ ἡ περιφορά τοῦ ήλεκτρονίου γύρω από τόν πυρήνα, είναι ἀντίθετη μέ τή φορά τῆς κινήσεως τοῦ ήλεκτρονίου. Αὐτό τό στοιχειώδες κυ-

κλικό ρεύμα έχει μαγνητική ροπή (σχ. 114) πού δονομάζεται μαγνητική διπολική ροπή και έχει μέτρο :

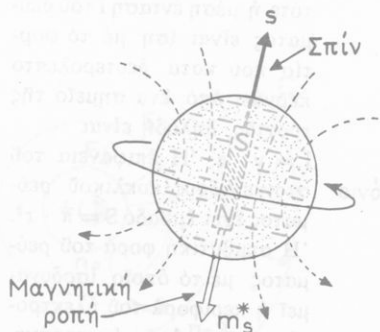
$$m_l^* = I \cdot S \quad \text{ή} \quad m_l^* = v \cdot e \cdot \pi \cdot r^2$$

Τό ανυσμα \vec{m}_l^* της μαγνητικής διπολικής ροπής έχει φορά άντιθετη με τή φορά του ανύσματος \vec{l} της τροχιακής στροφορμής.

β. Περιστροφή του ήλεκτρονίου γύρω άπό τόν ξενά του. Είναι γνωστό ότι τό φάσμα έκπομπής του ίδρογόνου άποτελείται άπο δρισμένες φωτεινές γραμμές. "Όταν δημος τό ίδρογόνο πού φωτοβολεῖ, βρίσκεται μέσα σέ μαγνητικό ή ήλεκτρικό πεδίο, τότε κάθε φασματική γραμμή άναλνεται σέ δύο ή περισσότερες φωτεινές γραμμές. Ή θεωρία άπεδειξε ότι αντό τό φαινόμενο έρμηνεύεται, άν δεχτοῦμε ότι τό ήλεκτρόνιο (πού τό θεωροῦμε σάν μικρή σφαίρα) καθώς περιφέρεται γύρω άπό τόν πυρήνα ταυτόχρονα περιστρέφεται γύρω άπό ξενά πού περνάει άπό τό κέντρο του (σχ 115). Αυτή δημος ή περιστροφική κίνηση του ήλεκτρονίου έχει τίς έξης συνέπειες:

1. Τό ήλεκτρόνιο ξειτίας της περιστροφικής κινήσεώς του έχει στροφορμή \vec{s} πού διεθνώς δονομάζεται spin (σπίν).

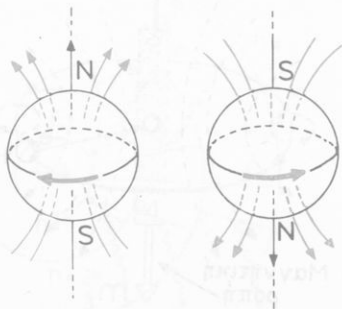
2. Τό ήλεκτρόνιο πού περιστρέφεται γύρω άπό τόν ξενά του, δημιουργεῖ σειρά άπο μικρά κυκλικά ρεύματα. Ήρα τό



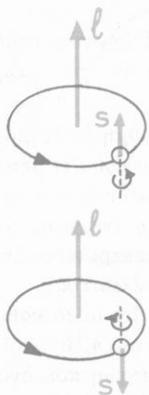
Σχ. 116. Ή περιστροφή του ήλεκτρονίου γύρω άπό τόν ξενά του δημιουργεῖ στροφορμή (σπίν) και μαγνητική ροπή τού σπίν.



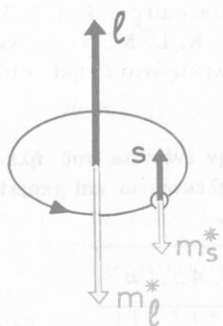
Σχ. 115. Περιστροφή του ήλεκτρονίου γύρω άπό τόν ξενά του.



Σχ. 117. Οι δύο δυνατοί τρόποι περιστροφής του ήλεκτρονίου γύρω άπό τόν ξενά του.



Σχ. 118. Τά άνύσματα τῶν δύο στροφορμῶν τοῦ ήλεκτρονίου μπορεῖ νά είναι παράλληλα ή άντιπαράλληλα.



Σχ. 119. Οι δύο στροφορμές και οι δύο μαγνητικές ροπές τοῦ ήλεκτρονίου.

περιστρεφόμενο ήλεκτρόνιο έχει μαγνητική ροπή πού δονομάζεται μαγνητική ροπή τοῦ *spin* \vec{m}_s^* (σχ. 116). Ή περιστροφή τοῦ ήλεκτρονίου μπορεῖ νά γίνει κατά τή μιά ή κατά τήν άντιθετή φορά (σχ. 117).

γ. Συμπεράσματα γιά τίς δύο κινήσεις τοῦ ήλεκτρονίου. Τό ήλεκτρόνιο τοῦ άτομου ύδρογόνου έχαιτίας τῆς περιφορᾶς του γύρω άπό τόν πυρήνα και τῆς περιστροφῆς του γύρω άπό τόν ξενόνα του έχει δύο στροφορμές και δύο μαγνητικές ροπές.

Τά άνύσματα \vec{l} και \vec{s} τῶν δύο στροφορμῶν τοῦ ήλεκτρονίου μπορεῖ νά είναι παράλληλα ή άντιπαράλληλα, άνάλογα μέ τίς δύο δυνατές περιπτώσεις περιστροφῆς τοῦ ήλεκτρονίου γύρω άπό τόν ξενόνα του (σχ. 118).

Τά άνύσματα \vec{m}_l^* και \vec{m}_s^* τῶν δύο μαγνητικῶν ροπῶν τοῦ ήλεκτρονίου έχουν φορά άντιθετη μέ τή φορά τῶν άντιστοιχων στροφορμῶν (\vec{l} και \vec{s}) τοῦ ήλεκτρονίου (σχ. 119). "Ωστε :

I. Στό άτομο ύδρογόνου τό ήλεκτρόνιο, έχαιτίας τῶν δύο κινήσεών του έχει δύο στροφορμές (\vec{l} και \vec{s}) και δύο μαγνητικές ροπές (\vec{m}_l^* και \vec{m}_s^*).

II. Ή όλική στροφορμή (\vec{j}) τοῦ ήλεκτρονίου είναι ή συνισταμένη τῶν δύο στροφορμῶν του και ή όλική μαγνητική ροπή του (\vec{m}_{tot}^*) είναι ή συνισταμένη τῶν δύο μαγνητικῶν ροπῶν του.

δ. Τά ήλεκτρόνια δτά άλλα άτομα. "Οσα είπαμε παραπάνω γιά τό μοναδικό ήλεκτρόνιο τοῦ άτομου ύδρογόνου ισχύουν γιά κάθε ήλεκτρόνιο τῶν άτομων πού έχουν περισσότερα ήλεκτρόνια. "Ωστε :

Κάθε ήλεκτρόνιο ένός άτομου έκτελει ταυτόχρονα δύο κινήσεις, περιφορά γύρω άπό τόν πυρήνα και περιστροφή γύρω άπό τόν ξενόνα συμμετρίας τοῦ ήλεκτρονίου.

54. Κβαντικοί άριθμοί του ήλεκτρονίου

Η έρευνα τοῦ φάσματος τοῦ υδρογόνου άπέδειξε ότι οἱ δυνατές στάθμες ένέργειας τοῦ ήλεκτρονίου έκφράζονται σέ συνάρτηση μέ τὸν κύριο κβαντικό άριθμό π.

Η άρχική θεωρία τοῦ Bohr δέχεται ότι σέ κάθε στάθμη ένέργειας τοῦ ήλεκτρονίου άντιστοιχεῖ μιά κυκλική τροχιά τοῦ ήλεκτρονίου. Η μεταγενέστερη θεωρητική έρευνα, γιά νά έξηγησει δρισμένα φαινόμενα πού άνακαλύφθηκαν μέ τό πείραμα, άπέδειξε ότι σέ μιά στάθμη ένέργειας τοῦ ήλεκτρονίου άντιστοιχεῖ δρισμένος άριθμός τροχιῶν τοῦ ήλεκτρονίου, άπό τίς οποίες ή μιά τροχιά είναι κυκλική καὶ οἱ ἄλλες είναι ἐλλειπτικές.

Γενικότερα ή θεωρητική έρευνα άπέδειξε ότι μέσα στό ατομο τό καθένα ήλεκτρόνιο έχει σάν νά πούμε δική του «προσωπικότητα», ή οποία στίς κβαντικές έξισώσεις έκφράζεται μέ τέσσερα φυσικά μεγέθη πού δομάζονται κβαντικοί άριθμοί τοῦ ήλεκτρονίου. Ο καθένας άπό τούς κβαντικούς άριθμούς άναφέρεται σέ μιά δρισμένη ίδιοτητα τοῦ ήλεκτρονίου. Θά έξετάσουμε στοιχειωδῶς τούς τέσσερις κβαντικούς άριθμούς τοῦ ήλεκτρονίου.

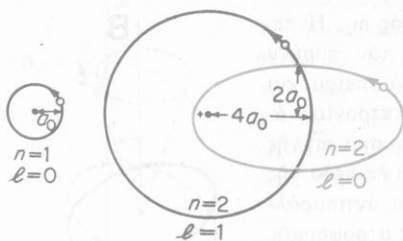
α. Ο κύριος κβαντικός άριθμός π. "Οπως ξέρουμε ό κύριος κβαντικός άριθμός π χαρακτηρίζει τήν ένέργεια τοῦ ήλεκτρονίου πάνω σέ κάθε κβαντική τροχιά καὶ μπορεῖ νά λάβει τίς διαδοχικές άκεραιες τιμές 1, 2, 3, 4, ... πού άντιστοιχούν στούς διαδοχικούς φλοιούς K, L, M, N... "Αν π.χ. γιά ένα ήλεκτρόνιο είναι $n = 2$, τότε αὐτό τό ηλεκτρόνιο άνήκει στό φλοιό L. "Ωστε:

Ο κύριος κβαντικός άριθμός π χαρακτηρίζει τήν ένέργεια τοῦ ήλεκτρονίου καὶ τό φλοιό, στόν οποίο άνήκει τό ηλεκτρόνιο καὶ μπορεῖ νά λάβει τίς άκεραιες τιμές άπό ένα ώς ἄπειρο.

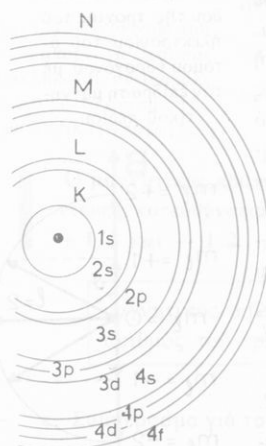
$$\text{κύριος κβαντικός άριθμός } n = 1, 2, 3, 4 \dots \infty$$

β. Ο δευτερεύων κβαντικός άριθμός } l. Η πρώτη συνθήκη τοῦ Bohr δορίζει ότι ή τροχιακή στροφορμή τοῦ ήλεκτρονίου είναι ίση μέ $n(h/2\pi)$, δηλαδή n διαδοχικές τροχιακής στροφορμής. Η άκριβέστερη δημοσ θεωρητική έρευνα άπέδειξε ότι ή τροχιακή στροφορμή τοῦ ήλεκτρονίου έχει μέτρο $l(h/2\pi)$, δηλαδή l είναι διαδοχικές τροχιακής στροφορμής.

Γιά ένα δοσμένο κύριο κβαντικό άριθμό n δευτερεύων κβαντικός άριθμός l λαβαίνει τίς άκεραιες τιμές άπό 0 ώς $n - 1$. "Αν π.χ. είναι $n = 4$, τότε είναι $l = 0, 1, 2, 3$. Οι διάφορες τιμές τοῦ δευτερεύοντος κβαντικοῦ



Σχ. 120. Οι κβαντικές τροχιές του ήλεκτρονίου για $n = 1$ και $n = 2$.



Σχ. 121. Σχηματική παράσταση τῶν υποφλοιῶν. Οι διαδοχικοὶ υποφλοιοὶ χαρακτηρίζονται ως

ξεχής :

τιμή τοῦ l : 0 1 2 3 4 5
σύμβολο : s p d f g h

Έμπρός ἀπό τό σύμβολο τοῦ υποφλοιοῦ γράφεται ὁ κύριος κβαντικός ἀριθμός ποὺ χαρακτηρίζει τό φλοιό.

ἀριθμοῦ l ἀντιστοιχοῦν στίς διάφορες δυνατές μόδαφές τῆς τροχιᾶς τοῦ ήλεκτρονίου. Ἡ μεγαλύτερη δυνατή τιμή $l = n - 1$ χαρακτηρίζει κυκλική τροχιά, ἐνῶ οἱ ἄλλες τιμές τοῦ l χαρακτηρίζουν ἐλλειπτικές τροχιές (σχ. 120).

Ο δευτερεύων κβαντικός ἀριθμός l φανερώνει ὅτι κάθε φλοιός είναι πολλαπλός καὶ ἀποτελεῖται ἀπό l υποφλοιούς, πού ὁ καθένας είναι καὶ μιά στάθμη ἐνέργειας τοῦ ήλεκτρονίου (σχ. 121). "Αν π.χ. είναι $n = 2$ (φλοιός L), τότε είναι $l = 0$ καὶ $l = 1$. "Αρα ὁ φλοιός L ἀποτελεῖται ἀπό δύο υποφλοιούς. "Ωστε:

I. Ό δευτερεύων κβαντικός ἀριθμός l χαρακτηρίζει τήν τροχιακή στροφορμή τοῦ ήλεκτρονίου καὶ φανερώνει ἀπό πόσους υποφλοιούς ἀποτελεῖται ὁ κάθε φλοοίς.

II. Ό δευτερεύων κβαντικός ἀριθμός l μπορεῖ νά λάβει τίς ἀκέραιες τιμές ἀπό μηδέν ως $n - 1$, οἱ ὄποιες ἀντιστοιχοῦν σέ μιά κυκλική τροχιά ($l = n - 1$) καὶ σέ διάφορες ἐλλειπτικές τροχιές ($l < n - 1$).

$$\text{τροχιακή στροφορμή} \quad l = \frac{\hbar}{2\pi}$$

δευτερεύων κβαντικός ἀριθμός $l = 0, 1, 2, 3, \dots, (n - 1)$

γ. Ο μαγνητικός κβαντικός άριθμός m_l . Ή περιφορά του ήλεκτρονίου γύρω από τόν πυρήνα ισοδυναμεῖ μέρεμα πού διαρρέει μά σπείρα και έπομένως σέ κάθε τροχιά του ήλεκτρονίου αντιστοιχεῖ μά μαγνητική ροπή. Τό άνυσμα \vec{m}_l της μαγνητικής ροπής είναι κάθετο στό έπιπεδο της τροχιάς του ήλεκτρονίου, άλλα είναι άντιπαράλληλο μέ τό άνυσμα \vec{l} της τροχιακής στροφορμής του ήλεκτρονίου (σχ. 119).

"Όταν τό ατομού ίδρογόνου βρεθεῖ μέσα σέ μαγνητικό πεδίο, τότε τό έπιπεδο της τροχιάς του ήλεκτρονίου τείνει νά λάβει δρισμένο προσανατολισμό. Ή Κβαντομηχανική άποδεικνύει ότι ή γωνία θ (σχ. 122) πού σχηματίζουν μεταξύ τους τό άνυσμα \vec{B} της τροχιακής στροφορμής και τό άνυσμα \vec{B} της μαγνητικής έπαγωγής του μαγνητικού πεδίου μπορεῖ νά λάβει μόνο δρισμένες τιμές, ώστε νά ίσχυει ή έξής συνθήκη: ή προβολή του άνυσματος \vec{l} πάνω στή διεύθυνση του άνυσματος \vec{B} πρέπει νά είναι ίση μέ $m_l (h/2\pi)$, δηλαδή m_l είναι ο μαγνητικός κβαντικός άριθμός. Αυτός μπορεῖ νά λάβει τίς άκρεις τιμές από $+l$ ώς $-l$.

"Αν π.χ. είναι:

$n = 3$, τότε είναι $l = 2$ και $m_l = 2, 1, 0, -1, -2$.

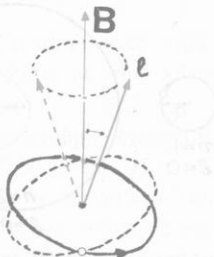
"Αρα ο μαγνητικός κβαντικός άριθμός m_l μπορεῖ νά λάβει συνολικά $2l + 1$ τιμές. Στό σχήμα 130 φαίνονται οι έπιτρεπόμενες τιμές της γωνίας θ γιά $l = 2$.

"Από τά παραπάνω προκύπτει ότι ύπάρχουν δρισμένοι περιορισμοί στόν προσανατολισμό του έπιπεδου της τροχιάς του ήλεκτρονίου. Τό φαινόμενο αυτό ονομάζεται κβάντωση κατευθύνσεως. "Ωστε:

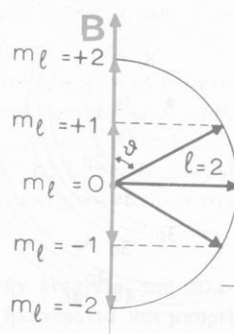
Ο μαγνητικός κβαντικός άριθμός m_l χαρακτηρίζει τήν κβάντωση κατευθύνσεως της τροχιακής στροφορμής και μπορεῖ νά λάβει τίς άκρεις τιμές από $+l$ ώς $-l$.

μαγνητικός κβαντικός
άριθμός

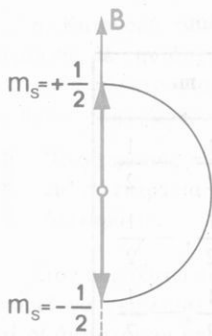
$$m_l = +l, \dots, 2, 1, 0, -1, -2, \dots, -l$$



Σχ. 122. Προσανατολισμός του έπιπεδου της τροχιάς του ήλεκτρονίου τού άτομου ίδρογόνου μέ τήν έπιδραση μαγνητικού πεδίου.



Σχ. 123. Η προβολή του άνυσματος \vec{l} πάνω στή διεύθυνση της μαγνητικής έπαγωγής \vec{B} έχει δρισμένες μόνο τιμές.



Σχ. 124. Τό άνυσμα τού spin μπορεῖ νά είναι παράλληλο ή άντιπαράλληλο μέ τό άνυσμα τής μαγνητικής έπαγωγής.

δ. 'Ο μαγνητικός κβαντικός άριθμός τού spin m_s . Τό ήλεκτρόνιο, έπειδή περιστρέφεται γύρω από τόν άξονά του έχει στροφορμή \vec{s} πού λέγεται spin. "Οταν τό άτομο ίδρογόνου βρεθεῖ μέσα σέ μαγνητικό πεδίο, τότε γιά τό άνυσμα \vec{s} υπάρχουν μόνο δύο δυνατοί προσανατολισμοί του (κβάντωση κατευθύνσεως), δηλαδή τό άνυσμα \vec{s} μπορεῖ νά είναι παράλληλο ή άντιπαράλληλο μέ τό άνυσμα \vec{B} τής μαγνητικής έπαγωγής τού μαγνητικού πεδίου (σχ. 124). 'Η προβολή τού άνυσματος \vec{s} πάνω στή διεύθυνση τού άνυσματος \vec{B} πρέπει νά είναι ίση μέ m_s ($h/2\pi$), σπου το m_s είναι ο μαγνητικός κβαντικός άριθμός τού spin. Αύτός μπορεῖ νά λάβει μόνο τίς τιμές $+ \frac{1}{2}$ και $- \frac{1}{2}$. "Ωστε:

'Ο μαγνητικός κβαντικός άριθμός τού spin m_s χαρακτηρίζει τήν κβάντωση κατευθύνσεως τού spin και μπορεῖ νά λάβει μόνο τίς δύο τιμές $+1/2$ και $-1/2$.

$\boxed{\text{μαγνητικός κβαντικός} \quad m_s = +\frac{1}{2} \quad m_s = -\frac{1}{2}}$

ε. Συμπέρασμα γιά τούς κβαντικούς άριθμούς τού ήλεκτρονίου. 'Από τά παραπάνω συνάγεται ότι:

- I. Σέ κάθε ήλεκτρόνιο τού άτόμου άντιστοιχον οι έξης τέσσερις κβαντικοί άριθμοί :
 - ο κύριος κβαντικός άριθμός n
 - ο δευτερεύων κβαντικός άριθμός l
 - ο μαγνητικός κβαντικός άριθμός m_l
 - ο μαγνητικός κβαντικός άριθμός τού spin m_s .
- II. Οι τέσσερις κβαντικοί άριθμοί χαρακτηρίζουν μέ άκριβεια τήν ένεργειακή κατάσταση ένός ήλεκτρονίου μέσα στό άτομο.

Στόν παρακάτω πίνακα άναφέρονται οι δυνατές τιμές τῶν τεσσάρων κβαντικῶν άριθμῶν γιά $n = 1, 2, 3,$

Οι κβαντικοί άριθμοί του ήλεκτρονίου

n	l	m_l	m_s
1	0	0	$+\frac{1}{2}, -\frac{1}{2}$
2	0, 1	+1, 0, -1	$+\frac{1}{2}, -\frac{1}{2}$
3	0, 1, 2	+2, +1, 0, -1, -2	$+\frac{1}{2}, -\frac{1}{2}$

55. Άρχη τοῦ Pauli

Τό ατομού ύδρογόνου έχει μόνο ένα ήλεκτρόνιο, τά ατομα δύος δύον τῶν ἄλλων στοιχείων έχουν περισσότερα ἀπό ένα ήλεκτρόνια. "Όταν ένα ατομού μέ πολλά ήλεκτρόνια βρίσκεται στήν καρονική κατάσταση, τότε δύλα τά ήλεκτρόνια του ἔπειτα νά βρίσκονται στή στάθμη τῆς ἐλάχιστης δύλικῆς ἐνέργειας. Αὐτή ή στάθμη ἀντιστοιχεῖ στόν κύριο κβαντικό άριθμό $n = 1$. "Αρα δύλα τά ήλεκτρόνια του ἀτόμου ἔπειτα νά βρίσκονται στό φλοιό K. "Η κατάταξη δύος δύον στοιχείων στό περιοδικό σύστημα δείχνει δύτι τά ήλεκτρόνια ἐνός ἀτόμου κατανέμονται σέ διάφορους φλοιούς.

Είναι γνωστό δύτι κάθε ήλεκτρόνιο του ἀτόμου προσδιορίζεται μέ τούς τέσσερις κβαντικούς άριθμούς του, πού χαρακτηρίζουν τήν ἐνεργειακή κατάσταση του ήλεκτρονίου. "Η κατανομή τῶν ήλεκτρονίων σέ διάφορους φλοιούς γύρω ἀπό τόν πυρήνα διέπεται ἀπό τήν ἀκόλουθη ἀρχή τοῦ Pauli (ή ἀπαγορευτική ἀρχή):

Σέ ένα ατομού τό κάθε ήλεκτρόνιο έχει μιά μοναδική σειρά κβαντικῶν άριθμῶν (n , l , m_l καί m_s).

"Η ἀρχή τοῦ Pauli βάζει δρισμένους περιορισμούς στίς δυνατές ἐνεργειακές καταστάσεις του ήλεκτρονίου, γιατί καθορίζει δύτι:

Στό ίδιο ατομού δέν μποροῦν νά ὑπάρχουν δύο ήλεκτρόνια πού νά έχουν ίδιους καί τούς τέσσερις κβαντικούς άριθμούς τους.

Αὐτά τά δύο ήλεκτρόνια πρέπει νά έχουν διαφορετικό τουλάχιστο ένα κβαντικό άριθμό τους.

α. Κατανομή των ήλεκτρονίων στούς φλοιούς και στούς υποφλοιούς. Σύμφωνα με τήν άρχη του Pauli στό ίδιο άτομο η ένεργειακή κατάσταση του κάθε ήλεκτρονίου χαρακτηρίζεται από ίδιαίτερη τετράδα κβαντικών άριθμων. Έφαρμόζοντας τήν άρχη του Pauli βρίσκουμε ότι:

“Ενας φλοιός πού έχει κύριο κβαντικό άριθμό n μπορεῖ νά περιλάβει $2n^2$ ήλεκτρόνια και ένας υποφλοιός μπορεῖ νά περιλάβει $2(2l + 1)$ ήλεκτρόνια.

Στόν παρακάτω πίνακα άναφέρεται ό μέγιστος άριθμός ήλεκτρονίων πού μπορεῖ νά περιλάβει καθένας από τούς δύο πρώτους φλοιούς ($n = 1, 2$) και οι άντιστοιχοί υποφλοιοί. Στόν πίνακα παρατηρούμε ότι κάθε ήλεκτρόνιο χαρακτηρίζεται από μιά δική του τετράδα κβαντικών άριθμων.

“Οταν ένας φλοιός έχει τό μέγιστο άριθμό ήλεκτρονίων πού άντιστοιχεί σ’ αυτό τό φλοιό, τότε ό φλοιός αυτός είναι ένας συμπληρωμένος φλοιός. Γενικά οι συμπληρωμένοι φλοιοί αποτελούν μιά πολύ σταθερή κατανομή τῶν ήλεκτρονίων γύρω από τόν πυρήνα.

‘Ο δυνατός άριθμός ήλεκτρονίων στούς
δύο πρώτους φλοιούς (K, L)

Φλοιός	n	l	m_l	m_s	Άριθμός ήλεκτρονίων σε συμπληρωμένο υποφλοιό	Άριθμός ήλεκτρονίων σε συμπληρωμένο φλοιό
K	1	0	0	+1/2	2	2
	1	0	0	-1/2		
L	2	0	0	+1/2	2	8
	2	0	0	-1/2		
L	2	1	-1	+1/2	6	6
	2	1	-1	-1/2		
	2	1	0	+1/2		
	2	1	0	-1/2		
	2	1	+1	+1/2		
	2	1	+1	-1/2		
	2	1	+1	-1/2		

β. Η διαδοχική συμπλήρωση τῶν φλοιῶν. Θεωρούμε τά άτομα στήν κανονική κατάσταση. Στό περιοδικό σύστημα όσο προχωρούμε διαδοχικά από τό άτομο υδρογόνου πρός τό άτομο ουρανίου, ο άτομικός άριθμός Z

συνεχῶς αὐξάνεται από τό 1 ώς τό 92. Ήρα
δσο προχωροῦμε στό περιοδικό σύστημα από
τό ἔνα στοιχεῖο στό άλλο, ο ἀριθμός τῶν ἡ-
λεκτρονίων τοῦ ἀτόμου συνεχῶς αὐξάνεται κα-
τά ἔνα ἡλεκτρόνιο. Ή διαδοχική προσθήκη
τοῦ ἐνός ἡλεκτρονίου προχωρεῖ μέ τέτοιο τρό-
πο, ὥστε διαδοχικά νά συμπληρώνεται ὁ κάθε
φλοιούς. Στό σχῆμα 125 φαίνεται ἡ κατανο-
μή τῶν ἡλεκτρονίων στό ἄτομο μαγνησίου
($Z = 12$).

Στά ἄτομα ὅμως μέ μεγάλο ἀτομικό ἀριθμό
 Z παρατηροῦμε ἀποκλίσεις, πού διφείλονται
στίς ἀμοιβαίες ἐπιδράσεις τῶν πολλῶν ἡλε-
κτρονίων πού περιφέρονται γύρω ἀπό τόν πυ-
ρήνα καί γι' αὐτό οἱ ἔξωτερικοί φλοιοί O, P, Q
ποτέ δέν είναι συμπληρωμένοι. Ήτσι π.χ. στό ἄτομο οὐρανίου ($Z = 92$) τά
ἡλεκτρόνια κατανέμονται ώς ἔξης:

φλοιούς	:	K	L	M	N	O	P	Q
ἡλεκτρόνια	:	2	8	18	32	18	12	2

56. Λέξερ

α. Αὐτόματη ἐκπομπή. Γιά ἔνα ἄτομο μέ πολλά ἡλεκτρόνια ἡ κανονική
κατάστασή του ἀντιστοιχεῖ σέ μιά στάθμη ἐνέργειας E_1 . Όταν τό ἄτομο
ἀπορροφήσει ἔνα φωτόνιο πού ἔχει ἐνέργεια $h\nu$, τότε τό ἄτομο ἔρχεται
σέ κατάσταση διεγέρσεως πού ἀντιστοιχεῖ σέ μιά ἀνώτερη στάθμη ἐνέρ-
γειας E_2 καί ισχύει ἡ σχέση $E_2 - E_1 = h\nu$. Ή κατάσταση διεγέρσεως
διαρκεῖ ἐπί ἐλάχιστο χρόνο, περίπου 10^{-8} sec καί τό ἄτομο αὐτόματα ἔναν-
γυρίζει στήν κανονική κατάστασή του ἐκπέμποντας ἔνα φωτόνιο συχνότη-
τας v , ἡ ὁποία προσδιορίζεται ἀπό τήν ἔξισωση $h\nu = E_2 - E_1$. Αὐτός
ο τρόπος ἐκπομπής ἀκτινοβολίας δύνομάζεται αὐτόματη ἐκπομπή(*). Σέ
ἔνα μεγάλο πλῆθος ἀτόμων ἡ αὐτόματη ἐκπομπή ἀπό τά διάφορα ἄτομα
γίνεται σέ διαφορετικές χρονικές στιγμές.

β. Ἐξαναγκασμένη ἐκπομπή. Στό ἄτομο ὑπάρχουν μερικές στάθμες ἐνέρ-
γειας πού είναι πρόσκαιρα σταθερές καί δύνομάζονται μετασταθερές στάθμες.
Σέ μιά τέτοια στάθμη ἐνέργειας τό ἄτομο μπορεῖ νά παραμείνει ἐπί 10^{-3} sec,
δηλαδή ἡ κατάσταση διεγέρσεως διαρκεῖ 10^5 φορές μεγαλύτερο χρονικό



Σχ. 125. Σχηματική παράσταση τῆς κατανομῆς τῶν 12 ἡλεκτρονίων τοῦ ἀτόμου μαγνησίου στοὺς φλοιούς καί ὑποφλοιούς.

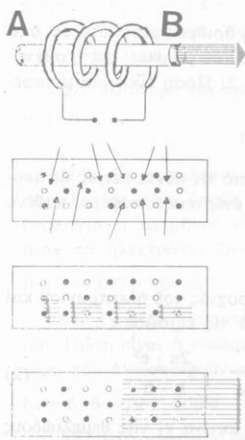
* Spontaneous emission σημαίνει αυτό τό ρόλο πονόγορδο ουσιώδη τό από

διάστημα. Ένα άτομο που βρίσκεται στήν κανονική κατάσταση, δηλαδή στη στάθμη ένέργειας E_1 , άποροφα ἔνα φωτόνιο συχνότητας ν και ἔρχεται σέ μιά άνωτερη μετασταθερή στάθμη ένέργειας E_2 , γιά τήν όποια ισχύει ή έξισωση $E_2 - E_1 = h\nu$. Τό άτομο βρίσκεται τότε σέ κατάσταση διεγέρσεως. Έκείνη τή στιγμή πέφτει πάνω στό άτομο ἔνα φωτόνιο $h\nu$ που ἔχει συχνότητα ν ἀκριβῶς ίση μέ τή συχνότητα τοῦ φωτονίου πού ἐκπέμπει τό άτομο, ὅταν ξαναγυρίζει ἀπό τήν κατάσταση διεγέρσεως E_2 στήν κανονική κατάστασή του E_1 . Τότε τό άτομο ἀναγκάζεται νά ἀποδιεγερθεῖ και ἐκπέμπει ἔνα φωτόνιο $h\nu$. Αὐτό τό φωτόνιο προσθέτεται στό προηγούμενο φωτόνιο πού προκάλεσε τήν ἀποδιέγερση και ἔτσι ἀπό τό άτομο φεύγουν δύο μαζί φωτόνια πού μεταφέρουν ένέργεια $2(h\nu)$. Αὐτός ὁ τρόπος ἐκπομπῆς ἀκτινοβολίας δονομάζεται ἔξαναγκασμένη ἐκπομπή (*). Σ' αὐτή τήν ἀρχή στηρίζεται ή λειτουργία τοῦ λέγετο (laser) πού ἀποτελεῖ ἔναν καινούριο τύπο φωτεινῆς πηγῆς. Ή δονομασία του προέρχεται ἀπό τά ἀρχικά γράμματα τῶν λέξεων τοῦ τίτλου του (Light Amplification by Stimulated Emission of Radiation = πολλαπλασιασμός τοῦ φωτός ἀπό ἔξαναγκασμένη ἐκπομπή ἀκτινοβολίας).

γ. Λέγετο. Συνηθισμένος τύπος είναι ὁ λέγετο μέ φονυπάνι. Αὐτός ἀποτελεῖται ἀπό ἔνα μικρό κύλινδρο ἀπό ρουμπίνι και

γύρω του ὑπάρχει γυάλινος ἐλικοειδῆς σωλήνας μέ ἀραιό ἀέριο. Τό ρουμπίνι είναι δέξιδιο τοῦ ἀργιλίου, Al_2O_3 , πού περιέχει και πολὺ λίγο δέξιδιο τοῦ χρωμίου, Cr_2O_3 (σχ.126). Ή μιά βάση τοῦ κυλίνδρου είναι τελείως ἐπαργυρωμένη, ἐνδήλη είναι μόνο η μισή ἐπαργυρωμένη.

Μέσα στόν ἐλικοειδή σωλήνα γίνεται μιά πολύ σύντομη ήλεκτρική ἐκκένωση πού προκαλεῖ διέγερση σέ μερικά ίόντα χρωμίου, Cr^{3+} . Αὐτά είναι οι πηγές τοῦ φωτός πού ἐκπέμπει ὁ λέγετο. Ἐπακολουθεῖ ἀποδιέγερση πού προκαλεῖ διέγερση σέ περισσότερα ίόντα. Τά παραγόμενα φωτόνια ἀνακλῶνται διαδοχικά πάνω στίς δύο ἐπαργυρωμένες βάσεις τοῦ κυλίνδρου. Ἐπειτα ἀπό διαδοχικές διεγέρσεις και ἀποδιεγέρσεις διαρκῶς περισσότερων ίόντων χρωμίου ἔρχεται μιά στιγμή πού ἔνα πολύ μεγάλο πλήθος ίόντων χρωμίου βρίσκονται σέ διέγερση και ἀπότομα



Σχ. 126. Σχηματική παράσταση γιά τήν έρμηνεια τῆς λειτουργίας τοῦ λέγετο μέ φονυπάνι.

* Stimulated emission

ἀποδιεγείρονται ὅλα μαζί. Τότε ἀπό τή συσκευή βγαίνει μιά δέσμη παραλληλων ἀκτίνων ἐρυθροῦ φωτός ($\lambda = 6943 \text{ Å}$). Αὐτή ἡ ἀκτινοβολία ἔχει τά έξης χαρακτηριστικά: 1) μεταφέρει μεγάλη ἐνέργεια· 2) είναι ἀπόλυτα μονοχρωματική, δηλαδή ἀποτελεῖται ἀπό ἀκτινοβολία μόνο μιᾶς συχνότητας ν· 3) ἀποτελεῖται ἀπό ἀπόλυτα παράλληλες ἀκτίνες.

* Η δέσμη « ἀκτίνων λέντζερ » διαδίδεται σέ μεγάλη ἀπόσταση χωρίς διασπορά καὶ προκαλεῖ συγκέντρωση μεγάλης ἐνέργειας πάνω σέ πολύ μικρή ἐπιφάνεια.

Οἱ λέντζερ χρησιμοποιοῦνται σέ διάφορες ἐφαρμογές, π.χ. σέ ἐγχειρήσεις, για τή διάτρηση σκληρῶν ἀντικειμένων (μετάλλων, πολύτιμων λίθων), στίς τηλεπικοινωνίες.

ΠΡΟΒΛΗΜΑΤΑ

51. Τό ἄτομο ὑδρογόνου ἐκπέμπει δρατές ἀκτινοβολίες πού δίνονται ἀπό τὸν τύπο τοῦ Balmer :

$$v^* = R_H \cdot \left(\frac{1}{2^2} - \frac{1}{n^2} \right)$$

δούς R_H είναι ἡ σταθερή Rydberg, $v^* = 1/\lambda$ καὶ π ἀκέραιος ἀριθμός μεγαλύτερος ἀπό 2 ($n > 2$). 1) Πόσο είναι τό μέγιστο καὶ τό ἐλάχιστο μῆκος κύματος καθώς καὶ ἡ συχνότητα τῶν ἀκραίων φασματικῶν γραμμῶν τῆς σειρᾶς Balmer; 2) Πόση ἐνέργεια μεταφέρει ἕνα φωτόνιο ἀπό αὐτές τίς ἀκτινοβολίες;

$$R_H \approx 11 \cdot 10^6 \text{ m}^{-1}, \quad h = 6,6 \cdot 10^{-34} \text{ Joule} \cdot \text{sec.}$$

52. Πόσο είναι τό ἐλάχιστο μῆκος κύματος σέ καθεμιά ἀπό τίς πέντε σειρές ἀκτινοβολιῶν πού μπορεῖ νά ἐκπέμψει τό ἄτομο ὑδρογόνου; Πόση ἐνέργεια μεταφέρει καθένα ἀπό τά παραπάνω πέντε φωτόνια;

$$R_H \approx 11 \cdot 10^6 \text{ m}^{-1}, \quad h = 6,6 \cdot 10^{-34} \text{ Joule} \cdot \text{sec}$$

53. Στό ἄτομο ὑδρογόνου ἡ ἀκτίνα (r) μιᾶς κβαντικῆς τροχιᾶς τοῦ ἡλεκτρονίου καὶ ἡ ταχύτητά του (v) πάνω σ' αὐτή τήν τροχιά δίνονται ἀπό τίς ἔξισθσεις :

$$r_n = 4\pi\epsilon_0 \cdot \frac{n^2 \cdot h^2}{4\pi^2 \cdot m_e \cdot e^2} \quad (1) \quad \text{καὶ} \quad v_n = \frac{1}{4\pi\epsilon_0} \cdot \frac{2\pi \cdot e^2}{n \cdot h} \quad (2)$$

δούς η είναι δι κύριος κβαντικός ἀριθμός. 1) Πόση είναι ἡ ἀκτίνα r_1 τῆς θεμελιώδους τροχιᾶς καὶ ἡ ταχύτητα v_1 τοῦ ἡλεκτρονίου πάνω στή θεμελιώδη τροχιά; 2) Πόση είναι ἡ περίοδος T_1 καὶ ἡ συχνότητα v_1 τῆς κινήσεως τοῦ ἡλεκτρονίου πάνω στή θεμελιώδη τροχιά; 3) Νά βρεθούν τά μεγέθη r , v , T καὶ v γιά $n = 2, 3, 4,$.

$$1/4\pi\epsilon_0 = 9 \cdot 10^9 \text{ N} \cdot \text{m}^2/\text{Cb}^2 \quad h = 6,6 \cdot 10^{-34} \text{ Joule} \cdot \text{sec.}$$

$$m_e = 9 \cdot 10^{-31} \text{ kgr.} \quad e = 1,6 \cdot 10^{-19} \text{ Cb.} \quad \pi^2 = 10.$$

54. Ή δολική ένέργεια τού ήλεκτρονίου πάνω σέ μιά κβαντική τροχιά άκτινας γ δίνεται από τήν έξισωση :

$$E_{\text{ολ}} = - \frac{1}{4\pi\varepsilon_0} \cdot \frac{e^2}{2r} \quad (1)$$

1) Νά υπολογιστεῖ η δολική ένέργεια E_1 τού ήλεκτρονίου πάνω στή θεμελιώδη τροχιά, γιά τήν όποια είναι $r_1 = 0,5 \cdot 10^{-10}$ m. 2) Οι άκτινες τῶν κβαντικῶν τροχιῶν σέ συνάρτηση μέ τόν κύριο κβαντικό άριθμό n δίνονται από τήν έξισωση :

$$r_n = n^2 \cdot r_1 \quad (2)$$

Νά βρεθεῖ η δολική ένέργεια En τού ήλεκτρονίου πάνω σέ μιά κβαντική τροχιά σέ συνάρτηση μέ τά μεγέθη En και n.

$$1/4\pi\varepsilon_0 = 9 \cdot 10^9 \text{ N} \cdot \text{m}^2/\text{Cb}^2, \quad e = 1,6 \cdot 10^{-19} \text{ Cb}.$$

55. Στό ατομού ύδρογόνου, πού βρίσκεται σέ κανονική κατάσταση, τό ήλεκτρόνιο κινεῖται γύρω από τόν πυρήνα μέ συχνότητα $v = 6,6 \cdot 10^{15}$ Hz και η άκτινα τῆς θεμελιώδους τροχιᾶς είναι $r_1 = 0,5 \cdot 10^{-10}$ m. 1) Πόστ είναι η μαγνητική ροπή m^* τού μαγνητικοῦ διπόλου πού δημιουργεῖται από τήν κυκλική κίνηση τού ήλεκτρονίου; 2) Τό ήλεκτρόνιο πάνω σέ μιά κβαντική τροχιά άκτινας γ κινεῖται μέ ταχύτητα v και συχνότητα $v = v/2\pi r$. Αν λάβουμε ύπόψη τήν πρώτη συνθήκη τού Bohr, νά βρεθεῖ η μαγνητική ροπή m^* τού μαγνητικοῦ διπόλου πού δημιουργεῖται από τήν κίνηση τού ήλεκτρονίου σέ συνάρτηση μέ τόν κύριο κβαντικό άριθμό n.

56. Στό ατομού ύδρογόνου τό ήλεκτρόνιο, δταν περιφέρεται πάνω στή θεμελιώδη τροχιά έχει ένέργεια $E_1 = -13,6$ eV και πάνω στή δεύτερη κβαντική τροχιά ($n = 2$) έχει ένέργεια $E_2 = -3,4$ eV. Πόστ είναι τό μήκος κύματος τῆς άκτινοβολίας πού έκπέμπει τό ατομού ύδρογόνου, δταν τό ήλεκτρόνιο του πέφτει από τή δεύτερη κβαντική τροχιά πάνω στή θεμελιώδη; $h = 6,6 \cdot 10^{-34}$ Joule · sec.

57. Τό ατομού ύδρογόνου μπορεῖ νά έκπέμπει άκτινοβολία, δταν προσλάβει ένέργεια ίση με:

$$10,20 \text{ eV} \quad 12,09 \text{ eV} \quad 13,06 \text{ eV}$$

a) Νά βρεθεῖ σέ καθεμιά από τίς παραπάνω τρεῖς περιπτώσεις δύ κύριος κβαντικός άριθμός της τροχιᾶς στήν όποια μεταπηδάει τό ήλεκτρόνιο μέσα στό ατομού ύδρογόνου. b) Νά υπολογιστεῖ τό μήκος κύματος τῆς άκτινοβολίας πού έκπέμπει τό ατομού ύδρογόνου, δταν τό ήλεκτρόνιο ξαναγυρίζει πάλι πάνω στή θεμελιώδη τροχιά.

$$R_H = 1,097 \cdot 10^7 \text{ m}^{-1}, \quad h = 6,625 \cdot 10^{-34} \text{ Joule} \cdot \text{sec}, \quad c = 2,997 \cdot 10^8 \text{ m/sec}$$

58. Τό μήκος κύματος τῆς κίτρινης γραμμῆς D₁ τῶν άτμῶν νατρίου είναι $\lambda = 590$ nm. Ηστε είναι η διαφορά ένέργειας μεταξύ τῶν δύο κβαντικῶν τροχιῶν τού ήλεκτρονίου πού άντιστοιχούν στήν έκπομπή η τήν άπορρόφηση αὐτῆς τῆς άκτινοβολίας;

$$h = 6,6 \cdot 10^{-34} \text{ Joule} \cdot \text{sec}, \quad c = 3 \cdot 10^8 \text{ m/sec.}$$

59. Νά γραφούν οι δυνατές τιμές τῶν τεσσάρων κβαντικῶν άριθμῶν γιά ένα ήλεκτρόνιο πού έχει κύριο κβαντικό άριθμό n = 4.

60. Νά γραφούν γιά τό ατομού ήλιου ${}_2^{\text{He}}$ (σέ κανονική κατάσταση) οι κβαντικοί άριθμοι τῶν δύο ήλεκτρονίων του.

61. Νά γραφούν γιά τό ατομού λιθίου ${}_3^{\text{Li}}$ (σέ κανονική κατάσταση) οι κβαντικοί άριθμοι τῶν τριῶν ήλεκτρονίων του.

57. Φασματοσκοπία τῶν ἀκτίνων Röntgen.

Στήν Ὀπτική μέ τό φράγμα περιθλάσεως (§ 41) παίρνουμε τό φάσμα μιᾶς δέσμης φωτεινῶν ἀκτίνων. Γιά τίς ἀκτίνες Röntgen τό κρυσταλλικό πλέγμα ἐνός κρυστάλλου παίζει τό όρο φράγματος περιθλάσεως και ἐπομένως μποροῦμε νά λάβουμε τό φάσμα μιᾶς δέσμης ἀκτίνων Röntgen. Ἡ πειραματική ἔρευνα ἀπέδειξε δτι ἡ δέσμη ἀκτίνων Röntgen, πού ἐκπέμπεται ἀπό τήν ἀντικάθοδο, δταν ἀναλυθεῖ, δίνει ἑνα συνεχές φάσμα στό δποῖο προσθέτεται και ἑνα γραμμικό φάσμα.

1. Τό συνεχές φάσμα τῶν ἀκτίνων Röntgen. Πρός τήν πλευρά τῶν μεγαλύτερων συχνοτήτων τό συνεχές φάσμα τῶν ἀκτίνων Röntgen τελειώνει ἀπότομα, δηλαδή παρουσιάζει ἑνα σαφές ὅριο. Τό συνεχές φάσμα περιλαμβάνει πολλές συχνότητες, οι ὁποίες ἀντιστοιχοῦν σέ μιά μεγάλη ποικιλία φωτονίων Röntgen. Ἡ γένεσή τοῦ συνεχοῦν φάσματος ἐρμηνεύεται ὡς ἔξῆς:

Ἐνα ἡλεκτρόνιο πού βγαίνει ἀπό τή διάπυρη κάθοδο, ἔξαιτίας τής τάσεως U πού ὑπάρχει μεταξύ τής καθόδου και τής ἀντικαθόδου, ἐπιταχύνεται και φτάνει στήν ἀντικάθοδο μέ κινητική ἐνέργεια $E_{kv} = \frac{1}{2} m \cdot v^2$ ἵση μέ τό ἔργο e · U πού παράγεται ἀπό τό ἡλεκτρικό πεδίο κατά τή μεταφορά τοῦ ἡλεκτρονίου ἀπό τήν κάθοδο ὥς τήν ἀντικάθοδο, "Αρα ἰσχύει ἡ ἔξισωση:

$$\text{ἐνέργεια } \text{ἡλεκτρονίου} \quad E_{kv} = \frac{1}{2} m \cdot v^2 = e \cdot U \quad (1)$$

Σύμφωνα μέ τήν ἡλεκτρομαγνητική θεωρία τοῦ Maxwell, ὅταν ἑνα ἡλεκτρόνιο κινεῖται μέ ἐπιτάχυνση ($\gamma > 0$ ή $\gamma < 0$), τότε τό ἡλεκτρόνιο ἀποβάλλει ἐνέργεια μέ τή μορφή ἡλεκτρομαγνητικῆς ἀκτινοβολίας, δηλαδή μέ τή μορφή φωτονίου.

"Οταν τό ἡλεκτρόνιο συγκρούεται μέ τήν ἀντικάθοδο και προσπαθεῖ νά εισχωρήσει μέσα στήν ὅλη τής, τότε τό ἡλεκτρόνιο ὑφίσταται τροχοπέδηση (φρενάρισμα) και ἀποβάλει ἑνα μέρος ΔE τής κινητικῆς ἐνέργειας του μέ τή μορφή ἐνός φωτονίου Röntgen, συχνότητας v. Σ' αὐτή τήν περίπτωση ἰσχύει ἡ σχέση:

$$\text{ἐνέργεια } \text{φωτονίου} \quad \Delta E = h \cdot v \quad \text{η} \quad h \cdot v < E_{kv}$$

"Αν ὅλη ἡ κινητική ἐνέργεια (E_{kv}) τοῦ ἡλεκτρονίου μετατραπεῖ σέ ἐνέργεια ἐνός φωτονίου Röntgen, τότε αὐτό τό φωτόνιο ἔχει τή μέγιστη συχνότητα (v_{max}) πού ἀντιστοιχεῖ στήν ὑπάρχουσα τάση U. Ἐπομένως

ισχύει ή εξίσωση:

$$\text{μέγιστη ένέργεια φωτονίου} \quad h \cdot v_{\max} = E_{\text{kin}} \quad \text{ή} \quad h \cdot v_{\max} = e \cdot U \quad (2)$$

Από τήν εξίσωση (2) βρίσκουμε ότι ή μέγιστη συχνότητα τῶν φωτονίων Röntgen είναι:

$$\text{μέγιστη συχνότητα φωτονίων} \quad v_{\max} = \frac{e \cdot U}{h} \quad (3)$$

Αύτή ή μέγιστη συχνότητα τοῦ συνεχοῦς φάσματος τῶν άκτινων Röntgen άντιστοιχεῖ σέ ένα έλάχιστο μῆκος κύματος ίσο μέ :

$$\lambda_{\min} = \frac{c}{v_{\max}} \quad \text{ή} \quad \lambda_{\min} = \frac{h \cdot c}{e \cdot U} \quad (4)$$

Από τά παραπάνω συνάγεται ότι τά μήκη κύματος τῶν άκτινοβολιῶν τοῦ συνεχοῦς φάσματος τῶν άκτινων Röntgen δίνονται άπό τή σχέση :

$$\text{άκτινοβολίες τοῦ συνεχοῦς φάσματος} \quad \lambda \geq \frac{h \cdot c}{e \cdot U} \quad (5)$$

Η σχέση (5) φανερώνει ότι στίς πρακτικές έφαρμογές, μποροῦμε νά λάβουμε τόσο περισσότερο διεισδυτικές άκτινες Röntgen (δηλαδή μέ μικρότερο μῆκος κύματος λ), όσο μεγαλύτερη είναι ή τάση U μέ τήν δποία έπιταχύνονται τά ήλεκτρόνια.

2. Τό γραμμικό φάσμα τῶν άκτινων Röntgen. Τό γραμμικό φάσμα τῶν άκτινων Röntgen άποτελεῖται άπό δρισμένες όμαδες γραμμῶν πού δονομάζονται σειρά K, σειρά L και σειρά M. Ή έκπομπή τοῦ γραμμικοῦ φάσματος έχηγείται ώς έξης: Τά ήλεκτρόνια πού πέφτουν πάνω στήν άντικάθοδο έχουν μεγάλη κινητική ένέργεια. Τότε μερικά άτομα τοῦ μετάλλου άπορροφοῦν σημαντική ένέργεια και άποκτοῦν μιά άσταθή ένεργειακή κατάσταση πού λέγεται διέγερση τοῦ άτομου. Άλλά τό άτομο πού διεγέρθηκε άμεσως έπανέρχεται στή σταθερή ένεργειακή κατάστασή του άποβάλλοντας μέ τή μορφή φωτονίου Röntgen τήν ένέργεια πού πήρε άπό τό ήλεκτρόνιο. Ή συχνότητα πού μπορεῖ νά έχει αύτό τό φωτόνιο Röntgen είναι ορισμένη και έχαρτάται άπό τή δομή τοῦ άτομου τοῦ μετάλλου. Γι' αύτό πα-

ρατηρούμε ότι τό γραμμικό φάσμα τῶν ἀκτίνων Röntgen εἶναι χαρακτηριστικό τοῦ μετάλλου πού ἀποτελεῖ τήν ἀντικάθοδο.

3. Συμπεράσματα τῆς φασματοσκοπίας τῶν ἀκτίνων Röntgen. Η πειραματική ἔρευνα ἀπέδειξε ότι:

I. Μιά δέσμη ἀκτίνων Röntgen δίνει ἕνα συνεχές καὶ ἕνα γραμμικό φάσμα.

II. Τό συνεχές φάσμα τελειώνει ἀπότομα μέ μιά ἀκτινοβολία συχνότητας ν_{max} πού ἐξαρτᾶται ἀπό τήν ἐφαρμοζόμενη τάση U.

III. Τό γραμμικό φάσμα ἀποτελεῖται ἀπό τρεῖς σειρές ἀκτινοβολιῶν (K, L, M) πού οἱ συχνότητές τους ἐξαρτῶνται ἀπό τήν φύση τοῦ μετάλλου πού χρησιμοποιεῖται ως ἀντικάθοδος.

πειραματική της φασματοσκοπίας τῶν ἀκτίνων Röntgen οὐδὲ πού λογικό είναι τούτο τό τέλος της φασματοσκοπίας τῶν ἀκτίνων Röntgen. Καταλαβαττούμε τότε ότι τό τέλος της φασματοσκοπίας τῶν ἀκτίνων Röntgen εἶναι τό τέλος της φασματοσκοπίας τῶν ἀκτίνων Röntgen.

πειραματική της φασματοσκοπίας τῶν ἀκτίνων Röntgen οὐδὲ πού λογικό είναι τούτο τό τέλος της φασματοσκοπίας τῶν ἀκτίνων Röntgen. Καταλαβαττούμε τότε ότι τό τέλος της φασματοσκοπίας τῶν ἀκτίνων Röntgen εἶναι τό τέλος της φασματοσκοπίας τῶν ἀκτίνων Röntgen.

πειραματική της φασματοσκοπίας τῶν ἀκτίνων Röntgen οὐδὲ πού λογικό είναι τούτο τό τέλος της φασματοσκοπίας τῶν ἀκτίνων Röntgen. Καταλαβαττούμε τότε ότι τό τέλος της φασματοσκοπίας τῶν ἀκτίνων Röntgen εἶναι τό τέλος της φασματοσκοπίας τῶν ἀκτίνων Röntgen.

πειραματική της φασματοσκοπίας τῶν ἀκτίνων Röntgen οὐδὲ πού λογικό είναι τούτο τό τέλος της φασματοσκοπίας τῶν ἀκτίνων Röntgen. Καταλαβαττούμε τότε ότι τό τέλος της φασματοσκοπίας τῶν ἀκτίνων Röntgen εἶναι τό τέλος της φασματοσκοπίας τῶν ἀκτίνων Röntgen.

πειραματική της φασματοσκοπίας τῶν ἀκτίνων Röntgen οὐδὲ πού λογικό είναι τούτο τό τέλος της φασματοσκοπίας τῶν ἀκτίνων Röntgen. Καταλαβαττούμε τότε ότι τό τέλος της φασματοσκοπίας τῶν ἀκτίνων Röntgen εἶναι τό τέλος της φασματοσκοπίας τῶν ἀκτίνων Röntgen.

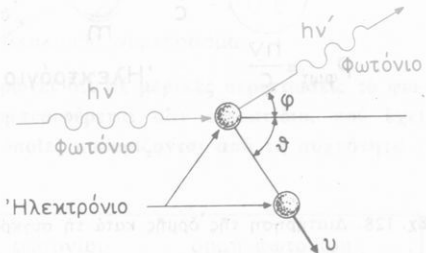
πειραματική της φασματοσκοπίας τῶν ἀκτίνων Röntgen οὐδὲ πού λογικό είναι τούτο τό τέλος της φασματοσκοπίας τῶν ἀκτίνων Röntgen. Καταλαβαττούμε τότε ότι τό τέλος της φασματοσκοπίας τῶν ἀκτίνων Röntgen εἶναι τό τέλος της φασματοσκοπίας τῶν ἀκτίνων Röntgen.

πειραματική της φασματοσκοπίας τῶν ἀκτίνων Röntgen οὐδὲ πού λογικό είναι τούτο τό τέλος της φασματοσκοπίας τῶν ἀκτίνων Röntgen. Καταλαβαττούμε τότε ότι τό τέλος της φασματοσκοπίας τῶν ἀκτίνων Röntgen εἶναι τό τέλος της φασματοσκοπίας τῶν ἀκτίνων Röntgen.

Φαινόμενο Compton–Φασματογράφος μαζών

58. Φαινόμενο Compton

Πάνω σέ ē να κομμάτι γραφίτη πέφτει άκτινοβολία Röntgen που \varepsilon χει μεγάλη συχνότητα v . Τότε δι γραφίτης έκπεμπει μιά δευτερογενή άκτινοβολία Röntgen, ή διοία κατά μιά δρισμένη διεύθυνση \varepsilon χει συχνότητα v' μικρότερη από τή συχνότητα v τής προσπίπτουσας άκτινοβολίας, δηλαδή είναι $v' < v$. Ταυτόχρονα από τό γραφίτη ξεφέγγουν ήλεκτρόνια, τά διοία συνήθως \varepsilon χουν μικρή ταχύτητα. Τό φαινόμενο αύτό δνομάζεται φαινόμενο Compton και είναι άποτέλεσμα ήλεκτρικής κρούσεως ένός φωτονίου μέ \varepsilon να ήλεκτρόνιο τού γραφίτη (σχ. 127).



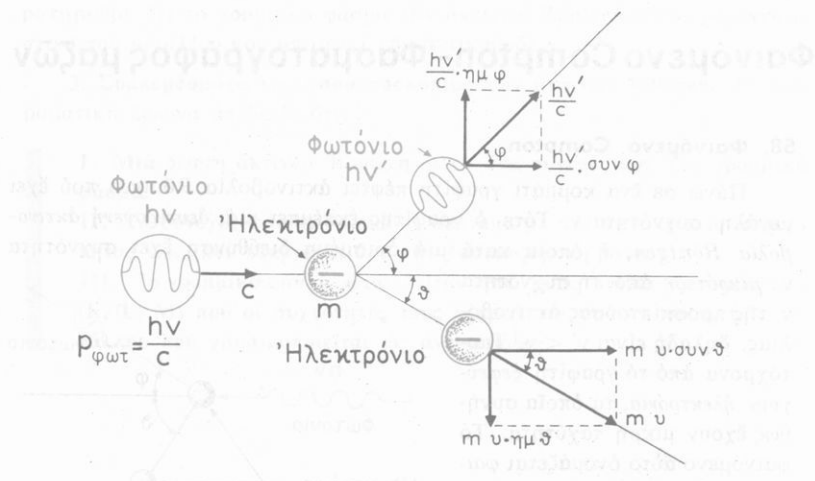
Σχ. 127. Φαινόμενο Compton.

α. Έρμηνεία τού φαινομένου Compton. Είναι γνωστό δι κατά τήν ήλαστική κρούση δύο μαζών ίσχυει ή άρχή τής διατηρήσεως τής ένέργειας και ή άρχή τής διατηρήσεως τής δρμής. Θεωροῦμε δι τό ήλεκτρόνιο τού γραφίτη άρχικά βρίσκεται σέ ήρεμία και \varepsilon χει μάζα m και δρμή \varepsilon ση μέ μηδέν.

Διατήρηση τής ένέργειας στό φαινόμενο Compton. Πάνω στό ήλεκτρόνιο τού γραφίτη πέφτει \varepsilon να φωτόνιο πού \varepsilon χει ένέργεια hv . Μετά τήν κρούση έμφανίζεται \varepsilon να δευτερογενές φωτόνιο πού κατά μιά δρισμένη διεύθυνση \varepsilon χει συχνότητα v' και έπομένως \varepsilon χει ένέργεια hv' (σχ. 128). Τό ήλεκτρόνιο πού \varepsilon ξεφέγγει από τό γραφίτη κινεῖται κατά δρισμένη διεύθυνση μέ ταχύτητα πού \varepsilon χει μέτρο v και έπομένως τό ήλεκτρόνιο \varepsilon χει κινητική ένέργεια $\frac{1}{2} mv^2$. Τό πείραμα δείχνει δι στό φαινόμενο Compton ίσχυει ή άρχή διατηρήσεως τής ένέργειας, δηλαδή ίσχυει ή έξισωση:

$$hv = hv' + \frac{1}{2} mv^2 \quad (1)$$

Μάζα και δρμή τοφωτονίου. Στό φαινόμενο Compton τό φωτόνιο συμπεριφέρεται σάν σωματίδιο πού \varepsilon χει μάζα και δρμή. Σύμφωνα μέ τήν άρχή



Σχ. 128. Διατήρηση τῆς δρμῆς κατά τή σύγκρουση τοῦ φωτονίου μὲ τό ήλεκτρόνιο.

τῆς ίσοδυναμίας μάζας καὶ ἐνέργειας ή ἐνέργεια $h\nu$ τοῦ φωτονίου ίσοδυναμεῖ μέ μάζα τοῦ φωτονίου $p_{\text{φωτ}}$ καὶ ἐπομένως ίσχύει ή ἔξισωση:

$$h\nu = m_{\text{φωτ}} \cdot c^2$$

"Αρα η ἐνέργεια τοῦ φωτονίου ίσοδυναμεῖ μέ μάζα τοῦ φωτονίου :

μάζα φωτονίου	$m_{\text{φωτ}} = \frac{h\nu}{c^2}$	(2)
---------------	-------------------------------------	-----

"Η ταχύτητα τοῦ φωτονίου ἔχει μέτρο c . "Αρα η δρμή τοῦ φωτονίου ($p_{\text{φωτ}}$) ἔχει μέτρο:

$p_{\text{φωτ}} = m_{\text{φωτ}} \cdot c$ ή	δρμή φωτονίου	$p_{\text{φωτ}} = \frac{h\nu}{c}$	(3)
---------------------------------------------	---------------	-----------------------------------	-----

Διατήρηση τῆς δρμῆς στό φαινόμενο Compton. Πρίν ἀπό τήν κρούση τό ήλεκτρόνιο ἔχει δρμή ίση μέ μηδέν καὶ τό φωτόνιο ἔχει δρμή πού τό μέτρο τῆς είναι $\frac{h\nu}{c}$ (σχ. 128). Μετά τήν κρούση τό δευτερογενές φωτόνιο πού παράγεται ἔχει δρμή, πού τό μέτρο τῆς είναι $\frac{h\nu'}{c}$ καὶ η διεύθυνσή της

σχηματίζει γωνία φ μέ τή διεύθυνση τῆς όρμης τοῦ ἀρχικοῦ φωτονίου. Ἀπό τὸ γραφίτη ἀποσπᾶται ἔνα ἡλεκτρόνιο πού ἡ ταχύτητά του ἔχει μέτρον. Ἡ όρμη αὐτοῦ τοῦ ἡλεκτρονίου ἔχει μέτρο τυ καὶ ἡ διεύθυνσή της σχηματίζει γωνία θ μέ τή διεύθυνση τῆς όρμης τοῦ ἀρχικοῦ φωτονίου. Τό πείραμα δείχνει ὅτι στό φαινόμενο Compton ίσχύει ἡ ἀρχή τῆς διατροφῆσεως τῆς όρμης, δηλαδή ἰσχύουν οἱ ἀκόλουθες ἐξισώσεις:

$$\frac{hv}{c} = \frac{hv'}{c} \cdot \sin \varphi + mv \cdot \sin \theta \quad (4)$$

$$\frac{hv'}{c} \cdot \eta \mu \varphi - mv \cdot \eta \mu \theta = 0 \quad (5)$$

Ἄπο τά παραπάνω συνάγεται τό ἀκόλουθο συμπέρασμα:

Τό φαινόμενο Compton φανερώνει ὅτι σέ μερικές περιπτώσεις τό φωτόνιο μιᾶς ἀκτινοβολίας συμπεριφέρεται σάν σωματίδιο, πού ἔχει ἐνέργεια, μάζα καὶ όρμη, οἱ ὁποῖες καθορίζονται ἀπό τή συχνότητα ν τῆς ἀκτινοβολίας.

ἐνέργεια φωτονίου	μάζα φωτονίου	όρμη φωτονίου
$E_{\text{phot}} = hv$	$m_{\text{phot}} = \frac{hv}{c^2} = \frac{h}{c\lambda}$	$p_{\text{phot}} = \frac{hv}{c} = \frac{h}{\lambda}$

β. Σωματιδιακή φύση τῆς ἀκτινοβολίας. Τό πείραμα ἀπέδειξε ὅτι ἡ ἡλεκτρομαγνητική ἀκτινοβολία σέ δρισμένες περιπτώσεις (συμβολή, περίθλαση, πόλωση) ἐκδηλώνει καθαρά τήν κυματική φύση της. Τό πείραμα ὅμως ἀπέδειξε ἐπίσης ὅτι ἡ ἡλεκτρομαγνητική ἀκτινοβολία σέ δρισμένες ἄλλες περιπτώσεις (φαινόμενο Compton) συμπεριφέρεται ὡς ροή φωτονίων, τά όποια ίσοδυναμοῦν μέ σωματίδια. "Ωστε ἡ πειραματική ἔρευνα ἀπέδειξε ὅτι ἡ ἡλεκτρομαγνητική ἀκτινοβολία παρουσιάζεται δισυπόστατη καὶ ἀνάλογα μέ τό φαινόμενο πού ἐξετάζουμε, ἄλλοτε μᾶς ἐμφανίζει μόνο τήν κυματική φύση της καὶ ἄλλοτε μᾶς ἐμφανίζει μόνο τή σωματιδιακή φύση της. Τό φαινόμενο Compton ἀποδεικνύει ὅτι γιά τήν ἐνέργεια καὶ τή μάζα τοῦ φωτονίου ίσχύει ἡ ἐξίσωση ίσοδυναμίας $hv = m_{\text{phot}} c^2$.

Ἄπο αὐτή τήν ἐξίσωση βρίσκουμε:

$$m_{\text{phot}} = \frac{h}{c\lambda} \quad \text{ἄρα} \quad \lambda = \frac{h}{m_{\text{phot}} c} \quad (6)$$

Ἡ ἐξίσωση (6) ἐκφράζει τό δισυπόστατο τῆς ἡλεκτρομαγνητικῆς ἀκτινοβολίας, γιατί συνδέει τό μῆκος κύματος λ (κυματική φύση) τῆς ἀκτι-

νοβολίας μέ τή μάζα $m_{φωτ}$ (σωματιδιακή φύση) ένός φωτονίου αὐτῆς τῆς ἀκτινοβολίας. Ἀπό τά παραπάνω συνάγεται ὅτι:

Η ἡλεκτρομαγνητική ἀκτινοβολία, ἀνάλογα μέ τό φαινόμενο πού παρατηροῦμε, ἐμφανίζει κυματικές ἢ σωματιδιακές ιδιότητες.

59. Υλικά κύματα

Η κυματική καί ἡ σωματιδιακή φύση τῆς ἡλεκτρομαγνητικῆς ἀκτινοβολίας ἐκφράζεται μέ τή γνωστή ἑξίσωση:

$$\lambda = \frac{h}{m_{φωτ} c} \quad (1)$$

Ο Louis de Broglie (1924) ἀπέδειξε θεωρητικά ὅτι ἡ ἑξίσωση (1) ἰσχύει καὶ γιά ἔνα σωματίδιο (ἡλεκτρόνιο, πρωτόνιο, νετρόνιο κ.ἄ.) πού ἔχει μάζα m , κινεῖται μέ ταχύτητα πού τό μέτρο τῆς είναι v καὶ ἐπομένως τό σωματίδιο ἔχει ὅρμη πού τό μέτρο τῆς είναι p . "Ἄρα σέ δρισμένες περιπτώσεις αὐτό τό σωματίδιο πρέπει νά ἐμφανίζει κυματικές ιδιότητες. "Ετσι ὁ de Broglie ἀπέδωσε καὶ στήριξε τό δισυπόστατο πού ἐμφανίζει ἡ ἡλεκτρομαγνητική ἀκτινοβολία καὶ ἀπέδειξε θεωρητικά ὅτι:

Ἐνα σωματίδιο, πού ἔχει μάζα m καὶ κινεῖται μέ ταχύτητα v , συνοδεύεται ἀπό ἔνα κύμα πού ἔχει μῆκος κύματος, τό δόποιο προσδιορίζεται ἀπό τήν ἑξίσωση :

$$\text{μῆκος κύματος} \quad \lambda = \frac{h}{mv} \quad \text{ἢ} \quad \lambda = \frac{h}{p} \quad (2)$$

ὅπου h είναι ἡ σταθερή τοῦ Planck καὶ $p = mv$ είναι ἡ ὅρμη τοῦ σωματιδίου. Τό κύμα πού συνοδεύει τό κινούμενο σωματίδιο ὀνομάζεται κύμα de Broglie ἢ ψήλικό κύμα ἢ καὶ κύμα ψ . Αὐτό τό κύμα δέν είναι ἡλεκτρομαγνητικῆς φύσεως, ὅπως συμβαίνει μέ τό φωτόνιο. Η θεωρία τοῦ de Broglie ἄνοιξε νέους ὅριζοντες στήν ἀνάπτυξη τῆς Κβαντομηχανικῆς.

Οι κυματικές ιδιότητες τῶν κινούμενων σωμάτων δέν μποροῦν νά ἀποδειχτοῦν γιά τά συνηθισμένα σώματα τοῦ μακρόστομου πού ἔχουν μεγάλη μάζα. Γιατί σ' αὐτή τήν περίπτωση τό μῆκος κύματος λ τοῦ ψήλικού κύματος είναι πολύ μικρό καὶ δέν μποροῦμε μέ τά σύγχρονα δργανα νά παρατηρήσουμε τά κυματικά φαινόμενα πού ὀφείλονται στίς κυματικές ιδιότητες τῶν σωμάτων.

Παράδειγμα. "Ενα σῶμα έχει μάζα $m = 1 \text{ gr}$ και κινεῖται μέ ταχύτητα $v = 1 \text{ m/sec}$. Τότε τό μῆκος κύματος λ τοῦ ύλικοῦ κύματος είναι:

$$\lambda = \frac{h}{mv} = \frac{6,6 \cdot 10^{-34} \text{ Joule} \cdot \text{sec}}{10^{-3} \text{ kgr} \cdot 1 \text{ m/sec}} \quad \text{και} \quad \lambda = 6,6 \cdot 10^{-31} \text{ m}$$

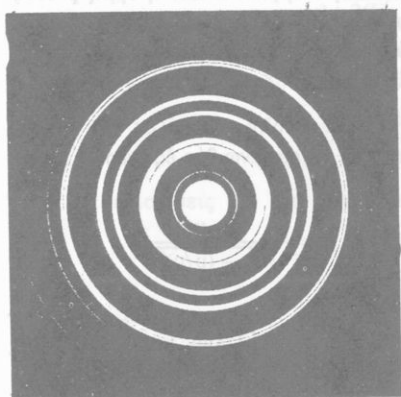
Τά κυματικά φαινόμενα πού άναφέρονται στό τόσο μικρό μῆκος κύματος είναι άδύνατο νά παρατηρηθοῦν και γι' αὐτό μένει άπαρατήρητη ή κυματική φύση τῶν συνθησιμένων σωμάτων.

'Αντίθετα γιά ένα ηλεκτρόνιο πού έχει μάζα $m = 9 \cdot 10^{-31} \text{ kgr}$ και κινεῖται μέταχύτητα $v = 6,6 \cdot 10^7 \text{ m/sec}$ τό μῆκος κύματος λ τοῦ ύλικοῦ κύματος είναι:

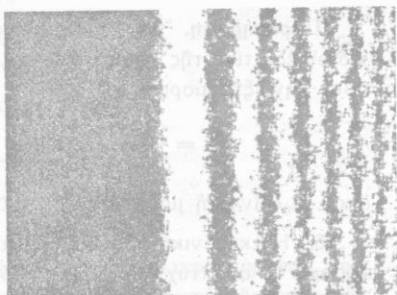
$$\lambda = \frac{h}{mv} = \frac{6,6 \cdot 10^{-34} \text{ Joule} \cdot \text{sec}}{9 \cdot 10^{-31} \text{ kgr} \cdot 6,6 \cdot 10^7 \text{ m/sec}} \quad \text{και} \quad \lambda \simeq 10^{-11} \text{ m} \simeq 0,1 \text{ Å}$$

Τό παραπάνω μῆκος κύματος είναι τῆς ίδια τάξεως μέ τά μήκη κύματος τῶν άκτινων Röntgen και ἐπομένως τά κυματικά φαινόμενα πού άναφέρονται στό κινούμενο ηλεκτρόνιο είναι εύκολο νά παρατηρηθοῦν.

β. Πειραματική ἀπόδειξη τῶν ύλικῶν κυμάτων. Οἱ κυματικές ίδιότητες πού έχουν τά κινούμενα σωματίδια ἀποδεικνύονται πειραματικά ἀπό τά φαινόμενα συμβολῆς και περιθλάσεως πού παρατηροῦμε, ὅταν τά κινούμενα σωματίδια περνοῦν μέσα ἀπό λεπτά μεταλλικά φύλλα (σχ. 129), μέσα ἀπό λεπτές σχισμές ή πέφτουν πάνω στήν ἀκμή λεπτῶν κρυστάλλων (σχ. 130). Τέτοια κυματικά φαινόμενα παρατηροῦμε ὅχι μόνο μέ ηλεκτρόνια,



Σχ. 129. Περιθλαση δέσμης ηλεκτρονίων πού περνοῦν μέσα ἀπό λεπτό φύλλο ἀλουμινίου.



Σχ. 130. Κροσσοί περιθλάσεως ἀπό δέσμη ηλεκτρονίων πού πέφτει πάνω σέ ἀκμή λεπτοῦ κυβικοῦ κρυστάλλου.

αλλά και μέ πρωτόνια και νετρόνια και άκομη μέ στομα ήλιου, νέου, άργος.

γ. Θεμελιώδεις έξισώσεις της Κβαντομηχανικής. "Ενα σωματίδιο έχει μάζα m και κινεῖται μέ ταχύτητα v . "Αν πραλείψουμε τή μεταβολή τῆς μάζας τοῦ σωματίδιου έξαιτίας τῆς ταχύτητάς του, τότε ή μάζα τοῦ σωματίδιου ίσοδυναμεῖ μέ ένέργεια $E = mc^2$. Τό σωματίδιο έχει όρμή πού τό μέτρο της είναι $p = mv$. "Η Κβαντομηχανική άποδεικνύει δτι τό σωματίδιο αὐτό συνοδεύεται από ύλικό κύμα πού έχει μῆκος κύματος:

$$\lambda = \frac{h}{mv} = \frac{h}{p} \quad \text{ἄρα} \quad \boxed{\text{όρμη σωματίδιου} \quad p = \frac{h}{\lambda}} \quad (3)$$

"Η έξισωση (3) δίνει τήν όρμή τοῦ σωματίδιου σέ συνάρτηση μέ τό μῆκος κύματος λ τοῦ ύλικοῦ κύματος.

Τό ύλικό κύμα έχει συχνότητα v . Στήν Κβαντομηχανική άποδεικνύεται δτι ή ένέργεια E τοῦ σωματίδιου σέ συνάρτηση μέ τή συχνότητα v τοῦ ύλικοῦ κύματος δίνεται από τήν έξισωση:

$$\boxed{\text{ένέργεια σωματίδιου} \quad E = hv} \quad (4)$$

"Η έξισωση (4) είναι άναλογη μέ τήν έξισωση τοῦ Planck, ή δποία προσδιορίζει τήν ένέργεια τοῦ φωτονίου. "Από τά παραπάνω συνάγεται τό άκοδουθο συμπέρασμα:

"Η Κβαντομηχανική άποδεικνύει δτι ή ένέργεια E και ή όρμή p ἐνός κινούμενου σωματίδιου σέ συνάρτηση μέ τά κυματικά μεγέθη λ και v τοῦ ύλικοῦ κύματος δίνονται από τίς θεμελιώδεις έξισώσεις :

$$E = hv \quad \text{και} \quad p = h/\lambda$$

Παρατήρηση. "Αν λάβουμε ύποψη τή μεταβολή τῆς μάζας τοῦ σωματίδιου έξαιτίας τῆς ταχύτητάς του, τότε οί παραπάνω δύο έξισώσεις παίρνουν τήν έξῆς μορφή.

$$E = \frac{m_0 c^2}{\sqrt{1 - (v/c)^2}} \quad \text{και} \quad p = \frac{m_0 v}{\sqrt{1 - (v/c)^2}}$$

δπον m_0 είναι ή μάζα ήρεμίας τοῦ σωματίδιου.

δ. **'Ηλεκτρονική 'Οπτική.** "Η άνακάλυψη τῶν ύλικῶν κυμάτων έδωσε άφορμή νά άναπτυχτεῖ δ νέος κλάδος τῆς Φυσικῆς πού δνομάζεται **'Ηλεκτρονική 'Οπτική.** Σημαντική έφαρμογή αὐτοῦ τοῦ κλάδου είναι τό ήλεκτρονικό μικροσκόπιο. Στό δπτικό μικροσκόπιο ή διαχωριστική ίκανότητα περιορίζεται από τό μῆκος κύματος τοῦ δρατοῦ φωτός πού χρησιμοποιούμε.

"Οσο μικρότερο είναι τό μήκος κύματος του φωτός, τόσο μεγαλύτερη είναι η διαχωριστική ίκανότητα πού πετυχαίνουμε. Τά ύλικά κύματα πού συνοδεύουν τό κινούμενο ήλεκτρόνιο έχουν μήκη κύματος πολύ μικρότερα από τά μήκη κύματος τῶν όρατῶν ἀκτινοβολιῶν καί ἔτσι μέ τό ήλεκτρονικό μικροσκόπιο πετυχαίνουμε πολύ μεγάλη διαχωριστική ίκανότητα. "Ετοι ἂν ένα ήλεκτρόνιο κινεῖται μέ ταχύτητα $v = 1,5 \cdot 10^8 \text{ m/sec}$, τότε τό μήκος κύματος λ τοῦ ύλικοῦ κύματος είναι ἵσο μέ $\lambda = 4 \cdot 10^{-12} \text{ m}$ δηλαδή είναι 10^5 φορές μικρότερο από τό μήκος κύματος τῆς ἄκρας όρατης ιώδους ἀκτινοβολίας ($\lambda = 4 \cdot 10^{-7} \text{ m}$).

60. Υλικά κύματα μέσα στό ἄτομο ύδρογόνου

α. Σχέση τοῦ μήκους κύματος λ μέ τήν ἐνέργεια τοῦ ήλεκτρονίου. Στό ἄτομο ύδρογόνου τό ήλεκτρόνιο κινεῖται μέσα στό ήλεκτρικό πεδίο τοῦ πυρήνα καί έχει δυναμική ἐνέργεια $E_{\text{δυ}}$ καί κινητική ἐνέργεια:

$$E_{\text{κιν}} = \frac{1}{2} m_e v^2 \quad (1)$$

Τό ήλεκτρόνιο έχει όλική ἐνέργεια:

$$E_{\text{ολ}} = E_{\text{κιν}} + E_{\text{δυ}} \quad \text{ἄρα} \quad E_{\text{κιν}} = E_{\text{ολ}} - E_{\text{δυ}} \quad (2)$$

Από τίς ἔξισώσεις (1) καί (2) βρίσκουμε ὅτι ή ταχύτητα v τοῦ ήλεκτρονίου είναι:

$$v = \sqrt{\frac{2(E_{\text{ολ}} - E_{\text{δυ}})}{m_e}} \quad (3)$$

Τό μήκος κύματος λ τοῦ ύλικοῦ κύματος είναι :

$$\lambda = \frac{h}{m_e v} \quad (4)$$

Από τίς ἔξισώσεις (3) καί (4) βρίσκουμε:

$$\lambda^2 = \frac{h^2}{2m_e (E_{\text{ολ}} - E_{\text{δυ}})} \quad (5)$$

Η ἔξισωση (5) φανερώνει ὅτι:

Στό ἄτομο ύδρογόνου τό μήκος κύματος λ τοῦ ύλικοῦ κύματος, πού συνοδεύει τό ήλεκτρόνιο, είναι συνάρτηση τῆς ἐνέργειακῆς καταστάσεως τοῦ ήλεκτρονίου.

β. Ἐπιτρεπόμενες τροχιές καί ήλεκτρονικό νέφος. Στό ἄτομο ύδρογό-

νου τό ήλεκτρόνιο μπορεῖ νά κινεῖται μόνο πάνω σέ όρισμένες κβαντικές τροχιές πού καθορίζονται από τήν πρώτη συνθήκη τοῦ Bohr:

$$m_e v r = n \frac{h}{2\pi} \quad \text{ἄρα} \quad 2\pi r = n \frac{h}{m_e v} \quad (6)$$

Τό ήλεκτρόνιο κινούμενο μέ ταχύτητα v πάνω σέ μιά κβαντική τροχιά άκτινας r , συνοδεύεται από ίλικό κύμα πού έχει μῆκος κύματος:

$$\lambda = \frac{h}{m_e v}$$

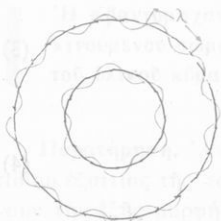
Έπομένως ή έξισωση (6) φανερώνει δτι:

Στό ίτομο ίδρογόνου τό ήλεκτρόνιο μπορεῖ νά κινεῖται γύρω από τόν πυρήνα πάνω σέ όρισμένες τροχιές, πού τό μῆκος τους ($2\pi r$) είναι ακέραιο πολλαπλάσιο (n) τοῦ μήκους κύματος (λ) τοῦ ίλικοῦ κύματος.

$$\text{έπιτρεπόμενες τροχιές} \quad 2\pi r = n \cdot \lambda$$

δπου n είναι δ κύριος κβαντικός άριθμός. Τό παραπάνω συμπέρασμα τής Κβαντομηχανικής έρμηνεύει τήν πρώτη συνθήκη τοῦ Bohr πού διατυπώθηκε αυθαίρετα. Σύμφωνα μέ τήν Κβαντομηχανική, δπως πάνω σέ μιά

χορδή σχηματίζεται όρισμένος έπιτρεπόμενος άριθμός στάσιμων κυμάτων έτσι και πάνω σέ κάθε έπιτρεπόμενη τροχιά σχηματίζεται όρισμένο σύστημα στάσιμων ίλικῶν κυμάτων (σχ. 131). Αύτό τό σύστημα έχει τρεῖς διαστάσεις και περιβάλλει ίλικληρο τόν πυρήνα. Τό σύστημα τῶν στάσιμων κυμάτων άποτελεῖ τό ήλεκτρονικό νέφος πού μέσα σ' αύτό κατανέμεται ή μάζα και τό φορτίο τοῦ ήλεκτρονίου. Σέ κάθε ένεργειακή κατάσταση τοῦ ήλεκτρονίου άντιστοιχεῖ όρισμένη μορφή τοῦ ήλεκτρονικοῦ νέφους (σχ. 132). Άπο τά παραπάνω συνάγεται τό άκόλουθο συμπέρασμα:



Σχ. 131. Τό μῆκος τής τροχιᾶς τοῦ ήλεκτρονίου είναι ακέραιο πολλαπλάσιο τοῦ μήκους κύματος λ τοῦ ίλικοῦ κύματος.

Στό ίτομο ίδρογόνου τό ήλεκτρόνιο, κινούμενο μέσα στό ήλεκτρικό πεδίο τοῦ πυρήνα, παίρνει διάφορες γεωμετρικές μορφές ήλεκτρονικοῦ νέφους, οί όποιες άπλωνται στό χώρο γύρω από τόν πυρήνα.

Κάθε μορφή τοῦ ήλεκτρονικοῦ νέφους άντιστοιχεῖ σέ όρισμένη ένεργειακή κατάσταση τοῦ ήλεκτρονίου.

"Οπως βλέπουμε στό σχήμα 139 ή μορφή του ήλεκτρονικού νέφους σχετίζεται με τόν κύριο κβαντικό άριθμό πι καθώς και με τούς άλλους κβαντικούς άριθμούς του ήλεκτρονίου.

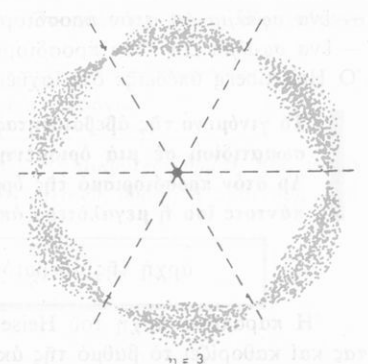
61. Αρχή της άβεβαιότητας

Στά μακροσκοπικά φαινόμενα άπό τήν κίνηση ένός σώματος πάνω στήν τροχιά του μπορούμε νά ξέρουμε τή θέση και τήν ταχύτητα τού σώματος σέ μια δρισμένη χρονική στιγμή.

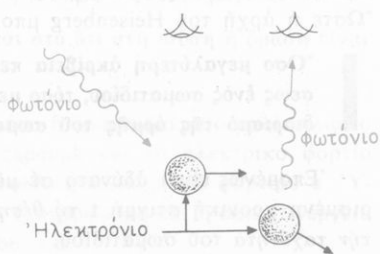
"Ας υποθέσουμε δτι θέλουμε νά προσδιορίσουμε τή θέση ένός ήλεκτρονίου πού κινεῖται με σταθερή ταχύτητα υ πάνω σέ έναν άξονα (σχ. 133). Γιά νά παρατηρήσουμε τό ηλεκτρόνιο, πρέπει νά άφήσουμε νά πέσει πάνω του ένα φωτόνιο. Αυτό τό φωτόνιο πρέπει έπειτα νά μπει μέσα στό μικροσκόπιο μέ τό δποίο κάνουμε τήν παρατήρηση.

"Άλλά τό φωτόνιο πού πέφτει πάνω στό ηλεκτρόνιο έχει ένέργεια $h\nu$ και, δπως δείχνει τό φαινόμενο Compton, ή πτώση τού φωτονίου πάνω στό ηλεκτρόνιο ίσοδυναμεί με μηχανική κρούση, ή δποία προκαλεί μεταβολή τής δρμής τού ηλεκτρονίου κατά Δρ. Αυτή ή μεταβολή τής δρμής τού ηλεκτρονίου είναι τής ίδιας τάξεως με τήν δρμή τού φωτονίου h/λ και προκαλεῖται, όταν προσπαθούμε νά παρατηρήσουμε τό κινούμενο ηλεκτρόνιο.

"Ο Heisenberg (1927) άπέδειξ δτι στήν περίπτωση ένός σωματιδίου, δπως είναι τό ηλεκτρόνιο, δέν είναι δυνατό νά μετρηθούν ταυτόχρονα μέ άκριβεια ή θέση και ή ταχύτητα τού σωματιδίου. "Αν τό σωματίδιο έχει μάζα m και κινεῖται πάνω στόν άξονα Οχ μέ ταχύτητα πού τό μέτρο της υ είναι σταθερό, τότε τό σωματίδιο έχει δρμή πού τό μέτρο της είναι ίσο μέ $p = mv$. "Αν σέ μια δρισμένη χρονική στιγμή τ προσδιορίσουμε τή θέση τού σωματιδίου πάνω στήν τροχιά του (δηλαδή τήν τετμημένη x) και τήν δρμή p τού σωματιδίου, τότε στίς μετρήσεις μας ύπαρχουν πάντοτε:



Σχ. 132. Σχηματική παράσταση τών ύλικων κυμάτων στό άτομο ύδρογόνου, δταν τό ηλεκτρόνιο κινεῖται πάνω στήν κβαντική τροχιά $n = 3$.



Σχ. 133. Γιά νά παρατηρήσουμε τό ηλεκτρόνιο πρέπει νά πέσει πάνω του ένα φωτόνιο.

- ἔνα σφάλμα Δx στόν προσδιορισμό τῆς θέσεως καὶ
 — ἔνα σφάλμα Δp στόν προσδιορισμό τῆς δρμῆς τοῦ σωματιδίου.
- Ο Heisenberg ἀπέδειξε ὅτι ίσχυει ἡ ἀκόλουθη ἀρχὴ :

Τό γινόμενο τῆς ἀβεβαιότητας Δx στόν προσδιορισμό τῆς θέσεως ἐνός σωματιδίου σέ μιά δρισμένη χρονική στιγμή ἐπί τήν ἀβεβαιότητα Δp στόν προσδιορισμό τῆς δρμῆς κατά τήν ἴδια χρονική στιγμή είναι πάντοτε ίσο ἡ μεγαλύτερο ἀπό τή σταθερή τοῦ Planck h .

$$\text{ἀρχὴ τῆς ἀβεβαιότητας} \quad \Delta x \cdot \Delta p \geq h$$

Ἡ παραπάνω ἀρχὴ τοῦ Heisenberg δονομάζεται ἀρχὴ τῆς ἀβεβαιότητας καὶ καθορίζει τό βαθμό τῆς ἀκρίβειας πού ἔχουν οἱ γνώσεις μας στήν περιοχή τοῦ μικρόκοσμου.

Ἐπειδή τό γινόμενο τῶν δύο σφαλμάτων $\Delta x \cdot \Delta p$ είναι πάντοτε ίσο ἡ μεγαλύτερο ἀπό τή σταθερή h , συνάγεται ὅτι, ὅταν τό ἔνα ἀπό αὐτά τά σφάλματα τείνει πρός τό μηδέν, τό ἄλλο σφάλμα τείνει πρός τό ἄπειρο. "Ωστε ἡ ἀρχὴ τοῦ Heisenberg μπορεῖ νά διατυπωθεῖ καὶ ἔτσι:

"Οσο μεγαλύτερη ἀκρίβεια πετυχαίνουμε στόν προσδιορισμό τῆς θέσεως ἐνός σωματιδίου, τόσο μεγαλύτερο γίνεται τό σφάλμα στόν προσδιορισμό τῆς δρμῆς τοῦ σωματιδίου καὶ ἀντίστροφα.

Ἐπομένως είναι ἀδύνατο σέ μᾶς νά γνωρίζουμε ταυτόχρονα σέ μιά δρισμένη χρονική στιγμή τή θέση καὶ τήν δρμή τοῦ σωματιδίου, ἄρα καὶ τήν ταχύτητα τοῦ σωματιδίου.

Ἡ ἀρχὴ τῆς ἀβεβαιότητας είναι μιά γενική ἀρχὴ πού ίσχυει γιά δλα τά ζεύγη μεταβλητῶν, πού μέ αὐτά μπορεῖ νά χαρακτηριστεῖ ἡ κατάσταση ἐνός συστήματος. "Ετσι π.χ. ἂν μετρήσουμε τήν ἐνέργεια E πού ἐκπέμπει ἔνα σύστημα στή διάρκεια ἐνός χρόνου t , τότε τό σφάλμα ΔE στόν προσδιορισμό τῆς ἐνέργειας καὶ τό σφάλμα Δt στόν προσδιορισμό τοῦ χρόνου συνδέονται μέ τή σχέση:

$$\Delta E \cdot \Delta t \geq h$$

a. Ἡ δράση. Ἡ ἀβεβαιότητα πού ἐμφανίζεται, ὅταν μελετᾶμε τό μικρόκοσμο, δέν δφείλεται στήν ἀτέλεια τῶν ἐπιστημονικῶν μας γνώσεων, ἄλλά δφείλεται σέ μιά γενική ἰδιότητα τῆς Φύσεως.

Ξέρουμε ὅτι ἡ ἐνέργεια πού μεταφέρει ἔνα φωτόνιο δίνεται ἀπό τήν ἔξισωση:

$$E = h \cdot v \quad \text{ἄρα} \quad h = \frac{E}{v} = \frac{\text{Joule}}{\text{sec}^{-1}} = \text{Joule} \cdot \text{sec}$$

"Ωστε ή σταθερή τοῦ Planck είναι ἔνα φυσικό μέγεθος πού είναι ἵσο με τὸ γινόμενο ἐνέργειας (E) ἐπὶ χρόνο (t). Όνομάζουμε δράση τὸ γινόμενο τῆς ἐνέργειας ἐπὶ τὸ χρόνο.

$$\text{δράση} = \text{ἐνέργεια} \cdot \text{χρόνος}$$

"Αρα ή σταθερή τοῦ Planck ή ἐκφράζει τὴν μικρότερη δράση πού ὑπάρχει στή Φύση καὶ γι' αὐτό τὴν λέμε στοιχειώδη δράση ή κβάντουμ δράσεως.

$$\text{στοιχειώδης δράση} \quad h = 6,6 \cdot 10^{-34} \text{ Joule} \cdot \text{sec}$$

Η πειραματική ἔρευνα ἀπέδειξε ὅτι:

■ Στή Φύση ή δράση είναι πάντοτε ἵση μὲ ἀκέραιο πολλαπλάσιο τῆς στοιχειώδους δράσεως h .

Γι' αὐτό λέμε ὅτι ή δράση είναι ἔνα κβαντωμένο φυσικό μέγεθος.

■ Η ἀρχή τῆς ἀβεβαιότητας βασίζεται στό ὅτι στή Φύση ή δράση είναι ἔνα κβαντωμένο μέγεθος.

Παρατήρηση. Στή Φύση δέν είναι μόνο ή δράση ἀκέραιο πολλαπλάσιο τῆς στοιχειώδους δράσεως h . "Οπως ξέρουμε καὶ τὸ ἡλεκτρικό φορτίο είναι ἀκέραιο πολλαπλάσιο τοῦ στοιχειώδους ἡλεκτρικοῦ φορτίου e. Υπάρχουν πολλά κβαντωμένα μεγέθη, π.χ. ή στροφορμή καὶ ή ὀλική ἐνέργεια τοῦ ἡλεκτρονίου στό ἄτομο ὑδρογόνου κ.ἄ.

β. Ἐφαρμογή τῆς ἀρχῆς τῆς ἀβεβαιότητας στό μικρόκοσμο καὶ στό μακρόκοσμο. 1. "Ενα ἡλεκτρόνιο κινεῖται μὲ ταχύτητα v. Η μάζα τοῦ ἡλεκτρονίου κατά προσέγγιση είναι ἵση μὲ $m = 10^{-30}$ kgr. Θέλουμε νά προσδιορίσουμε τὴν θέση τοῦ ἡλεκτρονίου μὲ ἀκρίβεια $0,01$ Å. Τότε είναι $\Delta x = 10^{-12}$ m. Η ἀβεβαιότητα στόν προσδιορισμό τῆς δρμῆς είναι:

$$\Delta p \geq \frac{h}{\Delta x} \quad \text{ἄρα} \quad m \cdot \Delta v \geq \frac{h}{\Delta x}$$

"Επομένως ή ἀβεβαιότητα στόν προσδιορισμό τῆς ταχύτητας τοῦ ἡλεκτρονίου είναι:

$$\Delta v \geq \frac{h}{m \cdot \Delta x} \quad \text{ἢ} \quad \Delta v \geq \frac{6,6 \cdot 10^{-34} \text{ Joule} \cdot \text{sec}}{10^{-30} \text{ kgr} \cdot 10^{-12} \text{ m}}$$

καὶ $\Delta v \geq 6,6 \cdot 10^8 \text{ m/sec}$

Η άβεβαιότητα στόν προσδιορισμό τῆς ταχύτητας τοῦ ήλεκτρονίου είναι μεγαλύτερη από τήν ταχύτητα τοῦ φωτός στό κενό ($c = 3 \cdot 10^8 \text{ m/sec}$).

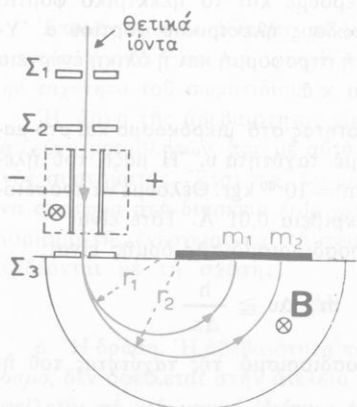
2. "Ενα σῶμα έχει μάζα $m = 10^{-3} \text{ kgr}$, κινεῖται μέ ταχύτητα υ καὶ θέλουμε νά προσδιορίσουμε τή θέση του μέ τή μεγαλύτερη δυνατή άκριβεια πού μᾶς δίνουν τά καλά μικροσκόπια. Τότε είναι $\Delta x = 2 \cdot 10^{-7} \text{ m}$. Επομένως ή άβεβαιότητα στόν προσδιορισμό τῆς ταχύτητας τοῦ σώματος είναι:

$$\Delta v \geq \frac{h}{m \cdot \Delta x} \quad \text{ἢ} \quad \Delta v \geq \frac{6,6 \cdot 10^{-34} \text{ Joule} \cdot \text{sec}}{10^{-3} \text{ kgr} \cdot 2 \cdot 10^{-7} \text{ m}}$$

$$\text{καὶ} \quad \Delta v \geq 3,3 \cdot 10^{-24} \text{ m/sec}$$

Η άβεβαιότητα στόν προσδιορισμό τῆς ταχύτητας είναι ἀσήμαντη, γιατί είναι πολύ μικρότερη από τήν άκριβεια πού πετυχαίνουμε στίς μετρήσεις μας. Και ἀντίστροφα ή άβεβαιότητα στόν προσδιορισμό τῆς θέσεως ωτοῦ τοῦ σώματος είναι ἐπίσης ἀσήμαντη, γιατί είναι πολύ μικρότερη από τήν άκριβεια πού πετυχαίνουμε στίς μετρήσεις μας. Τά παραπάνω δύο παραδείγματα δείχνουν διτι:

Η ἀρχή τοῦ Heisenberg έχει ἐφαρμογή μόνο στά φαινόμενα τοῦ μικροκοσμού, ἐνδή ή άβεβαιότητα πού εἰσάγει ή ἀρχή τοῦ Heisenberg στά μακροσκοπικά φαινόμενα είναι τελείως ἀσήμαντη.



Σχ. 134. Φασματογράφος μαζῶν.
Οι ἀκτίνες τῶν κυκλικῶν τροχιῶν τῶν θετικῶν ιόντων είναι ἀνάλογες μέ τίς μάζες τῶν ιόντων. $r_1/r_2 = m_1/m_2$.

62. Φασματογράφος μαζῶν

Γιά τή μέτρηση τῆς μάζας τῶν ιόντων χρησιμοποιούμε τό φασματογράφο μαζῶν (σχ. 134). Μέσα σέ ἀερόκενο σωλήνα παράγονται θετικά ιόντα πού τό καθένα έχει μάζα m καὶ φορτίο q . Ἀρχικά τά θετικά ιόντα ἐπιταχύνονται μέ τήν ἐπίδραση ήλεκτρικοῦ πεδίου καὶ ἀποκτοῦν μεγάλη ταχύτητα. Μιά λεπτή δέσμη ἀπό αὐτά τά ιόντα περνάει ἀπό δύο σχισμές Σ_1 καὶ Σ_2 καὶ μπαίνει μέσα σέ μιά περιοχή κενοῦ, στήν δόποία υπάρχει ἔνα δύομενές ηλεκτρικό πεδίο ἐντάσεως E_1 καὶ ἔνα δύομενές μαγνητικό πεδίο μέ μαγνητική ἐπαγωγή B_1 . Τά ἀνύσματα E_1 καὶ B_1 είναι κάθετα μεταξύ τους

καὶ ἡ ταχύτητα \vec{v} τῶν ιόντων εἶναι κάθετη στίς δυναμικές γραμμές τῶν δύο πεδίων.

Τά ἀνύσματα E_1 καὶ \vec{B}_1 ἔχουν τέτοια φορά, ὥστε οἱ δύο ἡλεκτρομαγνητικές δυνάμεις πού ἀναπτύσσονται πάνω στὸ ιόν, δηλαδὴ ἡ ἡλεκτροδοστατική δύναμη $F_{\vec{n}} = E_1 q$ καὶ ἡ ἡλεκτρομαγνητική δύναμη $F_{μαγ} = qvB_1$, πού εἶναι ὅμοεπίπεδες νά ἔχουν ἀντίθετη φορά.

Γιά μερικά ιόντα οἱ δύο δυνάμεις $\vec{F}_{\vec{n}}$ καὶ $\vec{F}_{μαγ}$ εἶναι ἵσες καὶ ἀντίθετες καὶ ισχύει ἡ σχέση:

$$E_1 \cdot q = q \cdot v \cdot B_1 \quad \text{ἄρα} \quad v = \frac{E_1}{B_1}$$

Τά ιόντα πού ἔχουν αὐτή τήν ταχύτητα υ δέν παθαίνουν καμιά ἐκτροπή, ἀλλά κινοῦνται εὐθύγραμμα καὶ περνώντας ἀπό μιά τρίτη σχισμή Σ_3 μπαίνουν μέσα σέ ὅμοιον μαγνητικό πεδίο κάθετα στίς δυναμικές γραμμές τοῦ πεδίου πού ἔχει μαγνητική ἐπαγωγή \vec{B} .

Αὐτό τό μαγνητικό πεδίο ἀναγκάζει τό ιόν νά διαγράψει μιά ἡμιπεριφέρεια πού ἔχει ἀκτίνα r ἵση μέ:

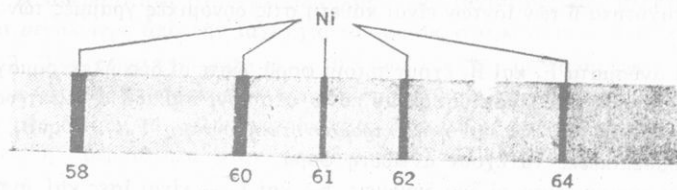
$$r = \frac{v}{q \cdot B} \cdot m \quad (1)$$

΄Η ἔξισωση (1) φανερώνει δτι ιόντα πού ἔχουν τό *ἴδιο φορτίο* q διαγράφουν κυκλικές τροχιές πού οἱ ἀκτίνες τονς εἶναι ἀνάλογες μέ τίς μάζες τῶν ιόντων, δηλαδὴ ισχύει ἡ σχέση:

$$\frac{r_1}{r_2} = \frac{m_1}{m_2}$$

΄Ετσι τά ιόντα πού ἔχουν τήν *ΐδια μάζα m*, ἀφοῦ διαγράφουν μιά ἡμιπεριφέρεια μέ ἀκτίνα r , πέφτουν πάνω σέ φωτογραφική πλάκα καὶ σχηματίζουν πάνω σ' αὐτή μιά μαύρη ράβδωση (εἶναι τό εἰδωλο τῆς σχισμῆς Σ_3). *΄Από τή θέση τῆς ραβδώσεως πάνω στήν πλάκα υπολογίζεται ἡ ἀκτίνα τῆς κυκλικῆς τροχιᾶς καὶ ἀπό τήν ἔξισωση (1) υπολογίζεται ἡ μάζα m τοῦ ιόντος* (δταν τά μεγέθη q, v καὶ B εἶναι γνωστά).

α. Διαχωρισμός τῶν ισοτόπων ἐνός στοιχείου. *΄Αν ἡ ἀρχική δέσμη τῶν θετικῶν ιόντων πού πέρασε ἀπό τή σχισμή Σ_3 ἀποτελεῖται ἀπό ιόντα πού ἔχουν τό *ἴδιο φορτίο q*, ἀλλά διαφορετική μάζα m, τότε πάνω στή φωτογραφική πλάκα σχηματίζονται τόσες μαύρες ραβδώσεις, δσες εἶναι οἱ διάφορες τιμές πού ἔχει ἡ μάζα τῶν ιόντων (σχ. 135). *΄Επειδή κατά μεγάλη προσέγγιση ἡ μάζα τοῦ θετικοῦ ιόντος εἶναι ἵση μέ τή μάζα τοῦ ἀτόμου τοῦ στοιχείου, ἔπειται δτι μέ τό φασματογράφο μαζῶν μετρᾶμε τίς μάζες τῶν ἀτόμων.**



Σχ. 135. Φασματογράφημα που δείχνει τό διαχωρισμό τῶν πέντε ίσοτόπων τοῦ νικελίου.

Μέ τό φασματογράφο μαζῶν ἀνακαλύψαμε (Thomson, 1913) ὅτι ἔνα στοιχεῖο ἀποτελεῖται συνήθως ἀπό διάφορα εἰδῆ ἀτόμων που ἔχουν τίς ἕιδες χημικές ἰδιότητες, ἀλλά διαφορετικές ἀτομικές μάζες. Ἔτσι ἀνακαλύφτηκαν τά ίσότοπα ἐνός στοιχείου που ἡ ὑπαρξὴ τους διφείλεται στή δομῇ τοῦ ἀτομικοῦ πυρήνα τους.

Γιά νά προσδιορίσουμε τή σχετική ἀναλογία τῶν διαφόρων ίσοτόπων σέ ἔνα στοιχεῖο, προσαρμόζουμε κατάλληλα τό φασματογράφο μαζῶν καί μετρᾶμε τό διλικό φορτίο τῶν ιόντων που διαγράφουν τήν ἀντίστοιχη κυκλική τροχιά. Ὡστε:

Μέ τό φασματογράφο μαζῶν μετρᾶμε τή μάζα τῶν ἀτόμων καί βρίσκουμε ἀπό πόσα ίσότοπα καί μέ ποιά ἀναλογία ἀποτελεῖται ἔνα στοιχεῖο.

ΠΡΟΒΛΗΜΑΤΑ

62. Μιά ἀκτινοβολία Röntgen μέ μῆκος κύματος $\lambda = 7 \text{ Å}$ πέφτει πάνω σέ ἔνα ὄλικο καὶ τότε ἀπό τό ὄλικό ζεφεύγουν ἡλεκτρόνια μέ ταχύτητα $v = 10^3 \text{ km/sec}$ καί ταυτόχρονα παράγεται μιά δευτερογενής ἀκτινοβολία που ἔχει μῆκος $\lambda' > \lambda$. Νά υπολογιστεῖ τό μῆκος κύματος λ' .

$$m_e = 9 \cdot 10^{-31} \text{ kgr.} \quad h = 6,6 \cdot 10^{-34} \text{ Joule} \cdot \text{sec.}$$

63. Μιά μονοχρωματική ἀκτινοβολία ἔχει μῆκος κύματος $\lambda = 3,3 \cdot 10^{-7} \text{ m}$. Πόση είναι ἡ μάζα καὶ ἡ ὁρμή τοῦ φωτονίου αὐτῆς τῆς ἀκτινοβολίας;
 $h = 6,6 \cdot 10^{-34} \text{ Joule} \cdot \text{sec.}$

64. Τό κάθε φωτόνιο μιᾶς μονοχρωματικῆς ἀκτινοβολίας ἔχει ἐνέργεια $E = 0,1 \text{ MeV}$. Νά βρεθεῖ: a) τό μῆκος κύματος τῆς ἀκτινοβολίας καὶ b) ἡ μάζα καὶ ἡ ὁρμή κάθε φωτονίου τῆς ἀκτινοβολίας. $h = 6,6 \cdot 10^{-34} \text{ Joule} \cdot \text{sec.}$

65. Πάνω σέ ἔνα ὄλικο πέφτει μιά ἀκτινοβολία μέ μῆκος κύματος λ_1 καὶ τότε ἀπό τό ὄλικό ζεφεύγουν ἡλεκτρόνια μέ ταχύτητα v καί ταυτόχρονα παράγεται δευτερογενής ἀκτινοβολία μέ μῆκος κύματος λ_2 . Ποιά σχέση συνδέει τήν ταχύτητα v τῶν ἡλεκτρονίων μέ τά μήκη κύματος λ_1 καὶ λ_2 ;

66. Πάνω σέ ἔνα ἡλεκτρόνιο, πού ἡρεμεῖ, πέφτει ἔνα φωτόνιο πού ἔχει μῆκος κύματος λ . Τότε παράγεται ἔνα δευτερογενές φωτόνιο πού ἔχει μῆκος κύματος λ' . Βρίσκεται διτὶ ἡ μεταβολὴ τοῦ μήκους κύματος Δλ (σέ μέτρα) εἶναι :

$$\Delta\lambda = \frac{h}{m_e \cdot c}$$

Ποιά σχέση δίνει τήν ἀπώλεια ἐνέργειας ΔΕ τοῦ ἀρχικοῦ φωτονίου κατά τήν κρούση;

*Εφαρμογή $\lambda = 0,712 \text{ Å}$. $m_e = 9 \cdot 10^{-31} \text{ kgr}$.

$h = 6,6 \cdot 10^{-34} \text{ Joule} \cdot \text{sec}$

67. Ἐνας ἀτομικός πυρήνας ἔχει μάζα m καὶ ἐκπέμπει ἔνα φωτόνιο γ πού ἔχει συχνότητα v . Πόση εἶναι ἡ ταχύτητα καὶ ἡ κινητική ἐνέργεια ἀνακρούσεως τοῦ ἀτομικοῦ πυρήνα:

68. Ἐνα φωτόνιο μέ μῆκος κύματος λ πέφτει πάνω σέ ἔνα ὄλικό καὶ τότε ἔφευγει ἀπό το ὄλικό ἔνα ἡλεκτρόνιο καὶ ταυτόχρονα παράγεται ἔνα δευτερογενές φωτόνιο πού ἔχει μῆκος κύματος λ' καὶ ἡ διεύθυνση διαδόσεως τοῦ φωτονίου σχηματίζει γωνία φ μέ τή διεύθυνση διαδόσεως τοῦ ἀρχικοῦ φωτονίου. Νά βρεθεῖ : α) τὸ μῆκος κύματος λ' τοῦ δευτερογενοῦς φωτονίου καὶ ἡ ταχύτητα υ τοῦ ἔξερχομενοῦ ἡλεκτρονίου β) ἡ γονία φ πού σχηματίζει ἡ διεύθυνση τῆς κινήσεως τοῦ ἡλεκτρονίου μέ τή διεύθυνση τῆς κινήσεως τοῦ ἀρχικοῦ φωτονίου.

69. Νά δειχτεῖ διτὶ στό φαινόμενο Compton, δταν τό ἔξερχόμενο ἡλεκτρόνιο ἔχει μεγάλη ταχύτητα, ίσχύει ἡ ἔξισωση :

$$h(v - v') = m_0 c^2 \left(\frac{1}{\sqrt{1 - (v/c)^2}} - 1 \right)$$

ὅπου v καὶ v' εἶναι ἀντίστοιχα ἡ συχνότητα τῆς ἀρχικῆς καὶ τῆς δευτερογενοῦς ἀκτινοβολίας καὶ m_0 εἶναι ἡ μάζα ἡρεμίας τοῦ ἡλεκτρονίου.

70. Πόσο εἶναι τὸ μῆκος κύματος τοῦ ὄλικοῦ κύματος γιά ἔνα ἡλεκτρόνιο πού ἔχει κινητική ἐνέργεια $E = 600 \text{ eV}$; $m_e = 9,11 \cdot 10^{-31} \text{ kgr}$. $h = 6,67 \cdot 10^{-34} \text{ Joule} \cdot \text{sec}$.

71. Τὸ μῆκος κύματος τοῦ ὄλικοῦ κύματος ἐνός ἡλεκτρονίου εἶναι $\lambda = 1,65 \text{ Å}$. Πόση εἶναι ἡ ταχύτητα υ τοῦ ἡλεκτρονίου; $m_e = 9 \cdot 10^{-31} \text{ kgr}$. $h = 6,6 \cdot 10^{-34} \text{ Joule} \cdot \text{sec}$.

72.. Πόσο εἶναι τὸ μῆκος κύματος τοῦ ὄλικοῦ κύματος ἐνός ἡλεκτρονίου πού ἔχει ἐνέργεια $E = 1 \text{ MeV}$; $h = 6,6 \cdot 10^{-34} \text{ Joule} \cdot \text{sec}$. $m_e = 9,1 \cdot 10^{-31} \text{ kgr}$. $m_e = 0,51 \text{ MeV}$.

73. Ἐνα ἡλεκτρόνιο καὶ ἔνα πρωτόνιο κινοῦνται ἔχοντας τήν ἴδια κινητική ἐνέργεια. Ήσιό λόγο ἔχουν τά μήκη κύματος τῶν ὄλικῶν κυμάτων γι' αὐτά τά δύο σωματίδια; Μάζα ἡλεκτρονίου m_e . Μάζα πρωτονίου $m_p = 1836 m_e$.

74. Σέ ἔνα ἡλεκτρονικό μικροσκόπιο θέλουμε τό ὄλικό κύμα πού συνοδεύει τό ἡλεκτρόνιο νά ἔχει μῆκος κύματος $\lambda = 0,05 \text{ nm}$. Πόση τάση πρέπει νά ἐφαρμόσουμε γιά τήν ἐπιτάχυνση τῶν ἡλεκτρονίων;

$m_e = 9 \cdot 10^{-31} \text{ kgr}$. $h = 6,6 \cdot 10^{-34} \text{ Joule} \cdot \text{sec}$.

75. Στό ατόμο ύδρογόνου ή άκτινα γ των κβαντικών τροχιών σε συνάρτηση με τόν κύριο κβαντικό άριθμό δίνεται άπό τήν έξισωση :

$$r_n = n^2 \frac{e \ h^2}{\pi m_e e^2} \quad (1)$$

α) Πόσο είναι τό μήκος κύματος τού ύλικου κύματος γιά τό ήλεκτρόνιο, όταν τούτο κινεῖται πάνω στή θεμελιώδη τροχιά και πάνω στίς δύο άμεσως έπόμενες τροχιές; Δίνεται διτι γιά $n = 1$ είναι $r_1 = 0,529 \cdot 10^{-10}$ m. β) Πόσα ύλικά κύματα σχηματίζονται πάνω σέ κάθε τροχιά στίς τρεις παραπάνω περιπτώσεις;

76. "Ενα ήλεκτρόνιο κινεῖται μέτα ταχύτητα v και θέλουμε νά προσδιορίσουμε τή θέση του μέτα άκριβεια $\Delta x = 0,02$ Å. Πόση είναι ή άβεβαιότητα Δv στόν προσδιορισμό τής ταχύτητας τού ήλεκτρονίου;

$$m_e = 9 \cdot 10^{-31} \text{ kgr.} \quad h = 6,6 \cdot 10^{-34} \text{ Joule} \cdot \text{sec.}$$

77. "Ενα βλήμα έχει μάζα $m = 100$ gr, κινεῖται μέτα ταχύτητα v και ή θέση του προσδιορίζεται μέτα άκριβεια $\Delta x = 1$ μμ. Πόση είναι ή άβεβαιότητα Δv στόν προσδιορισμό τής ταχύτητας τού βλήματος; $h = 6,6 \cdot 10^{-34}$ Joule · sec.

78. "Ενα σωματίδιο έχει μάζα $m = 10^{-30}$ kgr, κινεῖται μέτα ταχύτητα v πού προσδιορίζεται μέτα άκριβεια Ιση μέτα $\Delta v = 1$ km/sec. Μέτα πόση άκριβεια προσδιορίζεται ή θέση τού σωματιδίου; $h = 6,6 \cdot 10^{-34}$ Joule · sec.

79. "Η διάμετρος τού άτομου ύδρογόνου είναι $\delta = 10^{-8}$ cm. "Όταν τό ατόμο ύδρογόνου βρίσκεται στήν κανονική κατάσταση, τό ήλεκτρόνιο του κινεῖται πάνω στή θεμελιώδη τροχιά μέτα ταχύτητα $v = 2200$ km/sec. α) "Αν ή άβεβαιότητα στόν προσδιορισμό τής ταχύτητας τού ήλεκτρονίου είναι $\Delta v = 0,01$ v, νά βρεθεί πόση είναι ή άβεβαιότητα Δx στόν προσδιορισμό τής θέσεώς του. β) Ποιά σχέση έχει ή άβεβαιότητα Δx μέτα τή διάμετρο δ τού άτομου;

$$m_e = 9 \cdot 10^{-31} \text{ kgr.} \quad h = 6,6 \cdot 10^{-34} \text{ Joule} \cdot \text{sec.}$$

80. "Η θέση ένός ήλεκτρονίου πάνω στήν εύθυγραμμη τροχιά του κατά μιά χρονική στιγμή t προσδιορίζεται μέτα άβεβαιότητα $\Delta x = 10^{-9}$ m. Νά βρεθεί ή άβεβαιότητα στόν προσδιορισμό τής ταχύτητας τού ήλεκτρονίου και ή άβεβαιότητα στόν προσδιορισμό τής θέσεώς του 1 sec μετά τή χρονική στιγμή t.

81. Τά ίόντα πού θά έξετάσουμε σέ ένα φασματογράφο μαζῶν έχουν τό καθένα άπό αυτύ ψωρτίο +q και κινούνται μέτα ταχύτητες πού έχουν διαφορετικό μέτρο. Τά ίόντα μπαίνουν μέσα σέ μια περιοχή στήν δύο πού έχουν διαφορετικό μέτρο μέτα μαγνητική έπαγωγή B = 0,4 T και ένα ήλεκτρικό πεδίο μέτα θετική E. Τά άνωσματα Ȑ, Ȑ̄ και Ȑ̄̄ είναι άνά δύο κάθετα μεταξύ τους. Πόσο πρέπει νά είναι τό μέτρο τής έντασεως E τού ήλεκτρικού πεδίου, ώστε τά ίόντα πού έχουν ταχύτητα $v = 2 \cdot 10^5$ m/sec νά μή παθαίνουν καμιά έκτροπή άπό τήν άρχική διεύθυνσή τους;

82. Σέ ένα φασματογράφο μαζῶν άπό τή σχισμή S_3 μπαίνουν μέσα στό μαγνητικό πεδίο ουο είδη ίόντων πού έχουν τήν ίδια ταχύτητα $v = 200$ km/sec και τό ίδιο θετικό ψωρτίο +e. Η ταχύτητα Ȑ είναι κάθετη στή μαγνητική έπαγωγή Ȑ̄, πού έχει μέτρο B = 0,3 T. Ξέρουμε διτι τό ένα είδος τών ίόντων είναι ίόντα δέξιγόνου 16, O¹⁶. "Η άπόσταση τών δύο ειδώλων πού σχηματίζονται πάνω στήν πλάκα είναι δ = 1,38 cm. Πόση είναι ή άτομική μάζα τού δεύτερου είδους ίόντων;

$$N_A = 6,02 \cdot 10^{26} \text{ άτομα / kgr - atom.} \quad e = 1,6 \cdot 10^{-19} \text{ Cb.}$$

περιστατικού προγράμματος διαδικασίας σε απόσταση της μέσης από την προσεκτική πλάτη της καρτώνας. Η πλάτη της καρτώνας είναι απόσταση της μέσης από την προσεκτική πλάτη της καρτώνας.

ΠΥΡΗΝΙΚΗ ΦΥΣΙΚΗ

Διαβάστε την παραπάνω πλάτη της καρτώνας. Το προσεκτικό πλάτη της καρτώνας είναι απόσταση της μέσης από την προσεκτική πλάτη της καρτώνας.

Παρατητείται στην προσεκτική πλάτη της καρτώνας μετατόπιση της μέσης από την προσεκτική πλάτη της καρτώνας. Στην προσεκτική πλάτη της καρτώνας παρατητείται μετατόπιση της μέσης από την προσεκτική πλάτη της καρτώνας.

‘Ανίχνευση τῶν σωματιδίων

63. Μέθοδοι ἀνίχνευσεως τῶν σωματιδίων

Οι ραδιενέργοι πυρῆνες ἐκπέμπουν ἀκτινοβολίες πού δονομάζονται πυρηνικές ἀκτινοβολίες καὶ ἀποτελοῦνται ἀπό φορτισμένα ἡ οὐδέτερα σωματίδια καὶ ἀπό φωτόνια γ.

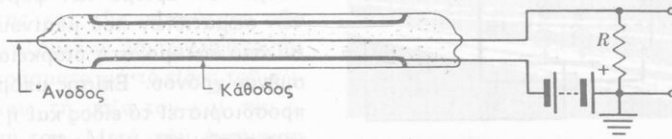
Κάθε πυρηνική ἀκτινοβολία μεταφέρει ἔνέργεια καὶ δταν μπαίνει μέσα σέ ἔνα ὄντικό, ἡ ἀκτινοβολία ἀπορροφᾶται καὶ τότε ἀπό τήν ἀλληλεπίδραση τῆς ἀκτινοβολίας καὶ τῆς ὑλῆς προκαλοῦνται δρισμένα φαινόμενα, πού κάνουν φανερή τήν παρουσία τῶν πυρηνικῶν ἀκτινοβολιῶν.

Τύπαρχουν δύο κατηγορίες διατάξεων γιά τήν ἀνίχνευση τῶν σωματιδίων, διατάξεις πού κάνουν φανερό τό φαινόμενο τοῦ ἰονισμοῦ τῶν ἀτόμων τῆς ὑλῆς καὶ διατάξεις πού κάνουν φανερό τό φαινόμενο τῆς διεγέρσεως τῶν ἀτόμων τῆς ὑλῆς πού μέστα σ' αὐτή διαδίδεται ἡ πυρηνική ἀκτινοβολία.

Τό φαινόμενο τοῦ ἰονισμοῦ μπορεῖ νά γίνει φανερό εἴτε μέ ἔνα στιγματικό ρεῦμα (ρευματική ὅθηση), εἴτε ἂν γίνει δρατός ὁ ἰονισμός ἐξαιτίας δευτερογενῶν φυσικῶν ἡ χημικῶν φαινομένων πού προκαλεῖ ὁ ἰονισμός.

64. Ἀπαριθμητής Geiger - Müller

Ο ἀπαριθμητής Geiger - Müller ἀποτελεῖται ἀπό μεταλλικό κυλίνδρικό σωλήνα μέ λεπτά τοιχώματα καὶ ἀπό λεπτό μεταλλικό σύρμα, πού είναι μονωμένο ἀπό τά τοιχώματα καὶ είναι τοποθετημένο κατά τόν ἄξονα τοῦ κυλίνδρου (σχ. 136). Μέσα στή συσκευή ὑπάρχει ἀέριο, συνήθως ἀργό,



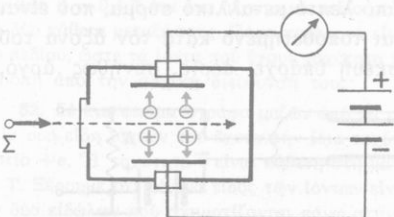
Σχ. 136. Σχηματική παράσταση τοῦ ἀπαριθμητή Geiger - Müller.

ύπο μικρή πίεση ($5 - 10 \text{ cm Hg}$). Ό κύλινδρος άποτελεί τό άρνητικό ήλεκτρόδιο και τό σύρμα άποτελεί τό θετικό ήλεκτρόδιο. Μεταξύ αύτῶν τῶν δύο ήλεκτροδίων ἐφαρμόζεται κατάλληλη τάση, χωρίς δύμας νά είναι ίκανή νά προκαλέσει ἐκκένωση. "Αν μέσα στή συσκευή μπεῖ ἔνα φορτισμένο σωματίδιο, αύτό δημιουργεῖ ζεύγη λόντων και ἔτσι προκαλεῖται ἐκκένωση. Αύτή πρέπει νά διαρκέσει ἐπί ἐλάχιστο χρόνο, ὥστε διάπαριθμητής νά είναι ἀμέσως ἔτοιμος νά λειτουργήσει πάλι, μόλις μπεῖ μέσα σ' αὐτόν ἔνα ἄλλο φορτισμένο σωματίδιο. Ή γρήγορη ἀπόσβεση τῆς ἐκκενώσεως ἔξασφαλίζεται μέ διάφορους τρόπους και ἔτσι διάπαριθμητής μπορεῖ νά λειτουργεῖ ταχύτατα.

Κάθε ἐκκένωση είναι ἔνα στιγματίο ρεῦμα (ρευματική ὧδηση) πού, ἀφοῦ ἐνισχυθεῖ, μπορεῖ νά καταγραφεῖ πάνω σέ φωτογραφικό φίλμ η νά διαβιβαστεῖ σέ μεγάφωνο, ὅπότε θά ἀκούσουμε ἔνα σύντομο ηχο (κρότο) η νά διαβιβαστεῖ σέ κατάλληλη διάταξη καταμετρήσεως. "Ετσι μποροῦμε νά ἀποκαλύψουμε τήν παρουσία φορτισμένων σωματιδίων και νά μετρήσουμε πόσα φορτισμένα σωματίδια μπαίνουν μέσα στόν ἀπαριθμητή στή διάρκεια δρισμένου χρόνου. Ή ἀπαριθμητής Geiger - Müller χρησιμοποιεῖται στήν ἐργαστηριακή ἔρευνα και γιά τήν εὐκολή ἀνίχνευση φορτισμένων σωματιδίων στό δέδαφος η στόν ἀέρα.

65. Θάλαμος ιονισμοῦ

Ο θάλαμος ιονισμοῦ είναι ἔνας ἐπίπεδος πυκνωτής πού βρίσκεται μέσα σέ δοχεῖο πού περιέχει ἀέριο (συνήθως εὐγενές ἀέριο). Μεταξύ τῶν δύο δοπλισμῶν τοῦ πυκνωτῆ δημιουργεῖται κατάλληλη τάση (σχ. 137). "Οταν ἀνάμεσα στούς δύο δοπλισμούς φτάσει ἔνα φορτισμένο σωματίδιο, τότε δημιουργοῦνται πολλά ζεύγη λόντων. Μέ τήν ἐπίδραση τοῦ ηλεκτρικοῦ πεδίου τά ἐτερώνυμα λόντα κινοῦνται μέ ἐπιτάχυνση κατά ἀντίθετη φορά πρός τούς ἀντίστοιχους δοπλισμούς τοῦ πυκνωτῆ. Αύτή η κίνηση τῶν λόντων ἰσοδυναμεῖ μέ ηλεκτρικό ρεῦμα πού μποροῦμε νά τό παρατηρήσουμε μέ ἔνα εὐαίσθητο δργανο (μιλιαμπερόμετρο, ἀμπερόμετρο). Μέ τό θάλαμο ιονισμοῦ μποροῦμε νά μετρήσουμε τόν ἀριθμό τῶν φορτισμένων σωματιδίων πού μπαίνουν μέσα στό θάλαμο στή διάρκεια δρισμένου χρόνου. Επίσης μπορεῖ νά προσδιοριστεῖ τό είδος και η ἐνέργεια αὐτῶν τῶν σωματιδίων.



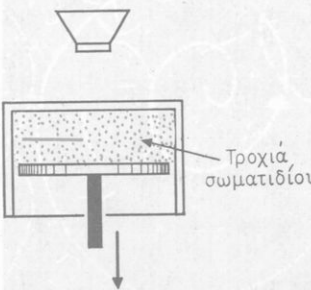
Σχ. 137. Σχηματική παράσταση τοῦ θαλάμου ιονισμοῦ.

Ημιαγωγοί ἀπαριθμητές (semi-

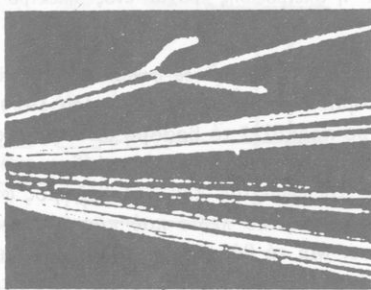
conductor counters). Σέ μιά κρυσταλλοδίοδο $p-p$ ή περιοχή της συνδέσεως τῶν δύο διαφορετικῶν ήμιαγωγῶν (p καὶ n) είναι ίδιαίτερα εὐαίσθητη στά ιονίζοντα σωματίδια. "Οταν ἔνα τέτοιο σωματίδιο είσχωρήσει στήν περιοχή συνδέσεως τῶν δύο ήμιαγωγῶν τότε ή κρυσταλλοδίοδος λειτουργεῖ σάν στερεός θάλαμου Ιονισμοῦ, πού είναι πολύ ἀπλούστερος ἀπό τό θάλαμο Ιονισμοῦ μέν ἀερίῳ.

66: Θάλαμος Wilson

"Ο θάλαμος Wilson ή θάλαμος νεφώσεως ἀποτελεῖται ἀπό ἔναν κύλινδρο καὶ μέσα σ' αὐτὸν ὑπάρχει ἀέρας καὶ κορεσμένοι ἀτμοί αἰθυλικῆς ἀλκοόλης. Ἡ πάνω βάση τοῦ κυλίνδρου είναι μιά γάλινη πλάκα, ἐνῷ ή κάτω βάση του ἀποτελεῖ ἔμβολο (σχ. 138). "Αν τό ἔμβολο μετακινηθεῖ ἀπότομα πρός τά κάτω, τότε ὁ ἀέρας παθαίνει ἀδιαβατική ἐκτόνωση καὶ ψύχεται. "Ενα μέρος τῶν κορεσμένων ἀτμῶν ὑγροποιοῦνται καὶ σχηματίζουν μικρά σταγονίδια. "Αν ἐκείνη τῇ στιγμῇ μπεῖ μέσα στό θάλαμο ἔνα φορτισμένο σωματίδιο, αὐτό δημιουργεῖ κατά μῆκος τῆς τροχιᾶς του ζεύγη ιόντων καὶ τό καθένα ιόν γίνεται κέντρο συγκεντρώσεως τῶν μικρῶν σταγονιδίων. "Ετσι κατά μῆκος τῆς τροχιᾶς τοῦ σωματιδίου σχηματίζεται μιά λεπτή γραμμή πού μπορεῖ νά φωτογραφηθεῖ (σχ. 139). Συνήθως ὁ θάλαμος βρίσκεται μέσα σέ δμογενές μαγνητικό πεδίο καὶ τότε τό σωματίδιο διαγράφει καμπυλόγραμμη τροχιά. Ἀπό τή μορφή τῆς τροχιᾶς, τό συνολικό μῆκος τῆς καὶ τήν πυκνότητα τῶν σχηματιζόμενων ιόντων ἔχάγονται συμπεράσματα γιά τό είδος τοῦ σωματιδίου, τή μάζα του καὶ τήν ἐνέργειά του. Μετά τήν ἐκτόνωση ἔνα ηλεκτρικό πεδίο καθαρίζει τό θάλαμο ἀπό τά ιόντα πού σχηματί-



Σχ. 138. Σχηματική παράσταση τοῦ θαλάμου Wilson (θαλάμου νεφώσεως).

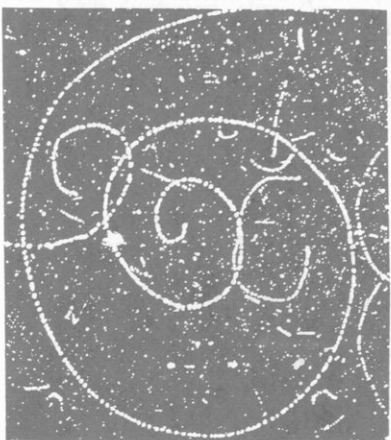


Σχ. 139. Φωτογραφία πού πάρθηκε μέθ θάλαμο Wilson. Ἡ διακλαδισμένη τροχιά δείχνει τό πείραμα τοῦ Rutherford.

στηκαν, γιά νά είναι έτοιμος γιά τή νέα έκτόνωση. Ο θάλαμος Wilson πρόσφερε μεγάλες ύπηρεσίες στήν άναγνώριση και τή μελέτη τῶν φορτισμένων σωματιδίων.

67* Θάλαμος Glaser

Ο θάλαμος Glaser ή θάλαμος φυσαλίδων άποτελεῖται από κλειστό δοχείο πού είναι γεμάτο μέ ένα καθαρό ύγρο (προπάνιο, ύγρο ύδρογόνο, φρεόν κ.ἄ.). Αυτό τό ύγρο διατηρεῖται υπό πίεση μεγαλύτερη από τήν τάση



Σχ. 140. Φωτογραφία πού πάρθηκε μέ θάλαμο Glaser (θάλαμο φυσαλίδων). Διακρίνεται ή σπειροειδής τροχιά ένός ηλεκτρονίου πού κινεῖται μέσα σε μαγνητικό πεδίο.

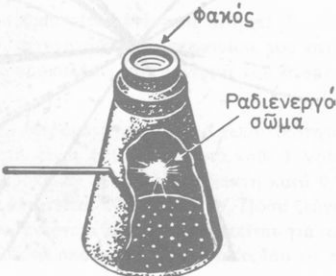
νται μικρές σφαιρικές φυσαλίδες ύγρον, μποροῦν νά φωτογραφηθοῦν (σχ. 140). Τό σωματίδιο πού κινεῖται μέσα στό ύγρο προκαλεῖ τό βρασμό κατά μῆκος τής τροχιᾶς του. Αύτός δ βρασμός δφείλεται στόν ιονισμό πού δημιουργεῖ τό κινούμενο σωματίδιο κατά μῆκος τής τροχιᾶς του. Ο θάλαμος φυσαλίδων βρίσκεται μέσα σέ όμογενές μαγνητικό πεδίο πού προκαλεῖ καμπύλωση τής τροχιᾶς του σωματιδίου. Μέ τό θάλαμο φυσαλίδων μελετάμε τά σωματίδια ψηλής ένέργειας πού παράγονται στούς μεγάλους έπιταχυντές. Η λειτουργία του θαλάμου είναι άπολυτα συγχρονισμένη μέ τή λειτουργία του έπιταχυντῆς.

Παρακαλούμε τον αναγνώστη να μην παραβλέψει την παραπάνω πληροφορίαν, που θα μπορούσε να τον αποτελεί σημαντική για την κατανόηση της λειτουργίας του θαλάμου.

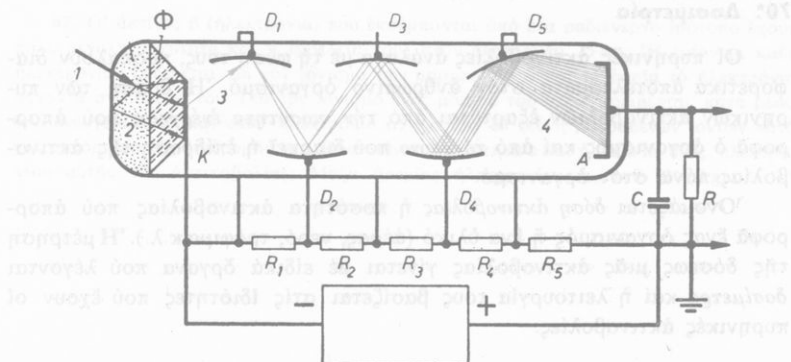
Διατί το παρόν έργο δεν περιλαμβάνει την πληροφορία για τη λειτουργία του θαλάμου; Επειδή το θάλαμος φυσαλίδων δεν έχει ακόμη πλήρη λειτουργία, οπότε δεν έχει ακόμη πλήρη λειτουργία.

68*. Απαριθμητές σπινθηρισμῶν

Τά φορτισμένα σωματίδια και τά φωτόνια γ έχουν τήν ίκανότητα νά προκαλούν διέγερση τῶν ἀτόμων. Αὐτά τά ἄτομα, ὅταν ἐπανέρχονται στήν κανονική κατάστασή τους ἐκπέμπουν τήν ἐνέργεια πού πῆραν μέ τή μορφή φωτονίου δρατῆς ή ὑπεριώδους ἀκτινοβολίας. Πολλές δργανικές και ἀνόργανες ἔνώσεις ἔχουν τήν παραπάνω ιδιότητα τοῦ φθορισμοῦ (π.χ. ὁ θειούχος ψευδάργυρος, τό ιωδιούχο νάτριο, τό ἀνθρακένιο, τό στιλβένιο κ.ἄ.). Στό φαινόμενο τοῦ φθορισμοῦ στηρίζεται ἡ λειτουργία εἰδικῶν φωρατῶν, πού δονομάζονται σπινθηριστές και χρησιμοποιοῦνται γιά τήν ἀνίχνευση τῶν πυρηνικῶν ἀκτινοβολιῶν. Ο ἀπλούστερος σπινθηριστής είναι τό σπινθηροσκόπιο (σχ. 141). Σ' αὐτό τά σωματίδια *a*, πού ἐκπέμπονται ἀπό ἔνα ραδιενεργό σῶμα, πέφτουν πάνω σέ ἔνα λεπτό στρῶμα ἀπό θειούχο ψευδάργυρο. Ἀν μέ τή βοήθεια φακοῦ παρατηρήσουμε στό σκοτάδι τό στρῶμα πού φθορίζει, διακρίνουμε πάνω σ' αὐτό φευγαλέες ἐκπομπές φωτός ἀπό διάφορα σημεῖα. Κάθε μικρή λάμψη φανερώνει τή σύγκρουση ἐνός σωματιδίου α πάνω στό διάφραγμα πού φθορίζει.

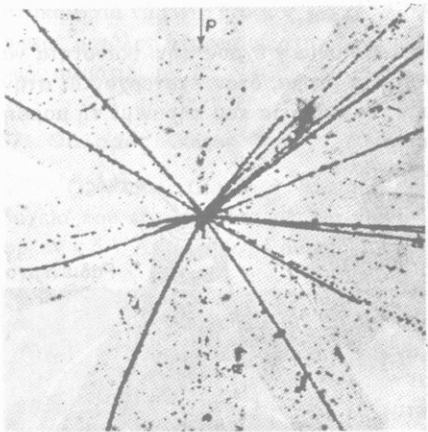


Σχ. 141. Σχηματική παράσταση τοῦ σπινθηροσκοπίου.



Σχ. 142. Συνδυασμός σπινθηροσκοπίου και φωτοπολλαπλασιαστῆ.

1 σωματίδιο. 2 φθορίζον στρῶμα. Φ φακός. Κ φωτοκάθοδος. 3 φωτολεκτρόνια (δύνοδοι). Α ἄνοδος (συλλέκτης). Στή διάταξη ἐφαρμόζεται ψηλή τάση.



Σχ. 143. Σχηματισμός άστέρα σε πυρηνικό γαλάκτωμα από τή σύγκρουση ένός σωματιδίου ψηλής ένέργειας με έναν άτομικό πυρήνα τού γαλακτώματος. 'Από τή συντριβή τού πυρήνα σχηματίστηκαν πολλά ιονίζοντα σωματίδια.

δίου. 'Από τή μελέτη τής τροχιᾶς βγάζουμε διάφορα συμπεράσματα (σχ. 143).

70*. Δοσιμετρία

Οι πυρηνικές άκτινοβολίες άνάλογα με τή φύση τους, προκαλούν διαφορετικά άποτελέσματα στόν άνθρωπινο δργανισμό. 'Η δράση τῶν πυρηνικῶν άκτινοβολιῶν έξαρτᾶται από τήν ποσότητα ένέργειας πού άπορροφᾶ δργανισμός και από τό χρόνο πού διαρκεῖ ή έπιδραση τής άκτινοβολίας πάνω στόν δργανισμό.

'Όνομάζεται δόση άκτινοβολίας ή ποσότητα άκτινοβολίας πού άπορροφᾶ ένας δργανισμός ή ένα θλικό (άέρας, νερό, τρόφιμα κ.λ.). 'Η μέτρηση τής δόσεως μιᾶς άκτινοβολίας γίνεται με ειδικά δργανα πού λέγονται δοσίμετρα και ή λειτουργία τους βασίζεται στίς ίδιοτητες πού έχουν οι πυρηνικές άκτινοβολίες.

Ψηφιοποιήθηκε από το Ινστιτούτο Εκπαιδευτικής Πολιτικής

'Η νεώτερη τεχνική συνδυάζει ένα σπινθηριστή με ένα φωτοοπολλασιαστή (σχ. 142) και έτσι ή φωτεινή ένέργεια τού σπινθηρισμού μετατρέπεται σέ ένα στιγμιαίο ήλεκτρικό ρεῦμα (ρευματική άθηση).

69*. Πυρηνικά γαλακτώματα

"Όταν ένα φορτισμένο σωματίδιο περνάει μέσα από ειδικό φωτογραφικό γαλάκτωμα (πυρηνικό γαλάκτωμα) πού άποτελείται από βρωμιούχο άργυρο, τότε κατά μήκος τῆς τροχιᾶς τού σωματιδίου σχηματίζονται ίοντα άργυρου. "Ετσι μετά τήν έμφανιση τῆς πλάκας διακρίνουμε τήν τροχιά τού σωματίδιου.

ΠΡΟΒΛΗΜΑΤΑ

83. Ένα ραδιενέργο ισότοπο έκπεμπει σωματίδια α μέ δένέργεια $E = 5 \text{ MeV}$ τά δόποια στόν αερα έχουν έμβελεια $s = 5 \text{ cm}$. Γιά τόν ιονισμό ένός μορίου τού άέρα άπαιτεται κατά μέσο όρο δένέργεια $E_{\text{ion}} = 25 \text{ eV}$. Πόσα ζεύγη λόντων δημιουργεί μέσα στόν άέρα αντό τό σωματίδιο και πόσα κατά χιλιοστόμετρο τής διαδρομής του;

84. Γιά τόν ιονισμό τού άτόμου ίνδραργύρου άπαιτεται δένέργεια ίση με $E_{\text{ion}} = 10,4 \text{ eV}$. Πόση πρέπει νά είναι ή μικρότερη δυνατή ταχύτητα ένός ήλεκτρονίου, πού κατά τή σύγκρουσή του μέ ένα άτομο ίνδραργύρου θά προκαλέσει τόν ιονισμό τού άτόμου ίνδραργύρου; $m_e = 9 \cdot 10^{-31} \text{ kgr}$.

85. Ένας θάλαμος ιονισμού συνδέεται μέ δήλεκτρόμετρο πού έχει χωρητικότητα $C = 0,5 \cdot 10^{-12} \text{ F}$ και ή εναισθησία τής κλίμακάς του είναι 4 διαιρέσεις γιά κάθε 1 Volt. Ένα σωματίδιο α πού μπαίνει μέσα στό θάλαμο προκαλεί έκτροπή τού δείκτη κατά 0,8 διαιρέσεις. Γιά τό σχηματισμό ένός ζεύγους λόντων άπαιτεται δένέργεια 35 eV. Πόσα ζεύγη λόντων σχηματίζονται μέσα στό θάλαμο και πόση δένέργεια σέ MeV άπαιτεται γιά τό σχηματισμό αντόν τῶν λόντων; Καθένα ίόν έχει κατά άπολυτη τιμή φορτίο ίσο μέ e.

86. Σέ ένα θάλαμο ιονισμού δ όπλισμός A_1 τού πυκνωτή έχει έμβαθο $S = 1 \text{ cm}^2$ και ή μιά έπιφάνειά του έχει σκεπαστεί δμοιδόμορφα μέ ένα ραδιενέργο ισότοπο πού μεταστοιχειώνεται μέ δέκπομπή ήλεκτρονίου. Απέναντι άπο αντή τήν έπιφάνεια και σέ άπόσταση $l = 1 \text{ mm}$ βρίσκεται ο άλλος όπλισμός A_2 πού είναι μονωμένος και βρήκαμε δτί δέχεται 1000 ήλεκτρόια κατά δευτερόλεπτο πού έκπεμπονται άπο τό ραδιοϊσότοπο. α) Γιατί μεταξύ τῶν δύο όπλισμάν τον πυκνωτή δημιουργείται μιά διαφορά δυναμικού πού μεταβάλλεται μέ τό χρόνο; β) Έπειτα άπο πόσο χρόνο αντή ή διαφορά δυναμικού θά είναι ίση με $U = 1 \text{ V}$; γ) Υποθέτουμε δτί δλα τά ήλεκτρόνια πού έμπεμπονται άπο τόν όπλισμό A_1 φτάνουν στόν όπλισμό A_2 . γ) "Όταν ή διαφορά δυναμικού είναι $U = 1 \text{ V}$ πόση είναι ή ένταση τού ήλεκτρικού πεδίου; $|E| = 1,6 \cdot 10^{-19} \text{ Cb}$. $\epsilon_0 = 8,85 \cdot 10^{-12} \text{ F/m}$.

87. Οι άκτινες β (ήλεκτρόνια) πού έκπεμπονται άπο ένα ραδιενέργο ισότοπο έχουν πολύ μεγάλη ταχύτητα και ή έμβελειά τους στόν άέρα είναι 25 cm. Η δένέργεια κάθε ήλεκτρονίου ξοδεύεται γιά τόν ιονισμό τῶν μορίων τού άέρα, τά δόποια τό ήλεκτρόνιο συναντᾶ στό δρόμο του. Γιά τόν ιονισμό ένός μορίου τού άέρα χρειάζεται κατά μέσο όρο δένέργεια 25 eV καί κάθε ήλεκτρόνιο σχηματίζει 40 ζεύγη μονοσθενών λόντων κατά χιλιοστόμετρο τής διαδρομής του. Πόση είναι ή ταχύτητα υ καί ή μάζα τό ένός ήλεκτρονίου αντής τής άκτινοβολίας; Μάζα ήρεμίας ήλεκτρονίου $m_e = 9 \cdot 10^{-31} \text{ kgr}$.

'Επιταχυντές

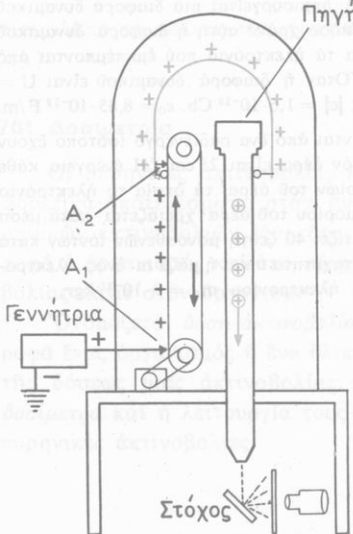
71. Έπιταχυντές

Γιά νά γνωρίσουμε τίς ιδιότητες και τή δομή τοῦ πυρήνα, βομβαρδίζουμε όρισμένους πυρήνες μέ ένα είδος φορτισμένου σωματίδιου και παρατηροῦμε τά άποτελέσματα τῆς άντιδράσεως τοῦ βλήματός μας μέ τόν πυρήνα. Αρχικά ως βλήματα χρησιμοποιήθηκαν τά σωματίδια α, πού έκπεμπονται άπο τά φυσικά ραδιοϊστόπα και ή ένέργεια τους δέν ξεπερνάει τά 8 MeV. Γιά νά άποκτήσουν τά φορτισμένα σωματίδια μεγάλες ένέργειες, χρησιμοποιούνται οι έπιταχυντές, δηλαδή ειδικές διατάξεις πού έπιταχύνουν τά φορτισμένα σωματίδια μέ τήν έπιδραση ήλεκτρικού πεδίου.

Υπάρχουν δύο κατηγορίες έπιταχυντών, οι γραμμικοί και οι κυκλικοί έπιταχυντές.

Στούς γραμμικούς έπιταχυντές ή ταχύτητα \bar{v} τῶν σωματίδιών ৎχει πάντοτε τήν ίδια διεύθυνση και φορά, γιατί πάνω στά σωματίδια έπιδρα μόνο ένα ήλεκτρικό πεδίο.

Στούς κυκλικούς έπιταχυντές πάνω στά σωματίδια έπιδρα έκτός άπο τό ήλεκτρικό πεδίο και ένα μαγνητικό πεδίο πού οδηγεῖ τό σωματίδιο πάνω σέ μιά κυκλική τροχιά. Τό ήλεκτρικό πεδίο δίνει στό σωματίδιο ρυθμικά έπιτάχυνση, π.χ. στό τέλος κάθε μισής στροφής.



Σχ. 144. Σχηματική παράσταση τῆς μηχανῆς Van de Graaff.

72*. Μηχανή Van de Graaff

Η μηχανή Van de Graaff είναι ένας ήλεκτροστατικός έπιταχυντής. Εέρουμε δτι στή μηχανή Van de Graaff ή σφαίρα άποκτα θετικό φορτίο και πολύ ψηλό δυναμικό (σχ. 144). Τά θετικά ίόντα, πού θέλουμε νά έπιταχυνθούν, δημιουργούνται στήν άνότερη άκρη ένός εύθυγραμμου άερόκενου σωλήνα. Στήν κα-

τώτερη άκρη τοῦ σωλήνα βρίσκεται διαστόχος πού πάνω του πέφτουν τά λόντα, άφού έπιταχυνθούν. Αν π.χ. τό δυναμικό τῆς σφαίρας σχετικά μέ τό έδαφος είναι $U = 8 \text{ MV}$, τότε ένα σωματίδιο a , πού έχει φορτίο $q = 2e$ άποκτα κινητική ένέργεια ίση μέ :

$$E_{\text{kin}} = q \cdot U = 2e \cdot 8 \cdot 10^6 \text{ V} = 16 \cdot 10^6 \text{ eV} \text{ καὶ } E_{\text{kin}} = 16 \text{ MeV}$$

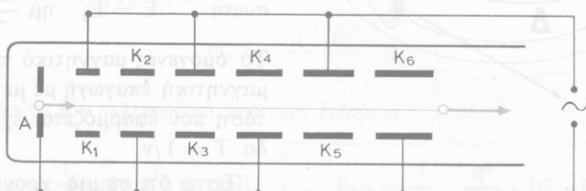
Η μηχανή Van de Graff μπορεῖ νά χρησιμοποιηθεῖ καὶ γιά τήν έπιταχυνσή ήλεκτρονίων, άλλα σ' αυτή τήν περίπτωσή ή σφαίρα τῆς μηχανῆς άποκτᾶ άρνητικό φορτίο καὶ μέσα στό σωλήνα εἰσάγονται τά ήλεκτρόνια πού θέλουμε νά έπιταχυνθούν.

73*. Γραμμικός έπιταχυντής

αριθμούς 33

Ο γραμμικός έπιταχυντής άποτελεῖται άπο μιά σειρά κοίλων μεταλλικῶν κυλίνδρων πού έχουν κοινό άξονα καὶ βρίσκονται μέσα σέ μακρύ άερόκενο σωλήνα (σχ. 145). Οι κύλινδροι συνδέονται μέ μιά πηγή έναλλασσόμενης τάσεως έτσι, ώστε σέ κάθε στιγμή δύο διαδοχικοί κύλινδροι νά είναι άντιθετα φορτισμένοι. Έτσι, δταν οι περιττής τάξεως κύλινδροι (K_1, K_3, K_5) είναι θετικά φορτισμένοι, οι αρτιας τάξεως κύλινδροι (K_2, K_4, K_6) είναι άρνητικά φορτισμένοι καὶ άντιστροφα. Η πολικότητα τῶν κυλίνδρων άντιστρέφεται κάθε μισή περίοδο ($T/2$).

Στό έσωτερικό τοῦ κάθε κυλίνδρου δέν ύπάρχει ήλεκτρικό πεδίο. Στό διάκενο όμως πού ύπάρχει μεταξύ δύο κυλίνδρων δημιουργεῖται έναλλασσόμενο ήλεκτρικό πεδίο. Τό ίον διατρέχει μέ σταθερή ταχύτητα κάθε κύλινδρο στή διάρκεια μιᾶς ήμιπεριόδου (δηλαδή σέ χρόνο $T/2$) καὶ βγαίνει άπό τόν κύλινδρο στό διάκενο τή στιγμή πού ή τάση μεταξύ τῶν δύο γειτονικῶν κυλίνδρων έχει λάβει τή μέγιστη τιμή της U_0 (δηλαδή δταν στό σχήμα τό ήλεκτρικό πεδίο έχει φορά πρός τά δεξιά). Έτσι τό ίον πηγαίνοντας άπό τόν έναν κύλινδρο στόν άμεσως έπόμενο κύλινδρο έπιταχύνεται. Επομένως, αν τό ίον έχει φορτίο q , τότε κάθε φορά πού τό ίον δια-



Σχ. 145. Σχηματική παράσταση γραμμικού έπιταχυντή.

Στή διάταξη έφαρμόζεται ψηλή συχνότητα

τρέχει τό διάκενο μεταξύ δύο διαδοχικῶν κυλίνδρων, ή ἐνέργεια του ίοντος ανδέσται κατά $q \cdot U_0$.

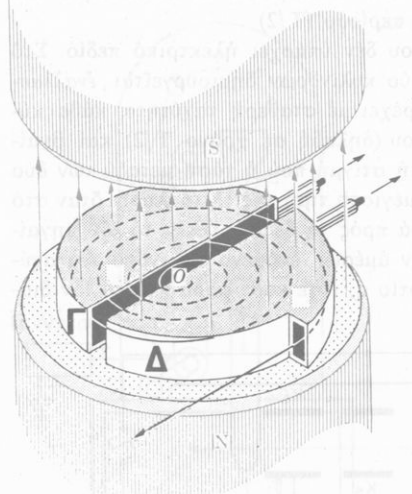
*Επειδή τό ίον διατρέχει διαδοχικά τούς κυλίνδρους μέδιαρκδς μεγαλύτερη ταχύτητα, γι' αυτό τά μήκη τῶν κυλίνδρων γίνονται διαρκδς μεγαλύτερα.

Τό ίον ἀποκτᾶ πολύ μεγάλες ταχύτητες. *Αρα, γιά νά μή ἔχουν οί κύλινδροι πολύ μεγάλο μῆκος, χρησιμοποιοῦμε πολύ ψηλές συχνότητες (ύπερ-συχνότητες, 200 MHz γιά τά ίοντα, ώς 3000 MHz γιά τά ηλεκτρόνια).

Μέ τούς γραμμικούς ἐπιταχυντές τά πρωτόνια ἀποκτοῦν ἐνέργεια ώς 100 MeV και τά ηλεκτρόνια ώς 1 GeV (10³ MeV).

74. Κύκλοτρο

Τό κύκλοτρο (cyclotron) ἀποτελεῖται ἀπό κοῖλο μεταλλικό κύλινδρο, πού ἔχει κοπεῖ σέ δύο ήμικυλίνδρους σέ σχῆμα Δ. Αὐτοὶ ἀποτελοῦν τά δύο ηλεκτρόδια τῆς συσκευῆς και μεταξύ τους υπάρχει διάκενο (σχ. 146). Τά δύο ηλεκτρόδια βρίσκονται μέσα σέ αερόκενο θάλαμο πού εἶναι τοποθετημένος μεταξύ τῶν πόλων ισχυροῦ ηλεκτρομαγνήτη. Στό κέντρο τοῦ διάκενου εἶναι ή πηγή τῶν ίοντων τά δοποῖα θέλουμε νά ἐπιταχύνουμε. Στά δύο ηλεκτρόδια ἐφαρμόζεται ἐναλλασσόμενη τάση πού ἔχει συχνότητα ν.



Σχ. 146. κύκλοτρο (σχηματική παράσταση). Στά δύο ηλεκτρόδια Γ και Δ ἐφαρμόζεται ψηλή τάση.

a. *Αρχή τῆς λειτουργίας. Στό ἐσωτερικό τῶν δύο ηλεκτροδίων δέν υπάρχει ηλεκτρικό πεδίο, ἀλλά στό μεταξύ τῶν δύο ηλεκτροδίων διάκενο δημιουργεῖται ἐναλλασσόμενο ηλεκτρικό πεδίο πού ή ἔντασή του μεταβάλλεται σύμφωνα μέ τήν ἐξίσωση $E = E_0 \cdot \eta \mu \frac{2\pi}{T}$.

Τό δύομενές μαγνητικό πεδίο ἔχει μαγνητική ἐπαγωγή μέ μέτρο B . Η τάση πού ἐφαρμόζεται ἔχει περίοδο $T = 1/v$.

*Εστω δτι σέ μιά χρονική στιγμή ἔνα θετικό ίον, πού ἔχει μάζα m και φορτίο q , βρίσκεται στό διά-

κενο, δταν τό ήλεκτρόδιο Γ έχει θετικό δυναμικό και τό ήλεκτρόδιο Δ έχει άρνητικό δυναμικό. Τότε στό διάκενο υπάρχει ήλεκτρικό πεδίο, τό ίόν έπιταχύνεται και μπαίνει μέσα στό ήλεκτρόδιο Δ , δπου δέν υπάρχει ήλεκτρικό πεδίο. Μέσα στό ήλεκτρόδιο Δ τό ίόν κινεῖται μέ σταθερή ταχύτητα v , έξαιτίας δμως τοῦ μαγνητικοῦ πεδίου διαγράφει κυκλική τροχιά μέ άκτινα:

$$r = \frac{v \cdot m}{q \cdot B} \quad (1)$$

Τό ίόν έχει:

$$\begin{aligned} \text{γωνιακή ταχύτητα} \quad \omega &= \frac{v}{r} \quad \text{ή} \quad \omega = \frac{q \cdot B}{m} \\ \text{καὶ περίοδο} \quad T &= \frac{2\pi}{\omega} \quad \text{ή} \quad T = \frac{2\pi \cdot m}{q \cdot B} \end{aligned} \quad (2)$$

Η έξισωση (2) δείχνει δτι η περίοδος T τῆς κυκλικῆς κινήσεως τοῦ ιόντος είναι ἀνεξάρτητη ἀπό τήν άκτινα r τῆς κυκλικῆς τροχιᾶς πού διαγράφει τό ίόν.

Τό ίόν κινεῖται μέσα στό ήλεκτρόδιο Δ ἐπί χρόνο $T/2$ καὶ βγαίνει ἀπό αὐτό τό ήλεκτρόδιο, δταν έχει ἀλλάξει ή πολικότητα τῶν δύο ήλεκτροδίων. Τότε τό ίόν, διατρέχοντας τό διάκενο, έπιταχύνεται και μπαίνει μέσα στό ήλεκτρόδιο Γ , δπου κινεῖται μέ μεγαλύτερη ταχύτητα και ἐπομένως διαγράφει κυκλική τροχιά μέ μεγαλύτερη άκτινα (έξισ. 1). "Ετσι σέ κάθε ἐναλλαγή τῆς τάσεως (δηλαδή δύο φορές μέσα σέ κάθε περίοδο) τό ίόν έπιταχύνεται, η ταχύτητά του διαρκῶς αὐξάνεται και ἐπομένως διαρκῶς αὐξάνεται και η άκτινα r τῆς κυκλικῆς τροχιᾶς. Τό ίόν διαγράφει ἔνα είδος ἐλικοειδοῦς τροχιᾶς καὶ τελικά βγαίνει μέ μεγάλη κυνηγική ἐνέργεια ἀπό ένα κατάλληλο ἄνοιγμα καὶ πέφτει πάνω στό στόχο.

"Υπολογισμός τῆς ἐνέργειας τοῦ βλήματος. "Αν η τελική κυκλική τροχιά πού διαγράφει τό βλήμα έχει άκτινα R , τότε τό ίόν βγαίνει ἀπό τό κύκλοτρο μέ τελική ταχύτητα:

$$v_{\text{τελ}} = \frac{q \cdot B}{m} \cdot R$$

Ἐπομένως τό ίόν τελικά έχει κυνηγική ἐνέργεια:

$$E_{\text{κιν}} = \frac{1}{2} m \cdot v_{\text{τελ}}^2 \quad \text{καὶ}$$

$$E_{\text{κιν}} = \frac{1}{2} \cdot \frac{q^2}{m} \cdot B^2 \cdot R^2$$

β. Συγχροκύκλοτρο. Στό κύκλοτρο η συχνότητα v τῆς κινήσεως τοῦ

ίόντος είναι σέ κάθε στιγμή v μέ τή συχνότητα τής έναλλασσόμενης τάσεως και δίνεται άπό τήν έξισωση:

$$\text{συχνότητα κινήσεως ίόντος} \quad v = \frac{1}{T} \quad \text{ή} \quad v = \frac{q \cdot B}{2\pi \cdot m} \quad (3)$$

"Όταν δημοσιεύεται πολύ μεγάλη ταχύτητα, πού πλησιάζει τήν ταχύτητα του φωτός, τότε ή μάζα του ίόντος συνεχῶς αυξάνεται και στήν έξισωση (3) πρέπει νά βάλουμε:

$$m = \frac{m_0}{\sqrt{1 - (v/c)^2}}$$

δημοσιεύεται ή μάζα ηρεμίας του ίόντος. Έπομένως σύμφωνα μέ τήν έξισωση (3) ή συχνότητα της κινήσεως του ίόντος συνεχῶς έλαττόνεται και τότε ή έναλλαγή τής πολικότητας τῶν ήλεκτροδίων δέ συμπίπτει μέ τήν έξοδο του ίόντος άπό τό ήλεκτρόδιο.

Σέ μιά διάταξη πού δημοσιεύεται συγχροκύλοτρο ή συχνότητα τής έναλλασσόμενης τάσεως συνεχῶς έλαττόνεται, ώστε σέ κάθε στιγμή νά υπάρχει συγχρονισμός τής συχνότητας τής τάσεως μέ τή συχνότητα της κινήσεως του ίόντος.

Μέ τό συγχροκύλοτρο τά ίόντα άποκτον πολύ μεγάλες ένέργειες (π.χ. ως 720 MeV τά πρωτόνια και ως 380 MeV τά σωματίδια α).

Παρατήρηση. Έκτός άπό τό κύκλοτρο και τό συγχροκύλοτρο υπάρχουν και άλλοι πιο πολύπλοκοι κυκλικοί έπιταχυντές (π.χ. τό βήτατρο γιά τήν έπιτάχυνση ήλεκτρονίων, τό σύγχροτρο πρωτονίων κ.ά.).

88. Ένα σωματίδιο κινούμενο μέ μεγάλη ταχύτητα πλησιάζει σέ έναν πυρήνα μαγγανίου ($Z = 25$). Πόση δύναμη ένεργει πάνω στό σωματίδιο α, δημοσιεύεται σέ άποσταση $r = 10^{-12}$ cm άπό τόν πυρήνα μαγγανίου και πόση είναι τότε ή δύναμική ένέργεια του σωματιδίου α; $e = 1,6 \cdot 10^{-19}$ Cb.

ΠΡΟΒΛΗΜΑΤΑ

89. Ένα σωματίδιο κινούμενο μέ μεγάλη ταχύτητα πλησιάζει σέ έναν πυρήνα μαγγανίου ($Z = 25$). Πόση δύναμη ένεργει πάνω στό σωματίδιο α, δημοσιεύεται σέ άποσταση $r = 10^{-12}$ cm άπό τόν πυρήνα μαγγανίου και πόση είναι τότε ή δύναμική ένέργεια του σωματιδίου α; $e = 1,6 \cdot 10^{-19}$ Cb.

90. Ένα ισότοπο του θορίου έκπεμπει σωματίδια α μέ ένέργεια $E = 7,33$ MeV. Ένα τέτοιο σωματίδιο σέ πόση άποσταση r μπορεί νά πλησιάσει σέ έναν πυρήνα χρυσού ($Z = 79$): $m_\alpha = 6,69 \cdot 10^{-27}$ kgr. $1 \text{ MeV} = 1,6 \cdot 10^{-13}$ Joule. $e = 1,6 \cdot 10^{-19}$ Cb

91. Σέ ένα γραμμικό έπιταχυντή τό ίόν, πού έχει μάζα m και φορτίο q , ζεκινάει άπό τήν ηρεμία και κινείται μεταξύ του ήλεκτροδίου Α και τού πρώτου κυλίνδρου K_1 (σχ. 160), διαν στό δάκενο υπάρχει έπιταχυνόντας τάση U_0 . α) Νά βρεθεί μέ πόση ταχύτητα v_1 μπαίνει τό ίόν μέσα στόν κυλινδρό K_1 και έπειτα μέ πόση ταχύτητα v_2 μπαίνει μέσα στόν κυλινδρό K_2 . β) "Αν δέ έπιταχυντής άποτελείται άπό το κυλίνδρους, και τό ίόν έπι-

ταχυνθεῖ π φορές, νά βρεθεῖ ἔξισωση πού νά δίνει στήν τελική ταχύτητα υπ τοῦ ιόντος σε συνάρτηση μέ τόν ἀριθμό τῶν κυλίνδρων.

91. Στό γραμμικό ἐπιταχυντή τοῦ προηγούμενου προβλήματος 3 νά βρεθεῖ : α) Ποιές σχέσεις δίνουν τό μῆκος l_1 και l_2 τῶν δύο πρώτων κυλίνδρων K_1 και K_2 ; β) ἂν ὁ ἐπιταχυντής ἀποτελεῖται ἀπό π κυλίνδρους, ποιά σχέση δίνει τό μῆκος l_n τοῦ π τάξεως κυλίνδρου K_n ;

92. Ἐνας γραμμικός ἐπιταχυντής ἀποτελεῖται ἀπό $n = 16$ κυλίνδρους. Ἡ ἐφαρμοζόμενη ἐναλλασσόμενη τάση ἔχει συχνότητα $v = 10$ MHz και πλάτος $U_0 = 10$ kV. Τό ιόν είναι πρωτόνιο μέ μάζα $m_p = 1,67 \cdot 10^{-27}$ kgr και φορτίο $q = 1,6 \cdot 10^{-19}$ Cb. Νά βρεθεῖ ή τελική ταχύτητα τοῦ ιόντος υπ και τά μῆκη l_1, l_2, l_3 τῶν τριῶν πρώτων κυλίνδρων.

93. Σέ ἔνα κύκλοτρο τό μαγνητικό πεδίο ἔχει μαγνητική ἐπαγωγή $B = 1,2$ T και ή διáμετρος τοῦ θαλάμου ἐπιταχύνσεως είναι $2R = 1$ m. α) Πόση ταχύτητα ἔχει ἔνα δευτερόνιο, δταν τελειώσει τό στάδιο τῆς ἐπιταχύνσεώς του; β) Πόση τάση θά ἔπρεπε νά διαθέτουμε γιά νά προσδώσουμε στό δευτερόνιο αὐτή τήν ταχύτητα; $m_D = 3,3 \cdot 10^{-27}$ kgr.

94. Ἐνας σωματίδιο ἔχει μάζα m , θετικό φορτίο q και κινούμενο μέσα στό κύκλοτρο διαγράφει τελική τροχιά πού ἔχει ἀκτίνα R . Νά δειχτεῖ δτι τό σωματίδιο αὐτό μπορεῖ νά ἀποκτήσει τήν ίδια κινητική ἐνέργεια, ἂν ἐπιταχυνθεῖ ἀπό τάση U πού δίνεται ἀπό τήν ἔξισωση :

$$U = \frac{1}{2} \cdot \frac{q}{m} \cdot B^2 \cdot R^2$$

ὅπου B είναι ή μαγνητική ἐπαγωγή τοῦ μαγνητικοῦ πεδίου.

Ἐφαρμογή. Τό σωματίδιο είναι δευτερόνιο πού ἔχει

$q/m = 4,8 \cdot 10^7$ Cb/kg. $R = 0,48$ m. $B = 1,8$ T.

95. Ἀπό 1 gr ραδίου ἐκπέμπονται κάθε δευτερόλεπτο $n = 15,7 \cdot 10^{10}$ σωματίδια α.

1) Μέ πόση ἔνταση ρεύματος I_1 ἀντιστοιχεῖ αὐτή ή ροή τῶν σωματιδίων α; 2) Ἐνα κανονικό κύκλοτρο δημιουργεῖ ροή θετικῶν ιόντων πού ἀντιστοιχεῖ σέ ἔνταση ρεύματος $I_2 = 100 \cdot 10^{-6}$ A. Πόση μάζα ραδίου ἀπαιτεῖται, γιά νά παραχθεῖ ρεύμα τῆς ίδιας ἐντάσεως I_2 ;

96. Ἐνα κύκλοτρο ἔχει ἀκτίνα $R = 0,5$ m και τό μαγνητικό πεδίο ἔχει μαγνητική ἐπαγωγή $B = 0,75$ T. α) Πόση ἐνέργεια ἀποκτᾶ ἔνα πρωτόνιο; β) Στά δύο ἡλεκτρόδια ἐφαρμόζεται ἐναλλασσόμενη τάση πού ἔχει πλάτος $U_0 = 20$ kV. Πόση ἐνέργεια ἀποκτᾶ τό πρωτόνιο κάθε φορά πού περνάει μέσα ἀπό τό μεταξύ τῶν δύο ἡλεκτροδίων διάκενο; Πόσες φορές τό πρωτόνιο θά περάσει μέσα ἀπό τό διάκενο ὥσπου νά ἀποκτήσει τήν τελική ἐνέργεια του; γ) Πόση πρέπει νά είναι ή συχνότητα τῆς ἐφαρμοζόμενης τάσεως; δ) Σέ πόσο χρόνο τό πρωτόνιο ἀποκτᾶ τήν τελική ἐνέργεια του; $m_p = 1,67 \cdot 10^{-27}$ kgr.

97. Σέ ἔνα κύκλοτρο εἰσάγονται θετικά ιόντα πού τό καθένα ἔχει μάζα m και φορτίο q . Ἡ ἐπιταχύνουσα τάση είναι U και ή μαγνητική ἐπαγωγή τοῦ μαγνητικοῦ πεδίου είναι B . Νά βρεθεῖ ἔξισωση πού νά δίνει τήν ἀκτίνα r τῆς κυκλικῆς τροχιᾶς τοῦ ιόντος σε συνάρτηση μέ τά μεγέθη m, q, U, B και τοῦ ἀριθμοῦ π τῶν διαβάσεων τοῦ ιόντος ἀπό τό μεταξύ τῶν δύο ἡλεκτροδίων διάκενο.

98. Σέ ἔνα κύκλοτρο εἰσάγονται πρωτόνια μέ ἀσήμαντη ἀρχική ταχύτητα. Ἡ ἐφαρμοζόμενη στά δύο ἡλεκτρόδια ἐναλλασσόμενη τάση ἔχει πλάτος $U_0 = 5000$ V και ή μα-

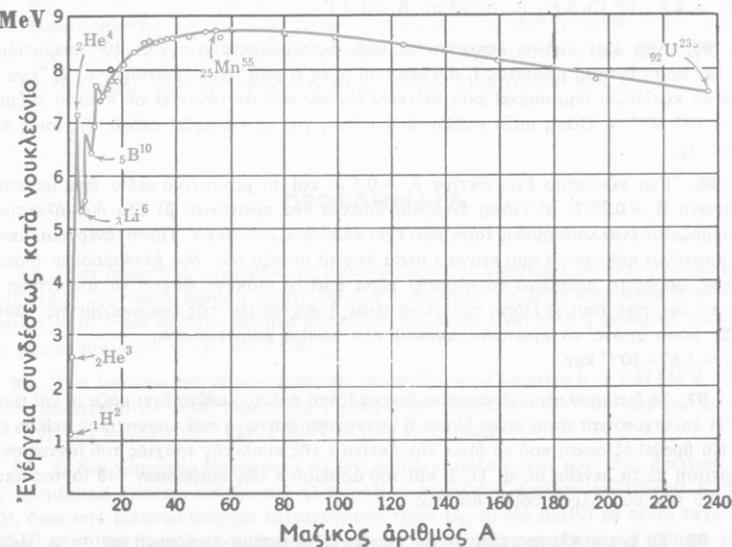
γνητική έπαγωγή του μαγνητικού πεδίου είναι $B = 0,5 \text{ T}$. α) Νά υπολογιστεί η άκτινα για της τροχιάς του πρωτονίου σέ συνάρτηση μέ τόν άριθμόν των διαβάσεων του πρωτονίου από τό διάκενο πού ίστοιστοιχον στις τέσσερις πρώτες διαβάσεις του πρωτονίου από τό διάκενο και οι ίστοιστοιχες ταχύτητες. $m_p = 1,67 \cdot 10^{-27} \text{ kgr}$.

99. Σέ ένα κύκλοτρο εισάγονται πρωτόνια μέ άστιμαντη άρχική ταχύτητα. Ή έπιταχνόνυσα τάση είναι $U = 5000 \text{ V}$ και ή μαγνητική έπαγωγή του μαγνητικού πεδίου είναι $B = 0,5 \text{ T}$. α) Πόσο χρόνο διαρκεί ή κίνηση του πρωτονίου μέσα σέ κάθε ήλεκτρόδιο; β) Η άκτινα της τελικής τροχιάς είναι $R = 40 \text{ cm}$. Πόση είναι τελικά ή ταχύτητα και ή ένέργεια του πρωτονίου; γ) Πόσο χρόνο διαρκεί ή κίνηση του πρωτονίου μέσα στή συσκευή; δ) Πόση είναι ή συχνότητα της τάσεως πού έφαρμόζεται στά ήλεκτρόδια; $m_p = 1,67 \cdot 10^{-27} \text{ kgr}$.

Σύντηξη έλαφρων πυρήνων

75. Σύντηξη

Η καμπύλη του σχήματος 147 δείχνει τήν ένέργεια συνδέσεως κατά νουκλεόνιο. "Οσο μεγαλύτερη είναι αυτή ή ένέργεια, τόσο σταθερότερος είναι ο πυρήνας.

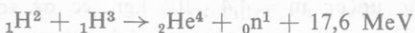


Σχ. 147. Η ένέργεια συνδέσεως κατά νουκλεόνιο μεταβάλλεται μέ τό μαζικό άριθμό A.

Από τούς έλαφρούς πυρήνες δι πυρήνας ήλιου $_2\text{He}^4$ είναι έξαιρετικά σταθερός και χαρακτηρίζεται άπό μεγάλη ένέργεια συνδέσεως κατά νουκλεόνιο ΐση με 7 MeV κατά νουκλεόνιο.

Σύντηξη δονομάζεται ή πυρηνική άντιδραση κατά τήν όποια έλαφροι πυρήνες συνδέονται μεταξύ τους, όποτε σχηματίζεται ένας βαρύτερος και σταθερότερος πυρήνας και ταυτόχρονα έλευθερώνεται ένέργεια.

Παραδείγματα συντήξεως είναι οι άκολουθες πυρηνικές άντιδρασεις:



Συνθήκες γιά τήν πραγματοποίηση συντήξεως. Μεταξύ τῶν δύο πυρήνων πού πρόκειται νά συνδεθούν έξασκείται ήλεκτροστατική άπωση. Επομένως οι δύο πυρήνες πρέπει νά έχουν τόση κινητική ένέργεια, ώστε νά πλησάσουν πολύ δ ένας μέ τόν άλλο και νά μπορέσουν τότε νά δράσουν οι πυρηνικές δυνάμεις πού θά συνδέσουν τούς δύο πυρήνες.

Η κινητική ένέργεια πού έχουν οι δύο πρός σύντηξη πυρήνες διφείλεται σε πολύ ψηλές θερμοκρασίες πού φτάνουν σε άρκετα έκατομμύρια βαθμούς. Γι' αυτό οι πυρηνικές άντιδρασεις συντήξεως δονομάζονται και θερμοπυρηνικές άντιδρασεις.

76*. Προέλευση τής άστρικής ένέργειας

Υπολογίζεται δτι δ "Ηλιος έκπεμπει ίσχυ $P = 4 \cdot 10^{26} \text{ W}$. Επίσης βρέθηκε δτι στόν "Ηλιο καθώς και στούς περισσότερους άπλανεις άστρερες δ πιό συνηθισμένος πυρήνας είναι δ πυρήνας θδρογόνου, δηλαδή τό πρωτόνιο.

Η θεωρητική έρευνα, γιά νά έρμηνεύσει τήν προέλευση τής άστρικής ένέργειας, δέχεται δτι ή άστρική ένέργεια έλευθερώνεται, δταν συμβαίνει σύντηξη τεσσάρων πρωτονίων, H^1 , και σχηματίζεται ένας πυρήνας ήλιου, He^4 . Αυτή ή άντιδραση γίνεται στόν κεντρικό πυρήνα τῶν άστέρων, δπου έπικρατει θερμοκρασία περίπου 20 έκατομμυρίων βαθμῶν. Ήξαιτίας αυτής τής τεράστιας θερμοκρασίας τά πρωτόνια έχουν μεγάλη κινητική ένέργεια και τότε μπορούν νά συμβούν θερμοπυρηνικές άντιδρασεις.

Άκομη δέν ξέρουμε πῶς άκριβῶς συμβαίνουν αύτές οι άντιδρασεις, άλλα τό τελικό άποτέλεσμά τους είναι ή σύντηξη τεσσάρων πρωτονίων και δ σχηματισμός ένός πυρήνα ήλιου He^4 . Ωστε:

Η αστρική ένέργεια έλευθερώνεται, όταν σχηματίζεται ένας πυρήνας ήλιου He^4 από τη σύντηξη τεσσάρων πρωτονίων H^1 .



Τά δύο ποζιτρόνια προκύπτουν από τη μετατροπή δύο πρωτονίων σε νετρόνια.

Η αστρική ένέργεια προέρχεται από τη συνεχή μετατροπή αστρικής υλης σε ίσοδύναμη ένέργεια σύμφωνα με τήν έξισωση $E = mc^2$. Ετσι βρίσκουμε ότι η ίσχυς P πού έκπεμπει ό "Ηλιος προέρχεται από τη μετατροπή ήλιακής μάζας $m = 4,4 \cdot 10^9 \text{ kgr/sec}$ σε ίσοδύναμη ένέργεια, δηλαδή στόν "Ηλιο κάθε δευτερόλεπτο 4,4 έκατομμύρια τόνοι ήλιακής μάζας μετατρέπονται σε ένέργεια. Υπολογίζεται ότι ό "Ηλιος έχει τήν ίκανότητα νά έκπεμπει ένέργεια μέ τό σημερινό ρυθμό επί 30 δισεκατομμύρια έτη.

77*. Έφαρμογές τής Θερμοπυρηνικής άντιδράσεως

α. Τό πλάσμα. Γιά νά έκμεταλλευτούμε τήν ένέργεια πού έλευθερώνεται κατά τή θερμοπυρηνική άντιδραση, πρέπει νά πετύχουμε τήν έναρξη τής πυρηνικής άντιδράσεως και τή διατήρησή της. Οι ένέργειες, πού πρέπει νά άποκτήσουν οι δύο έλαφροί πυρῆνες γιά νά άρχισει ή θερμοπυρηνική άντιδραση, ύπολογίζεται ότι άπαιτούν θερμοκρασία πάνω από 10 έκατομμύρια βαθμούς. Άλλα σ' αυτή τή θερμοκρασία συμβαίνει πλήρης *ionisμός* τῶν άτομων και τό άέριο μεταβάλλεται σε ένα μίγμα από έλευθεροντο πυρῆνες και έλευθερα ήλεκτρόνια. Αύτό τό μίγμα ήλεκτρικός είναι ούδετέρο και άνομάζεται πλάσμα (plasma).

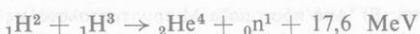
Τό πλάσμα θεωρείται ως μιά τέταρτη κατάσταση τής υλης. Υπολογίζεται ότι τά 99 % τής υλης πού υπάρχει στούς άστέρες και στούς γαλαξίες είναι στήν κατάσταση πλάσματος. Οι πυρῆνες πού υπάρχουν στό πλάσμα κινούνται μέ πολύ μεγάλες ταχύτητες και έπομένως έχουν τόση κινητική ένέργεια, πού μπορεῖ νά προκαλέσει θερμοπυρηνική άντιδραση. Ωστε:

Γιά τήν έναρξη και τή διατήρηση τής θερμοπυρηνικής άντιδράσεως άπαιτείται θερμοκρασία πολλών έκατομμυρίων βαθμών, στήν όποια τό όλικό, πού πρόκειται νά υποβληθεῖ σε σύντηξη, έχει μεταβληθεῖ σε πλάσμα.

β. Μή έλεγχόμενη θερμοπυρηνική άντιδραση. Κατά τήν έκρηξη τής βόμβας ούρανίου δημιουργείται θερμοκρασία περίπου 50 έκατομμυρίων

βαθμῶν καί ἡ πίεση φτάνει σέ 10^{11} ἀτμόσφαιρες. Σ' αὐτές τίς συνθῆκες εἶναι δυνατή ἡ ἔναρξη τῆς θερμοπυρηνικῆς ἀντιδράσεως. Στή θερμοπυρηνική βόμβα ἡ καὶ βόμβα ύδρογονον, ἐκτός ἀπό τό όντικό πού πρόκειται νά υποβληθεῖ σέ σύντηξη, ύπάρχει καί μιά μικρή βόμβα ούρανίου πού δημιουργεῖ τίς ἀπαραίτητες συνθῆκες γιά τήν ἔναρξη τῆς θερμοπυρηνικῆς ἀντιδράσεως. Αὐτή ἔξελιστει πολύ γρήγορα (μέσα σέ χρονικό διάστημα τῆς τάξεως τοῦ 10^{-6} sec), ώστε ἡ ἐνέργεια ἐλευθερώνεται σχεδόν ἀκεραιαία. Ἡ ἔκρηξη τῆς βόμβας εἶναι μιά μή ἐλεγχόμενη θερμοπυρηνική ἀντιδραση.

Ἡ θερμοπυρηνική βόμβα ἔχει πολύ μεγάλη ἴσχυ, εἶναι ἕνα τρομερό σπλο, μπορεῖ δῆμος νά χρησιμοποιηθεῖ καί γιά εἰρηνικούς σκοπούς (π.χ. γιά ἐκβραχισμούς, γιά τή διάνοιξη νέων κόλπων στίς ἀκτές κ.ἄ.). Ἡ πιό γρήγορα ἔξελιστόμενη θερμοπυρηνική ἀντιδραση εἶναι ἡ ἔξης:



γ. Ἐλεγχόμενη θερμοπυρηνική ἀντιδραση. Ἡ πραγματοποίηση στό ἐργαστήριο μιᾶς ἐλεγχόμενης θερμοπυρηνικῆς ἀντιδράσεως εἶναι πολύ δύσκολη καί κυρίως γιά τούς ἔξης λόγους:

1. Γιά τήν ἔναρξη καί τή διατήρηση τῆς ἀντιδράσεως ἀπαιτοῦνται πολύ ψηλές θερμοκρασίες πού φτάνουν σέ πολλά ἑκατομμύρια βαθμούς.

2. Τό πλάσμα πρέπει νά δημιουργηθεῖ μέσα στό κενό, νά ἔχει μεγάλη πυκνότητα καί νά μή ἔρχεται σέ ἐπαφή μέ τά τοιχώματα τοῦ δοχείου πού μέσα σ' αὐτό υπάρχει τό πλάσμα.

Ἡ θεωρητική καί ἡ πειραματική ἔρευνα προσπαθεῖ νά πετύχει τήν ἐλεγχόμενη θερμοπυρηνική ἀντιδραση, ἡ δόποια ἐλπίζουμε δτι θά λύσει δριστικά τό ἐνεργειακό πρόβλημα τῆς ἀνθρωπότητας.

ΠΡΟΒΛΗΜΑΤΑ

100. Ἀπό τή σύντηξη τεσσάρων πρωτονίων, ${}_1\text{H}^1$, σχηματίζεται ἔνας πυρήνας ἡλίου, ${}_2\text{He}^4$. α) Νά γραφεῖ ἡ πυρηνική ἀντιδραση. β) Πόση ἐνέργεια σέ MeV ἐλευθερώνεται δταν σχηματίζεται ἔνας πυρήνας ἡλίου; γ) Πόση ἐνέργεια σέ Joule ἐλευθερώνεται δταν σχηματίζεται 1 gr ἡλίου;

Ἄτομικές μάζες σέ amu :

$$\text{H}^1 = 1,007\,825. \text{He}^4 = 4,002\,604. \text{N}_A = 6 \cdot 10^{23} \text{ ἄτομα/gr - atom. } 1 \text{ amu} = 931 \text{ MeV.}$$

$$1 \text{ MeV} = 1,6 \cdot 10^{-13} \text{ Joule.}$$

101. Ἀπό τή σύντηξη δύο δευτερονίων, ${}_1\text{H}^2$, σχηματίζεται ἔνας πυρήνας ἡλίου, ${}_2\text{He}^4$. α) Να γραφεῖ ἡ πυρηνική ἀντιδραση. β) Πόση ἐνέργεια ἐλευθερώνεται σέ MeV δταν σχηματίζεται ἔνας πυρήνας ἡλίου; γ) Πόση ἐνέργεια σέ Joule ἐλευθερώνεται δταν σχηματίζεται 1 gr ἡλίου;

*Ατομικές μάζες σέ amu :

$$\text{H}^2 = 2,0141. \quad \text{He}^4 = 4,0026. \quad N_A = 6 \cdot 10^{23} \text{ ατομα/gr - atom.}$$

102. "Οταν άπό τη σύντηξη τεσσάρων πυρήνων υδρογόνου σχηματίζεται ένας πυρήνας ήλιου, τότε τά 7/1000 της μάζας του υδρογόνου μετατρέπονται σέ ίσοδύναμη ένέργεια. Πόση ένέργεια σέ κιλοβατώρια μπορούμε νά έχουμε άπό 1 kgr υδρογόνου πού τό υποβάλλουμε σέ σύντηξη;

103. Νά βρεθεί ή ένέργεια συνδέσεως του πυρήνα ήλιου, $_2\text{He}^4$, και νά υπολογιστεί σέ κιλοβατώρια ή ένέργεια πού έλευθερώνεται, δταν σχηματίζεται άπό τά συστατικά του 1 kgr ήλιου.

*Ατομικές μάζες σέ amu :

$$m_{\text{H}} = 1,007\,825. \quad m_{\text{D}} = 1,008\,665. \quad \text{He}^4 = 4,002\,604. \quad N_A = 6 \cdot 10^{23} \text{ ατομα/gr - atom.}$$

104. Κατά τή δοκιμή μιᾶς θερμοπυρηνικής άντιδρασεως (βόμβα υδρογόνου) βρέθηκε ότι μαζά $m = 100 \text{ gr}$ μετατρέπεται σέ ίσοδύναμη ένέργεια. α) Πόση είναι σέ kcal ή ένέργεια πού έλευθερώνεται; β) 'Από πόση μάζα M τρινιτροτολουόλης μπορεί νά προκύψει αυτή ή ένέργεια, άν είναι γνωστό ότι κατά τήν έκρηξη ένός τόνου τρινιτροτολουόλης έκλ.ύεται ένέργεια ίση μέ 10⁶ kcal; $J = 4,2 \cdot 10^3 \text{ Joule/kcal.}$

105. Σέ μάζα υδρογόνου ίση μέ 1 gr περιέχονται $N_{\text{H}} = 6 \cdot 10^{23} \text{ ατομα υδρογόνου}$, ένω σέ μαζά 1 gr ούρανίου 235, U^{235} , περιέχονται $N_{\text{U}} = 1,8 \cdot 10^{19} \text{ ατομα ούρανίου}$. Κατά τή σύντηξη 4 άτομικών πυρήνων υδρογόνου γιά τό σχηματισμό ένός πυρήνα ήλιου He^4 , έλευθερώνεται ένέργεια ίση μέ 28 MeV. 'Ενω κατά τή διάσπαση ένός πυρήνα ούρανίου 235 έλευθερώνεται ένέργεια ίση μέ 200 MeV. Νά βρεθεί ο λόγος τών ένεργειών E_{H} και E_{U} πού έλευθερώνονται άπό ίση μάζα υδρογόνου και ούρανίου κατά τίς άντιστοιχες πυρηνικές άντιδρασεις.

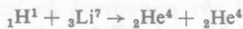
106. 'Ο "Ηλιος έκπεμπει ίσχυ $P = 3,8 \cdot 10^{26} \text{ W}$ πού προέρχεται άπό τή σύντηξη πρωτονίων γιά τό σχηματισμό πυρήνων ήλιου He^4 . α) Πόση ήλιακή μάζα μετατρέπεται σέ ένέργεια κατά δευτερόλεπτο; β) 'Η μάζα του 'Ηλιου είναι ίση μέ $M = 1,99 \cdot 10^{30} \text{ kgr}$. "Επειτα άπό πόσο χρόνο άπό σήμερα ή μάζα του 'Ηλιου θά έχει έλαττωθεί κατά τό ένα χιλιοστό της;

107. Είναι δυνατή ή άκόλουθη πυρηνική άντιδραση (σύντηξη) :



Στό νερό βρίσκεται τό δευτέριο (H^2) σέ αναλογία 0,0156 %. Γιά τήν έκμετάλλευση τής παραπάνω πυρηνικής άντιδρασεως χρησιμοποιείται τό νερό μιᾶς λίμνης. 'Η μάζα του νερού είναι ίση μέ $m = 26 \cdot 10^{18} \text{ kgr}$. Πόση ένέργεια σέ kWh θά λάβουμε; $N_A = 6,02 \cdot 10^{23} \text{ μόρια/gr - mol.}$

108. Νά βρεθεί σέ Joule και kcal ή ένέργεια πού έλευθερώνεται άπό ένα γραμμοάτομο λιθίου 7, Li^7 , κατά τήν άκόλουθη πυρηνική άντιδραση (σύντηξη) :



*Ατομικές μάζες σέ amu :

$$\text{H}^1 = 1,007\,825. \quad \text{Li}^7 = 7,016\,004. \quad \text{He}^4 = 4,002\,604 \quad N_A = 6 \cdot 10^{23} \text{ ατομα/gr - atom}$$

$$J = 4,2 \cdot 10^3 \text{ Joule/kcal.} \quad 1 \text{ amu} = 1,49 \cdot 10^{-10} \text{ Joule.}$$

Στοιχειώδη σωματίδια

78. Στοιχειώδη σωματίδια και άντισωματίδια

"Οπως ξέρουμε μέσα στό ατομο ύπαρχον τρία στοιχειώδη σωματίδια: τό ήλεκτρόνιο e^- , τό πρωτόνιο p και τό νετρόνιο n .

Σέ δρισμένες πυρηνικές άντιδράσεις έμφανίζονται ολλα τρία στοιχειώδη σωματίδια:

τό ποζιτρόνιο e^+ , τό νετρίνο ν και τό άντινετρόνιο $\bar{\nu}$.

Τό ποζιτρόνιο είναι ένα ήλεκτρόνιο, άλλα μέθετικό φορτίο, δηλαδή είναι ένα άντιηλεκτρόνιο. Λέμε διτό τό ποζιτρόνιο είναι ένα άντισωματίδιο. Έπισης τό άντινετρίνο $\bar{\nu}$ είναι άντισωματίδιο.

"Η πειραματική ζρευνα άπεδειξε διτό σέ κάθε σωματίδιο άντιστοιχεί ένα άντισωματίδιο. "Ετσι βρέθηκε διτό τό πρωτόνιο p έχει άντισωματίδιο τό άντιπρωτόνιο \bar{p} , πού είναι ένα πρωτόνιο, άλλα μέθετηκό φορτίο.

"Άντισωματίδια έχουν διχι μόνο τά σωματίδια πού έχουν ήλεκτρικό φορτίο, άλλα και τά ούδετερα σωματίδια. "Ετσι τό νετρόνιο n έχει άντισωματίδιο τό άντινετρόνιο \bar{n} πού διαφέρει άπό τό νετρόνιο ώς πρός τή μαγνητική ροπή.

"Ωστε πειραματικά βρέθηκε διτό:

I. "Όλα τά σωματίδια έχουν άντισωματίδια.

II. Τά άντισωματίδια τῶν φορτισμένων σωματιδίων διαφέρουν άπό τά άντιστοιχα σωματίδια ώς πρός τό σημείο τοῦ φορτίου, ένδι τά άντισωματίδια τῶν ούδετερων σωματιδίων διαφέρουν άπό τά άντιστοιχα σωματίδια ώς πρός τή μαγνητική ροπή.

79. Μεσόνια

"Ονομάζονται μεσόνια (mesons, από τήν έλληνική λέξη μέσος) άσταθή σωματίδια πού ή μάζα τους είναι μεγαλύτερη άπό τή μάζα τοῦ ήλεκτρονίου, άλλα μικρότερη άπό τή μάζα τῶν νουκλεονίων.

a. Μιόνια ή μ μεσόνια. Τά μιόνια ή μ μεσόνια (σύμβολο μ) είναι σωματίδια πού έχουν φορτίο \pm μέ ένα στοιχειώδες ήλεκτρικό φορτίο, θετικό ή άρνητικό (μ^+ , μ^- μιόνιο). Τό μ^+ και τό μ^- μιόνιο είναι σωματίδια άναλογα μέ ποζιτρόνιο (e^+) και τό ήλεκτρόνιο (e^-) μέ τή διαφορά διτό έχουν μάζα 207 φορές μεγαλύτερη άπό τή μάζα (m_e) τοῦ ήλεκτρονίου.

Τά μιόνια είναι άσταθή σωματίδια. Τό μ^+ και τό μ^- μιόνιο διασπάνται

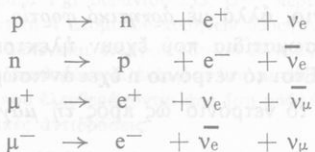
άντιστοιχα σέ ποζιτρόνιο (e^+) και ήλεκτρόνιο (e^-). Κατά τή διάσπαση τού μ^+ και τού μ^- μιονίου σχηματίζονται και δύο νέα σωματίδια πού άντιστοιχα δύνομάζονται μιάντινετρίνο $\bar{\nu}_\mu$ και μιάντινετρίνο ν_μ .

"Ωστε ύπαρχουν δύο τύποι νετρίνων και άντινετρίνων, έκεινα πού συνδέονται μέ τή γένεση τού ποζιτρονίου ή τού ήλεκτρονίου (v_e και \bar{v}_e) και έκεινα πού συνδέονται μέ τή διάσπαση τῶν μιονίων (v_μ και \bar{v}_μ). "Ετσι ξεχουμε δτι:

- τό νετρίνο v_e συνοδεύει τή γένεση τού ποζιτρονίου.
- τό άντινετρίνο \bar{v}_e συνοδεύει τή γένεση τού ήλεκτρονίου.
- τό μ^+ άντινετρίνο $\bar{\nu}_\mu$ συνοδεύει τή διάσπαση τού μ^+ μιονίου.
- τό μ^- νετρίνο v_μ συνοδεύει τή διάσπαση τού μ^- μιονίου.

Η παραγωγή τῶν νετρίνων και άντινετρίνων φαίνεται στόν παρακάτω πίνακα.

Νετρίνα και άντινετρίνα



Σχ. 148. Φωτογραφία πού πάρθηκε μέ θάλαμο Glaser. Διακρίνονται ή διάσπαση ένός π^+ πιόνιου σέ μ^+ μιόνιο και ή διάσπαση τού μ^+ μιονίου σέ ποζιτρόνιο e^+ . Η καμπύλωση τῶν τροχιών διφείλεται στό μαγνητικό πεδίο.

β. Πιόνια ή π μεσόνια. Τά πιόνια ή π μεσόνια (σύμβολο π) είναι σωματίδια πού έχουν φορτίο ίσο μέ ένα στοιχειώδες ήλεκτρικό φορτίο, θετικό ή άρνητικό (π^+ , π^- πιόνιο) ή είναι ούδετερα (π^0 πιόνιο). Τά φορτισμένα πιόνια (π^+ , π^-) έχουν μάζα ίση μέ 273 me, ένω τό ούδετερο πιόνιο (π^0) έχει μάζα ίση μέ 264 me.

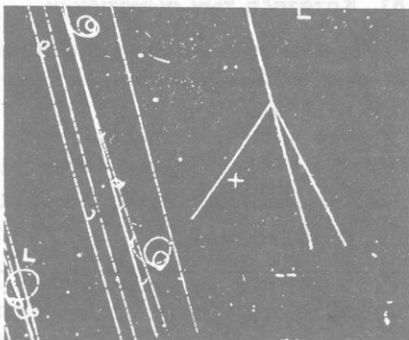
Είναι άσταθή σωματίδια. Τά φορτισμένα π^+ και π^- πιόνια διασπᾶνται άντιστοιχα σέ μ^+ και μ^- μιόνια. Αντίθετα τό ούδετερο π^0 πιόνιο διασπᾶται σέ δύο φωτόνια γ .

Στό σχήμα 148 φαίνεται ή διάσπαση ένός πιόνιου.

γ. Καόνια ή K μεσόνια. Τά καόνια ή K μεσόνια (σύμβολο K) είναι σωματίδια πού έχουν φορτίο ίσο μέ ένα στοιχειώδες ήλεκτρικό φορτίο, θετικό ή άρνητικό (K^+ , K^- καόνιο) ή είναι ούδετερα (K^0 καόνιο). Τά φορτισμένα καόνια (K^+ και K^-) έχουν μάζα ίση μέ 966 me, ένω τό ούδετερο καόνιο (K^0) έχει μάζα

ίση μέ 974 με. Είναι άσταθή σωματίδια και διασπάνται κατά διάφορους τρόπους δίνοντας πι-όνια, μιόνια, ποζιτρόνια και ή-λεκτρόνια (σχ. 149).

δ. Τό η⁰ μεσόνιο. Στά μεσόνια ύπαγεται και τό η⁰ μεσόνιο (σύμβολο η) πού είναι σωματίδιο ού-δετερο, έχει μάζα 1074 με και διασπάται σέ δύο φωτόνια γ.



80. Υπερόνια

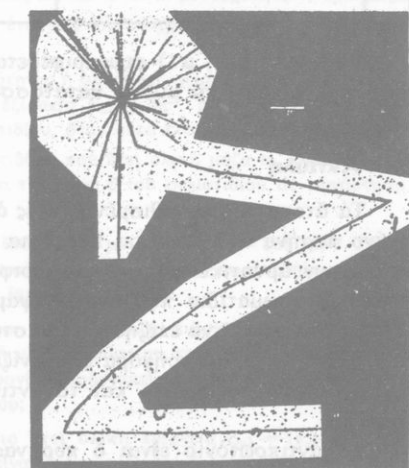
Τά υπερόνια είναι σωματίδια πού ή μάζα τους είναι μεγαλύ-τερη από τη μάζα τοῦ πρωτο-νίου και ἔχουν φορτίο ίσο μέ-να στοιχειώδες ήλεκτρικό φο-ρτίο ή είναι ουδέτερα. Είναι άσταθή σωματίδια και από τή διάσπασή τους προκύπτουν γενικά ἔνα νουκλεόνιο (πρωτόνιο ή νετρόνιο) και ἔνα πιόνιο (π). Τά υπερόνια ἀποτελοῦν τίς ἔξης τέσσερις διάδεξ:

Λ υπερόνια (σύμβολο Λ)

Σ υπερόνια (σύμβολο Σ)

Ξ υπερόνια (σύμβολο Ξ)

Ω υπερόνια (σύμβολο Ω)



Ένα κοσμικό σωματίδιο (πρωτόνιο) συ-γκρύνεται μέ ἔναν πυρήνα τοῦ γαλακτώ-ματος και σχηματίζεται πλήθος από θραύσματα τοῦ πυρήνα. (δ ἀστέρας πάνω ἀριστερά). Ένα πιόνιο (π) ἀφοῦ διατρέξει μεγάλη τροχιά διασπάται σέ μιόνιο (μ) και νετρίνο (πάνω δεξιά γωνία). Τό μιόνιο ἐπειτα από μακριά διαδρομή διασπάται (κάτω ἀριστερά γωνία) σέ ήλεκτρόνιο πού κινεῖται πρός τά δεξιά.

81. Κατάταξη τῶν σωματιδίων

Τά γνωστά σωματίδια και ἀντισωματίδια κατατάσσονται σέ τρεις κατηγορίες τά λεπτόνια, τά μεσόνια και τά βαρύνια δπως φαίνεται στόν παρακάτω πίνακα.

Κατάταξη τῶν στοιχειωδῶν σωματιδίων

Κατηγορία	Σωματίδια
Λεπτόνια	νετρίνο ν_e ἀντινετρίνο $\bar{\nu}_e$ μ νετρίνο ν_μ , μ ἀντινετρίνο $\bar{\nu}_\mu$ ήλεκτρόνιο e^- , ποζιτρόνιο e^+ μιόνια (μ^+, μ^-)
Μεσόνια	πιόνια (π^+, π^-, π^0) καόνια (K^+, K^-, K^0) η μεσόνιο (η^0)
Βαρύνια	Νουκλεόνια πρωτόνιο p , ἀντιπρωτόνιο \bar{p} νετρόνιο n , ἀντινετρόνιο \bar{n}
	Υπερόνια Λ, ύπερόνια Σ ύπερόνια Ε, ύπερόνια Ω

Τό μιόνιο (μ^+, μ^-) συμπεριφέρεται σάν ἔνα ἀσταθές «βαρύ ηλεκτρόνιο» και γι' αὐτό τά μιόνια κατατάσσονται στά λεπτόνια.

82. Ἀντιύλη

Τά ἄτομα τῆς συνηθισμένης ὥλης ἀποτελοῦνται ἀπό ἔνα θετικά φορτισμένο πυρήνα πού περιέχει πρωτόνια και νετρόνια, και ἀπό ηλεκτρόνια πού ἔχουν ἀρνητικό φορτίο και περιφέρονται γύρω ἀπό τόν πυρήνα. Τό πρῶτο ἀντισωματίδιο πού ἀνακαλύψαμε εἶναι τό ποζιτρόνιο, πού, δπως εἴδαμε, δὲν μπορεῖ νά επιζήσει μέσα στό δικό μας κόσμο πού εἶναι γεμάτος ἀπό ηλεκτρόνια και γρήγορα ἔξαφανίζεται. Τό ἴδιο συμβαίνει μέ τό ἀντιπρωτόνιο. Τό ποζιτρόνιο και τό ἀντιπρωτόνιο εἶναι δύο σωματίδια τῆς ἀντιύλης.

Τό ἀντιπρωτόνιο εἶναι ὁ πυρήνας τοῦ ἀτόμου ὑδρογόνου, ἀλλά μέ

ένα άρνητικό στοιχειώδες ήλεκτρικό φορτίο. ⁷ Ας υποθέσουμε ότι γύρω από τό διάτυπωτόνιο περιφέρεται ένα ποζιτρόνιο, δηλαδή στό άτομο ήδρογόνου τό ήλεκτρόνιο περιφέρεται γύρω από τό πρωτόνιο. Αύτό τό άτομο πού φανταστήκαμε είναι ένα άτομο διάτυπωτον στό διπολού ίσχυον δλοι οι γνωστοί μας νόμοι. ⁸ Άλλα στό δικό μας κόσμο αύτό τό άτομο δέν μπορεῖ νά έπιχησει και άμεσως θά έξαφανιστεί. Είναι δημος πιθανό μερικές άπομακρυσμένες περιοχές τού Σύμπαντος νά άποτελούνται από άντιτιλη. ⁹ Ας υποθέσουμε ότι σήμερα δεχόμαστε τίς άκτινοβολίες πού έκπεμπουν αύτά τά άπομακρυσμένα άτομα άντιτιλογόνουν. Ποτέ δέν θά μπορέσουμε νά άνακαλύψουμε ότι αυτές οι άκτινοβολίες προέρχονται από άτομα άντιτιλογόνουν, γιατί και σ' αύτά τά άτομα τά πηδήματα τῶν ποζιτρονίων προκαλοῦν έκπομπή φωτονίων ($h\nu$) σύμφωνα μέ τή γνωστή συνθήκη τού Bohr.

ΠΡΟΒΛΗΜΑΤΑ

109. "Ενα σωματίδιο έχει μάζα M κινεῖται μέ ταχύτητα V και συγκρούεται κεντρικά μέ άλλο σωματίδιο πού έχει μάζα m και βρίσκεται σέ ήρεμια. Νά δειχτεί ότι, αν τό δεύτερο σωματίδιο μετά τήν κρούση έχει ταχύτητα v κατά τή διεύθυνση και τή φορά τής ταχύτητας V , τότε ισχύει ή έξισωση :

$$v = \frac{2M}{M+m} V$$

110. "Ενα σωματίδιο πού έχει μάζα m_0 ήρεμιας m_0 και κινεῖται μέ ταχύτητα v , έχει μάζα $m = m_0 / \sqrt{1 - \beta^2}$, δηλαδή $\beta = v/c$. Μέ πόση ένέργεια ισοδυναμεῖ ή αδέσητη τής μάζας τού σωματιδίου;

111. Σύμφωνα μέ τή θεωρία τής σχετικότητας ή δλική ένέργεια E_{ol} ένός σωματιδίου πού έχει δλική μάζα m , δίνεται από τήν έξισωση $E_{\text{ol}} = mc^2$. Νά βρεθεί έξισωση πού νά δίνει τήν κινητική ένέργεια τού σωματιδίου, δταν αύτό κινεῖται μέ ταχύτητα v .

112. 'Η δλική ένέργεια E_{ol} ένός σωματιδίου, πού έχει δλική μάζα m , είναι $E_{\text{ol}} = mc^2$. Νά βρεθεί έξισωση πού νά δίνει τήν δρμή p τού σωματιδίου σέ συνάρτηση μέ τήν δλική ένέργειά του E_{ol} .

113. 'Η μάζα ήρεμιας m_0 ένός μιονίου ισοδυναμεῖ μέ ένέργεια $E = 106 \text{ MeV}$. Πόση είναι ή μάζα m_p και πόσες φορές είναι μεγαλύτερη από τή μάζα m_e τού ήλεκτρονίου; $m_p = 9,1 \cdot 10^{-21} \text{ kgr}, 1 \text{ MeV} = 1,6 \cdot 10^{-13} \text{ Joule}$.

114. "Ενα θετικά φορτισμένο σωματίδιο έχει κινητική ένέργεια $E_{\text{kin}} = 62 \text{ MeV}$ και όρμη $p = 335 \text{ MeV}/c$. a) Πόση είναι ή μάζα ήρεμιας m_0 τού σωματιδίου, αν είναι γνωστό ότι ή μάζα ήρεμιας m_e τού ήλεκτρονίου ισοδυναμεῖ μέ ένέργεια $E_e = 0,5 \text{ MeV}$; b) Πόση είναι ή ταχύτητα v τού σωματιδίου;

115. "Ενα θετικά φορτισμένο σωματίδιο έχει δλική ένέργεια $E_{\text{ol}} = 135 \text{ MeV}$ και κινητική ένέργεια $E_{\text{kin}} = 10 \text{ MeV}$. Πόση είναι ή ταχύτητα και ή δρμή τού σωματιδίου;

116. Ένα σωματίδιο έχει μάζα ήρεμίας m_0 και δρμή p . Νά βρεθεῖ έξισωση που νά δίνει την ταχύτητα υ τού σωματιδίου σέ συγάρτηση μέ τά μεγέθη m_0 και p .

117. Όταν ένα πρωτόνιο συλλαμβάνει ένα άρνητικό πιόνιο π^- , τότε σχηματίζεται ένα νετρόνιο n και ένα φωτόνιο $h\nu$. Πόση είναι ή ένέργεια τού νετρονίου; $m_n = 939 \text{ MeV}$. $m_p = 938 \text{ MeV}$. $m_\pi = 273 \text{ me}$. $m_e = 0,51 \text{ MeV}$.

118. Στό άτομο ύδρογόνου ή άκτινα τών κβαντικών τροχιών τού ήλεκτρονίου και ή ένέργειά του πάνω στίς κβαντικές τροχιές δίνονται άπό τίς έξισώσεις :

$$r_e = 4\pi\varepsilon_0 \cdot \frac{n^2 h}{4\pi^2 m_e e^2} \quad (1)$$

$$E_e = -\frac{1}{4\pi\varepsilon_0} \cdot \frac{e^2}{2r_e} \quad (2)$$

Τό μ $^-$ μιόνιο είναι άναλογο μέ τό ήλεκτρόνιο μέ τή διαφορά δτι ή μάζα του είναι $m_\mu = 207 \text{ me}$ δπου m_e είναι ή μάζα τού ήλεκτρονίου. α) "Αν στό άτομο ύδρογόνου τό ήλεκτρόνιο άντικασταθεί μέ ένα μ $^-$ μιόνιο, νά βρεθεῖ ή άκτινα $r_{1\mu}$ τής θεμελιώδους τροχιᾶς γι' αύτό τό άτομο ύδρογόνου. β) Νά συγκριθούν οι ένέργειες τού μ $^-$ μιονίου πάνω στίς κβαντικές τροχιές μέ τίς άντιστοιχες τού κανονικούς άτομου ύδρογόνου. γ) Πόση είναι ή συχνότητα και τό μήκος κύματος τού φωτονίου πού έκπεμπεται δταν τό μ $^-$ μιόνιο πέφτει άπό τήν κβαντική τροχιά $n = 2$ στήν τροχιά $n = 1$; Σέ ποιά κατηγορία ήλεκτρομαγνητικής άκτινοβολίας άνήκει αύτό τό φωτόνιο; Δίνονται γιά τό ύδρογόνο :

$$r_1 = 0,529 \cdot 10^{-10} \text{ m}. \quad E_1 = -13,53 \text{ eV}. \quad E_2 = -3,38 \text{ eV}. \quad h = 6,6 \cdot 10^{-34} \text{ Joule} \cdot \text{sec}.$$

119. Τό ούδετερο πιόνιο π^0 έχει μάζα ήρεμίας $m_\pi = 264 \text{ me}$ και διασπάται σέ δύο φωτόνια γ. α) Πόση ένέργεια σέ MeV μεταφέρει τό καθένα άπό αύτά τά φωτόνια και πόσο είναι τό μήκος κύματος τής άκτινοβολίας; β) Νά συγκριθεῖ ή ένέργεια τού παραπάνω φωτονίου μέ τήν ένέργεια ένός φωτονίου τής άκρας όρατης ιώδους άκτινοβολίας πού έχει μήκος κύματος $\lambda = 0,4 \cdot 10^{-6} \text{ m}$.

Μάζα ήρεμίας ήλεκτρονίου $m_e = 0,5 \text{ MeV}$.

$$1 \text{ MeV} = 1,6 \cdot 10^{-13} \text{ Joule} \quad h = 6,6 \cdot 10^{-34} \text{ Joule} \cdot \text{sec}.$$

120. Τό φωτόνιο γ πού προκύπτει άπό τή διάσπαση τού ούδετερου πιονίου π^0 πέφτει πάνω σέ μιά πλάκα μαλύβδου πού βρίσκεται μέσα στό θάλαμο Wilson. Τότε σχηματίζεται ένα ζευγός άπό έτερωνυμα ήλεκτρόνια (ποζιτρόνιο + ήλεκτρόνιο) πού οι τροχιές τους γίνονται όρατές. "Αν ή ένέργεια τού φωτονίου γ είναι I_0 ήτη μέ 2,65 MeV, πόση ταχύτητα έχει τό καθένα άπό τά δύο σωματίδια;

Μάζα ήρεμίας ήλεκτρονίου $m_e = 0,51 \text{ MeV}$.

121. Νά βρεθεῖ πόση ένέργεια σέ MeV και Joule προκύπτει άπό τήν έξαυλωση ένός πρωτονίου και ένός άντιπρωτονίου.

$$1 \text{ amu} = 931 \text{ MeV}. \quad \text{Μάζα πρωτονίου ή άντιπρωτονίου } m_p = 1,007825$$

122. Πόση ένέργεια σέ MeV και Joule προκύπτει άπό τήν έξαυλωση ένός άτόμου ήλιου He^4 και ένός άτομου άντιηλίου;

$$\text{'Ατομική μάζα ήλιου } m_{\text{He}} = 4,002604 \text{ amu}.$$

$$1 \text{ amu} = 931 \text{ MeV}.$$

123. Για τήν κινητική ένέργεια ένός σωματιδίου ώς ποιά τιμή τής ταχύτητάς του μπορούμε νά χρησιμοποιήσουμε τήν έξισωση τής Κλασικής Μηχανικής, ήλειουμε τό λάθος μας νά φτάνει στά 10% τής κινητικής ένέργειας πού καθορίζει ή Σχετικιστική Μηχανική;

ΤΗ ΕΙΚΟΝΑ ΤΟΥ ΞΕΩΦΥΛΛΟΥ

Φωτογραφία που πάρθηκε με θάλαμο Wilson.

Στό σύγχροτρο δημιουργήθηκαν άκτινες Röntgen πολύ ψηλής ένέργειας.

Από τήν ύλοποίηση τής ένέργειας πολλών φωτονίων Röntgen γεννήθηκαν πολλά ζεύγη έτερώνυμων ήλεκτρονίων (ποζιτρόνιο - ήλεκτρόνιο). Διακρίνονται στή φωτογραφία πολλά ζεύγη έτερώνυμων ήλεκτρονίων.

Ένα ήλεκτρόνιο με ένέργεια 30 MeV ένός τέτοιου ζεύγους μέ τήν έπιδραση του μαγνητικού πεδίου έκτελει πάνω άπο τριάντα στροφές.

1981-01-28, 0	10-10-74 CP	8	οισηρού διατάξεων	παραβολικές γραμμές	Ζ
1981-01-28, 0	10-10-74 CP (N-10)	8	πανεκ παραβολικές	γραμμές	Ζ
1981-01-28, 1	10-10-74 CP	1	πανεκ απλήγουσες	μη κίτρινες	Μ
1981-01-28, 1	10-10-74 CP	1	πανεκ απλήγουσες	μη κίτρινες	Μ
1981-01-28, 0	10-10-74 CP	1	πανεκ απλήγουσες	μη κίτρινες	Μ

ΠΙΝΑΚΑΣ 1

Φυσικές σταθερές

Ταχύτητα φωτός στό κενό	c	$3 \cdot 10^8$ m/sec
*Επιτάχυνση βαρύτητας (45° , 0 m)	g	$9,80665$ m/sec ²
Σταθερή Faraday	F	96490 Cb/γραμμοϊσοδύναμο
Σταθερή Planck	h	$6,6256 \cdot 10^{-34}$ Joule·sec
Σταθερή Stefan - Boltzan	σ	$5,669 \cdot 10^{-8}$ W·m ⁻² ·grad ⁻⁴
Σταθερή μετατοπίσεως	b	$0,2897 \cdot 10^{-2}$ m·grad
Σταθερή Rydberg	R _H	$10974 \cdot 10^8$ m ⁻¹
Στοιχειώδες ήλεκτρικό φορτίο	e	$1,602 \cdot 10^{-19}$ Cb
Διηλεκτρική σταθερή κενού	ϵ_0	$8,85 \cdot 10^{-12}$ Cb ² /(N· m ²)
Μαγνητική διαπερατότητα κενού	μ_0	$4\pi \cdot 10^{-7}$ N/A ²
*Ηλεκτρονιοβόλτ	1 eV	$1,602 \cdot 10^{-19}$ Joule
Μονάδα άτομικής μάζας	1 amu	$1,6604 \cdot 10^{-27}$ kgr
*Ακτίνα θεμελιώδους τροχιάς	r ₁	$0,529 \cdot 10^{-10}$ m

ΠΙΝΑΚΑΣ 2

Μάζες ήρεμίας στοιχειωδών σωματιδίων

		Ηλεκτρόνιο m_e	
		$9,109 \cdot 10^{-31}$ kgr	0,511 MeV
0,000 548 amu	Πρωτόνιο m_p	$1,6725 \cdot 10^{-27}$ kgr	938,26 MeV
1,007 825 amu	Νετρόνιο m_n	$1,6748 \cdot 10^{-27}$ kgr	939,55 MeV
1,008 665 amu			

ΠΙΝΑΚΑΣ 3

Εξισώσεις Κβαντομηχανής

Ένέργεια φωτονίου	$E_{\text{φωτ}} = h\nu$
Μάζα φωτονίου	$m_{\text{φωτ}} = \frac{h\nu}{c^2} = \frac{h}{c\lambda}$
Όρμή φωτονίου	$p_{\text{φωτ}} = \frac{h\nu}{c} = \frac{h}{\lambda}$
Μήκος κύματος λ ήλικού κύματος σωματιδίου	$\lambda = \frac{h}{mv}$
Ένέργεια σωματιδίου	$E = h\nu$
Όρμή σωματιδίου	$p = \frac{h}{\lambda}$
Άρχη άβεβαιότητας	$\Delta x \cdot \Delta p \geq h$

ΠΙΝΑΚΑΣ 4

Μετατροπές μονάδων ένέργειας

Mονάδα	gr	amu	erg	MeV	Joule	cal
1 gr	$\boxed{1}$	$6,02 \cdot 10^{23}$	$9 \cdot 10^{20}$	$5,62 \cdot 10^{26}$	$9 \cdot 10^{13}$	$2,15 \cdot 10^{13}$
1 amu	$1,66 \cdot 10^{-24}$	$\boxed{1}$	$1,49 \cdot 10^{-3}$	931	$1,49 \cdot 10^{-10}$	$3,56 \cdot 10^{-11}$
1 erg	$1,11 \cdot 10^{-21}$	671	$\boxed{1}$	$6,24 \cdot 10^5$	10^{-7}	$2,59 \cdot 10^{-8}$
1 MeV	$1,78 \cdot 10^{-27}$	$1,07 \cdot 10^{-3}$	$1,60 \cdot 10^{-6}$	$\boxed{1}$	$1,60 \cdot 10^{-13}$	$3,83 \cdot 10^{-14}$
1 Joule	$1,11 \cdot 10^{-14}$	$6,71 \cdot 10^9$	10^7	$6,24 \cdot 10^{12}$	$\boxed{1}$	0,239
1 cal	$5,65 \cdot 10^{-14}$	$2,81 \cdot 10^{10}$	$4,18 \cdot 10^7$	$2,61 \cdot 10^{13}$	4,18	$\boxed{1}$
1 kWh	$4 \cdot 10^{-3}$	$2,41 \cdot 10^{16}$	$3,60 \cdot 10^{13}$	$2,25 \cdot 10^{19}$	$3,60 \cdot 10^6$	$0,86 \cdot 10^6$

Ψηφιοποιήθηκε από το Ινστιτούτο Εκπαιδευτικής Πολιτικής

Επειδή πάντα

πάντα
επέστρεψε

πάντα
έπειδη ήταν

πάντα
αλλά για τί

πάντα
επέστρεψε

πάντα
έπειδη ήταν

πάντα
αλλά για τί

πάντα
επέστρεψε

πάντα
έπειδη ήταν

πάντα
αλλά για τί

ΠΕΡΙΕΧΟΜΕΝΑ

ΜΗΧΑΝΙΚΗ

Ταλαντώσεις – Κυματική

1. Φυσικό έκκρεμές. – 2. Ἀνάλυση περιοδικής κινήσεως κατά Fourier. – 3. Προβολή ταλαντώσεως πάνω σέ σταθερό ἄξονα. – 4. Διαφορά φάσεως. – 5. Σύζευξη ταλαντευόμενων συστημάτων. – 6. Ἀρχή τοῦ Huygens. – 7. Ἀνάκλαση τῶν κυμάτων. – 8. Διάθλαση τῶν κυμάτων. – 9. Ἐξίσωση τῆς κινήσεως ἐνός ύλικου σημείου. – 10. Συμβολή τῶν κυμάτων. – 11. Περίθλαση τῶν κυμάτων	5
--------------------------------------------------------------------------------------------------------------------------------------------------------------------------------------------------------------------------------------------------------------------------------------------------------------------------------------------------------------------	---

ΑΚΟΥΣΤΙΚΗ

Φαινόμενο Doppler – Μουσικές κλίμακες

12. Φαινόμενο Doppler.	34
------------------------	----

ΟΠΤΙΚΗ

Πόλωση καί διπλή διάθλαση τοῦ φωτός

13. Συμβολή τοῦ φωτός. – 14. Πόλωση τοῦ φωτός. – 15. Ὁλική πόλωση τοῦ φωτός. Νόμος τοῦ Brewster. – 16. Ἐξήγηση τῆς πολώσεως τοῦ φωτός ἀπό ἀνάκλαση. – 17. Ὁπτικῶς ἰσότροπα καί ἀνισότροπα ύλικά. – 18. Διπλή διάθλαση τοῦ φωτός. – 19. Πολωτικές συσκευές. – 20. Στροφή τοῦ ἐπιτέδου ταλαντώσεως τοῦ πολωμένου φωτός. – 21. Διπλή διάθλαση σέ διπτικῶς ἰσότροπα ύλικά	40
-----------------------------------------------------------------------------------------------------------------------------------------------------------------------------------------------------------------------------------------------------------------------------------------------------------------------------------------------------------------------	----

Νόμοι τῆς ἀκτινοβολίας

22. Ἡ ἐκπομπή ἀκτινοβολιῶν ἀπό θερμό στερεό σῶμα. – 23. Ἀπόλυτα μαύρο σῶμα. – 24. Ἰκανότητα ἐκπομπῆς. – 25. Ἰκανότητα ἀπορροφήσεως. – 26. Νόμος τοῦ Kirchhoff. – 27. Νόμος Stefan - Boltzmann. – 28. Νόμος τοῦ Wien	59
---------------------------------------------------------------------------------------------------------------------------------------------------------------------------------------------------------------------	----

ΗΛΕΚΤΡΙΣΜΟΣ

Ἐπαγωγή

29. Δημιουργία ἐπαγωγικῆς τάσεως. – 30. Ρεύματα Foucault. – 31. Ἐνέργεια τοῦ μαγνητικοῦ πεδίου	68
---------------------------------------------------------------------------------------------------	----

Ἐναλλασσόμενο ρεύμα

32. Κύκλωμα ἐναλλασσόμενον ρεύματος. – 33. Κύκλωμα μὲ κα- θαρή ὥμική ἀντίσταση R. – 34. Πηνίο σέ κύκλωμα ἐναλλασσόμενον ρεύματος. – 35. Πυκνωτής σέ κύκλωμα ἐναλλασσόμενον ρεύματος. – 36. Νόμος τοῦ Ohm γιά κύκλωμα ἐναλλασσόμενον ρεύματος. – 37. Συντο- νισμός. – 38. Μέση ἰσχύς καὶ συντελεστής ἰσχύος	68
------------------------------------------------------------------------------------------------------------------------------------------------------------------------------------------------------------------------------------------------------------------------------------------------------------------------	----

Μερικά ἐνδιαφέροντα φαινόμενα

39. Φαινόμενο Peltier. – 40. Φωτοπολλαπλασιαστής. – 41. Ἡλε- κτρονική Ὀπτική. – 42. Ξηροί ἀνορθωτές. – 43. Πιεζοηλεκτρισμός	95
--------------------------------------------------------------------------------------------------------------------------------	----

Ἀγωγιμότητα τῶν ἀερίων

44. Μορφές ἀγωγιμότητας τῶν ἀερίων. – 45. Γήινο ἡλεκτρικό πε- δίο	104
----------------------------------------------------------------------	-----

Ἀμείωτες ἡλεκτρικές ταλαντώσεις

46. Ἀμείωτες ἡλεκτρικές ταλαντώσεις. – 47. Παραγωγή ἡλεκτρι- κῶν ταλαντώσεων. – 48. Ραντάρ. – 49. Ραδιοαστρονομία	109
----------------------------------------------------------------------------------------------------------------------	-----

ΑΤΟΜΙΚΗ ΚΑΙ ΠΥΡΗΝΙΚΗ ΦΥΣΙΚΗ

ΑΤΟΜΙΚΗ ΦΥΣΙΚΗ

Τά ἡλεκτρόνια γύρω ἀπό τὸν πυρήνα

50. Φάσμα ἐκπομπῆς τοῦ ἀτόμου ὑδρογόνου. – 51. Κίνηση τοῦ ἡλεκτρονίου τοῦ ἀτόμου ὑδρογόνου γύρω ἀπό τὸν πυρήνα. – 52. Ἐμη-	85
-------------------------------------------------------------------------------------------------------------------------------	----

νεία τῆς ἐκπομπῆς τοῦ φάσματος τοῦ ὑδρογόνου. – 53. Οἱ δύο κινήσεις τοῦ ἡλεκτρονίου στὸ ἄτομο ὑδρογόνου. – 54. Κβαντικοί ἀριθμοί τοῦ ἡλεκτρονίου. – 55. Ἀρχή τοῦ Pauli. – 56. Λέηζερ	115
57. Φασματοσκοπία τῶν ἀκτίνων Röntgen	138
Φαινόμενο Compton – Φασματογράφος μαζῶν	
58. Φαινόμενο Compton. – 59. Ὑλικά κύματα. – 60. Ὑλικά κύματα μέσα στὸ ἄτομο ὑδρογόνου. – 61. Ἀρχή τῆς ἀδεβαίωτητας. – 62. Φασματογράφος μαζῶν	141
ΠΥΡΗΝΙΚΗ ΦΥΣΙΚΗ	
΄Ανίχνευση τῶν σωματιδίων	
63. Μέθοδοι ἀνίχνεύσεως τῶν σωματιδίων. – 64. Ἀπαριθμητής Geiger - Müller. – 65. Θάλαμος ιονισμοῦ. – 66. Θάλαμος Wilson. – 67. Θάλαμος Glaser. – 68. Ἀπαριθμητές σπινθηρισμῶν. – 69. Πυρηνικά γαλακτώματα. – 70. Δοσιμετρία	157
΄Επιταχυντές	
71. Έπιταχυντές. – 72. Μηχανή Van de Graaff. – 73. Γραμμικός ἔπιταχυντής. – 74. Κύκλοτρο	164
Σύντηξη ἐλαφρῶν πυρήνων	
75. Σύντηξη. – 76. Προέλευση τῆς ἀστρικῆς ἐνέργειας. – 77. Ἐφαρμογές τῆς θερμοπυρηνικῆς ἀντιδράσεως	170
Στοιχειώδη σωματίδια	
78. Στοιχειώδη σωματίδια καὶ ἀντισωματίδια. – 79. Μεσόνια. – 80. Ὑπερόνια. – 81. Κατάταξη τῶν σωματιδίων. – 82. Ἀντιύλη	175
Eἰκόνα ἔξωφυλλου. Πίνακες	181

περιπτώσεις που δεν αποδειχθήκαν σημαντικές για την επίδρασή τους στην ιστορία της πόλης.

Επίσημη καταγραφή των μεταβολών που έγιναν στην πόλη από την παλαιότερη περίοδο μέχρι την παρακάτω περίοδο θα γίνει στην επόμενη σελίδα με τίτλο "Ανατολικά - Επίδραση της ιστορίας στην πόλη".

Επίσημη καταγραφή των μεταβολών που έγιναν στην πόλη από την παλαιότερη περίοδο μέχρι την παρακάτω περίοδο θα γίνει στην επόμενη σελίδα με τίτλο "Ανατολικά - Επίδραση της ιστορίας στην πόλη".

ΑΝΑΤΟΛΙΚΑ - ΕΠΙΔΡΑΣΗ ΤΗΣ ΙΣΤΟΡΙΑΣ ΣΤΗΝ ΠΟΛΗ

Επίσημη καταγραφή των μεταβολών που έγιναν στην πόλη από την παλαιότερη περίοδο μέχρι την παρακάτω περίοδο θα γίνει στην επόμενη σελίδα με τίτλο "Ανατολικά - Επίδραση της ιστορίας στην πόλη".

ΑΝΑΤΟΛΙΚΑ - ΕΠΙΔΡΑΣΗ ΤΗΣ ΙΣΤΟΡΙΑΣ ΣΤΗΝ ΠΟΛΗ

Επίσημη καταγραφή των μεταβολών που έγιναν στην πόλη από την παλαιότερη περίοδο μέχρι την παρακάτω περίοδο θα γίνει στην επόμενη σελίδα με τίτλο "Ανατολικά - Επίδραση της ιστορίας στην πόλη".

Επίσημη καταγραφή των μεταβολών που έγιναν στην πόλη από την παλαιότερη περίοδο μέχρι την παρακάτω περίοδο θα γίνει στην επόμενη σελίδα με τίτλο "Ανατολικά - Επίδραση της ιστορίας στην πόλη".

Επίσημη καταγραφή των μεταβολών που έγιναν στην πόλη από την παλαιότερη περίοδο μέχρι την παρακάτω περίοδο θα γίνει στην επόμενη σελίδα με τίτλο "Ανατολικά - Επίδραση της ιστορίας στην πόλη".

Επίσημη καταγραφή των μεταβολών που έγιναν στην πόλη από την παλαιότερη περίοδο μέχρι την παρακάτω περίοδο θα γίνει στην επόμενη σελίδα με τίτλο "Ανατολικά - Επίδραση της ιστορίας στην πόλη".

Επίσημη καταγραφή των μεταβολών που έγιναν στην πόλη από την παλαιότερη περίοδο μέχρι την παρακάτω περίοδο θα γίνει στην επόμενη σελίδα με τίτλο "Ανατολικά - Επίδραση της ιστορίας στην πόλη".

Επίσημη καταγραφή των μεταβολών που έγιναν στην πόλη από την παλαιότερη περίοδο μέχρι την παρακάτω περίοδο θα γίνει στην επόμενη σελίδα με τίτλο "Ανατολικά - Επίδραση της ιστορίας στην πόλη".

Επίσημη καταγραφή των μεταβολών που έγιναν στην πόλη από την παλαιότερη περίοδο μέχρι την παρακάτω περίοδο θα γίνει στην επόμενη σελίδα με τίτλο "Ανατολικά - Επίδραση της ιστορίας στην πόλη".

Επίσημη καταγραφή των μεταβολών που έγιναν στην πόλη από την παλαιότερη περίοδο μέχρι την παρακάτω περίοδο θα γίνει στην επόμενη σελίδα με τίτλο "Ανατολικά - Επίδραση της ιστορίας στην πόλη".

ΕΚΔΟΣΗ ΚΑΙ ΕΠΕΞΕΡΓΑΣΙΑ – ΑΝΤΙΤΥΠΑ – ΕΠΙΦΥΛΑΚΤΙΚΗ ΖΥΓΑΡΙΑΣ
ΕΠΙΛΟΓΗ – ΒΙΒΛΙΟΓΡΑΦΙΑ – ΘΕΜΑΤΑ

Ψηφιοποιήθηκε από το Ινστιτούτο Εκπαιδευτικής Πολιτικής



024000019628

ΕΚΔΟΣΗ ΚΑ', ΚΒ' 1981 (VII) – ΑΝΤΙΤΥΠΑ 50.000 ΣΥΜΒΑΣΗ 3623/9-7-81

ΕΚΤΥΠΩΣΗ – ΒΙΒΛΙΟΔΕΣΙΑ: Θ. ΝΤΑΣΗΣ

Ψηφιοποιήθηκε από το Ινστιτούτο Εκπαιδευτικής Πολιτικής



Ψηφιοποιήθηκε από το Ινστιτούτο Εκπαιδευτικής Πολιτικής